

Seismische registrierungen in Göttingen im jahre 1905-1911

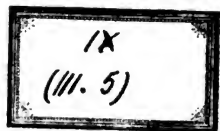
Universität
Göttingen.
Geophysikalisches ..

BRANNER GEOLOGICAL LIBRARY



THE GIFT OF

JOHN CASPER BRANNER



Seismische Registrierungen in Göttingen, *Universität*
im Jahre 1905. *Geophysikalisches Institut*

Von

G. Angenheister.

Aus den Nachrichten der K. Gesellschaft der Wissenschaften zu Göttingen.
Mathematisch-physikalische Klasse. 1906.

Seismische Registrierungen in Göttingen im Jahre 1905.

Von

G. Angenheister.

Mit 1 Tafel.

Vorgelegt von E. Wiechert in der Sitzung am 28. Juli 1906.

Vorwort.

Die vorliegende Bearbeitung der Erdbeben-Diagramme der Seismometer des Göttinger geophysikalischen Institutes erstreckt sich auf das Jahr 1905 und schließt sich an den Bericht über das Jahr 1904 von H. Schering und den des letzten Halbjahres 1903 von v. d. Borne. Als Vorarbeiten zu dieser Bearbeitung waren vorhanden die bereits veröffentlichten wöchentlichen Erdbebenberichte, die von Januar 1905 bis August von H. Schering, von August und September von A. Kohlschütter und von Oktober bis Dezember vom Verfasser bearbeitet waren. Der vorliegende Bericht unterscheidet sich von den früheren Jahresberichten in zweifacher Weise. Während bisher nur die Aufzeichnungen des Wiechertschen astatischen 1200 kg Pendels zu Grunde lagen, sind hier von Anfang April 1905 an die Aufzeichnungen eines neuen Pendels zur Registrierung der Horizontal-Komponente (einstweilen nur N-S), des sogenannten 17000 kg Pendels, ferner von Anfang August 1905 an auch die Aufzeichnungen eines neuen Vertikal-Seismometers hinzugezogen worden. Beide Instrumente sind von Herrn Prof. Wiechert konstruiert. Eine Beschreibung derselben findet sich in der Festschrift: „die physikalischen Institute der Universität Göttingen“¹⁾, eine genauere Erklärung wird demnächst erscheinen. Bei der Bearbeitung der Beben ergänzen sich diese

1) Herausgegeben von der Göttinger Vereinigung zur Förderung der angewandten Physik und Mathematik. Leipzig und Berlin, B. G. Teubner 1906.

drei Instrumente; die Nahbeben und Vorläufer (kurzer Periode) zeichnet das 17000 kg Pendel am schärfsten auf; die langen Wellen das astatische Pendel. Der erste Vorläufer wird am deutlichsten vom Vertikal-Seismographen aufgezeichnet. Jedoch ließ sich, was Schlüter und jüngst Benndorf¹⁾ sagt, nicht bestätigen, nämlich, daß das Vertikal-Seismometer den ersten Vorläufer gewöhnlich einige Minuten früher angäbe, als die Horizontal-Seismometer. Das 17000 kg Pendel gibt die schwächsten wie die stärksten ersten Vorläufer selten später und dann nur einige Sekunden später als das Vertikal-Seismometer an. Die mittleren Werte für die Konstanten der drei Instrumente sind von Herrn Prof. Wiechert in einem Beiblatt zum wöchentlichen Erdbebenbericht, „Übersicht über die registrierenden Seismometer der Station,“ zusammengestellt. Diese Übersicht ist als Einleitung dem nachfolgenden Erdbebenkatalog für 1905 vorangestellt.

Zweitens unterscheidet sich der vorstehende Bericht von dem früheren dadurch, daß den Amplituden der Bodenbewegung noch die maximalen Beschleunigungen der Bodenbewegung hinzugefügt werden. Denn erst diese geben ein richtiges Bild von der Intensität der Störung. Da rechnerisch vorzugsweise die Sinusschwingungen zugänglich sind und sich diese meist in allen Phasen der Bodenbewegung vorfinden, sollen hauptsächlich diese berücksichtigt werden. Die genaue Berechnung stoßartiger Bewegungen, wie sie am Anfang der einzelnen Phasen vorkommen und die oft das Kriterium dafür bilden, daß eine neue Phase eingeleitet wird, verlangt eine lange und schwierige Arbeit, wie man sie nur in besonderen Fällen aufwenden kann. Immerhin ist es aber leicht möglich, für solche unperiodische Störungen am Anfang der Phasen einen unteren Grenzwert zu finden. Wenn vor dem Stoße der Indicator ruhig oder nur unbedeutend bewegt war, so ist der absolute Wert der Verrückung der Erdoberfläche mindestens gleich $\frac{a}{V}$, wo a der maximale Ausschlag und V die wirkliche Indicatorvergrößerung ist²⁾. In diesem Sinne sind auch die in dem nachstehenden Bericht angegebenen Amplituden, sofern sie sich auf Stöße (i) beziehen, zu verstehen.

Die maximale Beschleunigung der Bodenschwingung bei sinusartigen Bewegungen ergibt sich folgendermaßen. Bedeutet T die

1) Mitt. der Erdbebenkom. d. Ak. d. Wiss. Wien XXIX 1905.

2) Ich folge in diesen Ausführungen und Bezeichnungen der Theorie der automat. Seismographen von Wiechert. Abh. d. Kgl. Ges. d. W. z. Gött. 1903. Math.-Phys. Klasse. Neue Folge Bd. II, Nr. 2. Berlin, Weidmann'sche Buchhandlung.

Periode der Bodenbewegung, $\bar{\xi}$ den maximalen Ausschlag, δ eine die Phase bestimmende Konstante, ξ den Ausschlag zur Zeit t , so ist

$$\xi = \bar{\xi} \sin 2\pi \frac{t + \delta}{T}$$

und

$$-\frac{d^2\xi}{dt^2} = \left(\frac{2\pi}{T}\right)^2 \bar{\xi} \sin 2\pi \frac{t + \delta}{T};$$

die maximale Beschleunigung ist dann

$$\pm \left(\frac{2\pi}{T}\right)^2 \bar{\xi}.$$

Sie tritt im Umkehrpunkt ein. Als Einheit für die Beschleunigung ist in unseren Tabellen das Milligall angenommen; Gall ist die Centim.-Sec. Einheit der Beschleunigung. Da die Amplitude $A = 2\bar{\xi}$ in $\mu \left(= \frac{1\text{mm}}{1000}\right)$ angegeben wird, so wird die Maximale Beschleunigung

$$\Delta G = \pm \left(\frac{2\pi}{T}\right)^2 \frac{A}{2.10} \text{ Milligall,}$$

oder angenähert $= \pm \frac{2A}{T^2}$ Milligall.

Auf dem Wege einer ganzen Schwingung wechselt die Beschleunigung beim Durchgang durch die Ruhelage das Vorzeichen und erreicht in den beiden Umkehrpunkten, die mit entgegengesetzten Vorzeichen behafteten Maximal-Werte.

Unsere Angabe über die Größe der Amplituden A_1 und A_2 beziehen sich auf die ganzen Amplituden von Umkehrpunkt zu Umkehrpunkt. Eigentlich entsprächen diesen Amplituden zwei absolut und relativ verschiedene Werte von ΔG , da in den Erdbebenwellen gedämpfte Schwingungen vorliegen. Wir geben hier aber blos den Mittelwert der beiden absoluten Beträge von ΔG für eine ganze Schwingung.

Nach den Werten von ΔG läßt sich die zerstörende Kraft eines Bebens beurteilen. Die kurzperiodigen Bewegungen sind die verderblichen. — Die Energieverteilung innerhalb eines Diagramms läßt sich aus den Werte für ΔG jedoch auch noch nicht erkennen.

Ein Maß hierfür ist das Quadrat der maximalen Geschwindigkeit. Die Geschwindigkeit wird gegeben durch

$$\frac{d\xi}{dt} = \frac{2\pi}{T} \bar{\xi} \cos 2\pi \frac{t + \delta}{T};$$

ihr Maximalwert ist

$$= \frac{2\pi}{T}$$

und tritt beim Durchgang durch die Ruhelage ein. Sein Betrag im CGS-System ist

$$= \frac{\pi}{T} \cdot A \cdot 10^{-4};$$

das Quadrat der maximalen Geschwindigkeit im CGS-System

$$\frac{A^2}{T^2} \cdot 10^{-7}$$

erhält man auch aus dem im Milligal gemessenen Betrag der Maximalbeschleunigung ΔG durch Multiplication mit

$$\frac{A}{2} \cdot 10^{-7}.$$

Die Amplituden der Bodenbewegungen sind aus den Amplituden der Diagramme und aus der scheinbaren Indicator-Vergrößerung \mathfrak{B} berechnet worden, wobei die Abhängigkeit der scheinbaren Indicatorvergrößerung \mathfrak{B} periodischer Störungen von der Periode der Störung und von der Dämpfung berücksichtigt ist.

V = wirkliche Indicatorvergrößerung.

t = Periode der Bodenbewegung.

T_0 = reducierte Eigenperiode.

τ = Relaxationszeit.

$\varepsilon:1$ = Dämpfungsverhältnis.

$$\mathfrak{B} = \frac{V}{\sqrt{\left(1 - \left(\frac{t}{T_0}\right)^2\right)^2 + 4\left(\frac{T_0}{2\pi\tau}\right)^2\left(\frac{t}{T_0}\right)^2}},$$

wobei

$$\left(\frac{T_0}{2\pi\tau}\right)^2 = \frac{0.733^2 (\log \varepsilon)^2}{1 + 0.733^2 (\log \varepsilon)^2},$$

wie sich aus leichter Umformung der bei „E. Wiechert, Theorie der automat. Seismographen“, angegebenen Gleichungen ergibt.

Ich möchte hierzu noch bemerken, daß Angaben nur über die Größe der Amplituden im Diagramm, auf die man sich vielfach beschränkt, zum Vergleich unbrauchbar sind. Auch die alleinige Angabe über die Vergrößerung V genügt nicht um die Bodenbewegung zu berechnen, da es dann immer noch unmöglich ist, die Abhängigkeit der Vergrößerung von der Dämpfung des Pendels und von der Periode der Bodenbewegung zu berücksichtigen. Nicht unterlassen darf man ferner eine Angabe über

Reibung zu machen, denn beim Vergleich von Amplituden, besonders bei kleinen, wird man sich immer fragen müssen, ob die Amplituden bei beiden Instrumenten durch Reibung im gleichen Maße geändert wurden. Dies gilt besonders für schwache Nahbeben. Es ist also notwendig, falls man nicht vorzieht die Bodenbewegung anzugeben, den Angaben über die im Diagramm gemessene Amplituden und die Perioden der Störung noch solche über Eigenperiode des Pendels, Indicatorvergrößerung, Dämpfung und Reibung hinzuzufügen.

Die Reibung läßt sich mittels eines neuerdings von Marwin angewandten Kunstgriffes erheblich verringern, indem man eine kleine Schüttelvorrichtung anbringt, die der Schreibnadel fortwährend kleine Schwingungen von sehr kurzer Periode (etwa $\frac{1}{10}^{\circ}$) und geringer Amplitude (etwa $\frac{1}{5}$ — $\frac{1}{10}$ mm) erteilt. Hierdurch wird der im Ruhezustande vorhandene Reibungswiderstand herabgemindert; was nun andererseits die Anwendung einer stärkeren Vergrößerung erlaubt; da diese ja bei mechanisch registrierenden Seismographen zum Teil durch den vorhandenen Reibungswiderstand ihre praktische Begrenzung fand.

Ich möchte hier einige Beobachtungen folgen lassen, die ich bei der Bearbeitung des Berichtes gemacht habe.

Fortpflanzungsgeschwindigkeit und Absorption.

Bereits im vorigen Jahre¹⁾ stellte ich eine Reihe von Erdbeben zusammen, bei denen sich Wellen, die durch den Gegenpunkt gegangen sind, vorfinden; ich habe aus ihnen die Fortpflanzungsgeschwindigkeit und die Absorption zu bestimmen versucht. Die Messung der Absorption an Wellen, die den Gegenpunkt passiert haben und zum zweiten Male dieselbe Station treffen, hat den großen Vorteil, eine mittlere Absorption und nicht eine lokale zu liefern, weil sie über einen großen Raum integriert; ferner ist die Art der Bestimmung besonders zuverlässig, weil die Wellen beidemal denselben Apparat in derselben Aufstellung treffen. Beim Vergleich der Amplituden für nahe bei einander liegende Stationen bekommt man wohl nur eine lokale Variation. Erst bei großen Entfernungen, wie z. B. Göttingen und Samoa, wird man einen Mittelwert erhalten.

1) Bestimmung der Fortpflanzungsgeschwindigkeit und Absorption von Erdbenenwellen, die durch den Gegenpunkt des Herdes gegangen sind. Nachr. d. kgl. Ges. d. Wiss. z. Göttingen, Math.-physik. Klasse 1906 Heft 1.

In dem Folgenden (S. 10) habe ich nun eine Tabelle aufgestellt für jene Beben, bei denen sich Wellen vorfinden, die, wie es scheint, die Erde umkreißt haben, darunter auch eins (Calabrische Beben), für welches die Registrierungen zweier weit von einander entfernter Stationen der Rechnung zugrunde gelegt werden konnten. Zunächst habe ich die Herddistanz H angegeben. Diese wurde aus den Vorläufern berechnet, falls nicht der Herd durch Nachrichten (wie bei 4, 8, 9) bekannt war. Nicht immer lassen die Vorläufer eine Herddistanzbestimmung zu. Bei Beben über 10000 km Herddistanz ist es meist nur ungenau möglich die Herddistanz anzugeben. Hierzu gehören besonders eine Reihe von Beben, deren Herd etwa 1—3000 km von Samoa entfernt liegt. Es sind wahrscheinlich submarine Beben, deren Herd man nur rechnerisch feststellen könnte.

Die europäischen Stationen können im vorliegenden Falle nur als eine einzige gelten. Hinzu kommt Samoa, eine dritte geeignete Station fehlt zur Zeit noch. Erst wenn diese vorhanden sein wird, ist eine vollständige Ausnutzung des schönen Beobachtungsmaterials möglich. So war bisher noch nicht zu ermitteln, von welcher Richtung kommend die Wellen in Samoa eintreffen. Die Herddistanz läßt sich für Deutschland nicht angeben.

Ich habe diese Beben, die in Bezug auf die Absorption ihrer Energie besonders interessant sind, weil sie aus der Nähe des Gegenpunktes (vielleicht aus der Gegend von Neuseeland) kommen, leider nicht verwerten können.

In der nächsten Collonne der Tabelle habe ich die Zeit zwischen dem ersten Auftreten der Wellen (L) und ihrer ersten Wiederkehr L_2 nämlich $T_1 - T_2$ angegeben. Unter L und L_2 sind hier für gewöhnlich Wellen von 18—20^e Periode gemeint, denn bei ihnen liegt meistens das Maximum der Bodenbewegung. In zwei Fällen lassen sich aber auch Wellen von etwa 70^e Periode zuerst beim Beginne von L und dann bei der Wiederkehr des Bebens nachweisen. Meist fehlen diese Wellen bei dem wiederkehrenden Beben, wohl hauptsächlich deswegen, weil ihre Vergrößerung bei unseren Pendeln zu gering ist. —

Ferner sind die Fortpflanzungsgeschwindigkeiten $v \frac{\text{km}}{\text{sec}}$ angegeben. Sie sind berechnet nach der Formel

$$v = \frac{2r\pi - 2H}{T_1 - T_2} \frac{\text{km}}{\text{sec}},$$

wo r den Erdradius bedeutet.

Sodann folgen die Amplituden A_1 von L und A_2 von L_2 ,

Aus ihnen ist die Absorption a pro km berechnet. Setzt man die Energie von L und L_1 den Quadraten der Amplituden proportional und schreibt die Verminderung der Energie nur der Absorption zu, was in erster Annäherung zulässig ist, da ja eine Abnahme infolge der ringförmigen Ausbreitung der Energie auf der Erdoberfläche bei der Rückkehr des Wellenzuges zum selben Ort, der als Kugel gedachten Erde nicht stattfindet, so gilt

$$\frac{A_2^2}{A_1^2} = e^{-ad},$$

$$\frac{A_2}{A_1} = e^{-\frac{a}{2}d}$$

wo d den Weg der Wellen in km und e die Basis der natürlichen Logarithmen bedeutet, da

$$d = v(T_1 - T_2),$$

so

$$av = \frac{2,3}{T_1 - T_2} \log\left(\frac{A_1}{A_2}\right)^2, \quad (\log = \text{Brigg. Log})$$

woraus durch Division mit v sich a ergibt. Für v ist der Mittelwert $3,3 \frac{\text{km}}{\text{sec}}$ genommen, da es sich hier nur um die Hauptwellen handelt. a ist die Absorption der Energie pro km.

Hier sind die Vorgänge bei Ausbreitung der Wellen in einer Ebene auf eine Kugel übertragen. Dies wird nur in erster Annäherung zulässig sein. Wenn ein transversaler Wellenzug gegen eine Oberfläche stößt, so wird ein Teil der Energie sich stets in longitudinale Wellen umsetzen, wird also für den transversalen mit besonderer Geschwindigkeit dahin eilenden Zug verloren sein. Dasselbe gilt umgekehrt für einen longitudinalen Wellenzug. Bei der Ausbreitung auf einer Kugelfläche wird dies dauernd eintreten und schon hierdurch ein Teil der Energie für den betrachteten Wellenzug verloren gehn. Auch der Umstand ist nicht in Rechnung gezogen, daß die Wellen auf ihrem Wege irgend welche besonders orientierte Massen von besonderen Dimensionen zu Eigenschwingungen anregen können und dadurch an Energie verlieren. Die Zerstreung der Energie der Oberflächenwellen durch Strahlung, — dadurch, daß sie in angrenzenden Medium Störungen erzeugen — erreicht, was die über der Erde liegenden Schichten, Luft und Wasser angeht, wohl nur bei Seebeben oder Beben an der Küste, bei Flutwellen, erhebliche Beträge. Wie im Erdinnern die Schichten verschiedener Dichte und Elasticität verteilt sind, und wie tief die Bewegungen der Oberflächenwellen hinabreichen, und was

im besondern an Energie den Wellen der oberen Schicht dadurch verloren geht, daß sie die darunter liegende Schicht in Mitleiden-schaft ziehen, darüber ist einstweilen noch nichts sicheres auszu-machen. Wir müssen also in den folgenden Berechnungen unter Absorption nicht nur die Dämpfung durch Reibung im eigenen Medium verstehen, sondern die Summe aller Energieverluste da-runter zusammenfassen.

Sodann ist hierzu noch zu bemerken, daß nur die horizontalen Komponenten der Bewegung verglichen werden konnten; einmal weil die rückkehrenden Wellen vom Vertikalseismometer, wegen der geringen Vergrößerung dieses Instrumentes für lange Perioden, nicht aufgezeichnet wurden; und andererseits, weil in Samoa zur Zeit ein Vertikalseismometer leider noch fehlt. Die bisherigen Erfahrungen lehren jedoch, daß im allgemeinen das Diagramm der Vertikalkomponente in gleicher Weise abklingt wie das der hori-zontalen, und daß die Bewegung in beiden Komponenten durchweg von gleicher Größenordnung ist, die vom Erdbodenteilchen durch-laufene Ellipse angenähert ein Kreis ist. Der Fehler, der dadurch begangen wird, daß bloß die Bewegung einer Komponente be-trachtet wird, ist daher wahrscheinlich für die hier in Betracht kommende Genauigkeit nicht groß.

Die Beben 7, 9, 11, 12 sind bereits in der citierten Mitteilung von mir bearbeitet worden und werden nur der Vollständigkeit halber mitgeteilt. Für No. 9 (Calabrisches Beben 8. IX 1905) habe ich folgende Berechnung angestellt. Den schon in der ersten Arbeit aus L und L_1 und der Herddistanz berechneten Wert von $v = 3,4 \frac{\text{km}}{\text{sec}}$, so wie den aus A_1 und A_2 berechneten Wert für a verglich ich mit Werten für v und a , die ich aus den Daten der Fernbebenberichte vom Samoaobservatorium der kgl. Ges. d. Wiss. zu Göttingen, die inzwischen von Linke veröffentlicht worden sind, berechnete. Da Calabrien, Göttingen und Samoa fast genau auf einem größten Kreis liegen, so gilt für diese Entfernungen fol-gendes. Die Bebenwellen kommen von Süden zur hiesigen Station, gehen über den Nordpol nach Samoa, von dort zum Gegenpunkt von Calabrien, wo sich die sich ringförmig ausbreitende Energie wieder sammelt um dann wieder zum Bebenherd zurückzuströmen. Die Entfernung Göttingen—Samoa berechnet sich zu rund 16000 km, der Weg Samoa—Gegenpunkt von Calabrien—Samoa—Göttingen zu 20800 km (Göttingen—Calabrien 1600 km). Die Eintrittszeiten sind für Wellen von 15—20", die das Maximum der Bewegung enthalten:

Zum 1ten Mal in Göttingen 1^h 50,7^m

" " " " Samoa 3 9,9

" Ilten " " Göttingen 4 49.

Linke (Samoa) giebt für L als Eintrittszeit 2^h 56^m an; um diese Wellen, deren Periode 52—36^s beträgt handelt es sich hier nicht, sondern um Wellen von etwa 20^s, die sowohl in Göttingen, wie in Samoa das Maximum der Bewegung tragen. Diese treffen in Samoa um 3^h 9,9^m ein. Für den ersten Weg (16000 km) brauchen die Wellen 79,2^m; was einer Geschwindigkeit von $3,4 \frac{\text{km}}{\text{sec}}$ (genau $3,37 \frac{\text{km}}{\text{sec}}$) entspricht; für den zweiten Weg (20800 km) brauchen sie 99,1^m, wozu eine Geschwindigkeit von $3,50 \frac{\text{km}}{\text{sec}}$ gehört; im Mittel also 3,4, was mit dem in der vorigen Arbeit aus L und L_1 berechneten Wert von 3,4 zusammen stimmt.

Bei der Berechnung der Absorption dieser Wellen auf dem Wege Göttingen Samoa kann man die Aenderung der Amplitude nicht ausschließlich der Absorption zu schreiben, sondern es muß auf die Ausbreitung der Energie mit zunehmender Herddistanz Rücksicht genommen werden. Da die Ausbreitung der Energie auf einer Kugeloberfläche vor sich geht, so wird, falls man sich durch Herd und Gegenpunkt die Polaxe der Kugel denkt, im I. Quadranten vom Pol zum Aequator die Energiedichte abnehmen, im II. Quadranten vom Aequator zum Gegenpol ein Anschwellen der Energie eintreten. Im Gegenpol würde, wenn keine Absorption vorhanden wäre, derselbe Energiebetrag vorhanden sein, wie im Pol. Auf jedem Breitengrad ist die durch ein zur Fortpflanzungsrichtung senkrechtes Flächenelement hindurchtretende Energie dem Kreisumfang umgekehrt proportional. Für die Energie der Bewegung an zwei Orten ungleichen Polabstandes gilt also

$$\frac{J_1}{J_2} = \frac{2\varphi_2 \pi}{2\varphi_1 \pi} = \frac{\cos \varphi_2}{\cos \varphi_1}$$

wo φ_1 und φ_2 die Radien der Breitenkreise der Orte und φ_1 und φ_2 die geographischen Breiten der Orte bezogen auf den Herd als Pol der Kugel bedeuten. Die Intensität in Samoa wäre also, — wenn keine Absorption vorhanden wäre

$$J_2 = J_1 \frac{\cos \varphi_1}{\cos \varphi_2}$$

wenn der Index 2 für Samoa und 1 für Göttingen gilt.

Die Amplitude für Samoa

$$A_2 = A_1 \sqrt{\frac{\cos \varphi_1}{\cos \varphi_2}}.$$

Wenn ich die auf diese Weise für einen absorptionslosen Fortgang der Wellen für Samoa berechnete Amplitude mit der wirklich dort gemessenen vergleiche, erhalte ich die Absorption a .

Die Daten sind folgende:

$$\varphi_1 = 75^\circ; \varphi_2 = 68^\circ;$$

$$A_1 = 1000'' \text{ in Göttingen gemessen,}$$

$$A_2 = A_1 \sqrt{\frac{\cos \varphi_1}{\cos \varphi_2}} = 831'',$$

$$A_2 = 43' \text{ in Samoa gemessen,}$$

$$a = \frac{1}{v} \cdot \frac{2,3}{T_1 - T_2} \log \left(\frac{831}{43} \right)''.$$

Für a ergibt sich so 0,00037. Der in der citierten Arbeit aus den beiden Amplituden in Göttingen beim erstmaligen Eintreffen und bei der Rückkehr des Bebens berechnete Wert ergab $a = 0,00034$. Beide Berechnungen sind völlig unabhängig von einander. Man kann die gute Uebereinstimmung daher wohl als ein Argument für die Richtigkeit der angestellten Betrachtung über Ausbreitung und Wiederkehr der Wellen ansehen.

Nr.	Datum	Periode T	Herddistanz	$T_1 - T_2$	A_1	A_2	v	a	Bemerkungen
				m					
1	14. II 05	20	8700	103	500	10	3,6	0,00038	
2	22. III	20	8700	101	170	20	3,7	0,00021	
3	22. I	70	?	66	500	140	—	—	
		20		78	140	10	—	—	
4	4. IV.	25	6200	120	700	170	3,8	—	
		20		133			3,4	—	
5	6. VII	25	9500	102	600	12	3,4	0,00039	
6	9. VII	30	6700	131	5000	30	3,4	0,00059	
7	11. VII	16—18	5750	161	250	5	3,0	0,00026	
8	23. VII	70	6700	110			4,0		
9	8. IX	15—20	1600	178,3	1000	3	3,4	0,00034	} Göttingen—Gegenpunkt ~ Göttingen
	8. IX	15—20		79,2	1000	43	3,37	0,00037	
10	15. IX	20	9000	110	—	—	3,3	—	Göttingen—Samoa
11 ?	4. XII	12—18	3500	117	150	7	4,6	0,00028	
12	10. XII	20	8500—10000	110	75	13	3—3,4	0,00018	

Der hier berechnete Wert von a gilt für lange Wellen von etwa 20^a Periode. Für die kurzen Wellen kann a wegen der grösseren Deformationsgeschwindigkeit ganz erheblich grösser sein.

Die Lücken in den Spalten für v und a sind dadurch entstanden, daß sich entweder die Herddistanz nicht angeben oder die Amplitude z. B. wegen starker Ueberlagerung nicht genau genug messen ließ.

Zur Tabelle ist noch hinzuzufügen, daß sich bei einigen Beben (No. 3, 4, 8) nachweisen ließ, daß die Wellen größerer Periode eine größere Fortpflanzungsgeschwindigkeit besitzen. Bei No. 3 kann man die Werte wegen der Unkenntnis der Herddistanz zwar nicht angeben, aber es läßt sich aus den Laufzeiten, die für Wellen von 70^m Periode 66^m, für Wellen von 20^m 78^m beträgt, doch schätzen, daß v für die ersteren etwa 25 % größer als für die letzteren ist. Bei No. 8 finden sich wieder Wellen von 70^m Periode (vergl. Fig. 7a, 7b, 7c), denen der große Wert von $v = 4,0 \frac{\text{km}}{\text{sec}}$ entspricht. Als Mittelwert für v bei einer Periode von ungefähr 20^m ergibt sich, wenn man den zweifelhaften Wert von No. 11 ausschließt zu $3,4 \frac{\text{km}}{\text{sec}}$. Der Mittelwert von a ist 0,00031.

In der der Berechnung zu Grunde gelegten Anschauung heißt dies: Quellen im Epizentrum die Oberflächenwellen mit einer Energie die proportional ist A_1^2 , so sammeln sie sich im Gegenpunkt mit einer Energie die $A_2^2 = A_1^2 \cdot e^{-20.000 \cdot 0,00031}$ proportional ist, also etwa den 490 ten Teil beträgt. Von hier aus strömt die Energie von neuem aus zum Epizentrum zurück, wo sich noch $\frac{1}{242500}$ der alten Energie wieder sammelt. Die Amplitude sinkt also bis zum Gegenpunkt auf $\frac{1}{22}$ und beträgt bei der Rückkehr des Bebens zum Epizentrum nur $\frac{1}{490}$ der ursprünglichen Größe.

Die Aenderung der Amplitude pro km wegen Absorption ist gegeben durch

$$A_2 = A_1 \left(1 - \frac{a}{2}\right) = A_1 \left(1 - \frac{1}{7000}\right) = 0,99985 A_1.$$

Das in mancher Hinsicht interessante Calabrische Beben ermöglicht noch eine Bemerkung über die Geschwindigkeit der I. Vorstörung. Die große Geschwindigkeit, die sich für den ersten Vorläufer berechnet, wenn man die Herddistanz durch die Laufzeit dividiert, (etwa 14 km) beruht zum größeren Teil darauf, daß die Wellen in der Tiefe auf Schichten größerer Fortpflanzungsgeschwindigkeit stoßen, denn ihr Weg durch das Erdinnere ist nur wenig kürzer als die Oberflächenentfernung. Das Verhältnis von Bogen b zur Sehne s

$$\frac{b}{s} = \frac{2r\pi\alpha}{360^\circ} \cdot \frac{1}{2r \sin \frac{\alpha}{2}},$$

wo α der zum Bogen gehörige Centriwinkel ist, wird höchstens, für $\alpha = 180^\circ$, wenn das Beben aus dem Gegenpunkt kommt, gleich $\frac{\pi}{2}$. Mit Ausnahme des einzigen Falles des gradlinigen Durchganges der Wellen durch den Erdmittelpunkt zum Gegenpunkt, ist der Stoßstrahl des ersten Vorläufers stets convex gegen den Erdmittelpunkt, das Verhältnis des Stoßstrahles zum zugehörigen Bogen also stets kleiner als $\frac{b}{s}$. Die Geschwindigkeit der 1ten Vorstörung in den oberen Schichten der Erde läßt sich nun schätzen, wenn man die Ankunftszeiten der Störung bei nah am Bebenherd gelegenen Stationen vergleicht und ihre Differenz durch ihre auf dem Bogen gemessene Entfernung dividiert. Die Länge des Bebenstrahls ist zwar nicht gleich dieser Distanz, doch wird sie nicht allzusehr davon abweichen. Ich wählte hierzu das Agramer Beben vom 2. Januar 06. Der Herd bei Agram ist etwa 100 km von Laibach und etwa 760 km von Göttingen entfernt. Wenn man annimmt, daß die Wellenfläche des ersten Einsatzes als sie Laibach berührte noch etwa 700 km in normaler Richtung von Göttingen entfernt war, was sich aus der Lage der 3 Orte angenähert ergibt, so findet man für eine Differenz der Eintrittszeiten in Göttingen und Laibach von 93^s eine Geschwindigkeit von $7,5 \frac{\text{km}}{\text{sec}}$. Da hier $\frac{b}{s} = 1,0013$ und der Emersionswinkel gering ist, — die Amplituden in der Horizontalen und Vertikalen sind fast gleich —, der Strahl also nur wenig gekrümmt ist, so kann man ohne große Fehler zu machen, annehmen, daß der Weg der 1 Vorstörung bis hier gleich der auf dem Bogen gemessenen Epizentralentfernung ist. Freilich muß man dabei eine nicht allzu große Herdtiefe voraussetzen, sonst wird der berechnete Wert der Geschwindigkeit größer. Mit der so gewonnenen Geschwindigkeit berechne ich die Zeit, zu der das Calabrische Beben im Herd eintrat, wobei der Fehler, der dadurch entsteht, daß ich den Weg der 1 Vorstörung von Göttingen bis Calabrien auf dem Bogen messe, wiederum nicht allzu groß wird.

Danach findet die Störung in Calabrien um 1^h 42^m 49^s statt; in Samoa trifft der erste Vorläufer um 2^h 3^m 36^s ein. Der Quotient aus der auf dem Bogen gemessenen Herddistanz und der Laufzeit ergibt $14 \frac{\text{km}}{\text{sec}}$. Das Verhältnis von Bogen zur Sehne $\frac{b}{s}$ ist hier 1,32, sodaß der Quotient aus Sehne und Laufzeit $10,7 \frac{\text{km}}{\text{sec}}$ wird. Die Fortpflanzungsgeschwindigkeit auf dem Stoßstrahl gemessen

ist wegen der Convexität desselben jedenfalls noch ein wenig größer als $10,7 \frac{\text{km}}{\text{sec}}$.

Die Differenz dieser „mittleren wirklichen“ Geschwindigkeit gegenüber der Geschwindigkeit der ersten Vorstörung in Oberflächenschichten $7,5 \frac{\text{km}}{\text{sec}}$ rührt daher, daß die Wellen in größeren Tiefen auf Schichten größerer Geschwindigkeit treffen. Hierzu mag noch bemerkt werden, daß man für die ersten Vorstörungen noch geringere Geschwindigkeiten als $7,5$ erhält, wenn man noch näher am Epicentrum liegende Stationen vergleicht. So erhielt Crendner für Voigtländische Beben (beobachtet in Leipzig und Göttingen) etwa $6 \frac{\text{km}}{\text{sec}}$.

Phasen und Perioden im Diagramm. (Fig. 1—7a)

Ich möchte hier noch einige Bemerkungen über die sehr langen Wellen (40—70*) beifügen. Diese Wellen treten deutlich und rein, — frei von Ueberlagerungen — nur im Beginn der Hauptphase sehr weit entfernter Beben auf, und sind dann meist Träger des Maximums der Bewegung, während die Wellen kürzerer Periode (10—15), die bei Nahbeben die Maximalbewegung besitzen, in der Hauptphase gänzlich fehlen. Man hat sich diese Eigentümlichkeit der Diagramme vielleicht so zu erklären.

Bei nahen Beben unterscheiden sich nur zwei Phasen. Gleich nach den kurzen stoßartigen Wellen (1—6*) des ersten Vorbebens von kleiner Amplitude setzen die langen Wellen (etwa 10*) gleich mit der Maximalbewegung ein. Ob diese letzten Wellen anderen von langer Periode 20—70* überlagert sind oder nicht, ist aus Diagrammen schwer zu entscheiden und wird ganz unmöglich, wenn das Pendel gegen die Anschläge schlägt. Zweiter Vorläufer, lange Wellen und Maximalbewegung fallen zusammen.

Bei mittelweit entfernten Beben (etwa 2—5000 km) tritt der IIte Einsatz deutlich und von der Hauptbewegung gesondert hervor. Der zweiten Vorstörung überlagern sich aber noch die Wellen langer Periode (30—70), die mit ihrer größeren Fortpflanzungsgeschwindigkeit den Trägern des Maximum vorangeeilt sind und sich also dem ihnen fremden Wellenzug des II. Vorläufers, der wahrscheinlich auf anderem Wege als die langen Oberflächenwellen kam, untermischen. Es ist sogar möglich daß sich diese Wellen schon der I. Vorstörung (wahrscheinlich Longitudinalwellen quer durch die Erde) überlagern, da die scheinbare Oberflächen-geschwindigkeit der I. Vorstörung bei geringer Entfernung des

Herdes wohl noch nicht sehr von der Geschwindigkeit der langen Wellen verschieden ist. Ein Beispiel hierfür ist das Calabrische Beben. Es finden sich dort Wellen von 30° in der Horizontal Komponente der I. Vorstörung; im Diagramm der Vertikalkomponente dagegen fehlen sie.

Die Hauptphase mittelweit entfernter Beben beginnt mit Wellen, deren Periode schnell von etwa 30° auf 20° sinken und zeigt bald nach Beginn das Maximum bei etwa $15-20^{\circ}$. Bei den Beben dieser Gruppe beobachtet man, wie sich je größer die Herddissanz ist, das Maximum im Zug der Hauptphase mehr und mehr gegen Ende hin verlagert, weil immer mehr von den lang periodigen Wellen ($30-50^{\circ}$) vor dem Maximum, das noch bei niedrigerer Periode liegt, auftreten.

Bei sehr weit entfernten Beben (über 5000 km) treten nach *P* und *S* zunächst Wellen sehr langer Periode (etwa 50°) auf, die allmählich abnehmen auf $30-25^{\circ}$, wo das Maximum der Amplitude liegt.

Bei Beben von der Nähe des Gegenpunktes dauern die Wellen von $70-30^{\circ}$ Periode recht lang, erst viel später kommen Wellen von $30-20^{\circ}$ die meist nur ein scheinbares, ein „Diagramm-Maximum“ zeigen, während das Maximum der Amplituden der Bodenbewegung bei den Wellen hoher Periode liegt. Aus den Beobachtungen ergibt sich also, daß das Maximum der Bodenbewegung allmählich, je größer die Herddistanz wird, desto mehr von Wellen kürzerer Periode auf solche längerer Periode übergeht. Man kann erwarten, daß die Absorption wegen der größeren Deformationsgeschwindigkeit bei Wellen kürzerer Periode größer ist (für gleiche Amplituden). Haben diese also in der Nähe des Herdes das Maximum der Bewegung so muß es in weiter Entfernung auf solche längerer Periode übergegangen sein.

Die Trennung der Oberflächenwellen verschiedener Periode rührt von der verschiedenen Geschwindigkeit her, die den einzelnen Perioden zukommen. Die Wellen längerer Periode eilen den kürzeren voraus.

Nach diesen Erörterungen will ich versuchen, die Verteilung der verschiedenen Perioden der Oberflächenwellen für die drei nach ihrer Herddistanz geordneten Klassen von Beben schematisch darzustellen.

Nahbeben (bis 1000 km).

- I. Phase: *P*, zuweilen sind den kurzperiodigen longitudinalen Wellen schon langperiodige überlagert.
- II. Phase: *S*, *L*, *M* treten gleichzeitig auf und überlagern sich.

Entfernte Beben (1000—5000 km).

I. Phase: *P*.II. Phase: *S* und *L* gleichzeitig, die Wellen in *L* erreichen eine Periode von etwa 40°.III. Phase: *M* etwa bei 15 + 20°.

Sehr weit entfernte Beben (über 5000 km).

I. Phase: *P*.II. Phase: *S*.III. Phase: *L* Perioden von 40—70.IV. Phase: *M* 30°.

Beben aus der Nähe des Gegenpunktes.

I. Phase: *P*.II. Phase: *S*.III. Phase: *M* bei 40—70° Periode.

IV. Phase: Wellen von etwa 30—20°.

Ich habe in der nachfolgenden Tabelle eine Reihe von Erdbeben zusammengestellt, deren Herddistanz von zwei weit von einander entfernten Stationen, Göttingen und Samoa, möglichst verschieden ist, deren Herd also stets erheblich näher an der einen als an der anderen Station liegt. Außer den Herddistanzen gebe ich die Perioden der Hauptphase für beide Stationen an.

Datum	Charakter des Bebens in Göttingen	Perioden der Haupt- phase in Göttingen			Herddistanz von Göttingen	Perioden der Haupt- phase in Samoa			Herd- distanz von Samoa km
		größte Periode	kleinste Periode	Periode von <i>M</i>		größte Periode	kleinste Periode	Periode von <i>M</i>	
II 19.	I u	56	28	56		30	12	16 u. 13	2000
II 27.	I u	40	20	35		15	10	10	1000—1500
III 19.	II u	40	16	40		16	11	15	2000
IV 4.	III u		10	10	6000	44	27	27	13—14000
VI 9.	I u	45		45		16		16	1—2000
VI 12.	II u	50		50		10		10	2000
VI 30.	II u	40	30			20		20	
VII 17.	II u	40		40		14		14	2—3000
VII 23.	III u	40	6	40	6700	60	17	60	11000
VIII 8.	I u	45		45		20	10	12	1—2000
IX 8.	III r	20	9	9	1600	52	21	21	1600

Es geht aus der Tabelle hervor, daß die kürzeren Perioden aus den Hauptphasen verschwinden, wenn die Wellen große Herddistanz erreicht haben. Die langen Perioden dagegen sind in den Diagrammen der Nahbeben nicht zu finden. Letzteres hat seinen Grund zum Teil wohl darin, daß sie bei Nahbeben aus der starken Ueberlagerung kürzerer Perioden nur schwer herauszuschälen sind, zumal unsere Seismographen für die hohen Perioden nur sehr wenig empfindlich sind. Es wäre sehr wichtig mit einem Pendel hoher Eigenperiode (60°) und starker Vergrößerung diese sehr langen Wellen genauer zu studieren. Das Verschwinden der kurzen Perioden tritt wohl deshalb ein, weil die Absorption für kurze Perioden so groß ist, daß auf dem langen Wege ihre ganze Energie verzehrt wird.

Ich möchte noch auf eine Beobachtung hinweisen, die vielleicht zur Erklärung des Entstehens der verschiedenen Perioden beiträgt. Bei sehr nahen Beben etwa 1000 km ist das Maximum der Bewegung an sehr kurze Perioden gebunden etwa $5-10^{\circ}$ erst später treten allmählich größere Perioden auf. Man kann sich hier den Vorgang vielleicht folgendermaßen vorstellen:

Beim Bruch oder bei der Verlagerung einer Scholle treten zunächst heftige Erderschütterungen auf, welche die der Bruchstelle nahen Teile der Scholle in kurzen Perioden erzittern lassen. Wegen ihrer großen Maximalen Beschleunigung kommt ihnen die zerstörende Kraft zu. Nach und nach erst gerät die ganze Scholle in Schwingungen, die immer tiefer greifen und schließlich die ganze Erdrinde in Vibration versetzen. Dies sind die Schwingungen längerer Periode¹⁾. Wenn man sich die ganze Erdrinde schwingend vorstellt, dann liegt natürlich nahe, die verschiedenen Perioden ($20-70^{\circ}$) als Oberton und Grundton aufzufassen.

Man sieht aus allem, welch ein kompliziertes Bild uns die starken näheren Erdbeben liefern; die vielfachen Ueberlagerungen lassen sich nur schwer und unsicher auseinanderschälen. Viel klarer zeigen sich die verschiedenen Wellen in starken sehr weit entfernten Beben. Es wird eine der nächsten Aufgaben sein, dies Auseinanderziehen des Bebenbildes, diese Trennung der einzelnen Wellenzüge, kurz die Entstehung des seismischen Spektrums zu ergründen. Dazu sind von allem mehrere weit non einander entfernte Stationen notwendig.

1) Wiechert (Göttinger Festschrift) schreibt den Schwingungen die die Erdrinde bis zur Magmaschicht in Bewegung setzen eine Periode von etwa 20° zu.

Natur der Wellen.

Die Registrierungen, besonders der Vertikalkomponente, gestatten einige Bemerkungen über die Natur der Wellen.

Zunächst zeigt sich, was schon von Schlüter mit seinem als Vertikalseismometer eingerichteten Klinographen beobachtet wurde, daß mit wachsender Entfernung vom Bebenherd die Vertikalkomponente des I. Vorläufers der horizontalen gegenüber stark zunimmt, oder daß der Emersionswinkel wächst.

Außerdem aber zeigt sich, daß beim IIten Vorläufer umgekehrt mit wachsender Entfernung die horizontale Komponente der Vertikalen gegenüber zunimmt. Falls der IIte Vorläufer ein Wellenzug durch das Erdinnere ist, würde dies bedeuten, daß die Deformationen zunächst senkrecht zur Fortpflanzungsrichtung erfolgen, sodaß bei einem Emersionswinkel von 90° die Vertikalkomponente 0 würde. Das Verhältnis von vertikaler zu horizontaler Komponente ist dann gleich dem cotangens des Emersionswinkels. Diese Funktion fällt mit wachsendem Winkel, also mit zunehmender Herddistanz. Ferner läßt sich erkennen, daß bei Beben, deren Richtung mit einer der Komponenten Richtungen zusammenfällt, der IIte Vorläufer nicht in dieser, sondern in der dazu senkrechten Richtung die größte Amplitude besitzt, und wenn ein scharfer Einsatz des IIten Vorläufers vorhanden ist, dieser wie auch das Maximum der Hauptphase dort früher auftritt: der Einsatz der II. Vorstörung um wenige Sekunden, die Hauptphase um etwa 1^m . Diese Bevorzugung der einen Richtung läßt wieder vermuten, daß wir es hier mit Wellen zu tun haben, deren Deformation senkrecht zur Fortpflanzungsrichtung erfolgt. Es ist hier aber für Folgerungen Vorsicht geboten und mehr Material zu sammeln. -- In dem nachfolgenden Bericht ist bei den einzelnen Beben, wo solche Erscheinung beobachtet wurde besonders darauf hingewiesen. Als Beispiel diene das Calabrische Beben, dessen Wellen fast genau von Süden kommen (vergl. Fig. 8a, 8b, 8c). *P* ist in der Vertikalen und in *NS* scharf; in *NS* größer als in *EW*. Die Deformation erfolgt also zunächst in Richtung der Fortpflanzung von *P*. *S* dagegen ist in der Vertikalen schwach und in *NS* schwächer als in *EW*. Auch in den Aufzeichnungen des Calabrischen Bebens durch das Wiechert'sche Pendel in Upsala ist *P* in *NS* stärker als in *EW* und *S* in *EW* stärker als in *NS*¹⁾. Die

1) Herr Dr. Åkerblom war so liebenswürdig mir die Kurven zur Verfügung zu stellen.

Deformation bei *S* erfolgt also umgekehrt wie bei *P* senkrecht zur Richtung der Fortpflanzung. Das Maximum der langen Wellen tritt früher in *EW* als in *NS* ein, also auch hier scheint die Deformation zunächst senkrecht zur Fortpflanzung zu erfolgen, um dann in schneller Azimutänderung in jede andere Richtung überzugehen; auch in die verticale. Dort tritt das Maximum wohl immer später als in der horizontalen ein.

Bewegungen nicht seismischen Ursprungs.

Die mikroseismischen Bewegungen zeigen sich sowohl in der horizontalen wie in der vertikalen Komponente. Die Ansicht, daß es sich hier nur um Eigenschwingungen des Bodens in Folge von Luftdruckschwankungen handele, scheint nicht richtig zu sein, da alle möglichen Perioden von 1—10^s vorkommen. Besonders kurze Perioden waren an folgenden Tagen merklich:

Jan. 19. 1906 1^s, 2^s, 3^s.

März 9. 1906 2^s, 3^s.

„ 16. 1906 3^s.

Ein Zusammenhang zwischen mikroseismischer Bewegung und dem Seegang an den Küsten, wie ihn Wiechert schon öfters betont hat, ist dagegen wohl sicher vorhanden; und zwar scheint es, daß die in Göttingen beobachteten starken langperiodigen Bodenbewegungen von großer Regelmäßigkeit den Sturmwellen des Oceans an der steilen felsigen Norwegischen Küste entsprechen. Ein Beispiel hierfür gibt der 16. Sept. 1905, wo innerhalb einer wochenlangen Ruhe, in der die mikroseismische Bewegung nicht über 1" steigt, für etwa 12 Stunden starke Bewegung ($T = 7-8^s$; $A = 5''$) einsetzt. Zur gleichen Zeit brandet von Westen der Ocean in Sturmwoogen senkrecht gegen die Norwegischen Felsen.

Ferner ist das starke Maximum der mikroseismischen Bewegung am 12. Dez. 1905 gleichzeitig mit einem Maximum des Seeganges VIII an der norwegischen Küste. Eine genauere Untersuchung hierüber ist jedoch noch notwendig.

Auch schnell vorüberziehende meteorologische Erscheinungen lassen sich im Seismogramm des stark vergrößernden 17000 kg-Pendels erkennen. Fig. 9 zeigt das Bild einer in wenigen Minuten vorüberziehenden Boe.

Die 2000 fache Vergrößerung des 17000 kg-Pendels genügt, um die Bewegungen der im hiesigen Elektrizitätswerk, 2,5 km entfernt, aufgestellten Gasmotoren aufzuzeichnen. Die Schwingungszahl

der kleinen Wellen entspricht der Tourenzahl der Motoren. Da verschiedene Motoren mit ungleicher Tourenzahl vorhanden sind, so treten, wenn mehrere laufen, Schwebungen auf. (Fig. 10).

Nicht alle Beben ließen sich mit derselben Genauigkeit ausmessen, weil oft Einzelheiten in der mikroseismischen Bewegung untergingen. Auf diese Unruhen sowie auf Störungen im Erdbebenhaus, die die Diagramme zum Teil unleserlich machten, ist nicht immer besonders hingewiesen. Fehlende Zahlen sind darauf zurückzuführen.

Zu den Figuren.

Die Beben diagramme Fig. 1—6b sind nach ihrer Herddistanz geordnet. Man erkennt an ihnen, daß die langperiodigen Wellen mit wachsender Herddistanz sich mehr und mehr zum Ende hin verschieben. Bei Fig. 1 und 2 sind sie noch der I. Vorstörung überlagert; bei Fig. 3, 4a und 4b treten sie während der II. Vorstörung auf, kurz nach *iS*; sie sind von immer stärker werdenden Schwingungen kürzerer Periode überlagert, die schnell zum Maximum der Bewegung anschwellen.

Fig. 5a die Vertikalkomponente des San Franciscoer Bebens zeigt die langen Wellen erst $\frac{1}{4}$ Stunde nach *iS*. Das Maximum der Bewegung liegt aber noch später bei Schwingungen kürzerer Periode.

Fig. 5b zeigt Wellen außerordentlich langer Periode ohne Ueberlagerung.

Fig. 6a und 6b zeigen ein und dasselbe Beben vom 1200 km und vom 100 km Pendel aufgezeichnet. Das Beben ist sehr weiten Ursprungs. Alle Phasen sind deutlich gesondert.

Fig. 7a zeigt trotz starker Ueberlagerung gut erkennbar während des II. Vorläufers Schwingungen von etwa 70^s Periode.

Fig. 7b und 7c zeigt gegen Ende desselben Bebens ein paar Schwingungen von gleicher (70^s) Periode, die dem Nachläufers überlagert sind. Es handelt sich hier wahrscheinlich um eine Wiederkehr des Bebens.

Fig. 8a, 8b und 8c zeigen das Calabrische Beben mit den auf Seite 17 beschriebenen Eigentümlichkeiten.

Fig. 9 zeigt eine vorbeiziehende Boe, und Fig. 10 die Schwebungen in Folge der Bewegungen der Motoren des Elektrizitätswerkes.

Uebersicht über die registrierenden Seismometer der Station.

Von

E. Wiechert¹⁾.

Vorbemerkungen.

1. Erdbebenwellen. Bei den Erdbeben vollführt der Erdboden erfahrungsgemäß stets gleichzeitig Schwingungen sehr verschiedener Periode. Es scheint, als ob neben den kürzeren um so längere Perioden auftreten, je tiefere Schichten der Erdrinde bei den Dislokationen am Herde in Mitleidenschaft gezogen werden. Nennt man die Perioden bis 2 Sekunden kurz, solche über 2 und bis 20 Sekunden mittellang, solche über 20 Sekunden sehr lang, so kommen Wellen sehr langer Perioden nur von den Zentren gewaltiger Erderschütterungen weit außerhalb Europas zu uns²⁾. Mittellange Perioden finden wir schon bei den größeren Erdbeben Europas. Bei den ganz kleinen Erdbeben im Gebiete Deutschlands herrschen die kurzen Perioden vor. — Für die in einem und demselben Erdbeben auftretenden Schwingungen nimmt die Amplitude mit der Periode sehr schnell ab. Bei dem Indischen Erdbeben vom 4. April d. J. z. B. war die Amplitude der Schwingungen mit 10 Sekunden Periode etwa 1 cm, die Amplitude der Schwingungen mit $\frac{3}{2}$ Sekunden Periode aber nur $\frac{1}{200}$ mm. Auf diese Erfahrungen muß Rücksicht genommen werden, wenn die Auswahl der registrierenden Instrumente zweckmäßig erfolgen soll.

2. Empfindlichkeit der Seismometer. Bei einer Dämpfung, die genügend groß ist, um die Eigenschwingungen des Instrumentes unschädlich zu machen, sind für die Wirkungsweise

1) Wochenbericht No. 48—53.

2) Später haben die Instrumente gezeigt, daß auch bei starken Europäischen Beben Perioden von 30—45^s vorkommen. (8. Okt.; 8. Nov. 1905).

eines Seismometers, — wie ich das schon mehrfach näher ausgeführt habe, — 2 Konstanten maßgebend. Ein Horizontalseismograph — d. h., ein Seismometer, welches die Horizontalerschütterungen des Erdbodens aufzeichnet — verhält sich wie ein einfaches Pendel, dessen gewichtlos gedachte Pendelstange — eventuell weit über das Gewicht hinaus verlängert — die Schreibspitze trägt. Die Pendellänge L dieses äquivalenten einfachen Pendels, d. h. die Entfernung des Gewichts von der Axe, nenne ich „äquivalente Pendellänge“. Ihr entspricht die Eigenperiode des Instrumentes T . Nach den Pendelgesetzen ist nahezu $\frac{1}{4} T^2 = L$, wenn T nach Sekunden, L nach Metern gerechnet wird. Die Entfernung J der Schreibspitze von der Axe bei dem äquivalenten einfachen Pendel nenne ich „äquivalente Indikatorlänge“. Sie gibt die Neigungsempfindlichkeit an, und zwar ist $E = J/206000$ der Ausschlag für eine Bogensekunde. Die Vergrößerung V , mit welcher bei dem äquivalenten einfachen Pendel die Bewegungen des Pendelgewichtes aufgeschrieben werden, nenne ich „Indikatorvergrößerung“. Offenbar ist $J = V.L$. Wo ein Zweifel über die Bedeutung der Worte nicht gefürchtet zu werden braucht, ist es selbstverständlich nicht nötig, den Zusatz „äquivalent“ mit anzuführen. —

Als äquivalent mit einem Vertikalseismometer kann man ebenfalls ein einfaches Pendel der beschriebenen Art annehmen, nur muß man sich das Pendel durch Federkraft so horizontal gehalten denken, das die Schwingungsperiode mit der Pendellänge in derselben Beziehung steht, wie bei der vertikalen Aufhängung. T, L, J, V und auch E bekommen dann analoge Bedeutung, wie bei dem Horizontalseismographen; so können L, J, V nach wie vor: „äquivalente Pendellänge“, „äquivalente Indikatorlänge“, und „Indikatorvergrößerung“ genannt werden.

Von den 5 Größen T, L, V, J, E bestimmen T und L und ebenso J und E einander gegenseitig. Außerdem besteht die Beziehung $J = VL$, es genügt also in der Tat, wie anfänglich erwähnt, die Angabe von 2 Konstanten, um die Wirkungsweise des Instrumentes zu charakterisieren.

Die Theorie lehrt — immer unter Voraussetzung hinreichend starker Dämpfung, um störendes Hervortreten der Eigenschwingungen zu verhüten, — daß Erderschütterungen, deren Periode T unterhalb der Eigenperiode T des Instrumentes liegt oder diese nur ganz wenig überschreitet, nahezu mit der Indikatorvergrößerung V aufgezeichnet werden. Geht die Periode T der Erderschütterungen höher hinauf, so sinkt die Vergrößerung in den

Diagrammen und zwar sehr bald nahezu proportional mit $1/T^2$; zugleich wird sie auch proportional mit der Indikatorlänge J . Es ist also für die Empfindlichkeit des Instrumentes bis etwa herauf zur Eigenperiode T die Indikatorvergrößerung V , darüber hinaus die Indikatorlänge J entscheidend. Es tritt ferner hervor, daß die kleineren Perioden umsomehr gegenüber den größeren bevorzugt werden, je kleiner die Eigenperiode T , also die Pendellänge $L = J/V$ gewählt wird. —

Diese Umstände sind zu berücksichtigen, wenn man die seismischen Instrumente ihren Aufgaben anpassen will. Sollen Erschütterungen kurzer Periode mit starker Vergrößerung aufgezeichnet werden, ohne daß Erschütterungen langer Periode die Abbildung undeutlich machen, so muß man V groß, T und damit L und J klein machen. Sollen andererseits Erschütterungen langer Periode registriert werden, ohne daß gleichzeitige Erschütterungen kurzer Periode störend wirken, so muß man J und T , also auch L , groß und V klein machen. — Bei alledem ist noch zu beachten, daß auch die Geschwindigkeit des Registrierpapiere eine Rolle spielt: Sollen kurze Perioden aufgelöst erscheinen, so muß die Registriergeschwindigkeit groß gewählt werden. Will man aber lange Perioden beobachten, so tut man besser mit kleinen Geschwindigkeiten zu arbeiten, weil andernfalls bei der Streckung der Kurven geringere Ausweisungen der Aufmerksamkeit entgehen würden.

Instrumente der Göttinger Station.

4. Einleitung. Frühere Registrierungen hatten gezeigt, daß in Göttingen bei den Erdbeben noch Perioden unterhalb einer Sekunde und über einer Minute zur Geltung kommen. Um diesen weiten Bereich zu umspannen, schien es nötig, entsprechend der in den Vorbemerkungen unter (1) angegebenen Einteilung der Perioden in „kurze“, „mittellange“ und „sehr lange“, die für den dauernden Betrieb bestimmten Instrumente in drei Stufen zu gruppieren. Das so vorgesehene System von Instrumenten ist freilich heute noch nicht vollständig, aber doch konnte schon erreicht werden, daß alle drei Gruppen vertreten sind. So soll denn im Folgenden eine kurze Uebersicht der vorhandenen Instrumente gegeben werden. Die Lücken und die zum Teil recht unerfreulichen Improvisationen werden in dem Masse beseitigt werden, wie es die finanziellen Mittel gestatten.

Wichtig scheint es hier, einen Punkt noch besonders hervorzuheben. Die Gruppierung darf nicht etwa so verstanden werden,

als ob die einzelnen Instrumente für die Registrierung der zu den anderen Gruppen gehörigen Perioden überhaupt nicht in Betracht kämen. Davon ist nicht die Rede. Es kann vorkommen, daß bei sehr starken Erdbeben einzelne Instrumente eben infolge ihrer hohen Empfindlichkeit für die vorherrschenden Perioden unleserliche Aufzeichnungen geben oder ganz versagen. In solchen Fällen treten in sehr willkommener Weise die andern Instrumente ergänzend ein.

5. Uebersicht der Instrumente. Alle Instrumente besitzen eine sehr starke Luftdämpfung; das Dämpfungsverhältnis wird in der Regel in der Nähe von 6:1 gehalten. — Bei mechanischer Registrierung muß zur Ueberwindung der Reibung des Schreibstiftes und der Trägheit des Schreibmechanismus die „stationäre Maße“, d. h. die frei aufgehängte Maße, deren Bewegung von dem Schreibstift aufgeschrieben wird, sehr groß gewählt werden. Da ihr Betrag dann eine wesentliche Bedeutung gewinnt, wird er im Folgenden mit aufgeführt werden.

I. Instrumente für Registrierung von Erschütterungen kurzer Periode.

a) Horizontalseismograph, mechanisch registrierend. Stationäre Maße ca 17000 kg. $T = 1,4$ Sekunden ($L = 50$ cm); $V = 2000$, $J = 1100$ m ($E = 5\frac{1}{2}$ mm). Registriergeschwindigkeit 60 mm in 1 Minute. — Hauptinstrument für Registrierung der deutschen Erdbeben. Nur die Nord-Süd-Komponente wird aufgezeichnet, da die Schreibvorrichtung für die Ost-West-Komponente noch nicht gebaut ist.

b) Vertikalseismograph, photographisch registrierend. T, L, V, J, E nahe ebenso wie bei dem Instrument I a. Das improvisierte Registrierwerk gibt eine Geschwindigkeit von 6 mm in 1 Minute.

II. Instrumente für Registrierung von Erschütterungen mittellanger Periode.

a) Horizontalseismograph, mechanisch registrierend. Stationäre Maße ca. 1200 kg. $T =$ ca. 14 Sekunden ($L =$ ca. 50 m); $V = 160$, J ca. 8000 m ($E =$ ca. 40 mm). Registriergeschwindigkeit 10 mm in 1 Minute. Der Bearbeitung der Wochenberichte werden in der Regel die Aufzeichnungen dieses Instrumentes in erster Linie zu Grunde gelegt.

b) Vertikalseismograph, mechanisch registrierend. Stationäre Maße ca. 1300 kg. $T =$ ca. 7 Sekunden ($L =$ ca. $12\frac{1}{2}$ m);

$V = 160$, $J = \text{ca. } 2000 \text{ m}$, ($E = 10 \text{ mm}$) Registriergeschwindigkeit 10 mm in 1 Minute . T, L, J, E sind vorläufig absichtlich kleiner gehalten, als es das Instrument verträgt und werden allmählich erhöht werden.

III. Instrumente für Registrierung von Erschütterungen sehr langer Periode.

a) Horizontalseismograph, mechanisch registrierend. Stationäre Maße $\text{ca. } 110 \text{ kg}$. $T = \text{ca. } 63 \text{ Sekunden}$ ($L = \text{ca. } 1000 \text{ m}$); $V = 10$, $J = \text{ca. } 10000 \text{ m}$ ($U = \text{ca. } 50 \text{ mm}$). Das improvisierte Registrierwerk gibt eine Geschwindigkeit von $\text{ca. } 6 \text{ mm}$ in 1 Minute . — Nur die Einrichtung für die Nord-Süd-Komponente ist vorhanden. — Da ein Bedeckungskasten noch fehlt, geben Luftströmungen beständig leichte Unregelmäßigkeiten.

b) Vertikalseismograph. Fehlt.

Die vorstehenden Angaben über die Empfindlichkeit sind nur als ziemlich grobe Annäherungen zu verstehen. Infolge von Temperatur-Schwankungen etc. ändern sich einige der Zahlen fortdauernd. Da Neuregulierungen immer eine Störung des Betriebes bedeuten, werden sie möglichst selten vorgenommen.

Zeichenerklärung.

Charakter des Erdbebens.

- I = merklich, II = auffallend, III = stark.
 d = (terrae motus domesticus) = Ortsbeben (am Orte fühlbar).
 v = (" " vicinus) = Nahbeben (unter 1000 km).
 r = (" " remotus) = Fernbeben (1000—5000 km).
 u = (" " ultimus) = sehr fernes Beben (über 5000 km).

Phasen.

- P = (undae primae) = erste Vorläufer.
 S = (" secundae) = zweite Vorläufer.
 L = (" longae) = Hauptbeben („lange Wellen“).
 M = (" maximae) = größte Bewegung im Hauptbeben.
 C = (coda) = Nachläufer.
 F = (finis) = Erlöschen der sichtbaren Bewegungen.

Art der Bewegung.

- i = (impetus) = Einsatz.
 e = (emersio) = Auftauchen.
 T = Periode = doppelte Schwingungsdauer.
 A = Amplitude der Erdbewegung, gerechnet von einer Seite zur andern.
 Δg = größte Beschleunigung während einer Schwingung.
 [g = Schwerkraft; $\Delta g/g$ gibt die größte scheinbare Neigung der Vertikalen während einer Schwingung an. Δg — nicht aber A — stellt ein Maß für die Intensität der Erderschütterung dar.]
 $A_N, \Delta g_N$ = N.S.-Komponenten von A und Δg .
 $A_E, \Delta g_E$ = E.W.- " " "

Zeit und Maß.

- Zeit = mittlere Greenwicher, gezählt von Mitternacht zu Mitternacht.
 μ = Mikron = $\frac{1}{1000}$ Milimeter.
 Milligal = $\frac{1}{1000}$ Gal; Gal = Centimeter-Sekunden-Einheit der Beschleunigung. [Es ist $g = \text{ca. } 980 \text{ Gal}$, also 1 Milligal = ca. 1-Milliontel der Schwerkraft. — Bei periodischen Schwingungen ist $\Delta g = \text{ca. } \frac{2A}{T^2}$, wenn Δg nach Milligal, A nach Mikron, T nach Sekunden gerechnet wird.]

Nr.	Datum	Charakter	Phasen	Zeiten (Greenwich)	Perioden T	Amplituden		$\Delta \epsilon g$ milligal	$\Delta \sigma g$	Bemerkungen
						AE	AN			
1	Jan. 9	Iu	e M F	^h 6 ^m 29 36,2 50	^s 16	^μ	^μ 30		0,2	
2	" 13	IIu	eS L M _N M _E M _N ₁ C F	13 51,2 14 22 30,3 32,8 34,3 15 40	20 35 20 20 20 18	15 30 80 70	10 60 20 85	0,07 0,15 0,4 0,35	0,05 0,3 0,1 0,4	
3	" 13	Iu	eL C F	19 14 19,5	35 20 16 55	11	18	0,05	0,08	
4	" 20	IIr	P S iL M M _N ₁ C F	2 36 6 39 3 40,9 41,7 42,2 3 25	1 3-4 5 12 10 12	1 4 7 175 90	1 6 7 125 140	2 0,9 0,6 3,5 1,8	2 1,3 0,6 2,5 2,8	19/20 nachts zerstört des Beben in Thessaloniki (Larissa 1700 km). S-P = 3m (2000 km) L-P = 4,8m (1600 km)
5	" 20	Iu	eM C F	18 36	40 18	10	50 10	0,06 0,06	0,06 0,06	
6	" 22	IIu	eP iS L _N M _N C eL ₁ F	3 1 16 8 2 28,8 33 45 4 35 5 3 5 40	4 12 7 7 (70) 70 20 18 70 20	20 15 75 15	5 7 15 10 500	2,5 0,2 3,3 0,6	0,6 0,09 0,6 0,4 0,2	Um 4h 35m kehrt das Beben wieder, und zwar zuerst sehr lange Wellen (70s Periode), nachher als bei den Wellen von 20s. Die Zeit vom ersten bis zum zweiten Eintreffen der Wellen ist für die Wellen von 70s um etwa 10s kürzer, als bei den Wellen von 20s. Das ist eine ungefähr 25% größere Geschwindigkeit für die längeren Wellen bedeutet. Eine direkte Be- rechnung von v ist nicht möglich, da die Herddistanz nicht geschätzt werden kann ¹⁾ .

1) Für dieses Beben sind von Åkerblom die Göttinger und Upsalaer Diagramme verglichen und bei beiden die Rückkehr des Bebens gefunden worden. Siehe Nachr. d. kgl. Ges. d. Wissensch. zu Göttingen Math.-phys. Klasse 1906 Heft 1. Dort findet sich auch ein Diagramm des Bebens.

Datum	Charakter	Phasen	Zeiten (Greenwich)	Perioden	Amplituden		ΔE g	ΔN g	Bemerkungen
				T	AE	AN	milligal		
Jan. 27	Iu	eP (eS) M F	^b 13 6,0 ^m 13 16,7 45 14 0	2 ^a 16	2 ^m 5	8	1 0,04	0,06	
„ 29	Iu	eL M C F	12 47 52,7 13 5	25 12 8—9	40	25	0,6	0,4	
Febr. 1	Iu	e M F	22 47 50,3 23 0	12	15	8	0,2	0,1	
„ 7	I(r)	e (M _E) F	22 49 54,7 23 0	(12) 12	10	3	0,14	0,04	
„ 13	Iu	eP (L) (M _N) C eL F	5 45,2 6 28 6 37,8 18 7 32 7 40	(6) (30) 24 18 20		50		0,2	Herd etwa 2000 km von Samoa. L—P = 43 ^m (14300 km).
„ 14	IIIu	P S i (L) M _N M _E C L F	8 58 26 9 8,3 13,9 23,2 35,4 38,0 11 18 13	15 1—2 5 12 (25) 28 50 20 20 16 20		10 1—3 5 20 100 270 (300) 300 500		0,9 0,4 0,3 0,3 0,7 (0,2) 2,5 1 0,05	Vorläufer auf EW schwächer und von kürzerer Periode als auf NS. Auf beiden Komponenten stark ausgeprägte Schwebungen. Maximum der Schwebung 1 ^h 18 ^m früher in EW als in NS. Herdistanz geschätzt auf 8700 km. 11 ^h 18 ^m glatte Sinuswellen. (Wiederkehr des Bebens).

Nr.	Datum	Charakter	Phasen	Zeiten (Greenwich)	Perioden	Amplituden		ΔE g	ΔN g	Bemerkungen
					T	A_E	A_N			
13	Febr. 17	II u	eP i(S) L M ₁ M ₂ C F	^h 11 52,3 ^m 12 1,2 ^s 15,5 18,0 21,5 13 30	< 1 12 (40) 40 16 12	1 ^{μ} 12 (200) (350) 160 230	2 0,17 (0,25) (0,4) 1,2 1,8	2 0,17 (0,25) (0,4) 1,2 1,8	M ₂ Maximum der Schwebungen, deren Amplitude schnell abnehmen. Maximum der Schwebungen EW um 10 ^m früher als NS.	
14	" 18	I u	e F	15 20 45						
15	" 19	II u	e ₁ e ₂ M F	5 5 13,5 45,5 7 10	28 56	40 40 200	0,9 0,9 0,1	0,9 0,9 0,1	Herd etwa 2000 km von Samoa.	
16	" 25	I(r)	e M C F	2 14 19,3 30	(2) (10) 7	< 1 10	(0,5) (0,2)	(0,5) (0,2)	(0,2)	
17	" 25	I(r)	L F	2 52 56	10		0,04			
18	" 26	I	L	3 ¹ / ₂ —4						Äußerst schwache lang Wellen.
19	" 27	I u	P (S) L (M) C F	17 44 45 18 7,7 30 48,5 19 30	20 (40) 35 18	20 50	0,1 0,08	0,1 0,08	Herd 1000—1500 km von Samoa.	
20	März 4	I u	e L (M ₁) (M _{E2}) C F	16 30 59 17 4 14,4 18	16 (45) 24 20 16	3 30 40	3 30 20	0,02 0,1 0,2 0,1 0,1	0,02 0,1 0,2 0,1 0,1	Außerordentlich glatte regelmäßige Wellen.
21	" 4		e M F	19 2 35 20 15	20					

Datum	Charakter	Phasen	Zeiten (Greenwich)	Perioden T	Amplituden		ΔE g	ΔN g	Bemerkungen
					A_E	A_N			
März 4	IIu	eP S	^h 23 ^m 38,0 47,8	^s 12 18	^μ 3 2			0,04 0,01	Schreibarm der EW Komponente abgeschlagen. Dem vorhergehenden Beben sehr ähnlich.
" 5		LM (M) (M ₂) C F	0 10 21 33,5 2	70 20 18 17	(100) 40 50			0,04 0,2 0,3	Maxima der Schwebun- gen.
" 14	Ir	e	11 10	(8)					
" 15	Ir	e M _N F	18 22,3 24,5 34	(3-4) 12	3 10		0,7-0,4 0,14		
" 15	I(u)	e F	19 42 20	18	10	10	0,06	0,06	
" 17		e	2 10-15	2					Den mikroseismischen Wellen überlagert.
" 17	I	e F	13 14 30 16	2-3	1		0,5-0,2		
" 17	Iu	i(S) eM (C F	22 19 22 28 23 0	30 14	10	20	0,02	0,04	Lange glatte Wellen.
" 18	Iu	e F	13 50 14 0	16	1	1	0,01	0,01	
" 19	IIu	eP i L _N L _E (iM _N) (M _E) eL ₂ C F	0 16,3 20,5 1 7 1 3 1 9,0 25 1 44 3 0	3 8 10 40 16 17	2 5 80	1 3 10 200	0,4 0,1 0,6	0,2 0,1 0,2 0,25	Herd etwa 2000 km von Samoa. Der IIte Vorläufer hebt sich nicht hervor. L ist unsicher. Die Herddistanz kann nicht geschätzt wer- den. Um 1h 44 sehr lange Wellen. (Wohl Wiederkehr des Bebens).

Nr.	Datum	Charakter	Phasen	Zeiten (Greenwich)	Perioden T	Amplituden		$\Delta E g$	$\Delta S g$	Bemerkungen
						A_E	A_N			
milligal										
32	März 22	II u	P S i ₁ i ₂ LM M C e L ₂ F	^h 3 50 ^m 37 4 0,3 1,1 5,8 17,6 27 6 8 6 50	1—4 ^a 15 20 20 30 20 18 20	1 " 6 50 50 80 170 20	1 " 6 50 50 80 170 20	¹ / ₈ —2 0,05 0,25 0,25 0,2 0,8 0,1	¹ / ₈ —2 0,05 0,25 0,25 0,2 0,8 0,1	Geschätzte Herddistanz 8700 km. i ₁ und i ₂ sind einander ähnlich. Stark ausgeprägte Schwingungen. Nachdem die Periode von C etwa auf 15 ^s gesunken und verhältnismäßig Ruhezustand eingetreten ist, treten wieder um 6 ^h 8 ^m von neuem langsame Wellen hervor (T = 20 s) (Wohl Wiederkehr des Bebens). Wellen gleicher Periode sind bei M 4 ^h 27 ^m .
33	" 22	I	L F	11 58 12 15	25					
34	April 3	I(u)	e F	8 16 30	13	3	3	0,03	0,03	Ein paar sehr schwache lange Wellen.
35	" 3	I r	e M C F	16 9,2	16 10	25	15	0,2	0,1	
36	" 4	III u	P i S M _N M _E C F	0 58 55 1 6 8 19 22 5 40	1—4 20—25 15 10 15 10 10 17	50 40 140 400 700	5 200 60 600 700	0,2 1 8 14	2 1 12 14	Ein Einsatz S ist an EW nicht zu erkennen (das Beben kommt von Westen). Die Schwingungen nehmen allmählich zu und erreichen das Maximum in NS etwa 3 ^m früher als in EW. Das Maximum hält sich etwa 8 ^m in dieser Stärke dann langsam ab, mit wenig zunehmender Periode (10 ^s Wellen von hoher Periode (40—60 ^s) sind vor Beginn des Maximums (während S) vorhanden, jedoch nur schwer aus den starken Überlagerungen herauszuschälen. Perioden von 15—20 ^s lassen sich auf dem Seismogramm des 17000 kg Pendels während S und I trotz starker Überlagerung erkennen. Geschätzte Herd-

Datum	Charakter	Phasen	Zeiten (Greenwich)	Perioden T	Amplituden		ΔE g	ΔS g	Bemerkungen
			h m s	s	AE	AS	milligal		
					μ	μ			distanz 6200. In Ostindien verwüstendes Beben um 6 ^h 10 ^m Ortszeit = 1 ^h 14 ^m Greenwich. Zeit. Um 3 ^h 20 ^m treten im Zug der Nachläufer (C) deren Periode im Mittel bis auf 17 ^s gesunken war, lange Wellen, auf deren Periode wieder langsam von 25 ^s auf 20 ^s sinkt (3 ^h 32 ^m). In Schwebungen auf- und ab- schwellend erreichen sie um 3 ^h 45 ^m eine Amplitude AE = 10,5 ^{mm} im Diagramm während vorher die Ampli- tude der Nachläufer nicht über 3 ^{mm} im Diagramm stieg (Wiederkehr des Be- bens).
April 4	I(r)	e L M C F	10 30 31 32,1 50	28 16 8	50	35	0,4	0,3	
" 4	Ir	e M C F	11 6,7 7,15 20	1 16 8	1 15	1 10	2 0,1	2 0,08	
" 10	I(u)	e(M) C F	12 48 13 15	20 (12)	20	5	0,1	0,02	
" 14	I(u)	e C F	1 6,5 17	20 (10)	10	5	0,05	0,02	
" 15	Ir	e M _E M _N C F	4 42,0 42,4 43,7 50	1 8 17 10 (9)	< 1 5 40 20	5 15 12	2 0,16 0,3 0,4	0,2 0,1 0,2	

Nr.	Datum	Charakter	Phasen	Zeiten (Greenwich)	Perioden	Amplituden		ΔE g	ΔS g	Bemerkungen
					T	AE	AS	millical		
42	April 19	Iu	P	^h 12 ^m 51 ^s 55 { ^s 1 1/2 2—5		^s 1/3 3	^s 1/3 3	^s 1/3 2/3	^s 1/3 2/3	Herd 1—2000 km Samoa. Mehrfaches An- und schwellen der Bewegun Glatte Sinuswellen.
			i	13 5						
			(M _E)	13 47	25	20	10	0,06	0,03	
			(M _S)	50	25	15	20	0,05	0,06	
			C		18					
			F	15 0						
43	" 23		i		0,3; 1		0,05— 0,1 0,3			April 23 1 ^h 40 ^m heftig aber unschädlicher E stoß in England (Registri vom 17000 kg Pendel, noch keine Zeitmarkier hatte.
			M	47-70	1				0,6	
			F	130 i. Beginn						
44	" 24	Iu	e	8 57	25	5	10	0,02	0,03	
			M	59	20	25	15	0,12	0,07	
			C		14					
			F	9 20						
45	" 25	Iu	P	9 43,3	2	1	1	0,5	0,5	Im Verhältnis zu Vorläufern ist die Han bewegung auffallend ge Herd 1—2000 km Samoa. Glatte Sinuswellen.
			i	47,1	5	5	10	0,4	0,8	
			(P ₂)	10 22,3	3	1	1	0,2	0,2	
			L	10 37,6						
			M	39	25	15	15	0,05	0,05	
			C		16					
			F	11 20						
46	" 25	Ir	e	14 10,6	4—5	< 1				
			(M)	12,6	8	5	5	0,2	0,2	
			F	15						
47	" 26	I	L	5 50— 6 1/2 ^h	20					Auftauchen langer W len.
48	" 26	Iu	eP	21 59	4	< 1				
			iS	22 7,2	i (12)	25 16		0,3 0,08		
			i ₂	15	16	40	15	0,3	0,1	
			M	30	40	90	(40)	0,1	0,05	
			C		16					
			F	23 10						

Datum	Charakter	Phasen	Zeiten (Greenwich)	Perioden	Amplituden		$\Delta E g$	$\Delta N g$	Bemerkungen
				T	AE	AN			
April 29	II r	P	^b 1 48 ^m 13 ^s	0,5; 2	"	0,2; 0,5			EW Komponente stärker als NS in der Hauptbewegung. In der West-Schweiz und Südost-Frankreich kurz vor 3 ^h MEZ Erdbeben; in Wallis einige Häuser beschädigt.
			49	0,5; 2		0,2; 1			
			49 46	0,5; 2		0,2; 2			
			50 13	2		7		3,5	
		L	50 11	16		40		0,3	
		i M	22	12	200	100	3	1,5	
		C		1,8; 6					
		F	2 20						
" 30	II r	i P	16 13 43	i 9	20	10	0,5	0,2	Amplitude von M bleibt fast 5 ^m ungeändert. Geschätzte Herddistanz aus P und L 1700 km aus P und S 2500 km.
				9	5		0,1		
				2-3	2				
		(S)	17 11	9	10	15	0,2	0,4	
		L	18,7	25					
		M	19,6	18	50	40	0,3	0,25	
		C		12					
		F	50						
Mai 2	I u	e	17 52	18	5	3	0,03	0,02	
		F	18 20						
" 9	II u	e(P)	6 57						
		i S	7 3,9	14	5		0,05		
		L M	18	70	(200)	(50)	(0,1)	(0,02)	
		C		18					
		F	8 20						
" 11	I u	S		3	3	5	0,7	1	
				7	3	5	0,1	0,2	
		L	17 59	35					
		M	18 3	24	40	70	0,1	0,2	
		C		16					
		F	7 0						
" 12	I u	e M	3 38	30	20	20	0,04	0,04	
		C		16					
		F	4 5						
" 18	II u	P	14	1		1		2	P nur auf dem 17000 kg Pendel.
		L	14 (57)	25					
		M	(59)	20	150			0,7	
		C		20					
		F	16						

Nr.	Datum	Charakter	Phasen	Zeiten (Greenwich)	Perioden T	Amplituden		A _E g	A _N g	Bemerkungen
						A _E	A _N			
56	Mai 20	I r	(S) L M C F	^h 10 ^m 15,5 19,8 24 40	1—2 6 25 11	0,5 3 15	0,5 1 10	0,2 0,05	0,06 0,03	2 ^m lang vor S kurz Wellen (vielleicht P). (Stunde unsicher).
57	" 21	I u	e F	11 20 11 30	18	5	5	0,03	0,03	
58	" 23	I u	e L F	6 49 7 14 8 0	22	10	10	0,04	0,04	
59	" 29	I v	P S M F	11 17 30 18 39 19 (35) 24	1,2 1,5 1,6	0,3 0,7 (5)		0,4 0,6 4		In Steiermark heftiges Beben. Vom 17000 Pendel registriert. M wegen noch fehlender Dämpfung un- sicher.
60	" 31	II u	P S L M C F	18 36,5 47 19 10 12,7 20 0	3 8 (35) 20 16	1 10 75	10	0,2 0,3 0,4	0,3 0,5	
61	Juni 1	II v	P L _N iM C F	4 45 1 47 45 48 45 5 30	0,5—1 12 8 2 15	1 470	1 300 25	8 15	8 0,9 10 13	Zerstörendes Beben Dalmatien. S und L stärker in E als in NS. Das Beben kommt fast von Süden.
62	" 1	I v	P S iM _E C F	21 49 29 51 (25) 53 13 22 10	0,5 1 3 7 6; 11	20	0,5 0,2 1 10	0,8	4 0,4 0,2 0,4	Herddistanz ca. 1000 km wahrscheinlich Dalmatien

Datum	Charakter	Phasen	Zeiten (Greenwich)	Perioden T	Amplituden		$\Delta_E g$	$\Delta_N g$	Bemerkungen
					A _E	A _N			
					milligal				
mi 2	II u	P	5 ^h 51 ^m 47 ^s	3 ["]	3 ["]	2 ["]	0,7	0,4	Herddistanz ca. 9500 km, zerstörendes Beben in Japan. Die Hauptbewegung zeigt besonders auf EW unregelmäßige eckige Wellen.
		iS	6 1 52	5—8	3	3	0,2	0,2	
				i 7	25	10	1	0,4	
		L	21	14	10	10	0,1	0,1	
		M _E	27,0	35					
		C		15	100	45	0,9	0,4	
		F	7 15	12					
, 3	II r	P	5 13 59	2	1	1	0,5	0,5	
		iS	17 5	10	30	10	0,6	0,2	
		iM	19,5	12	140	90	2	1,3	
		C		10					
		F	6 0						
, 5	I u	e	22 52	25	10	10	0,03	0,03	
		F	23 10						
, 6	I(r)	e	2 5,6	4	1	1	0,1	0,1	
		M	15	15	10	10	0,09	0,09	
		C		10					
		F	30						
, 6	I u	(e	2 48,3)	(6	> 1	> 1	0,06	0,06)	
		M	3 20	25	10	10	0,03	0,03	
		C		(14)					
		F	4 0						
, 7	I u	M _E	6 25	(20)	5	5	0,025	0,025	
		M _N	29,6	14	5	10	0,05	0,1	
		C		11					
		F	50						
, 9	I u	eP	12 50,5	3	2	1	0,4	0,2	Herddistanz 2—3000 km von Samoa.
		LM	13 28	45	70	100	0,07	0,1	
		C		14					
		F	14 0						
12	II u	P	5 37 2	1—2	1	1	2	2	Herddistanz etwa 2000 km von Samoa.
				5	5	5	0,4	0,4	
		M	6 28	50		150		0,1	
		C		18					
		F	7 20						

Nr.	Datum	Charakter	Phasen	Zeiten (Greenwich)	Perioden T	Amplituden		ΔE g	ΔN g	Bemerkungen
						AE	AN			
						milligal				
71	Juni 14	Iu	eP (S) L C F	^h 11 49 ^m 35 11 14 12 44 14	2—3 ^s 16	1 ^μ	1 ^μ			Herddistanz etwa 2 3000 km von Samoa. Zweiter Vorläufer, ginn und Maximum Hauptbewegung sind zu erkennen von 13 ^h sehr regelmäßige W mit geringen Schwebu von T = 22 (A = auf T = 16 abnehme
72	" 18	Iv	e(P) M F	13 30 21 51 31 23	0,2 0,3		< 0,05 0,3		0,25	
73	" 19	Iu	eP M C F	1 32,4 54 2 20	3 16 6	> 1 10	10	0,08	0,08	
74	" 23	Iu	e F	12 34 45	18	10		0,06		
75	" 23	Iu	e C F	13 42 14 5	25 18	15	3	0,05	0,01	Bis 24 ^h tauchen auf immer wieder solche sc che regelmäßige We züge auf von T = 1 10" besonders 15 ^h 12 16 ^h 7 ^m 16 ^h 45
76	" 26	Iu	P M C F	16 22 46 17 25	6 0,7 23 (16)	6	0,2 3	0,02	0,08 0,01	
77	" 26	Iv	eP M C F	22 53 35 57 54 50	0,3 0,3 0,3		0,05 0,6		1 13	
78	" 26/27	Iu	e M C F	23 51 0 0 20	2,3 20 15	6	0,5 3	0,03	0,2 0,015	23 ^h 56 ^m 45 ^s ist ein beben im Vogtland.

Datum	Charakter	Phasen	Zeiten (Greenwich)	Perioden T	Amplituden		ΔE g	ΔS g	Bemerkungen
					ΔE	ΔS			
					milligal				
Juni 28	I(r)	e	17 24 ^{b m s}	4 ^s	μ	μ			
		M	26,3	18	8	6	0,05	0,04	
		C		9					
		F	40						
" 30	II u	P	17 27	5 0,5; 2,5		0,1; 0,5		0,8; 0,2	Herd etwa 3000 km von Samoa.
		(S?)	17 43	6	3	3	0,2	0,2	
		L	18 11						
		M _E	18 13	40	90-100	20	0,15	0,02	
		M _N	21	30	30	70	0,07	0,2	
		eL	20 42-45	20-30					Neu Auftauchen der Bewegung. Neuer Stoß.
		eM	49	30	10	20	0,02	0,04	
			59 1/2	15	15		0,1		
		C		18					
		F	21 35						
Juli 1	I	L	2 1/2 —3						Lange sehr schwache Wellen.
" 2	I u	P	3 52 25	1		0,1		0,2	Auffällig ist die geringe Größe von Amplitude und Periode in M.
		(S)	4 3,4						
		M	15,1	13	6	4	0,07	0,05	
		C		8					
		F	30						
" 3	I u	eP	0 4	1,2		0,05		0,07	
		L	39						
		M	57	30	20	20	0,04	0,04	
		C		18					
		F	1 15						
" 5	Ir	e	1 0	10	3	3	0,06	0,06	
		F	20						
" 5	Ir	e	16 45,3	5-6		2		0,1	
		(M)	52	15	5	3	0,04	0,03	
		C		8					
		F	17 10						
" 6	(Ir)	e	15 52,8	1-3		0,5		1	
		(M)	16 2	7	2	2	0,08	0,08	
		F	7						

Nr.	Datum	Charakter	Phasen	Zeiten (Greenwich)	Perioden T	Amplituden		Δg milligal	$\Delta n g$	Bemerkungen
						A _E	A _N			
87	Juli 6	III u	P	16 ^h 33 ^m 17 ^s	1 ^s		0,5 ^m		1	Auffällig sind die einzelnen sich schroff erhebenden Maxima. Mehrfach Schwebung Etwa um 18 ^h 45 ^m treten die Wellen längerer Periode und stärkerer Amplitude aus den Nachbarn von kürzerer Periode hervor (Wiederkehr des Bebens). Herddistanz auf 9500 geschätzt.
			iS	43,6	i 18	160	25	7	7	
					12			1	0,15	
			L	17 3	40					
			(M _E) ₁	7,5	30			2		
			(M _E) ₂	9,3	25	600		2		
			(M _N) ₁	13,4	22	500				
			(M _N) ₂	14,3	22		450		2	
			(M _N) ₃	16,3	20		350		1,7	
			C		18		250		1,5	
88	„ 9	III u	P	18 45	14					M konnte nur schätzungsweise als untere Grenze angegeben werden. beide Pendel schlugen 20 ^m lang gegen die Ankerschrauben, die ein Brechen der Feder durch zu große Elongation verhindern. Ebenso ist Maximum von ΔG wahrscheinlich noch zu klein geschätzt.
					25	12		0,04		
			P	9 49 40	1		2		4	
					4	30	20	3,7	2,5	
			iS	9 57 25	10—20	ca. 30	ca. 20			
					i 14	200	100	2	1	
					4—6	20	15	1,2		
					40	1000	500	1,2	0,6	
			i	10 1 44	18	700	500		3,1	
			M	7	40	10000	10000		12,5	
			M für							
			e ₁	11 8-13	1—3					
			e ₂	11 23	6		3		0,2	
			M ₁	28	(20)	150	300	0,8	1,5	
			e ₃	11 30-35						
			e ₄	36,5-40						
			M ₂	50	30		100		0,2	
			C		20—15					
			L ₁	12 18	30	30		0,07		
			F	14 10						

Datum	Charakter	Phasen	Zeiten (Greenwich)			Perioden T	Amplituden		\mathcal{J}_E g	\mathcal{J}_N g	Bemerkungen
			h	m	s		A_E	A_N			
							μ	μ	milligal		
Juli 9	Ir	e M C F	23 17,3 18,3 30			2—3 14 7	5	0,5 3	0,05	0,25 0,03	Zunächst haben die Anschwellungen nicht das glatte sinusförmige Aussehen, wie Wellen, die bei der Rückkehr des Bebens auftreten. Wenn ferner die Anschwellungen um 11 ^h 28 ^m und 50 ^m neue Stöße sind, so müßten ihre kurzperiodigen Iten Vorläufer von 11 ^h 10—18 ^m und 11 ^h 32—40 ^m auftreten. Tatsächlich sind um diese Zeit 11 ^h 8—13 ^m und 11 ^h 30 ^m bis 35 ^m 36,5—40 ^m kurzperiodige Wellen den langen Wellen überlagert (17000 kg Pendel). Um 12 ^h 18 ^m setzen langperiodige Wellen (30 ^s) zwischen den Nachläufern kürzerer Periode ein (Wiederkehr des Bebens).
" 10	Ir	e M C F	12 (51) 56,3 13 10			18 3	5	5	0,03	0,03	
" 10	Iu	e M C F	22 3 5 35			12 26 12	10	(3)	0,03	0,01	
" 11	IIu	P iS _E i L M C F e F	8 48 51 56 13 9 0,0 6 8 10 30 11 51 11 15			2 10 20 30 7 14	7 25 140 30	0,2 15 120 30	0,1 0,1 0,3 1,2	0,1 0,08 0,3 1,2	
							5	2	0,03	0,01	

Nr.	Datum	Charakter	Phasen	Zeiten (Greenwich)	Perioden T	Amplituden		ΔE g	ΔN g	Bemerkungen
						AE	AN			
milligal										
93	Juli 11	Iu	P i ₁ i ₂ i(M) C F	15 ^h 50 ^m 5 ^s 16 0 23 2 27 7,9 17 15	1—2 ^s 4 6 18 14	" 4 8 15	0,2 " 6 8 < 15	 0,5 0,4 0,09	0,4 0,8 0,4 < 0,09	Kein ausgeprägtes Maximum, wahrscheinlich von demselben Herd wie das von Beben.
94	" 12	Ir	eP M _N C F	11 45 57,7 12 10	1 8 20 9	 7	<0,1 8	 0,04	<0,2 0,25	
95	" 12	Ir	e F	12 58 13 5	6 (20)	3	2 3	0,02	0,1 0,02	
96	" 13	Ir	e M F	0 4 9 15	6 20	5	2 2	0,02	0,1 0,01	
97	" 13	Ir	e M C F	6 16,6 21,1 35	3—4 20 10	5	0,3 5	0,02	0,06 0,02	
98	" 13	I(r)	e	7 37	15		2		0,02	
99	" 13	Iu	e F	11 5 30	15	2	2	0,02	0,02	
100	" 13	I(v)	e F	13 7,1 9	1 3—4		0,2 0,5		0,4 0,1	
101	" 14	Iv	eL F	6 9 5 11 13	1—2 5	1	0,1 1	0,08	0,2 0,08	
102	" 14	Iu	P (S) M C F	9 1 26 10 15 20 10 50	1—3 6 40 17	0,5 2 50	0,5 2 (5)	1 0,1 0,06	1 0,1 (0,01)	

Datum	Charakter	Phasen	Zeiten (Greenwich)	Perioden T	Amplituden		ΔE g	ΔN g	Bemerkungen
					A_E	A_N			
milligal									
3. Juli 14	II u	P	22 ^h 11 ^m 23 ^s	1—2 ^s	0,5 ^μ	0,5 ^μ	1	1	S vielleicht schon 22 ^h 17 ^m .
		S	22,5	1					
		L	29	6	3	3	0,2	0,2	
		M	31,7	30					
		C		18	300	200	2	1,3	
		F	23 40	12					
4 „ 16	I r	eP	12 23 5	1		0,2		0,4	
		M	27,2	7	5	7	0,2	0,3	
		C		3	2	2	0,4	0,4	
		F	40	6					
5 „ 16	I r	P	19 0 29						
		M	10,6	10	3	3	0,06	0,06	
		C		6—8					
		F	25						
6 „ 17	II u	iP	0 43 5	1,2	5	3	7	4	Die ersten Vorläufer sind auffällig stark gegenüber dem übrigen Bebenbilde. M und L schwer zu erkennen. Herd etwa 2—3000 km von Samoa.
				2—3		2		0,06	
				25	15	10	0,05	0,03	
		M	1 30	40	50	(10)	0,06	0,01	
		C		18					
		F	2 50						
7 „ 17	I(u)	e	21 45,7	4—6	1	1	0,1	0,1	
		(M)	51	14	3		0,03		
		F	22 0						
8 „ 18	I u	e	3 13	18	3	2	0,02	0,01	
		F	35						
9 „ 19	I r	e	13 45	10	3		0,06		
		F	14 0						
10 „ 20	I r		1 30— 20	12—14 3—6	1—2	> 1 0,5	0,02	0,01 0,1	Sehr unruhig, wahrscheinlich Bebenschwärme, nicht mikroseism. Bewegung, da auf N. S. nur schwach sichtbar und sehr unregelmäßig.

Nr.	Datum	Charakter	Phasen	Zeiten (Greenwich)	Perioden	Amplituden		ΔE g	ΔN g	Bemerkungen
					T	AE	AN	milligal		
111	Juli 23	III u	P	^b 2 ^m 55 ^s 32	1,2 ^a	^μ	4 ^μ		5	Rußschrift auf dem Tonnen-Pendel mangelhaft. Die Amplitude von und ΔG max. nur als rtere Grenzen geschätzt, ca. 25 Minuten lang d Pendel rechts und links gegen die Anschläge schüttelnd. Schwebungen. Herddistanz ca. 6700 k dieselbe wie bei III u Juli dem dieses Beben sehr ähnlich ist, z. B. auch in d Anschwellung i. Auffall ist die große Periode d Nachläufer. Um 4 ^h 58 ^m tauchen e paar lange Wellen (70 auf, denen sich die Nachläufer überlagern (wo Wiederkehr des Bebens) Wellen von gleicher Periode lassen sich um ein 3 ^h 7—10 ^m trotz stark Überlagerung erkennen
					7	30	30	1,2	1,2	
					20—30	100	70	0,3	0,2	
			iS	3 3 14	20	530	570	2,6	3	
					7; 14	70	70	3,1	3,1	
			i	7,1	16	600	600	5	5	
			M	13	40	10000	10000	13	13	
			ΔG							
			max.	ca. 20	6	600	600	30	30	
			C		19					
L	4 58	70								
F	7 20									

Bemerkungen zu den Beben vom 4. April und vom 9. und 23. Juli 1905 von E. Wiechert¹⁾.

Im mittleren Europa sind neuerdings eine Reihe von Erdbebenwarten neu gegründet oder mit Apparaten für verschärfte Beobachtung ausgerüstet worden und mehrere Stationen veröffentlichen in kurzen Fristen regelmäßige Berichte über die Registrierungen. Diese erfreulichen Zeichen lebhaften Fortschrittes lassen den Versuch aussichtsvoll erscheinen, schon jetzt die Ergebnisse der europäischen Stationen für eine Bearbeitung der Fernbeben zusammenzufassen. Eine Probe, welche ich mit den beiden außergewöhnlich heftigen und einander sehr ähnlichen Erdbeben vom 9. und vom 23. Juli unternahm, führte zu so einem überraschend günstigen Erfolg, daß ich die Resultate hier kurz angeben möchte. Ich hoffe, daß sich daran manche weitere Anregung knüpfen wird.

Die Untersuchungen mußten sich bisher auf den Beginn des Bebens beschränken, da eine Behandlung späterer Phasen ohne Verwendung von Kopien aussichtslos schien. Folgende Angaben konnten benutzt werden:

Beginn d. Bebens	in Pola	Wien	Straßburg	Göttingen
vom 9. Juli	— —	9 ^h 49 ^m 18 ^s	9 ^h 50 ^m 2 ^s	9 ^h 49 ^m 40 ^s
„ 23. „	2 ^h 55 ^m 43 ^s	2 ^h 55 ^m 23 ^s	2 ^h 55 ^m 52 ^s	2 ^h 55 ^m 32 ^s

Um die Geschwindigkeit und die Richtung des Herannahens der Erdbebenwellen, also die Richtung zum Herde, festzustellen, sind 3 Stationen erforderlich. Für den 9. Juli, wo diese eben vorliegen, verwendete ich ein halb graphisches, halb rechnerisches Verfahren. Für den 23. Juli, wo eine Station im Ueberschuß vorhanden ist, ging ich rein rechnerisch mit der Methode der kleinsten Quadrate vor. Zur Bestimmung des Ortes des Herdes wurde noch berücksichtigt, das aus den Göttinger Diagrammen in beiden Fällen auf seine Entfernung von 6700 km zu schließen ist. So ergab sich für den Ort des Herdes:

am 9. Juli: Breite 37° N. Länge 98° E (Greenwich).

am 23. Juli: Breite 43° N. Länge 107° E (Greenwich).

Hiernach lag der Herd beide Male in dem Wüstengebiet der Mongolei, am 9. Juli südwestlich vom Baikalsee — und etwa 1500 km von der sibirischen Grenze, am 23. Juli südlich vom Baikalsee und etwa 600 km von der sibirischen Grenze. Diese Resultate lassen es leicht verstehen, warum über gefühlte Wirkung des Bebens vom 9. Juli gar keine Nachrichten bekannt geworden sind und warum das Beben vom 23. Juli zwar genau in den Gebieten Sibiriens, welche nach der Rechnung zunächst in Frage kommen, wirklich gespürt worden ist, aber nur als unschädliches, wellenförmiges Schwanken des Erdbodens: der eigentliche Herd lag eben auch hier noch in weiter Entfernung. —

Eine gerade Linie, welche die beiden Herde verbindet, führt nach Indien, in die Nähe des Schauplatzes des schrecklichen Bebens vom 4. April dieses Jahres. Es liegt darum die Vermutung nahe, daß alle drei Beben in ursächlichen Zusammenhang mit einander stehen. Es erfolgten hier auf einer 3000—4000 km langen Linie quer durch den Kontinent Asiens nacheinander drei gewaltige Brüche, wobei jeder folgende Bruch weiter nordöstlich vor sich ging. —

Der Erfolg der Rechnung in diesen beiden Fällen führt zu der sicheren Erwartung, daß es bei vollständigen Betriebe der bestehenden und noch geplanten europäischen Stationen schon durch die Beobachtungen an diesen leicht möglich sein wird, den Ort des Herdes jedes größeren und nicht zu fernem Bebens auf wenige Hundert Kilometer genau zu bestimmen. —

Für die Geschwindigkeit, mit welcher die Erderschütterungen durch Mitteleuropa hindurch gingen, ergaben die Beobachtungen vom 9. bezüglich 23. Juli die Werte 12 bezüglich 16 Kilometer in der Sekunde. Da in Wirklichkeit die Geschwindigkeit beide Male sehr nahe gleich gewesen sein muß, werden wir einen Wert zwischen 12 und 16 suchen müssen, und zwar wegen der größeren Zahl der Beobachtungen am 23. wohl näher an 16 als an 12. Das stimmt mit bisherigen Erfahrungen gut zusammen.

Nr.	Datum	Charakter	Phasen	Zeiten (Greenwich)	Perioden T	Amplituden		ΔE g	ΔN g	Bemerkungen
						ΔE	ΔN			
						milligal				
112	Juli 23	I u	e M C F	^h 8 ^m 24 ^s 27,0 40	^s 6 14 9	1 5	1 5	0,06 0,05	0,06 0,05	Die folgenden Beben sind als Nachstöße an ihrer Form (Periode) und ihr Vorläufern zu erkennen und wohl von einer Rückkehr des Bebens zu unterscheiden.
113	" 23	I u	P L M M ₂ C F	9 22 40,0 40,8 44,5 10 0	0,8—1,7 6 20 20 14 8	2 10 20	0,2 2 10 10	0,1 0,1 0,05 0,2	0,6 0,1 0,05 0,1	
114	" 23	I u	M C F	10 34,0 50	4—6 20 10	10	1 10	0,05	0,1 0,05	
115	" 23	I u	e M C F	11 55 12 0,5 10	6 14 8	< 1 5	1 3	0,06 0,05	0,06 0,03	
116	" 23	I u	P M M ₂ C F	20 44 51 21 5 8 25	1,7 6 20 14 8		0,5 30 6		0,3 0,2 0,1 0,06	
117	" 24	I u	e P M C F	23 25,3 49,5 1 5	1,2 6 12 9	3 10	0,1 5 10	0,1 0,1	0,001 0,3 0,1	
118	" 27	I u	e S M C F	22 (39) 47 23 16 0 15	(4) 6—8 20 14	< 1 2 10	0,1 2 10	0,1 0,05	0,1 0,05	

Or.	Datum	Charakter	Phasen	Zeiten (Greenwich)	Perioden T	Amplituden		Σg g	ΣN g	Bemerkungen
						Ag	As			
						milligal				
19	Juli 28	I u	e F	1 ^h 45 ^m 50 ^s	16 ^s	5 ^{mm}	3 ^{mm}	0,04	0,02	
20	" 30	I u	e F	0 58 1 5	16	2	2	0,02	0,02	
21	" 30	I v	P i M ₁ i M ₂ C F	1 26 22 41 43 27,5	0,4 0,4 0,3 0,3		0,1 0,5 0,4		1 6 9	Nur von dem 17000 kg Pendel registriert. (Plauen??)
22	" 30	I u	e (S) M C F	12 10 45 13 20	(12) 6 18 9	1 2 8	3 8	0,01 0,1 0,05	0,2 0,05	
23	" 31	I r	e P (S) M C F	12 22,0 33,5 13 0	6 10 20 8—12	1 2 10	1 2 10	0,06 0,04 0,05	0,06 0,04 0,05	
24	" 31	I r	e F	15 33 40	20		5		0,02	
25	Aug. 2	I (r)	e (M) F	10 57 59 11 5	6 16	1 3	— 3	0,05 0,02	0,02	
25	" 4	II r	P (S) L M ₁ M ₂ C F	5 11 45 15,5 16,5 18,3 6 0	0,6; 1,5 8 12 12 12	5 150 200	0,1; 0,7 5 120 150	0,05 0,2 2 3	0,05 0,2 1,7 2	Von dem neu aufgestellten Vertikalseismographen ist ein Diagramm von ähn- lichen Dimensionen mit gut ausgeprägten Vorläufern aufgezeichnet. Belgrad 6 ^h 10 ^m M. E. Z. starkes Erd- beben gespürt.

Nr.	Datum	Charakter	Phasen	Zeiten (Greenwich)	Perioden	Amplituden		ΔE g	ΔN g	Bemerkungen
					T	A _E	A _N			
127	Aug. 4	I r		^h 9 ^m 39 ^s 47 41,0	1 "	"	0,2 "		0,4	
	"		(S)		6	4	4	0,2	0,2	
					1,5		0,5		0,4	
			M	43,5	12	7		0,1		
			F	50						
128	" 6	I u	e	19 48	30	15		0,03		
			F	20 5						
129	" 6/7	II r	e P	23 57,7	1,2		0,1		0,1	
			M	0 1,3	14	10	10	0,1	0,1	
			C		6					
			F	15						
130	" 8	I u	e P	13 30,2	3—5	1	1	0,2	0,2	Herd etwa 1—2000 k von Samoa.
			M	14 17	45	30	15	0,02	0,01	
			C		17					
			F	15 45						
131	" 11	I u	e	4 6	20	5	3	0,02	0,02	
			F	30						
132	" 12	I (r)	e P	21 31 10(?)	1,2		0,1		0,1	
			i ₁ (L)	32 41	5	5	3	0,4	0,2	
					3					
					1,8					
			i ₂ (M)	33 2	8	6	5	0,2	0,2	
			C		8					
			F	44,5						
133	" 13	II v	e P	10 23 11	0,5—1					Amplitude steigert sich allmählich in klein. Stufe. Schwingungen unregelmäßig. Am Genfer See gespürt. Im Hauptbeben eine lange Welle. T = 15 ^s A _E = 5 ^m .
			i ₁ (S)	24 17			0,2		1	
			i ₂	49						
			M	25 5			1,2		4	
			C		1—2		2,5			
			F	35,5						
134	" 13	I v	e L	7 30 ³ / ₄	1		0,05		0,1	
			F	33 ¹ / ₂						
135	" 14	I (v)	e	11 21 5	0,8		0,1		0,4	
			F	23,5						

Datum	Charakter	Phasen	Zeiten (Greenwich)	Perioden T	Amplituden		ΔS g	ΔN g	Bemerkungen
					Ag	As			
6. Aug. 15	Iu	e	19 ^b 5 ^m 5 ^s	18 ["]	2,5 ["]	"	0,02		Etwa 6 Wellen.
7. " 17	IIv	e P L M C F	3 21 55 22 12 14 3 24,5	0,3 0,3 0,3 1,2 0,3		0,1 1		2 20	In Leipzig gespürt. Vielleicht um 3 ^h 22 ^m 10 ^s zweite Vorphase.
8. " 17	I(u)	L F	20 41 21	20	3		0,015		
9. " 18	I	L F	4 12 15	7	1,5		0,06		
10. " 19	I r	e M F	2 4,0 6,5 10,6	0,6 1,5		0,1-0,2		0,1	
11. " 23	I(r)	e M F	4 36 36,9 38	2,5		0,3		0,1	
12. " 23	Iu	e	16 47,8	12	1,5		0,02		Etwa 10 Wellen.
13. " 24	I(r)	e (M) F	11 6,5 10 13	13	2		0,02		
14. " 25	I r	i P S L F	9 57 21 10 6 4 25 55	1 3 7 8	0,3 1-2 4		0,6 0,3 0,12	0,6 0,3	
15. " 25	I(r)	e M F	19 59 38 20 8 41 10	9 12	1 2,5		0,02 0,03		
16. " 25	Iv	e P i(L) C F	20 43 16 46 18 54	2 8 7	5	0,3	0,2	0,2	

Nr.	Datum	Charakter	Phasen	Zeiten (Greenwich)	Perioden T	Amplituden		ΔE g	ΔN g	Bemerkungen
						AE	AN			
						milligal				
147	Aug. 28	Iu	e	^h 5 ^m 14,5 ^s	12 "	2,5 "	0,5 "	0,03	0,01	Etwa 15 Wellen.
148	" 31	Iu	e	0 6	17	2,3		0,02		
			F	0 22	6—12	2—3	2—3			
149	" 31	Iu	e	15 26	18—20	4		0,02		
			F	16 6						
150	Sept. 1	IIu	iP	2 56 57	1		0,5		1	In der Vertikalkomponente ist P stärker als der Horizontalkomp. und umgekehrt in der Horizontalkomponente stärker in der Vertikalkomp.
			i(S)	3 6 15	2—4	1—5	1—4	0,2	1	
			L	3 19	5—10	5		0,04		
			C		10					
			F	4 20						
151	" 1	Iv	iP	22 3 39	1—2		0,5		0,5	P ist zugleich M.
			C		2					
			F	22 17						
152	" 4	Ir	e	22 47 18						
			L	51,2	2		0,4		0,2	
					7	1,5	2	0,1	0,1	
			F	23,0						
153	" 5	Ir	e	1 27,7	2					
			M	30,5	8	3	2	0,1	0,1	
			F	40						
154	" 8	III r	iP	1 46 22	0,5		0,1		1	Zerstörendes Beben
					1—2		1—3		1	Calabrien.
					5—10	15	40	0,5	1,5	Unmittelbar vor P
					25	40	80	0,1	0,3	Welle T = 3 ^h , AN =
			(S)	49,1	3		10		2	P im Seismogramm
					10—20	50—	50—			Vertikalseismometers
						210	150	1	1	scharf, doch klein, T =
			L	50,7	2		3		1,5	A = 15 ^m .
					10—15		500—		10	S in E W bedeutend (1
							1000			doppelt) stärker als in N
			M	53,5	9		1100		27	(Beben kommt von Süde
			C		10—15					S beim Vertikalseis
			F	4 2						meter nicht sehr deutl
			L ₂	4 49	18—20	3		0,02		Das 1200 Kilo Pen
			L ₃	5 6	17					hat 5 Minuten lang ge
										die Anschläge geschlag
										Die großen Aussch

Datum	Charakter	Phasen	Zeiten (Greenwich)			Perioden		Amplituden		ΔE g	ΔN g	Bemerkungen
			h	m	s	T		A_E	A_N			
						s		μ	μ			
										milligal		
												treten in E W fast $\frac{1}{2}m$ früher als in N S auf. Die vertikale Komponente zeigt M noch später (etwa $1m$ später). Etwa $\frac{3}{4}$ Stunden nach Erlöschen der Bewegung $4h$ 49m glatte lange Wellen (Wiederkehr des Bebens).
55 Sept.	9 II r	(e) L C F	13	8	18 12,8 30	2 12 18 9		15 15	0,1 5	0,2 0,1	0,05 0,1	In Calabrien gefühlt. L ist zugleich M. E W Komponente zeigt das Beben stärker als N S.
56 "	12 I(r)	e F	22	1	33 3,6	1,2			0,05		0,1	In der Stundenangabe kann ein Irrtum vorliegen.
57 "	13 I v	e F	11	43	46 45,1	0,5—1			0,5		1	In Gloggnitz gespürt
58 "	14 I r	e (M) F	9	10	40 15,1 20	1,3 2 8			0,05 1 2		0,1 0,5 0,06	In Calabrien gespürt.
59 "	14 I u	i P S (M) C F	19	54	3 20 $3\frac{1}{2}$ 41 22	1,5 6 15—20 15 10—15			0,5 4 10—30 40		0,5 0,2 0,1 0,4	
60 "	15 III u	e P S L C L ₂ F	6	14	14 24 $\frac{1}{2}$ 40 3 $\frac{1}{2}$ 9	1,3 1—2 15—20 40—50 30 15—20 20			0,5 0,5—1 100 700		1 1 1 1,5	Die langen Wellen (40 bis 50 μ) finden sich in der Vertikalkomponente. S ist in der Vertikalkomp. sehr gering. Von $7h$ 9—14m ist ein Nahbeben überlagert (17000 kg Pendel) von $T = 1s$ u. $A_N = 0,1\mu$. Gegen $8\frac{1}{2}$ steigt die Periode der Nachläufer, die auf $14s$ gesunken war, wieder über $20s$. Die Amplituden wachsen dabei. Wahrscheinlich Wiederkehr des Bebens.

Nr.	Datum	Charakter	Phasen	Zeiten (Greenwich)	Perioden T	Amplituden		Δg millgal	Δs g	Bemerkungen
						A_E	A_N			
161	Sept. 15	Ia	e S L F	^b 13 23 ^m 22 ^s 34 13 55 14 14 14,6	1,5 ^s 25 10—15	" 0,05 2	" 5 2,5	 0,03	0,05 0,02 0,03	
162	" 15	I(r)	e F	22 52 40 23,0	1,5 1—2		0,05 0,1		0,05 0,1	
163	" 16	Iv	eP i i (Mt) F	3 6 45 7 9 7 15 8,0	0,3 0,5 0,5		0,05 0,2		1 1,6	
164	" 18	Ir	e F	10 20,6 25	6—12	1,5	1,5	0,05	0,05	In Calabrien gespürt
165	" 23	I(r)	e F	11 41,7 46	10	2	1	0,04	0,02	
166	" 26	IIu	P S L M C F	1 35 17 42 29 54 59 3,2	1,2 3—5 15 6 20—30 15 10—12	 3 3	0,2 1 3	 0,7 0,03	0,3 0,2 0,16 0,05 0,5	iP in der Vertikalkomponente etwa 2 ^s früher in der Horizontalkomponente (17000 kg).
167	" 28	I(r)	(e) F	4 2 5 10 19	4 6 8	1 2 3	1 3 2	0,1 0,1 0,09	0,1 0,2 0,06	
168	" 29	IIu	eP i S L (M) C F	12 10,8 11,7 20 36 47 52 14 40	 10—30 20 15—20	 30 50	 0,6 0,25			Nach dem Vertikalseismograph, da beide Horizontalseismographen zu den Arbeiten an den Instrumenten außer Betrieb waren. Von 12 ^h 47 ^m hat ein 1200-Kilopendel wieder geschrieben. Etwa 14 ^h 8 ^m schwel die schon fast unmerklich

Datum	Charakter	Phasen	Zeiten (Greenwich)			Perioden T	Amplituden		ΔE g	ΔN g	Bemerkungen	
			h	m	s		AE	AN				milligal
20. Okt.	2	I	e(L)	14	15	36	10		1		0,02	gewordenen Nachläufer wieder bis zu $A = 4\mu$ an ($T = 15-20_s$). Vielleicht ein neues Beben. Vielleicht ein Beben.
"	3	I	e	23	50		14		1		0,01	
			(L)	24			20					
			M	0	3		20	3	9	0,01	0,05	
			F	0	20							
1 "	6	Iv	e	1	28	38	0,7					In Cosenza gefühlt.
			M	30		8	1,2		0,2		0,3	
			F	31								
2 "	8	IIr	i P	7	30	36	5	11	7	1	0,5	In Bulgarien und Mace- donien gefühlt.
							1,6					
			i S	33	16		6	8		0,4		
			(L)	34	16		(30)	(50)		(0,1)		
			M	36	15	10-12	10	120	110	2	2	
			C				10					
			F	8	35							
3 "	14	Ir	e	14	48	22	1,3		0,1		0,1	In Monteleone gefühlt.
4 "	14	Iu	e	15	9		20					
			M _N	9	40		20		4		0,02	
			M _E	18	40		18	3		0,02		
			F	25								
5 "	15	Iu	P	21	53	45	12	(3)				Durch starke mikro- seismische Bewegung ist die Messung von A für für P und S unsicher.
			(S)	22	3	9	7	(4)	(4)	0,2	0,2	
			L	14	50		20					
			M _N	15	47		20	6	12	0,03	0,06	
			M _E	23	5		18	16	6	0,1	0,04	
			C				13					
			F	45								
6 "	16	I(u)	e	12	10							i P in der Vertikalkomp. um 11 ^h 41 ^m 30 ^s .
			M _N	14			20		7		0,04	
			M _E	17			18	5		0,03		
			F	31								

Nr.	Datum	Charakter	Phasen	Zeiten (Greenwich)			Perioden		Amplituden		Δg milligal	ΔN g	Bemerkungen
							T		A_E	A_N			
177	Okt. 17	I (u)	e (L) F	^h 11 43 ^m 11 58 ^s 12 10			18		^{μ} 3		0,02		
178	" 19	I (r)	e M F	4 41 4 45 46 50			10		1,5		0,03		Vielleicht ein Beben.
179	" 19	I u	i (S) M F	16 44 10 16 58 17 28		10 30		1	2 6	0,02	0,04 0,01		i P in der Vertikalkomponente 16h 34m 30s.
180	" 21	II r	i P i S (L) M_N C F	11 6 30 11 10 50 16 18 23 40		2—4 7 9 12 7			6 30 100		3 1,2 1,4		P in der Vertikalkomponente sehr stark, S dort gering.
181	" 21	I r	P i S i L M_N M_E F	13 25 22 29 39 34 34 28 38 37 14		2 6 6—9 6 6		5 5 6 6	2 6 7	2,5 0,3 0,3	1 0,3 0,4		
182	" 21	I u	i P e M F	18 48 15 19 47 20			20		2,5		0,01		i P nur in der Vertikalkomponente.
183	" 22	I r	P (S) (S) M_N M_E F	3 58 ³ / ₄ 4 1 55 4 25 6 16 6 30		7 9 12 9		4,5	1,5 10 28 12	0,1	0,07 0,2 0,4 0,3		In Konstantinopel fühlt.
184	" 22	I u	e M F	8 38 9 0 9 7 25 10		9 30 15			2 20 15	0,02	0,05 0,04 0,1		
185	" 23	I (v)	(e L) F	2 46 50		6—9			1,5		0,01		

Datum	Charakter	Phasen	Zeiten (Greenwich)	Perioden T	Amplituden		ΔE g	ΔN g	Bemerkungen
					A_E	A_N			
30. Okt. 24	I(u)	P _i i S L M _N F	^h 3 58 ^m 26 4 1 48 8 39 28 39 18 55	^s 1—2,5 3 3—12; 6 12	^μ 2 8	^μ 0,7 0,4 0,4		0,4 0,04	
7. , 24	I(u)	(e) L M F	18 6 4 30 48 31 17 19	5—9 15—20 17		4 40		0,04 0,3	Um 17 ^h 56 ^m , vielleicht P (T = 3—5).
8. Nov. 1	I		11 0 34 12 17	2—5 20		0,2		0,1	
9. , 3	I(u)	(P) (S) L M F	18 42 12 51 45 19 4 35 14 35 20	3—4 4 24	12	1 2 20	0,04	0,1 0,2 0,07	
10. , 6	Iu	e P (e) (S) e L M C	17 14,6 17 23,3 30 39 48,1 54,2 18 6	18 8 35—40 18 15	2 1	1 1	0,01 0,03	0,006 0,03	Das 1200 kg-Pendel hat vom 30. Okt. bis zum 2. No- vember nicht geschrieben.
11. , 6	Iu	e L M F	18 33 40 37 40 19	20	11	14	0,05	0,07	F geht in ein neues Beben über.
12. , 8	Ir	(P) S L M F	1 19 45 24 27 15 28 45 41	3—4 18	1 4	0,25 0,02		0,01	Dieser Wellenzug sieht dem vorigen sehr ähnlich.

Nr.	Datum	Charakter	Phasen	Zeiten (Greenwich)		Perioden T	Amplituden		ΔE g	ΔN g	Bemerkungen
							ΔE	ΔN			
193	Nov. 8	Ir	P e L M _E M _N F	2 ^h 56 ^m 15 ^s 3 20 45 25 45 37 5 54	1—2 30 15	^μ 3 3	0,1 ^μ 3	 0,007 0,03	0,2 0,03		
194	" 8	I		13 15	30						Ein paar lange Wellen
195	" 8	III r	i P i S L M _N C F	22 9 45 12 55 14 59 16 4 24	3,5 1,8 1 (12) 5 45 25 10,5 16	5 8,5 1,6 (150) 80 1800 2250	0,8 5 3 (2) 6 6 42			Das 1200 kg-Pendel war nicht in Betrieb. Das 100 kg-Pendel zeigt lange Wellen (45*), die zugleich mit dem Einsetzen von S beginnen. Das 17000 kg-Pendel schlug mehrfach an der Hemmung. M _N = 2250 μ ist aus dem weiteren Verlauf der Kurve geschlossen.	
196	" 9	Ir	P (S) L F	0 31 17 0 35 35 37 22 49	2 7 12	1 12	0,5 0,2				
197	" 9	Ir	P L F	1 17 22 22 22 31	2 10—12	0,4 20	0,2 0,1				
198	" 9	Ir	(P) S L F	19 9 47 12 27 14 37 21	2—3 6 9	2 5	0,1 0,1	0,05			
199	" 9	I v	P L F	19 54 10 56 27 20	1,5 1,5 2,5	0,3 0,3 0,3	0,3 0,3 0,1				
200	" 15	Ir	P (S) e L F	6 24 55 28 58 32 44	3 12	2 3	0,03 0,05				

Datum	Charakter	Phasen	Zeiten (Greenwich)	Perioden T	Amplituden		ΔE g	ΔN g	Bemerkungen
					A_E	A_N			
					milligal				
1 Nov. 15	I v	e(S) L F	^h 14 ^m 38 ^s 13 39 22 40 30	1—2		0,4		0,2	In Weißenfels und Raibl (Kärnten) gefühlt.
2 „ 18	I r	P eL F	0 23 35 27 30 29 30 35 30	2 7 9	4	1 3	0,1	0,5 0,1	
3 „ 19	I v	e(L)	23 41	1—3		< 1		0,5	Wahrscheinlich Vorläufer eines Bebens; da das Pendel (17000 kg) nicht weiter registriert hat, fehlt der übrige Teil. E Komponente bedeutend stärker als N Komponente.
4 „ 21	I u	e(P) e(S) eL	23 21 30 27 30 42 30 54 30	10 30 10	1 11 5		0,02 0,02 0,1		F geht in das nächste Beben über.
5 „ 22	II u	eL M C	0 25 2 35 53	30 13 12	27 35	6 9	0,06 0,4	0,01 0,1	
6 „ 22	I u	eL F	1 31 48 42	12	3	2	0,04	0,03	Möglicherweise gehören diese 3 Beben vom 21. u. 22. Nov. zusammen.
7 „ 25	I v	eL M F	10 51 30 52 34 53 30	1—1,5 1,5		1		1	In Charente gefühlt.
8 „ 26	I v	e eL M F	6 55 22 58 3 59 5 7 2 30	1—2 3		1 1,5		1 0,3	In Benevent gefühlt.
9 Dez. 1	I	L	2 2 25	15		6		0,05	Ein paar lange Wellen.

Nr.	Datum	Charakter	Phasen	Zeiten (Greenwich)	Perioden T	Amplituden		ΔE g	ΔN g	Bemerkungen
						A_E	A_N			
210	Dez. 4	r II	i P	7 ^h 10 ^m 43 ^s	6 ^k	31 ["]	10 ["]	1,7	0,6	i P sehr deutlich in Vertikalkomponente. S ring in der Vertikalkomponente. S in NS doppelt so stark wie in E W. Die langen Wellen Hauptbebens sind bei der NS Komponente schwächer während der Dauer von zu erkennen (7 ^h 18 ^m).
			i S	15 7	15 ^k	27	90	1,5	0,8	
			L _N	18						
			M _N	19 31	40		330		0,4	
				20 13	20		260		1	
					25		600		2	
			L _E	21 43						
			M _E	22 13	12	143		2		
			C		10					
			L ₂	9 17	15		7		0,07	
			F	28						Zum vorigen Beben gehörig. (Wiederkehr Bebens?)
211	" 4	r I	P	9 44 32	3					
			L	56	20	5	10	0,03	0,05	
			F	10 3						
212	" 4	I r	i P	12 25 29	4 u. 2	1,5	0,5	0,2	0,06	
			i S	29 54	6	10		0,6		
			L	34 15	20	2	12	0,01	0,06	
			F	50						
213	" 6	I v	e P	0 9 25	0,5—1		0,04		0,1	Nur beim 17000 kg-Per deutlich. In der Schweiz gef (Martigny).
			(S)	10 25	1		0,2		0,4	
			L	11	1,2		1		1,4	
			F	14						
214	" 8			3 55	15—20					Ein paar lange Wellen
215	" 8	I(r)	e L	5 11	15		7		0,06	
			F	18						
216	" 9	I(r)	(P)	20 4						
			L	8	15	3	10	0,03	0,1	
			F	17						

Datum	Charakter	Phasen	Zeiten (Greenwich)	Perioden	Amplituden		ΔE g	Δv g	Bemerkungen
				T	AE	AN			
Dez. 10	II u	i P	12 ^h 46 ^m 54 ^s	3	1	1	0,2	0,2	Schon bei S lange Wellen.
		S	56 19	15		7		10,06	
		(e L)	13 2	12	9	8	0,1	0,1	
		L	17	30		30		0,07	
		M	28	25	18	40	0,06	0,1	
		C		20	20	75	0,1	0,4	
		F	14 35	15					
		L ₂	15 7	20		13		0,06	
, 10	I u	e(P)	18 25	1—2					
		e(S)	35 ¹ / ₂	4—6		3		0,4	
		e L	53						
		M	19 11 29	20	22	60	0,1	0,3	
		F	20						
, 15	I v	i L	17 50 44	1,5		0,5		0,4	
		F	53						
, 16	I(r)	L	23 1	6—12					
		M	1 33	10	10	3	0,2	0,06	
		F	7						
, 17	I u	i ₁	5 54 42	12		5		0,1	
		i ₂	6 0	12		4		0,05	
		L	13						
		M	19 ¹ / ₂	18	6	50	0,04	0,3	
		F	15 ¹ / ₂	30		60		0,1	
		F	7 20						
, 17	I u	e L	10 14						
		M	29	15	12	14	0,1	0,1	
		F	11						
, 17	I v	e P	22 18 13	0,5—1		> 0,1		> 0,2	In Agram gefu ^{hlt.}
		i ₁	18 47						
		i ₂	19 8			0,4			
		S	19 45	1		0,8		2	
		L	20 5	1,5		4		4	
		M	21 27	4		7,4		1	
				5	7		0,5		
		F	29						

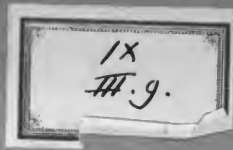
Nr.	Datum	Charakter	Phasen	Zeiten (Greenwich)	Perioden	Amplituden		ΔE g	ΔN g	Bemerkungen	
					T	A_E	A_N	milligal			
224	Dez. 23	I v	e L	^h 2 ^m 48 ^s 42	1	^μ	0,05 [″]		0,1		
225	" 24	I(r)	e L M F	20 8 1/2 15 19	15		2	2	0,02	0,02	
226	" 25	I v	e P L M F	17 7 28 8 28 8 34 14	1,2 1 1 12		0,5 2,5 3	0,5 1,6 5	0,7 3 0,04	0,7 3 0,04	In der Ost-Schweiz fühlt.
227	" 26	I v	e P L M F	0 21 41 22 59 23 3 27	0,5 u. 1 1 1 12		2,5 5	2,6 5	5 0,07	5 5	In der Ost-Schweiz fühlt.
228	" 27	I(u)	L F	1 13 25	20		5		0,02		
229	" 28	I v	e L F	22 26,2 28 9 30	1/2 1			0,1		0,2	In Agram gefühlt.
230	" 29	I	L	0 38	15						Ein paar lange W
231	" 29	I(r)	e F	3 53 55	15		7	3	0,06	0,03	Vielleicht mikro- mische Bewegung.

Mikroseismische Bewegung 1905.

Datum	Januar		Februar		März		April		Mai		Juni	
	T	AN	T	AN	T	AN	T	AN	T	AN	T	AN
1			(5)	1	5	1	< 1		6	1		< 1
2	5-6	2	6-3	3-4		< 1	6-10	< 1	6	1		< 1
3	5-6	2-3	6-8	1		< 1	7	1		< 1	8	3
4	5-6	2	(6)	1		< 1		< 1	5	< 1	7	2
5	5-6	2	5-6	1		< 1	5	1		< 1		< 1
6	5-6	1	8-10	4-5	< 1	< 1	5-7	2		< 1		< 1
7	5-6	2	6	1-2	7-8	2	6	1		< 1		< 1
8	5-6	2-3	5-6	1-2	8	3	5	< 1		< 1		< 1
9	5-6	4-6	5-6	2	7-8	3-4	4-5	1		< 1		< 1
10	6-8	10-12										
	7-8	9-7	7-8	5	7	2	5	< 1		< 1		< 1
11	7-8	7-5	7-5	3	6-7	3	5	< 1	6	< 1		< 1
12	6	2-1	6	3-4	5	5		< 1		< 1		< 1
13	6	1	6	1	6	3	5	< 1		< 1		< 1
14	6	1	6	1	6	3	6-7	2		< 1		< 1
15	6-8	3-5		< 1	8; 4	5; 1	5-7	1-2		< 1		< 1
16	5-6	2-3	6	1-2	6	3-2	7	1-2		< 1		< 1
	6-7	3-8										
17	6-7	8-5	9-10	5	7	1	7	1		< 1		< 1
18	6	4-2	9	3-5	5-6	1		< 1		< 1		< 1
19	5-6	1	9	5		< 1		< 1		< 1		< 1
20	6	3-6	7	4	4-6	< 1		< 1		< 1		< 1
21	6	4-2		< 1	5-6	< 1	(5)	< 1		< 1		< 1
22	5-6	1	—	—	6	1	6	1		< 1	7-8	< 1
23	6-7	2-3	4-5	1-2	6-7	1		< 1		< 1		< 1
24	6-7	1		< 1	5-7	1-2		< 1		< 1		< 1
25	6-7	1-2		< 1	6	1		< 1		< 1		< 1
26	6-7	2-3	6-7	2-3	6-7	1		< 1		< 1		< 1
27	6-7	2-5	7-8	3-4	5	1		< 1		< 1		< 1
28	7-8	5-8	5	1		< 1		< 1		< 1		< 1
29	7-8	7-4				< 1		< 1	6	< 1		1
30	6	3				< 1	(4)	< 1		< 1		< 1
31	5-6	2-3				< 1		< 1		< 1		< 1

Mikroseismische Bewegung 1905.

Datum	Juli		August		September		Oktober		November		Dezember	
	T	AN	T	AN	T	AN	T	AN	T	AN	T	AN
1		< 1		< 1	4-5	< 1	4-6	1	3-5	1,5	10	5
2		< 1	5,5	1-2	4-5	< 1	6	1	6	1	10	5
3		< 1	7	2	4-5	1-2	6	1	6	< 1	8	5
4		< 1	6	1-2	4-6	< 1	7	2	7	1	7	1,5
5		< 1		< 1	4-6	1-2	7	2	6	1	6	< 1
6		< 1		< 1	4-6	< 1	7	2	6	1	9	3
7		< 1		< 1	4-6	< 1	5-7	1	6	1	9	5
8		< 1		< 1	4-5	< 1	6	< 1	5	< 1	9	7
9		< 1		< 1	4-6	< 1	6	< 1	7	1	9	5
10		< 1		< 1	4-6	< 1	6	1	6	< 1	7	3
11		< 1		< 1	4-6	< 1	6	1	5	1	8	5
12		< 1		< 1	4-6	< 1	7	1	6	2	9	11
13		< 1		< 1	4-6	< 1	6	2	6	6	7	2
14		< 1		< 1	?	?	7	2	6	3	7	1
15		< 1		< 1	5-6	< 1	7	4	5	2	8	2
16		< 1		< 1	7-8	5	7	2	5	1	7	2
17		< 1		< 1	4-6	< 1	6	1	5	< 1	7	1
18		< 1	4-6	1-2	6-7	< 1	5	1	6	1,5	6	1
19		< 1	4-6	1-2	6-7	< 1	6	1	—	—	8	1
20		< 1	4-6	1-2	6-7	< 1	6	1	5	1	8	1
21		< 1	4-6	< 1	6	1-2	4	1	5	1	10	5
22		< 1	4-6	< 1	4-6	< 1	5	1	5	1	10	5
23		< 1	4-6	< 1	4-6	< 1	6	1	6	2	8	2
24		< 1	4-6	< 1	—	—	5	1	6	1	6	1
25		< 1	4-6	< 1	4-6	< 1	5	1	5	1	6	< 1
26		< 1	4-6	< 1	4-5	< 1	5	1	6	3	7	1
27		< 1	4-6	< 1	4-5	< 1	6	1	6	1	9	2
28		< 1	4-5	< 1	4-5	< 1	7	2	6	1	8	4
29		< 1	4-5	< 1	4-5	< 1	6	2	6	1	9	2
30		< 1	4-5	< 1	6-8	2-5	6	2	8	5	7	2
31		< 1	4-5	< 1			6	2,5			6	5



Seismische Registrierungen in Göttingen
im Jahre 1906.

Von

Karl Zoeppritz.

Aus den Nachrichten der K. Gesellschaft der Wissenschaften zu Göttingen.
Mathematisch-physikalische Klasse. 1908



Seismische Registrierungen in Göttingen im Jahre 1906.

Von

Karl Zöppritz.

Mit 1 Tafel.

Vorgelegt von E. Wiechert in der Sitzung am 7. März 1908.

Vorwort.

Der vorliegende seismische Jahresbericht schließt sich an die ähnlichen der Jahre 1903, 1904 und 1905 an, die ebenfalls in diesen Nachrichten erschienen sind. Bezüglich der registrierenden Apparate kann ich auf die von E. Wiechert im Jahresbericht von 1905 gegebene Übersicht verweisen, jedoch hat das 2000fach vergrößernde Vertikalseismometer das ganze Jahr über nicht registriert. Die Konstanten der Apparate hielten sich dauernd sehr nahe bei den von E. Wiechert ebenda angegebenen Werten. Ergänzend sei noch folgendes bemerkt: Das Dämpfungsverhältnis betrug beim 17 000 kg Pendel (N.S.-Komponente) etwa 8:1, beim 1200 kg Pendel in beiden Komponenten etwa 5:1, beim Vertikalseismometer etwa 4:1 und beim 100 kg Pendel 3:1. Die Periode schwankte beim 1200 kg Pendel unregelmäßig zwischen etwa 12—14 Sekunden. Da die kleinen Astasierfedern des Vertikalseismometers nicht einwandfrei gehärtet waren, sank die Periode des Instruments während des Berichtsjahres langsam von etwa 5 Sekunden auf 3,7 Sekunden. Die Vergrößerung schneller Verrückungen V wurde mehrmals zu 170 bestimmt.

Als Grundlage der Bearbeitung des ganzen Jahres dienten die seismischen Wochenberichte, welche bis Juli einschließlich Herr G. Angenheister, von da bis Schluß des Jahres der Verfasser besorgt hatte. Manche Beben konnten nach den Berichten anderer

europäischer Stationen nachträglich als solche erkannt werden. Große Erleichterung für die genaue Festlegung des ersten Einsatzes ferner Beben gewährten mir die Diagramme des Vertikal-seismographen. Es ist in den Kurvenablesungen darauf jedesmal unter „Bemerkungen“ durch das Wort „Vertikalseismometer“ aufmerksam gemacht. Besonderes Gewicht legte ich darauf, in diesem Jahresbericht nicht nur die Einsätze *P* und *S* zu geben, sondern auch womöglich die verschiedenen reflektierten Welleneinsätze, wie *PR*₁, *PR*₂, *SR*₁, *SR*₂ und *PS*. Die weiter unten folgende Zeichenerklärung ist identisch mit der den Wochenberichten von 1907 vorgedruckten.

Der Zeitdienst geschah in der Weise, daß etwa alle 2 Wochen eine telephonische Zeitvergleichung mit der Göttinger Sternwarte vorgenommen wurde. Auf diese Weise konnte der Gang der sehr gut gehenden Normaluhr von Strasser und Rohde auf etwa $\frac{1}{10}$ Sekunden genau verfolgt werden. Mit dieser Normaluhr wurde täglich die etwas weniger gleichmäßig gehende Kontaktuhr verglichen, die vermittelt Relais die Zeitmarken liefert. Es wurde so im Zeitdienst eine Genauigkeit von etwa $\frac{1}{2}$ Sekunde erreicht. Für das Entgegenkommen der Sternwarte (in der Regel besorgte die Zeitvergleichung Herr Assistent A. Kohlschütter) sei an dieser Stelle der gebührende Dank ausgesprochen.

Papierwechseln, Berußen und Fixieren u. s. w. besorgte in sorgfältiger Weise Hauswart Hilke.

Vorausgeschickt sind den Kurvenablesungen eine kleine Untersuchung über mikroseismische Bewegung, sowie Hilfstabellen, die zur Erleichterung der Berechnung der wahren Bodenbewegung aus den gemessenen Diagrammausschlägen dienen sollen.

1. Mikroseismische Bewegung.

Man kann auf die mikroseismischen Bewegungen zweckmäßig eine Einteilung nach der Periode anwenden, wie sie auch O. Hecker in dem Potsdamer Jahresbericht von 1905 gebraucht ¹⁾. Das Hecker'sche Schema lautet folgendermaßen:

1. Bewegungen ganz kurzer Periode, bis etwa 4 Sek.
2. Bewegungen mit einer Periode von etwa 7 Sek.
3. " " " " " " 30 Sek.
4. " " " " " " einer oder mehreren
Minuten.

¹⁾ Seismometrische Beobachtungen in Potsdam 1905. Veröff. d. Kgl. Preuß. geodät. Institut. N. F. Nr. 29.

Die unter 1. zusammengefaßten, oft als allgemeine Tagesunruhe bezeichneten Bewegungen treten in Göttingen, dank der günstigen Lage der Station außerhalb der Stadt, sehr zurück. Nur in dem 2000fach vergrößernden 17 000 kg Pendel machen sich die Gasmotoren des ca. $2\frac{1}{2}$ km entfernten städtischen Elektrizitätswerks bemerkbar und erzeugen eine regelmäßige Sinuslinie mit ca. 160 Perioden pro Minute. Arbeiten 2 Motoren mit verschiedener Periodenzahl gleichzeitig, so treten regelmäßige Schwebungen auf (vergl. Abbildung 10 auf der Tafel im Jahresbericht von 1905 von G. Angenheister). Die doppelte Amplitude dieser Schwebungen beträgt im Maximum etwa $0,1 \mu$.

Die unter 2. erwähnten Bewegungen sollen unten noch näher diskutiert werden. Hier sei vorweg bemerkt, daß die unter 3. aufgeführten Bewegungen in Göttingen, nach der Eigenart der hiesigen Instrumente (Vergrößerung, Eigenperiode, Dämpfung und Registriergeschwindigkeit) nur sehr schwach hervortreten und deshalb hier nicht näher berücksichtigt werden sollen. Ihre Ursache ist nach O. Hecker „die Reibung des bewegten Luftmeeres an der Erdoberfläche“. Als Beispiel eines Tages, wo diese Windstörungen besonders deutlich auch in Göttingen hervortreten, möchte ich den 14. Juli 1907 erwähnen. Ich lese z. B. folgende Perioden mit den zugehörigen Amplituden aus der Registrierung ab:

Datum	Zeiten M. E. Z.	Periode Sekunden	Max. Ampl. EW-Komp.	Max. Ampl. NS-Komp.
14. VII. 07	12h 16m 24s—38s	14	0,5 μ	0,3 μ
	13h 53m 28s—38s	10	0,5	0,4
	14h 12m 25s—41s	16	0,5	0,3

Möglicherweise sind auch noch Bewegungen mit größerer Periode vorhanden, doch lassen sie sich nicht mehr mit Sicherheit erkennen und messen¹⁾. Auch die Vertikalbewegung ist nicht mehr meßbar, doch sagt dies nur soviel wie, daß die Vertikalamplitude weniger als 2μ beträgt. Die Wetterlage am 14. VII. 07 war folgende: Eine morgens über Polen lagernde Depression schreitet im Laufe des 14. nach Ungarn weiter. Dabei herrscht in Göttingen kräftiger, im allgemeinen nördlicher Wind, der all-

1) Daneben treten auch kürzere Perioden, besonders im 17 000 kg Pendel, hervor, doch tragen sie wie alle diese Bewegungen weit unregelmäßigeren Charakter, als die unter 3. zu besprechende Bewegung.

mählich schwächer wird. Die Windstärke betrug nach dem Anemographen des Göttinger geophysikalischen Instituts 6—7 Meter pro Sekunde. Obgleich demnach am 14. nicht Sturm herrschte, so treten die typischen Windstörungen an diesem Tage deshalb besonders kräftig hervor, weil gleichzeitig die unter 3. näher zu betrachtende, kurzperiodige mikroseismische Bewegung sehr gering war und so nicht, wie vielfach im Winterhalbjahr, die Windstörungen verdeckte. Die Stärke der Brandungsbewegungen am 14. Juli morgens 8^h M. E. Z. war sehr gering. Man findet sie in der weiter unten folgenden Tabelle unter Nr. 6 in dem dort erläuterten Schema mit angegeben.

Ich werde im Folgenden die Ansicht zu stützen suchen, daß die unter 2. erwähnte mikroseismische Bewegung durch die Meeresbrandung verursacht wird. Damit stimmt sehr gut zusammen, daß an jenem herausgegriffenen Tag die Bewegung 2 von etwa 6—7 Sek. Periode sehr zurücktritt, dagegen jene weit unregelmäßigeren Bewegungen mit im allgemeinen längeren Perioden, wie sie durch die Reibung der bewegten Luft an der Erdoberfläche erzeugt werden, besonders stark im Diagramm zu erkennen sind.

Auf die unter 4. angeführten langperiodigen Wellen möchte ich nicht eingehen, weil das 100 kg Pendel, das uns über sie besonders Aufschluß geben könnte, noch keinen Bedeckungskasten besitzt und es sich deshalb nicht entscheiden läßt, wie weit Luftströmungen im Erdbebenhaus die an diesem Pendel im Winterhalbjahr auftretenden langen, unregelmäßigen Wellen hervorrufen.

Einen weit regelmäßigeren Charakter trägt die unter 2 aufgeführte Bewegung von etwa 7 Sek. Periode. Sie kann man als die eigentliche mikroseismische Bewegung bezeichnen. Sie ist der Gegenstand vielfacher Untersuchungen gewesen.

Daß diese Art mikroseismischer Bewegung mit meteorologischen Elementen in Zusammenhang steht, ist schon früh erkannt worden. Im Allgemeinen kann man zunächst folgende Behauptung aufstellen, die sich durch Vergleichung der Wetterkarten mit den Diagrammen der Seismographen leicht bewahrheiten läßt: Herrscht über Europa bis zum höchsten Norden gleichmäßige Luftdruckverteilung, so ist die mikroseismische Bewegung schwach. Erreicht hingegen ein tiefes Minimum von der atlantischen Seite her Europa, so ist starke Bodenunruhe zu erwarten. Die Frage ist nur, welches der Phänomene, die mit dem Vordringen eines tiefen Minimums verknüpft sind, ist die wahre Ursache der mikroseismischen Bewegung? Sind es die starken Luftdruckunterschiede, insbesondere die Größe des lokalen Luftdruckgradienten, oder sind es die

dadurch verursachten starken Winde, oder ist es die gleichzeitig eintretende, kräftige Brandung an den Küsten, die die wellenförmige Bodenbewegung erzeugt? Alle genannten Erscheinungen und noch andere sind für die Ursache erklärt worden, und es ist in der Tat nicht leicht, in Europa eine Entscheidung zu treffen, wo die wahre Ursache der Bewegung zu suchen ist. Daß der am Stationsort vorhandene Luftdruckgradient bezw. die ebenda herrschende Windstärke ohne Einfluß sind, hat neuerdings O. Hecker¹⁾ gezeigt. Als Beweis dafür, daß die örtliche Windstärke sicher nicht die mikroseismische Bewegung verursacht, kann auch das oben schon erwähnte Beispiel des 14. VII. 1907 gelten, wo trotz des sehr kräftigen örtlichen Windes die typische periodische Bewegung von 5—7 Sek. nur ganz schwach entwickelt ist. Umgekehrt habe ich unten eine Serie von Tagen herausgegriffen, die Tage vom 1. bis zum 13. April 1906, wo verschiedentlich starke mikroseismische Bewegung sich geltend macht, während die Windstärke in Göttingen dauernd sehr geringe Werte besitzt. Nächst dem Wind am Beobachtungsort hat man an den Luftdruckunterschied als Ursache der mikroseismischen Bewegung gedacht. Hierbei scheidet jedoch gleich wieder nach O. Hecker der lokale Gradient des Luftdrucks aus. Es bleibt also nur der maximale Luftdruckunterschied über Europa als mögliche Ursache. Während es nun aber noch völlig unaufgeklärt bleibt, wie besonders große Luftdruckdifferenzen eine periodische Bodenbewegung von etwa 7 Sek. Periodenlänge erzeugen sollten, ist gerade diese periodische Bewegung ohne weiteres erklärt, wenn wir einer schon seit Jahren von E. Wiechert²⁾ vertretenen Ansicht folgen, wonach diese Art mikroseismischer Bewegung dem periodischen Anprall der brandenden Meereswogen ihre Entstehung verdankt. Freilich findet O. Hecker einen weitgehenden Parallelismus zwischen dem maximalen Luftdruckunterschied über Europa und der mikroseismischen Bewegung und schließt daraus auf einen ursächlichen Zusammenhang. Sind wir aber geneigt, in der Brandung an den Küsten die wahre Ursache zu sehen, so hat jener Parallelismus im allgemeinen durchaus nichts Erstaunliches. Denn Hand in Hand mit starken Luftdruckunterschieden gehen natürlich im allgemeinen starker Wind und an den Küsten hoher Seegang. Im

1) l. c.

2) Ausgesprochen z. B. in d. 2. allgem. Sitz. d. 2. internat. seismolog. Konf. zu Straßburg Juli 1903. Vergl. die Verhandl., Beitr. zur Geophys., Ergänzungsband II 1904.

allgemeinen! Im einzelnen jedoch sind doch Unterschiede zu erwarten. Ich habe deshalb aus den Jahren 1905 und 1906 einige Fälle zusammengestellt, wo der maximale Luftdruckunterschied über Europa nicht den gleichen Gang zeigt wie der Seegang an den europäischen Küsten. In der folgenden Tabelle enthält die 2. Kolumne das Datum, die 3. bis 5. die nötigen Angaben über die mikroseismische Bewegung, nämlich 2. und 3. die von der Mitte aus gemessenen Amplituden, ausgedrückt in μ . Die Angaben beziehen sich auf die größte Amplitude, die in dem Zeitraum etwa von 7⁴⁰ Uhr bis 8³⁰ Uhr a. m. M. E. Z. auftritt. In der nächsten Spalte ist der maximale Luftdruckunterschied über Europa nach dem Wetterbericht der deutschen Seewarte angegeben. Hierauf folgt der Seegang nach den gleichen Berichten, und zwar so, daß die Küsten, nach ihrem mutmaßlichen Einfluß auf die mikroseismische Bewegung in Göttingen geordnet, aufeinander folgen. Die Stärke des Seegangs wird nach einer neunstufigen Skala geschätzt. Die Angaben unter „Nordsee“ sind das Mittel folgender Stationen: Borkum, Helgoland, Cuxhaven, Helder und Vlissingen, die unter „Norwegen“ das Mittel der Stationen: Oxö, Skudenes, Kristiansund und Bodö, die unter „Großbritannien“ sind das Mittel von Stornoway, Aberdeen, Shields, Malin Head, Portland Bill und Scilly, die unter „Frankreich“ sind das Mittel von Cherbourg, Griz Nez, St. Mathieu, Ile d'Aix und Biarritz, die unter „Ostsee“ sind das Mittel von Swinemünde, Rügenwaldermünde und Memel. Die Spalte gibt schließlich noch die Lage des Minimums über Europa an, alles bezogen auf 8 Uhr a. m. M. E. Z.

Nr.	Datum	Mikroseism. Beweg.			Maximal. Luft- druck- untersch. über Europa mm Hg	Seegang					Lage des barometr. Minimums
		Max. Ampl. EW Komp. μ	Max. Ampl. NS Komp. μ	Periode Sek.		Nordsee	Norwegen	Groß- britannien	Frankreich	Ostsee	
1	12. I. 05	1,0	1,0	6—7	40	4,4	4,2	3,8	3,6	4,7	Mittel-Skandinav. West-Rußland
	13. I. 05	0,	0,6	6	40	3,8	3,3	2,0	2,2	4,7	
2	31. I. 05	1,6	1,4	6—7	50	4,8	5,7	3,7	3,2	5,5	Südschweden Rußland
	1. II. 05	0,4	0,4	5	50	3,6	4	3,5	2,6	4	
3	19. I. 06	1,2	1,5	5—7	35	5,2	2,7	4,3	5	2,3	Kopenhagen Ladogasee
	20. I. 06	0,4	0,6	5	40	3	3	2,5	3,9	3	
4	17. III. 06	1,2	1,2	7	30	3,8	3	3,5	3,4	1,5	nördl. Schottland Rußland
	19. III. 06	0,15	0,3	6	35	2,2	3,3	2,3	3,6	2,3	
5	18. IV. 06	0,15	0,15	6?	20	2,6	2,7	3	3,6	1,3	Südfrankreich Südostdeutschland
	19. IV. 06	0,3	0,6	7	15	3,8	2,5	2,7	5,2	3,3	
6	14. VII. 07					2	1,2	1,6	0,8	4,7	

In allen Fällen 1 bis 5 handelt es sich beidemal um dasselbe Minimum. Der maximale Luftdruckunterschied ist dabei im Fall 1 und 2 derselbe geblieben. Das Minimum ist vom ersten zum zweiten Tag von Skandinavien nach Rußland weitergerückt; entsprechend hat die Windstärke an den europäischen Küsten und mithin der Seegang abgenommen. Gleiches Verhalten, d. h. starke Abnahme, zeigt die mikroseismische Bewegung. Ähnlich ist die Wetterlage in Fall 3 und 4, nur hat hier der maximale Luftdruckunterschied über Europa sogar jeweils vom ersten zum zweiten der angeführten Tage noch zugenommen. Trotzdem ist die mikroseismische Bewegung im Gegenteil geringer geworden. Gerade dieses Verhalten müssen wir aber erwarten, wenn die Brandung die Ursache der mikroseismischen Bewegung ist. Denn diese hat in beiden Fällen, wenigstens an den am meisten in Frage kommenden Küsten, abgenommen. Im Fall 5 schließlich haben wir eine Abnahme des maximalen Luftdruckunterschieds über Europa, trotzdem aber eine Verstärkung der mikroseismischen Bewegung, wofür wieder die Erklärung in einer Verstärkung des Seegangs an den besonders in Betracht kommenden Küsten leicht zu finden ist.

Die herausgegriffenen 5 Beispiele mögen freilich noch nicht genügen, den behaupteten Zusammenhang zwischen Seegang an den Küsten und mikroseismischer Bewegung einwandfrei zu erweisen. Allein eine umfassende statistische Untersuchung verspricht deshalb wenig Erfolg, weil die Schätzung des Seegangs in zu großen zeitlichen Intervallen (nur einmal täglich) in einer recht willkürlichen Weise nach einer neunteiligen Skala erfolgt. Auch umfassen die täglichen Wetterberichte der deutschen Seewarte den Norden von Skandinavien nicht mehr, von wo starke Brandung sich sehr wohl noch auf die in Deutschland registrierte mikroseismische Bewegung geltend machen kann. Damit wird es zusammenhängen, daß wir einen vollständig befriedigenden Parallelismus zwischen der mikroseismischen Bewegung in Göttingen und den Angaben norwegischer Stationen über die Stärke des Seegangs auch in einem Fall nicht finden, wo über dem ganzen mittleren Europa hoher Luftdruck gleichmäßig verbreitet ist und nur im nördlichen Skandinavien ein Luftdruckminimum starke Winde und entsprechend starke Brandungsbewegung an den Küsten hervorruft. Es ist dies die Zeit vom 1. bis 13. April 1906. Immerhin ist die Periode geeignet zu zeigen, daß ganz sicher nicht örtlicher Wind die Ursache der mikroseismischen Bewegung ist, denn die Windstärke in Göttingen ist in dieser Zeit dauernd

so gering, daß überhaupt keine mikroseismische Bewegung zu erwarten wäre, und ebenso verhält es sich mit dem maximalen Luftdruckunterschied über Mitteleuropa. Auch dieser ist so klein, daß man ihm nach zu schließen kaum merkliche mikroseismische Bewegung erwarten müßte. Die folgende Tabelle gibt ein Bild der Verhältnisse in dem erwähnten Zeitraum. Alle Angaben beziehen sich wieder auf 8 Uhr a. m. M. E. Z. Der mittlere Seegang in Norwegen ist, wie bei der vorigen Tabelle angegeben, berechnet. Als Windstärke in Göttingen ist das Mittel der Angaben von Kassel und Hannover nach der Beaufort-Skala genommen:

Datum April 1906:	1.	2.	3.	4.	5.	6.	7.
Windstärke in Göttingen	2,5	2	1	1,5	2,5	0,5	0
Maximaler Luftdruckunterschied . .	15	15	15	20	20	15	15
Mittlerer Seegang in Norwegen . .	3	2,5	3,2	3,5	3,2	3,2	3,5
Mikroseismische Bewegung {	Ampl. EW	< 0,3	< 0,3	0,35	0,75	0,9	1,2
	Ampl. NS	< 0,3	< 0,3	0,45	0,6	0,9	1,1
	Periode	5	5	5	6	6-7	7

Datum April 1906:	8.	9.	10.	11.	12.	13.
Windstärke in Göttingen	1	1,5	2,5	1	2	0,5
Maximaler Luftdruckunterschied . .	20	25	15	15	10	20
Mittlerer Seegang in Norwegen . .	4,0	3,5	2	3,2	2	2,5
Mikroseismische Bewegung {	Ampl. EW	1,35	0,9	0,9	0,6	< 0,3
	Ampl. NS	1,35	0,9	0,75	0,65	0,6
	Periode	7	6-7	6-7	5-6	5-6

Aus der Tabelle geht hervor, daß die mikroseismische Bewegung am gleichen Tage ihren Maximalwert erreicht, an dem der Seegang in Norwegen am stärksten wird. Im übrigen ist der Parallelismus nicht bis ins einzelne vorhanden, doch liegt dies wohl sicher daran, daß die Größe „mittlerer Seegang in Norwegen“ ein nur sehr ungentügendes Bild desjenigen Phänomens ist, das nach der hier vertretenen Ansicht die Ursache der mikroseismischen Bewegung ist.

Nur eben noch erwähnen möchte ich, daß nicht nur die Höhe der brandenden Wellen von Einfluß sein wird, sondern vor allem

auch die Richtung, in welcher sie sich, der allgemeinen Windrichtung folgend, dem Ufer nähern. Man wird also von der Energieströmung ausgehen, die ein Wellensystem im Fortschreiten mit sich führt. An einer absolut starren Küste wird die Energie vollständig reflektiert, und zwar mehr oder weniger diffus, je nach der Beschaffenheit der Küste. Bei einer nachgiebigen Küste dagegen wird ein Teil der Energie in Form elastischer Wellen sich ins Innere des Festlandes fortpflanzen.

Ueber die Art der Bewegung, die ja oft beschrieben worden ist, möchte ich noch folgendes anführen. Bekanntlich schwillt die Bewegung im Diagramm eines Horizontalseismographen fortwährend an und ab. Gruppen von etwa 5 bis zu 20 Einzelwellen wechseln ab mit Perioden nahezu vollständiger Ruhe. Dasselbe Bild bieten, was bei der geringen Verbreitung gedämpft schwingender Vertikalseismometer nicht allgemein bekannt sein dürfte, die Diagramme der Vertikalapparate. Der Vergleich zweier zu einander senkrechten Komponenten eines Horizontalseismometers lehrt, daß das Azimut der Schwingungen starkem Wechsel unterliegt, sodaß während einer mehrere Stunden anhaltenden Bodenbewegung fast stets alle möglichen Schwingungsrichtungen vorkommen. Zieht man nun noch die Angaben eines Vertikalseismometers zu Rat, so zeigt sich, daß auch hier die Wellenstärke während eines einzigen „mikroseismischen Sturmes“ starkem Wechsel unterliegt. Ein Vergleich der drei räumlichen Komponenten an einem Tag mit besonders starker mikroseismischer Bewegung (9. Dez. 1906) lehrt, daß die Vertikalbewegung etwa von der gleichen Größenordnung ist wie die Horizontalbewegung, oft aber auch von dieser noch übertroffen wird, so daß wir die Wellen der mikroseismischen Bewegung nicht als reine Rayleighsche Oberflächenwellen auffassen dürfen. So tritt z. B. am 9. XII. 06 um 16^h 34^m 58^s—16^h 35^m 5^s in Göttingen eine Welle auf mit 8,2 μ horizontaler und weniger als 2,5 μ vertikaler Bewegung, während von 15^h 39^m 22^s—15^h 39^m 29^s die Horizontalbewegung 2,7, die Vertikalbewegung dagegen 6 μ betrug. Reine Horizontalbewegungen dagegen kamen während mehrerer Stunden, die einer eingehenden Vergleichung unterzogen wurden, ebenso wenig vor wie reine Vertikalbewegungen. Vielmehr schwankt das Verhältnis der Horizontal- zur Vertikalbewegung etwa von den Werten 3 : 1 bis $\frac{1}{2}$: 1¹).

Am Schluß dieses Jahresberichts sind die Ablesungen der

1) Vergleiche das ähnliche Resultat von E. Wiechert in: Wiechert u. Zoeppritz, Ueber Erdbebenwellen, Nachrichten der Kgl. Gesellschaft der Wissenschaften zu Göttingen. Math.-physik. Klasse 1907, Heft 4 pag. 469.

mikroseismischen Bewegung und zwar jeweils für ungefähr 8 Uhr a. m. M. E. Z. nach der Ost-West-Komponente des 1200 kg Pendels angegeben.

Hilfstabellen zur Berechnung der Grösse der Bodenbewegung.

Bekanntlich ändert sich die Vergrößerung eines Seismographen, sobald die Bodenperiode in der Nähe der Eigenperiode des Instrumentes liegt oder sie übertrifft, sehr stark mit dem Verhältnis der Bodenperiode zur Apparatperiode. Folgt man den Bezeichnungen von E. Wiechert¹⁾, so ist

$$\mathfrak{B} = \frac{V}{\sqrt{\left\{1 - \left(\frac{T}{T_0}\right)^2\right\}^2 + 4 \cdot \frac{(\log \text{nat } \varepsilon)^2}{\pi^2 + (\log \text{nat } \varepsilon)^2} \left(\frac{T}{T_0}\right)^2}} = \frac{V}{\sqrt{S}}$$

Hierin bedeutet \mathfrak{B} die Vergrößerung für die Bodenperiode T , V die Vergrößerung solcher Schwingungen, deren Periode klein ist gegen die Eigenperiode des Apparates,

T die Bodenperiode,

T_0 die Eigenperiode des Apparates bei ausgeschalteter Dämpfung, ε das Dämpfungsverhältnis, das heißt das Verhältnis zweier aufeinander folgender Ausschläge, wenn der Apparat zwar gedämpft, im übrigen aber frei ausschwingt,

π^2 das Quadrat der Ludolfischen Zahl = 9,87.

Beträgt ein Ausschlag im Diagramm q mm, so ist die Bodenbewegung $\frac{q \cdot 1000}{\mathfrak{B}} \mu$ gewesen ($\mu = 1/1000$ mm). Ist also der Faktor

$\frac{1000}{\mathfrak{B}}$ für alle in einem Erdbebendidiagramm vorkommenden Perioden

bekannt, so läßt sich in bequemster Weise die Grösse der Bodenbewegung aus der Amplitude des Diagramms durch Multiplikation mit diesem Faktor herleiten. Zur leichteren Berechnung des Faktors $\frac{1000}{\mathfrak{B}}$ habe ich folgende Hilfstafel aufgestellt, die die

Grösse \sqrt{S} in ihrer Abhängigkeit von den beiden Grössen ε und $\frac{T}{T_0}$ angibt. An einem Beispiel will ich den Gebrauch der Tafel kurz erläutern: Gegeben seien folgende Apparatkonstanten: V (die Indikatorvergrößerung) betrage 160, die Eigenperiode des Apparates bei ausgeschalteter Dämpfung T_0 sei 9 Sekunden, das

1) Theorie der automatischen Seismographen. Abh. d. Kgl. Ges. d. Wiss. z. Gött. 1903, Math.-Physik. Klasse, neue Folge Bd. II, Nr. 2.

Dämpfungsverhältnis ε sei 5,4. Aufgestellt werden soll eine Tabelle des Faktors $\frac{1000}{\mathfrak{B}}$ für die Bodenperioden 1, 2, 3 bis 60 Sekunden. Nun ist:

$$\frac{1000}{\mathfrak{B}} = \frac{1000 \cdot \sqrt{S}}{V}$$

Den Wert der \sqrt{S} entnehme ich den Tafeln aus der Zeile für $\varepsilon = 5,4$ und etwa für folgende Werte von $\frac{T}{T_0}$: 0,1. 0,2. 0,3. 0,4. 0,5. 0,6. 0,7. 0,8. 0,9. 1,0. 1,2. 1,5. 2. 2,5. 3. 4. 5. 6. 7. entsprechend folgenden Werten der Bodenperiode: 0,9. 1,8. 2,7 etc. bis 63 Sekunden. Die aus der Tafel entnommenen Werte von \sqrt{S} , in unserem Beispiel also die Werte 0,995, 0,978, 0,954, 0,921 u. s. w., sind mit dem Faktor $\frac{1000}{V}$ zu multiplizieren. Man hat so für eine Reihe von Bodenperioden von 0,9 bis 63 Sekunden den gesuchten Faktor $\frac{1000}{\mathfrak{B}}$ ermittelt. Um den Faktor $\frac{1000}{\mathfrak{B}}$ schließlich noch für beliebig vorgegebene Bodenperioden, z. B. für 1, 2, 3 bis 60 Sekunden zu erhalten, interpoliert man am bequemsten graphisch, d. h. man zeichnet in Koordinatenpapier eine Kurve für $\frac{1000}{\mathfrak{B}}$ als Ordinate. Als Abszisse nimmt man die Bodenperiode T .

Wegen der stark sich ändernden Steigung der Kurve für $\frac{1000}{\mathfrak{B}}$ wird man den Maßstab der Ordinaten für die verschiedenen Teile der Kurve zweckmäßig verschieden wählen, sodaß man immer eine mittlere Steigung behält. An der so gezeichneten Kurve kann man nun ohne Weiteres für jede Bodenperiode, auch für Bruchteile von Sekunden, den gewünschten Faktor $\frac{1000}{\mathfrak{B}}$ ablesen. Hat man die Konstruktion einmal durchgeführt, so sieht man leicht, wie dicht man die Punkte zu nehmen hat, um die Kurve genügend genau zeichnen zu können und kann sich dann namentlich in größerem Abstand vom Werte $\frac{T}{T_0} = 1$ auf ziemlich wenige Punkte, also auf wenige Werte von $\frac{T}{T_0}$ beschränken. Nur für diese ist der Wert der \sqrt{S} den Tafeln zu entnehmen.

Hilfstabellen zur Berechnung der Bodenbewegung.

τ	$\frac{T}{T_0}$ 0,00	0,05	0,1	0,15	0,2	0,25	0,3	0,35	0,4	0,45	$\frac{T}{T_0}$	ε
2,0	1,00	0,998	0,991	0,979	0,963	0,942	0,917	0,887	0,853	0,815	2,0	
2,2	1,00	0,998	0,991	0,980	0,964	0,944	0,920	0,893	0,861	0,825	2,2	
2,4	1,00	0,998	0,991	0,981	0,966	0,947	0,924	0,897	0,867	0,833	2,4	
2,6	1,00	0,998	0,992	0,981	0,967	0,949	0,927	0,901	0,871	0,840	2,6	
2,8	1,00	0,998	0,992	0,982	0,968	0,950	0,929	0,904	0,876	0,845	2,8	
3,0	1,00	0,998	0,992	0,982	0,969	0,952	0,931	0,907	0,881	0,851	3,0	
3,2	1,00	0,998	0,993	0,983	0,970	0,953	0,934	0,911	0,885	0,857	3,2	
3,4	1,00	0,998	0,993	0,983	0,971	0,955	0,936	0,914	0,889	0,862	3,4	
3,6	1,00	0,998	0,993	0,984	0,972	0,956	0,938	0,917	0,893	0,867	3,6	
3,8	1,00	0,998	0,993	0,984	0,973	0,958	0,940	0,919	0,897	0,872	3,8	
4,0	1,00	0,998	0,993	0,985	0,974	0,959	0,942	0,922	0,900	0,876	4,0	
4,2	1,00	0,998	0,994	0,985	0,974	0,960	0,943	0,924	0,903	0,881	4,2	
4,4	1,00	0,998	0,994	0,986	0,975	0,961	0,945	0,927	0,906	0,885	4,4	
4,6	1,00	0,998	0,994	0,986	0,976	0,963	0,947	0,929	0,910	0,889	4,6	
4,8	1,00	0,999	0,994	0,986	0,977	0,964	0,949	0,932	0,913	0,893	4,8	
5,0	1,00	0,999	0,994	0,987	0,977	0,965	0,950	0,934	0,916	0,897	5,0	
5,2	1,00	0,999	0,994	0,987	0,978	0,966	0,952	0,936	0,919	0,900	5,2	
5,4	1,00	0,999	0,995	0,987	0,978	0,967	0,954	0,938	0,921	0,904	5,4	
5,6	1,00	0,999	0,995	0,988	0,979	0,968	0,955	0,940	0,924	0,908	5,6	
5,8	1,00	0,999	0,995	0,988	0,980	0,969	0,956	0,942	0,927	0,911	5,8	
6,0	1,00	0,999	0,995	0,988	0,980	0,970	0,957	0,943	0,929	0,914	6,0	
6,2	1,00	0,999	0,995	0,989	0,981	0,971	0,959	0,945	0,931	0,917	6,2	
6,4	1,00	0,999	0,995	0,989	0,981	0,971	0,960	0,947	0,934	0,919	6,4	
6,6	1,00	0,999	0,995	0,989	0,982	0,972	0,961	0,948	0,936	0,922	6,6	
6,8	1,00	0,999	0,996	0,990	0,982	0,973	0,962	0,950	0,938	0,925	6,8	
7,0	1,00	0,999	0,996	0,990	0,983	0,974	0,964	0,952	0,940	0,928	7,0	
7,2	1,00	0,999	0,996	0,990	0,983	0,975	0,965	0,954	0,943	0,931	7,2	
7,4	1,00	0,999	0,996	0,991	0,984	0,976	0,966	0,955	0,945	0,933	7,4	
7,6	1,00	0,999	0,996	0,991	0,984	0,976	0,967	0,956	0,946	0,935	7,6	
7,8	1,00	0,999	0,996	0,991	0,985	0,977	0,968	0,958	0,948	0,938	7,8	
8,0	1,00	0,999	0,996	0,991	0,985	0,978	0,969	0,959	0,949	0,940	8,0	
8,2	1,00	0,999	0,996	0,991	0,986	0,978	0,970	0,960	0,951	0,942	8,2	
8,5	1,00	0,999	0,996	0,992	0,986	0,979	0,971	0,962	0,954	0,945	8,5	
9,0	1,00	0,999	0,997	0,992	0,987	0,980	0,973	0,965	0,957	0,950	9,0	
10,0	1,00	1,000	0,997	0,993	0,989	0,983	0,977	0,973	0,964	0,959	10,0	
ε	$\frac{T}{T_0}$ 0,00	0,05	0,1	0,15	0,2	0,25	0,3	0,35	0,4	0,45	$\frac{T}{T_0}$	ε

Die Tafeln geben die \sqrt{S} .

ε	$\frac{T}{T_0} 0,5$	0,55	0,6	0,65	0,7	0,75	0,8	0,85	0,9	0,95 $\frac{T}{T_0}$	ε
2,0	0,773	0,727	0,678	0,626	0,572	0,518	0,467	0,420	0,384	0,366	2,0
2,2	0,785	0,743	0,698	0,652	0,605	0,560	0,518	0,484	0,460	0,454	2,2
2,4	0,796	0,757	0,716	0,674	0,633	0,594	0,559	0,533	0,519	0,517	2,4
2,6	0,805	0,768	0,729	0,691	0,653	0,613	0,589	0,567	0,558	0,562	2,6
2,8	0,812	0,777	0,741	0,705	0,671	0,640	0,615	0,598	0,592	0,599	2,8
3,0	0,819	0,786	0,752	0,720	0,688	0,661	0,639	0,626	0,624	0,635	3,0
3,2	0,820	0,796	0,765	0,734	0,705	0,680	0,665	0,653	0,654	0,668	3,2
3,4	0,833	0,804	0,774	0,746	0,720	0,699	0,684	0,677	0,681	0,697	3,4
3,6	0,840	0,812	0,785	0,758	0,735	0,716	0,704	0,700	0,707	0,725	3,6
3,8	0,846	0,820	0,794	0,770	0,748	0,733	0,723	0,722	0,730	0,751	3,8
4,0	0,852	0,827	0,803	0,780	0,761	0,747	0,739	0,740	0,751	0,773	4,0
4,2	0,857	0,833	0,811	0,790	0,773	0,761	0,755	0,758	0,770	0,794	4,2
4,4	0,863	0,841	0,820	0,800	0,785	0,775	0,772	0,777	0,791	0,816	4,4
4,6	0,868	0,847	0,827	0,810	0,797	0,788	0,786	0,793	0,809	0,836	4,6
4,8	0,873	0,853	0,835	0,819	0,808	0,801	0,802	0,809	0,827	0,855	4,8
5,0	0,878	0,859	0,842	0,827	0,817	0,812	0,814	0,823	0,843	0,872	5,0
5,2	0,882	0,865	0,849	0,836	0,827	0,823	0,826	0,837	0,858	0,888	5,2
5,4	0,887	0,870	0,856	0,844	0,836	0,834	0,839	0,851	0,873	0,904	5,4
5,6	0,891	0,876	0,862	0,852	0,845	0,845	0,851	0,865	0,888	0,920	5,6
5,8	0,895	0,881	0,868	0,859	0,853	0,854	0,861	0,876	0,900	0,934	5,8
6,0	0,899	0,885	0,873	0,865	0,860	0,862	0,870	0,886	0,911	0,945	6,0
6,2	0,903	0,890	0,879	0,871	0,868	0,871	0,880	0,898	0,923	0,959	6,2
6,4	0,906	0,894	0,885	0,877	0,876	0,880	0,890	0,908	0,936	0,972	6,4
6,6	0,910	0,899	0,890	0,885	0,884	0,888	0,900	0,920	0,948	0,985	6,6
6,8	0,914	0,903	0,895	0,890	0,891	0,896	0,909	0,929	0,958	0,996	6,8
7,0	0,917	0,907	0,900	0,896	0,897	0,904	0,917	0,938	0,968	1,00	7,0
7,2	0,921	0,912	0,905	0,903	0,905	0,912	0,926	0,949	0,980	1,02	7,2
7,4	0,924	0,916	0,910	0,909	0,911	0,920	0,935	0,958	0,989	1,03	7,4
7,6	0,927	0,919	0,914	0,913	0,916	0,926	0,943	0,966	0,998	1,04	7,6
7,8	0,929	0,922	0,918	0,918	0,922	0,932	0,949	0,973	1,01	1,05	7,8
8,0	0,932	0,926	0,923	0,922	0,927	0,938	0,956	0,981	1,01	1,05	8,0
8,2	0,935	0,929	0,926	0,927	0,933	0,944	0,962	0,988	1,02	1,06	8,2
8,5	0,938	0,933	0,931	0,933	0,940	0,949	0,971	0,997	1,03	1,07	8,5
9,0	0,944	0,940	0,940	0,943	0,951	0,960	0,986	1,01	1,05	1,09	9,0
10,0	0,955	0,954	0,956	0,962	0,973	0,989	1,01	1,04	1,08	1,13	10,0
ε	$\frac{T}{T_0} 0,5$	0,55	0,6	0,65	0,7	0,75	0,8	0,85	0,9	0,95 $\frac{T}{T_0}$	ε

Hilfstabellen zur Berechnung der Bodenbewegung.

ε	$\frac{T}{T_0}$	1,0	1,05	1,1	1,15	1,2	1,25	1,3	1,35	1,4	1,45	1,5	$\frac{T}{T_0}$	ε
2,0	0,371	0,403	0,458	0,532	0,626	0,729	0,842	0,96	1,09	1,22	1,37	1,52	2,0	2,0
2,2	0,466	0,500	0,554	0,624	0,780	0,810	0,918	1,03	1,17	1,29	1,43	1,57	2,2	2,2
2,4	0,535	0,572	0,625	0,693	0,711	0,873	0,980	1,09	1,22	1,35	1,49	1,62	2,4	2,4
2,6	0,582	0,620	0,667	0,742	0,826	0,919	1,02	1,13	1,26	1,39	1,52	1,65	2,6	2,6
2,8	0,623	0,662	0,710	0,784	0,867	0,960	1,06	1,17	1,30	1,43	1,56	1,69	2,8	2,8
3,0	0,660	0,701	0,756	0,823	0,906	0,998	1,10	1,21	1,33	1,46	1,59	1,72	3,0	3,0
3,2	0,699	0,738	0,794	0,861	0,944	1,03	1,14	1,25	1,37	1,50	1,63	1,76	3,2	3,2
3,4	0,727	0,770	0,826	0,894	0,977	1,07	1,17	1,28	1,40	1,53	1,66	1,79	3,4	3,4
3,6	0,756	0,801	0,858	0,926	1,02	1,10	1,20	1,31	1,43	1,55	1,69	1,81	3,6	3,6
3,8	0,784	0,829	0,887	0,955	1,04	1,13	1,23	1,34	1,46	1,58	1,71	1,84	3,8	3,8
4,0	0,807	0,854	0,913	0,981	1,06	1,15	1,26	1,36	1,48	1,61	1,74	1,87	4,0	4,0
4,2	0,829	0,877	0,936	1,01	1,09	1,18	1,28	1,39	1,51	1,63	1,77	1,90	4,2	4,2
4,4	0,853	0,903	0,962	1,03	1,11	1,20	1,31	1,41	1,53	1,66	1,79	1,92	4,4	4,4
4,6	0,874	0,922	0,984	1,05	1,14	1,23	1,33	1,44	1,56	1,68	1,81	1,94	4,6	4,6
4,8	0,894	0,945	1,01	1,07	1,16	1,25	1,35	1,46	1,58	1,70	1,83	1,96	4,8	4,8
5,0	0,912	0,963	1,02	1,10	1,18	1,27	1,37	1,48	1,60	1,72	1,85	1,98	5,0	5,0
5,2	0,929	0,981	1,04	1,11	1,20	1,29	1,39	1,50	1,62	1,74	1,87	2,00	5,2	5,2
5,4	0,947	0,999	1,06	1,13	1,22	1,31	1,41	1,52	1,64	1,76	1,89	2,01	5,4	5,4
5,6	0,963	1,01	1,08	1,15	1,24	1,33	1,43	1,54	1,66	1,78	1,91	2,03	5,6	5,6
5,8	0,978	1,02	1,10	1,17	1,25	1,34	1,45	1,55	1,67	1,80	1,93	2,05	5,8	5,8
6,0	0,990	1,04	1,11	1,18	1,27	1,36	1,46	1,57	1,69	1,81	1,94	2,07	6,0	6,0
6,2	1,00	1,06	1,12	1,20	1,28	1,38	1,48	1,58	1,70	1,83	1,96	2,09	6,2	6,2
6,4	1,02	1,07	1,14	1,21	1,30	1,39	1,49	1,60	1,72	1,84	1,97	2,10	6,4	6,4
6,6	1,03	1,08	1,15	1,23	1,31	1,40	1,51	1,62	1,73	1,86	1,99	2,11	6,6	6,6
6,8	1,04	1,09	1,17	1,24	1,32	1,42	1,52	1,63	1,75	1,87	2,00	2,12	6,8	6,8
7,0	1,05	1,11	1,18	1,25	1,34	1,43	1,53	1,64	1,76	1,88	2,01	2,13	7,0	7,0
7,2	1,07	1,12	1,19	1,27	1,36	1,45	1,55	1,66	1,78	1,90	2,03	2,15	7,2	7,2
7,4	1,08	1,13	1,21	1,28	1,37	1,46	1,56	1,67	1,79	1,91	2,04	2,16	7,4	7,4
7,6	1,09	1,14	1,22	1,29	1,38	1,47	1,57	1,68	1,80	1,92	2,05	2,17	7,6	7,6
7,8	1,10	1,15	1,23	1,30	1,39	1,48	1,58	1,69	1,81	1,93	2,07	2,19	7,8	7,8
8,0	1,11	1,16	1,24	1,31	1,40	1,49	1,59	1,70	1,82	1,94	2,08	2,20	8,0	8,0
8,2	1,12	1,17	1,25	1,32	1,41	1,50	1,60	1,71	1,83	1,96	2,09	2,21	8,2	8,2
8,4	1,13	1,19	1,26	1,33	1,42	1,51	1,62	1,73	1,85	1,97	2,10	2,22	8,4	8,4
8,6	1,13	1,21	1,28	1,36	1,44	1,54	1,64	1,75	1,87	1,99	2,13	2,24	8,6	8,6
8,8	1,14	1,23	1,32	1,40	1,49	1,58	1,68	1,79	1,91	2,04	2,17	2,26	8,8	8,8
9,0	1,15	1,25	1,34	1,42	1,51	1,60	1,70	1,81	1,93	2,06	2,19	2,28	9,0	9,0
10,0	1,18	1,28	1,38	1,46	1,55	1,64	1,74	1,85	1,97	2,10	2,23	2,34	10,0	10,0
ε	$\frac{T}{T_0}$	1,0	1,05	1,1	1,15	1,2	1,25	1,3	1,35	1,4	1,45	1,5	$\frac{T}{T_0}$	ε

Die Tafeln geben die \sqrt{S} .

ε	$\frac{T}{T_0}$ 1,6	1,7	1,8	1,9	2,0	2,1	2,2	2,3	2,4	2,5	2,6	2,7 $\frac{T}{T_0}$	ε
2,0	1,67	1,99	2,34	2,70	3,09	3,50	3,93	4,38	4,84	5,33	5,83	6,37	2,0
2,2	1,73	2,05	2,39	2,75	3,14	3,55	3,98	4,42	4,89	5,38	5,88	6,41	2,2
2,4	1,78	2,10	2,44	2,80	3,18	3,59	4,02	4,46	4,93	5,42	5,93	6,45	2,4
2,6	1,82	2,13	2,47	2,83	3,22	3,62	4,05	4,49	4,96	5,45	5,96	6,48	2,6
2,8	1,85	2,17	2,51	2,87	3,25	3,65	4,07	4,52	4,99	5,48	5,98	6,51	2,8
3,0	1,88	2,20	2,54	2,90	3,28	3,68	4,10	4,55	5,02	5,51	6,01	6,54	3,0
3,2	1,92	2,23	2,57	2,93	3,31	3,71	4,13	4,58	5,05	5,53	6,04	6,56	3,2
3,4	1,95	2,26	2,59	2,96	3,33	3,74	4,16	4,60	5,07	5,56	6,06	6,59	3,4
3,6	1,97	2,29	2,62	2,98	3,36	3,76	4,19	4,63	5,09	5,58	6,09	6,61	3,6
3,8	2,00	2,31	2,65	3,01	3,38	3,79	4,21	4,65	5,12	5,60	6,11	6,64	3,8
4,0	2,03	2,34	2,67	3,03	3,41	3,81	4,23	4,67	5,14	5,62	6,13	6,66	4,0
4,2	2,05	2,36	2,70	3,05	3,43	3,83	4,25	4,69	5,16	5,64	6,15	6,68	4,2
4,4	2,07	2,38	2,72	3,07	3,45	3,85	4,27	4,72	5,18	5,67	6,17	6,70	4,4
4,6	2,10	2,40	2,74	3,09	3,47	3,87	4,29	4,74	5,20	5,69	6,19	6,72	4,6
4,8	2,12	2,42	2,76	3,11	3,49	3,89	4,31	4,76	5,22	5,71	6,21	6,73	4,8
5,0	2,14	2,44	2,78	3,13	3,51	3,91	4,33	4,78	5,24	5,72	6,23	6,75	5,0
5,2	2,16	2,46	2,80	3,15	3,53	3,93	4,35	4,79	5,26	5,74	6,25	6,77	5,2
5,4	2,17	2,48	2,81	3,17	3,55	3,95	4,37	4,81	5,28	5,76	6,27	6,79	5,4
5,6	2,19	2,50	2,83	3,19	3,56	3,97	4,39	4,83	5,29	5,77	6,28	6,81	5,6
5,8	2,21	2,52	2,85	3,20	3,58	3,98	4,40	4,84	5,31	5,79	6,29	6,82	5,8
6,0	2,22	2,53	2,86	3,22	3,59	3,99	4,41	4,86	5,32	5,80	6,31	6,83	6,0
6,2	2,24	2,55	2,88	3,23	3,61	4,01	4,43	4,87	5,34	5,82	6,32	6,85	6,2
6,4	2,25	2,56	2,89	3,25	3,62	4,02	4,45	4,89	5,35	5,83	6,34	6,86	6,4
6,6	2,27	2,58	2,91	3,26	3,64	4,04	4,46	4,90	5,37	5,85	6,35	6,88	6,6
6,8	2,28	2,59	2,92	3,28	3,65	4,05	4,47	4,91	5,38	5,86	6,37	6,89	6,8
7,0	2,30	2,60	2,94	3,29	3,67	4,07	4,49	4,93	5,39	5,87	6,38	6,90	7,0
7,2	2,31	2,62	2,95	3,31	3,68	4,08	4,50	4,94	5,41	5,89	6,40	6,92	7,2
7,4	2,33	2,63	2,96	3,32	3,69	4,09	4,51	4,95	5,42	5,90	6,41	6,93	7,4
7,6	2,34	2,64	2,98	3,33	3,70	4,10	4,53	4,97	5,43	5,91	6,42	6,94	7,6
7,8	2,35	2,65	2,99	3,34	3,72	4,12	4,54	4,98	5,44	5,92	6,43	6,95	7,8
8,0	2,36	2,67	3,00	3,35	3,73	4,13	4,55	4,99	5,45	5,93	6,44	6,96	8,0
8,2	2,37	2,68	3,01	3,36	3,74	4,14	4,56	5,00	5,46	5,94	6,45	6,97	8,2
8,5	2,39	2,69	3,02	3,37	3,75	4,15	4,57	5,01	5,48	5,96	6,46	6,99	8,5
9,0	2,41	2,72	3,05	3,40	3,78	4,18	4,59	5,04	5,50	5,98	6,49	7,01	9,0
10,0	2,43	2,76	3,09	3,44	3,82	4,22	4,64	5,08	5,54	6,02	6,53	7,05	10,0
ε	$\frac{T}{T_0}$ 1,6	1,7	1,8	1,9	2,0	2,1	2,2	2,3	2,4	2,5	2,6	2,7 $\frac{T}{T_0}$	ε

Hilfstabellen zur Berechnung der Bodenbewegung.

ϵ	$\frac{T}{T_0}$ 2,8	2,9	3,0	3,2	3,4	3,6	3,8	4,0	4,4	4,8	5,2	5,6 $\frac{T}{T_0}$	ϵ
2,0	6,96	7,49	8,08	9,33	10,6	12,0	13,5	15,1	18,4	22,1	26,1	30,4	2,0
2,2	6,98	7,53	8,12	9,37	10,7	12,1	13,6	15,1	18,5	22,2	26,2	30,5	2,2
2,4	7,00	7,57	8,16	9,40	10,7	12,1	13,6	15,1	18,5	22,2	26,2	30,5	2,4
2,6	7,03	7,60	8,19	9,43	10,7	12,1	13,6	15,2	18,5	22,2	26,2	30,5	2,6
2,8	7,06	7,63	8,21	9,45	10,8	12,2	13,6	15,2	18,6	22,2	26,2	30,6	2,8
3,0	7,09	7,65	8,24	9,48	10,8	12,2	13,7	15,2	18,6	22,3	26,3	30,6	3,0
3,2	7,11	7,68	8,27	9,50	10,8	12,2	13,7	15,2	18,6	22,3	26,3	30,6	3,2
3,4	7,14	7,70	8,29	9,53	10,8	12,2	13,7	15,3	18,6	22,3	26,3	30,6	3,4
3,6	7,16	7,73	8,31	9,55	10,9	12,3	13,7	15,3	18,7	22,3	26,3	30,7	3,6
3,8	7,18	7,75	8,34	9,57	10,9	12,3	13,8	15,3	18,7	22,4	26,4	30,7	3,8
4,0	7,20	7,77	8,36	9,59	10,9	12,3	13,8	15,3	18,7	22,4	26,4	30,7	4,0
4,2	7,22	7,79	8,38	9,61	10,9	12,3	13,8	15,4	18,7	22,4	26,4	30,7	4,2
4,4	7,25	7,81	8,40	9,63	10,9	12,3	13,8	15,4	18,7	22,4	26,4	30,7	4,4
4,6	7,27	7,83	8,42	9,65	11,0	12,4	13,8	15,4	18,8	22,4	26,4	30,8	4,6
4,8	7,28	7,85	8,44	9,67	11,0	12,4	13,9	15,4	18,8	22,5	26,5	30,8	4,8
5,0	7,30	7,87	8,45	9,69	11,0	12,4	13,9	15,4	18,8	22,5	26,5	30,8	5,0
5,2	7,32	7,89	8,47	9,71	11,0	12,4	13,9	15,5	18,8	22,5	26,5	30,8	5,2
5,4	7,34	7,90	8,49	9,72	11,0	12,4	13,9	15,5	18,8	22,5	26,5	30,8	5,4
5,6	7,35	7,92	8,50	9,74	11,1	12,5	13,9	15,5	18,8	22,5	26,5	30,8	5,6
5,8	7,37	7,93	8,52	9,76	11,1	12,5	13,9	15,5	18,9	22,5	26,5	30,9	5,8
6,0	7,38	7,95	8,53	9,77	11,1	12,5	14,0	15,5	18,9	22,5	26,5	30,9	6,0
6,2	7,40	7,96	8,55	9,79	11,1	12,5	14,0	15,5	18,9	22,6	26,6	30,9	6,2
6,4	7,41	7,98	8,56	9,80	11,1	12,5	14,0	15,5	18,9	22,6	26,6	30,9	6,4
6,6	7,42	7,99	8,57	9,82	11,1	12,5	14,0	15,6	18,9	22,6	26,6	30,9	6,6
6,8	7,44	8,00	8,59	9,83	11,1	12,5	14,0	15,6	18,9	22,6	26,6	30,9	6,8
7,0	7,45	8,02	8,61	9,84	11,1	12,5	14,0	15,6	18,9	22,6	26,6	30,9	7,0
7,2	7,47	8,03	8,62	9,85	11,2	12,6	14,0	15,6	18,9	22,6	26,6	30,9	7,2
7,4	7,48	8,04	8,63	9,86	11,2	12,6	14,0	15,6	19,0	22,6	26,6	31,0	7,4
7,6	7,49	8,05	8,64	9,87	11,2	12,6	14,1	15,6	19,0	22,7	26,6	31,0	7,6
7,8	7,50	8,06	8,65	9,88	11,2	12,6	14,1	15,6	19,0	22,7	26,7	31,0	7,8
8,0	7,51	8,07	8,66	9,89	11,2	12,6	14,1	15,6	19,0	22,7	26,7	31,0	8,0
8,2	7,52	8,08	8,67	9,90	11,2	12,6	14,1	15,7	19,0	22,7	26,7	31,0	8,2
8,5	7,53	8,10	8,68	9,92	11,2	12,6	14,1	15,7	19,0	22,7	26,7	31,0	8,5
9,0	7,56	8,12	8,71	9,94	11,3	12,7	14,1	15,7	19,0	22,7	26,7	31,0	9,0
10,0	7,60	8,17	8,75	9,99	11,3	12,7	14,2	15,7	19,1	22,8	26,8	31,1	10,0
ϵ	$\frac{T}{T_0}$ 2,8	2,9	3,0	3,2	3,4	3,6	3,8	4,0	4,4	4,8	5,2	5,6 $\frac{T}{T_0}$	ϵ

Die Tafeln geben die \sqrt{S} .

s	$\frac{T}{T_0}$	6	7	8	9	10	11	12	13	14	15	16	17	$\frac{T}{T_0}$	18	s
2,0	35,1	48,1	63,1	80,1	99,1	120	143	168	195	224	255	288	323	2,0	2,0	2,0
2,2	35,1	48,1	63,1	80,1	99,1	120	143	168	195	224	255	288	323	2,2	2,2	2,2
2,4	35,1	48,1	63,1	80,1	99,1	120	143	168	195	224	255	288	323	2,4	2,4	2,4
2,6	35,2	48,2	63,2	80,2	99,2	120	143	168	195	224	255	288	323	2,6	2,6	2,6
2,8	35,2	48,2	63,2	80,2	99,2	120	143	168	195	224	255	288	323	2,8	2,8	2,8
3,0	35,2	48,2	63,2	80,2	99,2	120	143	168	195	224	255	288	323	3,0	3,0	3,0
3,2	35,3	48,3	63,3	80,3	99,3	120	143	168	195	224	255	288	323	3,2	3,2	3,2
3,4	35,3	48,3	63,3	80,3	99,3	120	143	168	195	224	255	288	323	3,4	3,4	3,4
3,6	35,3	48,3	63,3	80,3	99,3	120	143	168	195	224	255	288	323	3,6	3,6	3,6
3,8	35,3	48,3	63,3	80,3	99,3	120	143	168	195	224	255	288	323	3,8	3,8	3,8
4,0	35,3	48,3	63,3	80,3	99,3	120	143	168	195	224	255	288	323	4,0	4,0	4,0
4,2	35,4	48,4	63,4	80,4	99,4	120	143	168	195	224	255	288	323	4,2	4,2	4,2
4,4	35,4	48,4	63,4	80,4	99,4	120	143	168	195	224	255	288	323	4,4	4,4	4,4
4,6	35,4	48,4	63,4	80,4	99,4	120	143	168	195	224	255	288	323	4,6	4,6	4,6
4,8	35,4	48,4	63,4	80,4	99,4	120	143	168	195	224	255	288	323	4,8	4,8	4,8
5,0	35,4	48,4	63,4	80,5	99,4	120	143	168	195	224	255	288	324	5,0	5,0	5,0
5,2	35,4	48,4	63,4	80,5	99,4	120	143	168	195	224	255	288	324	5,2	5,2	5,2
5,4	35,5	48,5	63,5	80,5	99,5	120	143	168	195	224	255	288	324	5,4	5,4	5,4
5,6	35,5	48,5	63,5	80,5	99,5	120	143	168	195	224	255	288	324	5,6	5,6	5,6
5,8	35,5	48,5	63,5	80,5	99,5	120	143	168	195	224	255	288	324	5,8	5,8	5,8
6,0	35,5	48,5	63,5	80,5	99,5	121	144	168	196	225	256	289	324	6,0	6,0	6,0
6,2	35,5	48,5	63,5	80,5	99,5	121	144	168	196	225	256	289	324	6,2	6,2	6,2
6,4	35,5	48,5	63,5	80,6	99,5	121	144	169	196	225	256	289	324	6,4	6,4	6,4
6,6	35,5	48,5	63,5	80,6	99,5	121	144	169	196	225	256	289	324	6,6	6,6	6,6
6,8	35,5	48,6	63,6	80,6	99,5	121	144	169	196	225	256	289	324	6,8	6,8	6,8
7,0	35,6	48,6	63,6	80,6	99,6	121	144	169	196	225	256	289	324	7,0	7,0	7,0
7,2	35,6	48,6	63,6	80,6	99,6	121	144	169	196	225	256	289	324	7,2	7,2	7,2
7,4	35,6	48,6	63,6	80,6	99,6	121	144	169	196	225	256	289	324	7,4	7,4	7,4
7,6	35,6	48,6	63,6	80,6	99,6	121	144	169	196	225	256	289	324	7,6	7,6	7,6
7,8	35,6	48,6	63,6	80,6	99,6	121	144	169	196	225	256	289	324	7,8	7,8	7,8
8,0	35,6	48,6	63,6	80,6	99,6	121	144	169	196	225	256	289	324	8,0	8,0	8,0
8,2	35,6	48,6	63,6	80,6	99,6	121	144	169	196	225	256	289	324	8,2	8,2	8,2
8,5	35,6	48,6	63,6	80,6	99,6	121	144	169	196	225	256	289	324	8,5	8,5	8,5
9,0	35,7	48,7	63,7	80,7	99,7	121	144	169	196	225	256	289	324	9,0	9,0	9,0
10,0	35,7	48,7	63,7	80,7	99,7	121	144	169	196	225	256	289	324	10,0	10,0	10,0
s	$\frac{T}{T_0}$	6	7	8	9	10	11	12	13	14	15	16	17	18	$\frac{T}{T_0}$	s

Hilfstabellen zur Berechnung der Bodenbewegung.

ε	$\frac{T}{T_0}$	19	20	21	22	23	24	25	26	27	28	29	30	31	32	$\frac{T}{T_0}$	ε
2,0	360	399	440	483	528	575	624	675	738	783	840	899	960	1020	1020	2,0	
2,2	360	399	440	488	528	575	624	675	738	783	840	899	960	1020	1020	2,2	
2,4	360	399	440	483	528	575	624	675	738	783	840	899	960	1020	1020	2,4	
2,6	360	390	440	483	526	575	624	675	738	783	840	899	960	1020	1020	2,6	
2,8	360	399	440	483	528	575	624	675	738	783	840	899	960	1020	1020	2,8	
3,0	360	399	440	483	528	575	624	675	738	783	840	899	960	1020	1020	3,0	
3,2	360	399	440	483	528	575	624	675	738	783	840	899	960	1020	1020	3,2	
3,4	360	399	440	483	528	575	624	675	738	783	840	899	960	1020	1020	3,4	
3,6	360	399	440	483	528	575	624	675	738	783	840	899	960	1020	1020	3,6	
3,8	360	399	440	483	528	575	624	675	738	783	840	899	960	1020	1020	3,8	
4,0	360	399	440	483	528	575	624	675	738	783	840	899	960	1020	1020	4,0	
4,2	360	399	440	483	528	575	624	675	738	783	840	899	960	1020	1020	4,2	
4,4	360	399	440	483	528	575	624	675	738	783	840	899	960	1020	1020	4,4	
4,6	360	399	440	483	528	575	624	675	738	783	840	899	960	1020	1020	4,6	
4,8	360	399	440	483	528	575	624	675	738	783	840	899	960	1020	1020	4,8	
5,0	360	399	440	483	528	575	625	676	738	783	841	899	960	1020	1020	5,0	
5,2	360	399	440	483	528	575	625	676	738	783	841	899	960	1020	1020	5,2	
5,4	360	399	440	484	529	576	625	676	738	783	841	900	961	1020	1020	5,4	
5,6	361	400	441	484	529	576	625	676	738	783	841	900	961	1020	1020	5,6	
5,8	361	400	441	484	529	576	625	676	738	783	841	900	961	1020	1020	5,8	
6,0	361	400	441	484	529	576	625	676	738	783	841	900	961	1020	1020	6,0	
6,2	361	400	441	484	529	576	625	676	738	783	841	900	961	1020	1020	6,2	
6,4	361	400	441	484	529	576	625	676	738	783	841	900	961	1020	1020	6,4	
6,6	361	400	441	484	529	576	625	676	738	783	841	900	961	1020	1020	6,6	
6,8	361	400	441	484	529	576	625	676	738	783	841	900	961	1020	1020	6,8	
7,0	361	400	441	484	529	576	625	676	738	783	841	900	961	1020	1020	7,0	
7,2	361	400	441	484	529	576	625	676	738	783	841	900	961	1020	1020	7,2	
7,4	361	400	441	484	529	576	625	676	738	783	841	900	961	1020	1020	7,4	
7,6	361	400	441	484	529	576	625	676	738	783	841	900	961	1020	1020	7,6	
7,8	361	400	441	484	529	576	625	676	738	783	841	900	961	1020	1020	7,8	
8,0	361	400	441	484	529	576	625	676	738	783	841	900	961	1020	1020	8,0	
8,2	361	400	441	484	529	576	625	676	738	783	841	900	961	1020	1020	8,2	
8,5	361	400	441	484	529	576	625	676	738	783	841	900	961	1020	1020	8,5	
9,0	364	400	441	484	529	576	625	676	738	783	841	900	961	1020	1020	9,0	
10,0	361	400	441	484	529	576	625	676	738	783	841	900	961	1020	1020	10,0	
ε	$\frac{T}{T_0}$	19	20	21	22	23	24	25	26	27	28	29	30	31	32	$\frac{T}{T_0}$	ε

Die Tafeln geben die \sqrt{S} .

ε	$\frac{T}{T_0}$	33	34	35	36	37	38	39	40	42	44	46	48	$\frac{T}{T_0}$	ε
2,0	1090	1160	1220	1300	1370	1440	1520	1600	1760	1940	2120	2300	2300	2,0	
2,2	1090	1160	1220	1300	1370	1440	1520	1600	1760	1940	2120	2300	2300	2,2	
2,4	1090	1160	1220	1300	1370	1440	1520	1600	1760	1940	2120	2300	2300	2,4	
2,6	1090	1160	1220	1300	1370	1440	1520	1600	1760	1940	2120	2300	2300	2,6	
2,8	1090	1160	1220	1300	1370	1440	1520	1600	1760	1940	2120	2300	2300	2,8	
3,0	1090	1160	1220	1300	1370	1440	1520	1600	1760	1940	2120	2300	2300	3,0	
3,2	1090	1160	1220	1300	1370	1440	1520	1600	1760	1940	2120	2300	2300	3,2	
3,4	1090	1160	1220	1300	1370	1440	1520	1600	1760	1940	2120	2300	2300	3,4	
3,6	1090	1160	1220	1300	1370	1440	1520	1600	1760	1940	2120	2300	2300	3,6	
3,8	1090	1160	1220	1300	1370	1440	1520	1600	1760	1940	2120	2300	2300	3,8	
4,0	1090	1160	1220	1300	1370	1440	1520	1600	1760	1940	2120	2300	2300	4,0	
4,2	1090	1160	1220	1300	1370	1440	1520	1600	1760	1940	2120	2300	2300	4,2	
4,4	1090	1160	1220	1300	1370	1440	1520	1600	1760	1940	2120	2300	2300	4,4	
4,6	1090	1160	1220	1300	1370	1440	1520	1600	1760	1940	2120	2300	2300	4,6	
4,8	1090	1160	1220	1399	1370	1440	1520	1600	1760	1940	2120	2300	2300	4,8	
5,0	1090	1160	1220	1300	1370	1440	1520	1600	1760	1940	2120	2300	2300	5,0	
5,2	1090	1160	1220	1300	1370	1440	1520	1600	1760	1940	2120	2300	2300	5,2	
5,4	1090	1160	1220	1300	1370	1440	1520	1600	1760	1940	2120	2300	2300	5,4	
5,6	1090	1160	1220	1300	1370	1440	1520	1600	1760	1940	2120	2300	2300	5,6	
5,8	1090	1169	1220	1300	1370	1440	1520	1600	1760	1940	2120	2300	2300	5,8	
6,0	1090	1169	1220	1300	1370	1440	1520	1600	1760	1940	2120	2300	2300	6,0	
6,2	1090	1160	1226	1300	1370	1440	1520	1600	1760	1940	2120	2300	2300	6,2	
6,4	1090	1160	1220	1300	1370	1440	1520	1600	1760	1940	2120	2300	2300	6,4	
6,6	1090	1160	1220	1300	1379	1440	1520	1600	1760	1940	2120	2300	2300	6,6	
6,8	1090	1160	1220	1300	1370	1440	1520	1600	1760	1940	2120	2300	2300	6,8	
7,0	1090	1160	1220	1300	1370	1440	1520	1600	1760	1940	2120	2300	2300	7,0	
7,2	1090	1160	1220	1300	1370	1440	1520	1600	1760	1940	2120	2300	2300	7,2	
7,4	1090	1160	1220	1300	1370	1440	1520	1600	1760	1940	2120	2300	2300	7,4	
7,6	1090	1160	1220	1399	1370	1440	1520	1600	1760	1940	2120	2300	2300	7,6	
7,8	1090	1160	1220	1300	1370	1440	1520	1600	1760	1940	2120	2300	2300	7,8	
8,0	1090	1160	1220	1300	1370	1440	1520	1600	1760	1940	2120	2300	2300	8,0	
8,2	1090	1160	1220	1300	1370	1440	1520	1600	1760	1940	2120	2300	2300	8,2	
8,5	1090	1160	1220	1300	1370	1440	1520	1600	1760	1940	2120	2300	2300	8,5	
9,0	1090	1160	1220	1300	1370	1440	1520	1600	1760	1940	2120	2300	2300	9,0	
10,0	1090	1160	1220	1300	1370	1440	1520	1600	1760	1940	2120	2300	2300	10,0	
ε	$\frac{T}{T_0}$	33	34	35	36	37	38	39	40	42	44	46	48	ε	

Hilfstabellen zur Berechnung der Bodenbewegung.

ε	$\frac{T}{T_0}$ 50	52	54	56	58	60 $\frac{T}{T_0}$	ε
2,0	2500	2700	2920	3140	3360	3600	2,0
2,2	2500	2700	2920	3140	3360	3600	2,2
2,4	2500	2700	2920	3140	3360	3600	2,4
2,6	2500	2700	2920	3140	3360	3600	2,6
2,8	2500	2700	2920	3140	3360	3600	2,8
3,0	2500	2700	2920	3140	3360	3600	3,0
3,2	2500	2700	2920	3140	3360	3600	3,2
3,4	2500	2700	2920	3140	3360	3600	3,4
3,6	2500	2700	2920	3140	3360	3600	3,6
3,8	2500	2700	2920	3140	3360	3600	3,8
4,0	2500	2700	2920	3140	3360	3600	4,0
4,2	2500	2700	2920	3140	3360	3600	4,2
4,4	2500	2700	2920	3140	3360	3600	4,4
4,6	2500	2700	2920	3140	3360	3600	4,6
4,8	2500	2700	2920	3140	3360	3600	4,8
5,0	2500	2700	2920	3140	3360	3600	5,0
5,2	2500	2700	2920	3140	3360	3600	5,2
5,4	2500	2700	2920	3140	3360	3600	5,4
5,6	2500	2700	2920	3140	3360	3600	5,6
5,8	2500	2700	2920	3140	3360	3600	5,8
6,0	2500	2700	2920	3140	3360	3600	6,0
6,2	2500	2700	2920	3140	3360	3600	6,2
6,4	2500	2700	2920	3140	3360	3600	6,4
6,6	2500	2700	2920	3140	3360	3600	6,6
6,8	2500	2700	2920	3140	3360	3600	6,8
7,0	2500	2700	2920	3140	3360	3600	7,0
7,2	2500	2700	2920	3140	3360	3600	7,2
7,4	2500	2700	2920	3140	3360	3600	7,4
7,6	2500	2700	2920	3140	3360	3600	7,6
7,8	2500	2700	2920	3140	3360	3600	7,8
8,0	2500	2700	2920	3140	3360	3600	8,0
8,2	2500	2700	2920	3140	3360	3600	8,2
8,5	2500	2700	2920	3140	3360	3600	8,5
9,0	2500	2700	2920	3140	3360	3600	9,0
10,0	2500	2700	2920	3140	3360	3600	10,0
ε	$\frac{T}{T_0}$ 50	52	54	56	58	60 $\frac{T}{T_0}$	ε

Erdbeben im Jahre 1906.

Zeichenerklärung.

Charakter des Erdbebens:

I = merklich, II = auffallend, III = stark.

d = (terrae motus domesticus) = Ortsbeben (am Orte fühlbar).

v = (" " vicinus = Nahbeben (unter 1000 km).

r = (" " remotus) = Fernbeben (1000–5000 km).

u = (" " ultimus) = sehr fernes Beben (über 5000 km).

Phasen:

P = (undae primae) = erste Vorläufer.

PR_n = " " = n mal an der Erdoberfläche reflektierte Wellen.

S = (" secundae) = zweite Vorläufer.

SR_n = " " = n mal an der Erdoberfläche reflektierte Wellen.

PS = sog. Wechselwellen, d. h. Wellen, die bei der Reflexion an der Erdoberfläche ihren longitudinalen Charakter in transversalen oder umgekehrt verwandelt haben.

L = (undae longae) Hauptbeben („lange Wellen“).

M = (" maximae) = größte Bewegung im Hauptbeben.

C = (coda) = Nachläufer.

F = (finis) Erlöschen der sichtbaren Bewegung.

Art der Bewegung:

i = (impetus) = Einsatz.

e = (emersio) = Auftauchen.

T = Periode = doppelte Schwingungsdauer.

A = Amplitude der Erdbewegung, gerechnet von der Ruhelinie.

A_E = E.W.-Komponente von A.A_N = N.S.- " " "

Zeit und Maß:

Zeit = mittlere Greenwicher, gezählt von Mitternacht zu Mitternacht.

μ = Mikron = $\frac{1}{1000}$ Millimeter.

Bemerkung:

Die Amplitude A stellt kein geeignetes Maß für die Erderschütterung dar. Ein solches wird vielmehr gewonnen durch den Ausdruck Δg ; g = Schwerkraft; Δg gibt die größte scheinbare Neigung der Vertikalen während einer Schwingung an. Bei periodischen Schwingungen ist $\Delta g = \text{ca. } \frac{4A}{T^2}$, wenn Δg nach Milligal, A nach Mikron, T nach Sekunden gerechnet wird; Milligal = $\frac{1}{1000}$ Gal; 1 Gal = Centimeter — Sekunden — Einheit der Beschleunigung; es ist $g = \text{ca. } 980$ Gal, also 1 Milligal = ca. 1 Milliontel der Schwerkraft.

Datum	Charakter	Phasen	Zeiten (Greenwich)	Perioden	Amplituden		Bemerkungen
				Sekunden	AE	AN	
Jan. 2	I v	e F	^h 2 ^m 17 ^s 50 20	$\frac{4}{3}$	μ	0,13 μ	Im 17000 kg Pendel.
" 2	II v	i P (S ?) e L M F	4 28 16 28 25 29 43 30 0 30 27 31,0 32,9 45	$\frac{1}{4}$, 1,2 1 $\frac{4}{3}$ $\frac{4}{3}$ 6 4	17 10	0,2 1,4 10 17 12	Von 28 ^m 47 ^s an werden die Ausschläge im Horizontal- und Vertikalseismometer stärker. Die langen Wellen von 4 ^s bis 8 ^s Periode sind anfangs noch überlagert von starken Wellen kürzerer Periode ($\frac{1}{3}$, $\frac{1}{2}$), die von 32 ^m ab ganz zurücktreten.
" 3	I u	e P i e S e L F	2 12 17 38 15,0 ? 55 3 50	3 5 30—20	2		{ Vertikalseismometer. Sehr schwach.
" 5	I	e L F	10 6 7	15	< 1,5		Nur 3 Wellen.
" 6	I r	e L F	3 4,2 10	10	0,8	0,5	Uhrkorrektur um $\pm 0,2^m$ unsicher. In Thessalien (Volo) geföhlt.
" 6	I v	e L F	13 17,2 17,8	$\frac{3}{2}$		0,08	Uhrkorrektur um $\pm 0,2^m$ unsicher.
" 6	I	i P i S e L M F	21 43,3 52,6 22 11 16,1 40	$\frac{3}{2}$ —2 $\frac{3}{2}$ 6 30 18	0,6 2 4	1,2 0,3 2,2 1,5	Uhrkorrektur um $\pm 0,2^m$ unsicher. Vor i P, dem kräftigen Einsatz der ersten Vorläufer, sind eine halbe Minute lang winzige Wellen bemerkbar (Periode = $\frac{1}{3}$ — $\frac{1}{2}$, AN < 0,05).
" 8	I r	P S e L M F	16 15 16 19,5 22 25,7 17	9 30 15	1 7	0,5 1,7	

Datum	Charakter	Phasen	Zeiten (Greenwich)	Perioden	Amplituden		Bemerkungen
				Sekunden	A _E	A _N	
Jan. 9	II v	e P	22 ^h 6 ^m 14 ^s	$\frac{1}{3}$ bis 1	^μ	0,25 ^μ 0,25	In den kleinen Karpathen gefühlt.
		e	34				
		e	7 9	1		0,5	
		e L	7 36	$1-\frac{3}{2}$			
		M	8,0	1	16	6,5	
		F	17	7		46	
, 10	I v	e	1 8 30	$\frac{1}{4}$			
		L	8 53	1		0,25	
		F	11,7				
, 10	I u	e L	13 43,5	50	20		
		F	14 10				
, 16	II v	e P	2 51 29	$\frac{1}{3}$		0,04	In Preßburg gefühlt.
		e	51 48	$\frac{2}{3}$		0,07	
		L	52 53	$1-\frac{3}{2}$		3,8	
		M	53 37	7	6	15	
		F	3				
, 18	I u	e L	7 39	15	1	< 0,3	
		F	50				
, 18	I u	e L	22 55	19	3	< 0,5	
		F	23 10				
, 21	III u	i P	14 1 27	4	7	4	Dieser Einsatz nur in der Nord-Süd-Komponente scharf. S mit der Folge von reflektierten Wellen geht ganz allmählich in L über.
		i	2 48	9	5	5	
		i P R ₁	4 42	4	20	15	
		i	9 6	5		3,5	
		i S	11 14	9	80	26	
		i S R ₁	16 57	10	36	10	
		e L	34?				
		M ₁	41,2	12	25	15	
		M ₂	45,7	12	23	29	
		C		13			
		F	16 30				
, 22	I u	e L	5 14	20	2,5		
		F	5 30				

Datum	Charakter	Phasen	Zeiten (Greenwich)	Perioden	Amplituden		Bemerkungen
				Sekunden	A _E	A _N	
Jan. 24	I u	e L F	^h 3 ^m 30 ^s 35	25	2 ^μ	^μ	
" 24	I u	i P S? e L M ₁ M ₂ F	6 55 0 7 5 33 15,2 19,7 31,7 ?	6 30 30 13	10 9	< 1,5 0,6	Vertikalseismometer. Geht verloren im folgenden Beben. P und S gehen verloren im vorhergehenden Beben.
" 24	I u	P S e L M F	{ ? 7 55 8 8,2 25	 25 15	 4	 1	
" 24	I u	e L F	10 40 11	18	1,5		
" 24	I u	e L M F	22 17 22,7 35	20 15	5	1	
" 26	I v	L F	0 21 49 23	$\frac{3}{2}$		0,13	} Wohl vom gleichen Herd.
" 26	I v	L F	0 43 24 44	$\frac{3}{2}$		0,8	
" 27	I u	i P S? e L M F	9 52 54 10 2,0 18 20,7 25,7 11 20	3 30 25 15	19 12	16 35	
" 28	I u	L	15 35—36				Schwache Spur langer Wellen.
" 31	III u	i P i ₂ P R ₁ S S R ₁ S R ₂	15 49 4 50 0 53,8 16 0 30 7,5 11,3	4 12 16	5 23 150	6 140	Columbien und Ecuador. Das eigentliche Beben setzt anscheinend mit i ₂ ein. Bei den folgenden PS-Wellen schlägt die EW-Komponente des 1200 kg Pendels an die Hemmung.

Datum	Charakter	Phasen	Zeiten (Greenwich)			Perioden Sekunden		Amplituden		Bemerkungen
			h	m	s			Ag	AN	
Jan. 31		S R _s e L M _N M _E C F	14,5 18 19,7 21,7 20			50 25 25 15—18		> 800	900	Die EW-Komponente des 1200 kg Pendels schlägt über 20 ^m lang gegen die Hemmung. Um 18 ^h 45 ^m tritt in der NS-Komponente des 1200 kg Pendels eine Welle von 2 ^m auf.
, 31	I v	e L F	17 59 26 18 0,2			1			0,12	Den langen C-Wellen des vorhergehenden Bebens überlagert.
Febr. 1	I u	i P P R ₁ S L M F	2 43 52 45 56 ? 3 6,3 30			12		4,8	2,3	Vertikalseismometer.
, 5	I v	e L F	3 48 49			1/2			< 0,05	
, 5	I v	L F	4 41 44	2		1			< 0,5	
, 5	I u	L F	5 41 6			25		2	2,5	
, 6	I v	L F	5 40 42	50		3/4			0,05	
, 8	I v	L F	0 25 29 31			1 3/2			0,25	
, 13	I(r)	e L F	0 32 50			15		1	1,5	
, 16	I u	i P S M F	17 49 44 58,6 18 8 14 40			3/2 30 20			< 0,05 7 6	Westindien?

Datum	Charakter	Phasen	Zeiten (Greenwich)	Perioden	Amplituden		Bemerkungen
				Sekunden	AE	AN	
Febr. 17	Iv	eL	^h 0 ^m 42 ^s 40	1—2		^μ < 0,05	Gehört vielleicht als Vorläufer zum nächsten Beben. Die Deutung des Diagramms ist durch starke mikroseismische Bewegung beeinträchtigt.
		F	44				
" 17	Iu	eL	1 49	20	0,5	1,5	
		M	55				
		F	57				
" 19	IIu	e	2 19 12	2—3		< 0,05	Vielleicht P.
		e	21 40	13 6	5	4	Vielleicht PR ₁ .
		e	22 42				
		e	34,5	12	6	3	
		e	39,2				
			3 3	40	25		
		eL	10	21	26	35	Angabe nach dem Vertikalseismometer. In den Horizontal-komponenten schon vorher unregelmäßige Wellen langer Periode.
		M	17				
		C		16			
		F	5 20				
" 20	Iu	P?	21 0 3	1		0,05	Durch die starke mikroseismische Bewegung ist die Deutung erschwert. Vielleicht P u. L zwei verschiedene Nahbeben. Ausmessung nach dem 17 000 kg Pendel.
		S?	9,1				
		eL?	35	2		0,25	
		F	45				
" 21	Iu	eL	2 0	15	2		
		F	1				
" 23	Ir	iP	7 37 53	2 3	0,5	0,25	Vertikalseismometer.
		iS	42 11	6		1,5	
		L	47		1,5		
		M	50	15	3,5	2	
		F	8				
" 23	Iu	eL	10 25	20	2,5	1	
		F	45				
" 23	Iu	eL	15 16	20	1,5		
		F	25				
" 23	Iu	iP	15 28 37	2		0,05	Antillen? Vertikalseismometer.
		eS	37,3				
		e	38,3	15	1	1	

Datum	Charakter	Phasen	Zeiten (Greenwich)	Perioden	Amplituden		Bemerkungen
				Sekunden	Ag	An	
Febr. 23		e L	h m s		μ	μ	
		M	16 3	18	12		
		F	5	18		15	
24	I u	i P	0 26 31	1		0,1	Japan.
		i S?	36 42	10	2,5	1,5	
		L	58				
		M	1 3	25	9	6	
		F	1 30				
26	I u	P	23 0 57	$\frac{1}{2}$ 4		< 0,05	Vertikalseismometer.
		S?	10,1				
		e L	25				
		M	36	20	5,5	6	
		F	24				
27	II u	i P	19 50 43	4	0,5		Vertikalseismometer.
		i S	58 5	12	2,5	5	
		SR ₁	20 0,4				
		L	10				
		M	15	15	16	14	
		C		15			
		F	21 30				
		L	22 35	16	< 0,5		Um 22 ^h 35 ^m treten einige lange
28	I u	e L	6 57	20	2	1,5	Wellen auf, die vielleicht durch
		F	7 20				den Gegenpunkt gegangen sind.
28	I u	S?	13 37,9	15	1,5		
		e L	57	30			
		M	14 3	25	5	2,5	
		F	25				
März 2	I u	i P	6 23 41	1 5		0,4 0,6	Vertikalseismometer und 17000 kg Pendel.
		PR ₁	25 33		2,7		
		PR ₂	26 13				
		i S	30 43	6 12		2	
		SR ₁	34,2		2,6		
		e L	39	22			
		M	42,2	12	30	30	
		C		9—12			
		F	7 45				

Datum	Charakter	Perioden	Zeiten	Perioden	Amplituden		Bemerkungen	
			(Greenwich)	Sekunden	A _E	A _N		
März 3	I u	i P	^h 8 ^m 54 ^s 3	2	4,5	0,3	Vertikalseismometer.	
		i S	9 4 0	12		0,6		
		PS	4 32	18		2,7		
		S R ₁	ca. 9	30	30	5	Sehr starke Wechselwelle.	
		e L	19	16	11			
		F	34,7					
" 3	I u	e L	21 5	20	1	2,5		
		F	20					
" 4	I v	e P	11 40 1	1/2		0,03		
		e	41 22	1		0,1		
		L	42 18	3/2				
		M	42 28			0,5		
		F	46					
" 5	I u	e L		20			Zwischen 9 ^h und 10 ^h tauchen mehrmals schwache lange Wellen auf.	
" 5	I v	e L	16 52 0	1		0,1		
" 6	I v	F	52 50					
		L	14 2 4	1; 2		0,25		
" 8	I r	F	4,3				Durch die starke mikroseis- mische Bewegung beeinträchtigt.	
		i P	17 50 33	1	1,5	0,26		
				2		1,5		
				5				
		S	54,8	11	14	6		
		L		18				
		M	18 0,3	15	16	7		
" 9	I u		1,3	14		13	Die Erdbebenwellen verschwin- den um 18 ^{1/2} in der starken mikroseismischen Bewegung.	
		F	30					
		e L	21 25	20	2			
		F	26					
" 10	I u	i P	6 55 45	3/2		0,08		
		S	?					
		e	7 23,4	30				
		M ₁	44,4	40	16			
		M ₂	8 20	20		2		
		C		24—18				
		F	9					

Datum	Charakter	Phasen	Zeiten (Greenwich)	Perioden	Amplituden		Bemerkungen
				Sekunden	A _E	A _N	
März 10	Iu	P	16 42 24	1—2	^μ	0,1 ^μ	
		L	17 25				
		M	34	40	13	2,5	
		C		15			
		F	19				
" 11	Iu	P	3 18 17	1—2		0,25	
		PR ₁	20 23				
		S?	26	10	1,5		
		L	38	18	4,6	1,5	
		F	4 15				
" 13	Iu	eL	14 8 5				
		M ₁	11,5	30	15	5	
		M ₂	19,5	15	12		
			20,5	15		10	
		F	15				
" 14	Iu	eL	21 15—30				
" 16	Iu	eL	20 29,5	25			Aus der starken mikroseismischen Bewegung tauchen schwache, lange Wellen auf.
		M	30 40	17	10	9	
		F	50				
" 16/17	Iu	P	22 54,9				Vertikalseismometer; unsicher wegen starker mikroseismischer Bewegung.
		S	23 5 14	18	4,6		
		SR ₁	10,7	18	3,7		
		eL	25	30			
		M	29,5	17	3,7	3	
		F	0 30				
" 17	Iu	eL					Gegen 22 ¹ / ₂ schwache Spur langer Wellen.
" 18	Iv	e	13 3 37	1		0,15	
		eL	14	12	0,8		
		F	35				
" 19	IIr	iP	8 1 45	1			
				3	2,3	8	
				14	4,5	35	
		iS	5 55	11		30	
				15	45		
		eL	7	35			
		M	10	19	50	100	
		F	9 30				

Datum	Charakter	Phasen	Zeiten (Greenwich)	Perioden	Amplituden		Bemerkungen
				Sekunden	A _E	A _N	
März 20	I u	e L M F	^{h m s} 2 56 3 2 45	30 25	^μ 3	^μ	
" 20	I u	P S? S R ₁ e L M F	3 47,5 54,5 58,7 ? 4 10,5 5 15	2 13 15	2,5	0,03 2 2	
" 21/22	I u	i P e L M F	23 59 42 0 35,5 50 1 20	1 25 20	6	0,03 1,5	Vertikalseismometer u. 17 000 kg Pendel.
" 22	I u	e L	21 22—32				Sehr schwache, lange Wellen.
" 24	I u	i P e L M F	1 10 18 44 51,5 2 5	1 25 15	3,5	0,03 1,5	Vertikalseismometer u. 17 000 kg Pendel.
" 26	I u	e L M F	4 12 15,5 45	25 20	4,5 5,5	2,5	
" 27	I u	e L M F	5 45,5 56 6 30	30 20	5	5	
" 27	I u	e L M F	23 38,5 41 24 5	30 18	7,5	9	
" 28	I u	e L M F	17 49 56 18 5	30 18	3	1	
" 28	I u	i P e L M C F	18 24 56 19 8,7 20 10	2 45 15	24	0,25 < 4	Vertikalseismometer.

Datum	Charakter	Phasen	Zeiten (Greenwich)	Perioden	Amplituden		Bemerkungen
				Sekunden	A _E	A _N	
ärz 28	I (r)	e L F	^{h m s} 20 59,2 21 15	20	5 ^μ	^μ	
„ 29	I u	i P e e L M F	21 58 24 22 8,8 26 40 23	1 21 30 18	5 7,5 2	0,05 < 0,5	
„ 2	I u	e L	16 45— 17 20				Sehr schwache, lange Wellen.
„ 5	I u	e L F	3 35 46	25	3,5		
„ 5	I v	e F	17 52 48 56	¹ / ₁₀ — ² / ₁₀	0,025		Vertikalseismometer u. 17 000 kg Pendel.
„ 5	I u	e L	19 15—35				Aus der mikroseismischen Bewegung tauchen schwache, lange Wellen auf.
„ 5/6	I u	P i S e L M F	22 44 39 46 1 23 24 31 0 20	³ / ₂ 18	1,4		S nicht erkennbar wegen starker mikroseismischer Bewegung. F verschwindet in der mikroseismischen Bewegung.
„ 6	I u	i P L?	10 40 34	2	0,25		Vertikalseismometer. Das übrige Beben ist wegen starker mikroseismischer Bewegung nicht zu erkennen.
„ 7	I	e L M F	5 37 44 6 5	12	2,5	2,5	
„ 7	I v	e F	16 56 11 57	¹ / ₂ ³ / ₂	0,05		
„ 7	I	e L	22 23—40				Sehr schwache lange Wellen.
April 8	I u	i P S L M F	17 50 13 18 0,4? 22 27 29 18	25 18	10 11	5 6	Vertikalseismometer. S unsicher wegen starker mikroseismischer Bewegung.

Datum	Charakter	Phasen	Zeiten (Greenwich)	Perioden	Amplituden		Bemerkungen
				Sekunden	Ag	AN	
April 10	II u	i P PR ₁ S? e L M ₁ M ₂ C F	^h ^m ^s 21 35 41 39,2 46,4 22 4 11 24	^s / ₂ 12 40 18 15—18	^μ 2,5 70 70	^μ 0,1 5 50	Den Hauptwellen gehen einzelne unregelmäßige Wellengruppen um 21 ^h 58,8 ^m und 22 ^h 1,9 ^m voraus.
" 13	I u	e L	18 17—30				Sehr schwache, lange Wellen.
" 13	II u	i P PR ₁ i S SR ₁ SR ₂ e L M C F	19 30 11 33 27 40 32 46,2 50,5 20 2 9,5 13 21 10	3 9 12 10 12—15	1 4 13 25	0,15 2,5 16 5	Vertikalseismometer. Unregelmäßige Wellen.
" 14	II u	i P i S SR ₁ e L M F	0 4 28 15 52 20,5 35,5 40 48,2 1 20	2 8 30 15 11	0,5 4,5 8 7 9	1,5 3 7 5	Vertikalseismometer.
" 14	II u	i P PR ₁ ? PR ₂ ? S? SR ₁ e L M ₁ M ₂ C F	4 17 9 14 20,7 24 ca. 30 39,9 5 1 10,5 6 30	4 9 15	2 1,2	3 0,3	Vertikalseismometer. 1300—1700 km von Samoa.
					40 11	9 7	

Datum	Charakter	Phasen	Zeiten (Greenwich)	Perioden	Amplituden		Bemerkungen
				Sekunden	A _E	A _N	
April 18	III u	e P	^h 13 ^m 24 ^s 30	{ 3, 6, 9 18	^μ 3	^μ 4	Kalifornien (San Francisco zerstört). Unregelmäßige Wellen.
		i	43				
		P R ₁	ca. 28,2				
		P R ₂	ca. 30,1				
		S	34 29	{ 17 20	8		
		i	35 34	{ 8 17	25	80	
		e L	50,6	{ 60 35	950	1500	
		M ₁	53,1	30		800	
		M ₂	57	22		750	
		M _N	59,4	20		1600	
, 19	I u	F	19				Die Ost-Westkomponente des 1200 kg Pendels hat an die Hemmung geschlagen.
		e P	0 41,5	1,2		0,05	
		e	1 10,6				
		e L	12,6	{ 30 24	6	5 2	
, 19	I u	F	2				Durch den Papierwechsel ge- stört.
		P	7 13 5	7			
		e	16,9	14	1,2	1,2	
		F	8 19 9 30	18	2,3		
, 20	I u	e L	20 27	15	0,5	0,5	
		F	37				
, 23	I v	e	6 38 18	¹ / ₃			
		L	39 0				
		M	39 25	³ / ₂		0,2	
		F	41				
, 23	I u	e	8 53,8	9	0,5	0,5	Sehr regelmäßige Sinuswellen
		e	9 32 2	9	1,2	0,5	
		e L	44,2	40	5,4	< 3	
			56,7	16	4	3	
		F	10 20				

Datum	Charakter	Phasen	Zeiten (Greenwich)	Perioden	Amplituden		Bemerkungen
				Sekunden	A _E	A _N	
April 25	Iu	P S? eL M F	^h 1 48 ^m 36 ^s 59 4 2 25,2 29 3 15	2 10 40 18 17	^μ < 3 2,5	^μ 0,03 1 2,5	Vertikalseismometer.
„ 29	Iu	iP PR ₁ S e e eL M F	16 42 30 46 3 53,0? 53,6 54,7 17 14,8 23 33 18	3 9 10 9 25 20 15	 1,2 2,7 5	0,1 1 3,5 2,2 1,5	Vertikalseismometer.
Mai 2	Iu	L F	0 47 49	15		0,5	
„ 2	Iu	iP S eL ME F	1 26 12 36 33 56,4 2 7,5 30	2—3 15 30 7 14	0,2 5 10 11	 10 5,5	Vertikalseismometer. Drei besonders starke Well
„ 4	Iu	iP L F	21 0 2 32,5 47	20	1		Vertikalseismometer.
„ 4/5	Iu	P L M F	23 21 25 55 0 2 15	20 15	1 1,5	 1,5	Vertikalseismometer.
„ 5	Iu	P i PR iS e eL C F	0 34 44 35 20 38 42 45 14 45 58 ?, nach 1 ^h 1 6 2	1 5 5 25 18	 4,6 2,5	0,05 1,7 4	Vertikalseismometer.

Datum	Charakter	Phasen	Zeiten (Greenwich)			Perioden		Amplituden		Bemerkungen
						Sekunden		AE	AN	
mai 5	Iv	L F	9 ^h 58 ^m 20 ^s 59			1		^μ	0,05 ^μ	Nur wenige kleine Wellen vielleicht ein Nahbeben.
" 6	Iv	L F	23 12,5 16			1			0,05	
" 12	Iu	iP iS SR ₁ eL M F	6 0 0 8 37 12,8 23,6 26,1 7	³ / ₂ 9				1,5	0,1 4	Vertikalseismometer.
" 12	Iu	iP L _E L _N M F	10 51 46 11 17,5 20,5 24,5 12	1,2 30 30 30					0,1	Vertikalseismometer.
" 14	Iu	iP L F	19 59 23 20 39 21			1			0,03	L sehr schwach.
" 16	Ir	iP? eL F	5 9 59 16 27			1 18		4	0,1 3	
" 16	Iu	eL F	11 0 4 7			15		0,5	0,5	
" 17	Iv	iP F	18 24 36 29	⁴ / ₃					0,17	S und L treten nicht hervor
" 18	Iu	L F	17 16 22			20		0,5		
" 18	I	e M F	21 32 35 22			15		3,5	5,5	
" 19	I	e F	19 59 20 7			15		< 0,5		Wenige schwache Wellen.

Datum	Charakter	Phasen	Zeiten (Greenwich)	Perioden	Amplituden		Bemerkungen
				Sekunden	A _E	A _N	
Mai 20	I(u)	i P	h m s 11 19 20	1	^μ	0,27 ^μ	} Vertikalseismometer.
				2	1,5	< 0,3	
		P R ₁	21 20				
		i S	26 24	8	0,5		
		i	27 8	4	0,3	2,1	
		e L	30				
		M	33,8	9	1,2		
" 20	I u	M _N	38,3	9	0,5	1,2	}
		F	12				
		i P	15 57 18	2	< 0,3	0,04	
		S	?				
		e L	16 28	20		< 0,5	
		F	17				
" 21	I	e L	13 46				}
		M	57	20	1,5	1,5	
		F	14 10				
" 31	I v	e	9 44 15	1		0,05	}
		F	46,5				
Juni 1	II u	e P	4 50 16	2		0,08	} Beim Vertikalseismometer st. das Uhrwerk.
				11	3	1,5	
		S	5 0,0 ?	1,2,		2	
				30	14		
		S R ₁	6,4	30			
		e L	22	50			
			27	33	60	100	
		M	37	24		200	
				20	30		
		C		15—20			
" 1	I	F.	8				}
" 1	I	L	12 7,5	1—2		0,1	}
		F	25	6		0,5	
" 2	I u	L	15 24	20	2,5	2,5	}
		F	45				

Datum	Charakter	Phasen	Zeiten (Greenwich)	Perioden	Amplituden		Bemerkungen
				Sekunden	AE	Av	
uni 3	Iv	e	19 ^h 40 ^m 37 ^s	1/2	μ	0,03 ^μ	
		i	41 9	1		0,25	
		i	41 37	1		0,25	
		e L	42 20	2/3			
		M	42 30	2		0,5	
		F	46	2		0,5	
4	I	L	9 52,5	10	0,5		
		F	10 15	15			
7	I	i P	2 45 11				Zwischen 13 ^h und 17 ^h mehrfach Andeutungen langer Wellen. Vertikalseismometer.
		S	54,5	7	0,5	0,5	
		L	3 18,5	20	1,5	1,5	
		F	4				
10	I	e L	1 1-15				Sehr schwache, lange Wellen.
10	I	e L	1 51,5	15	1,5	1	
		F	2				
10	I	i P	21 0 14	3			
		S	10,5	6	1	1	
		L	35				
		M	37,5	18	1	1,5	
		F	22 20				
11	Iv	e	5 10 50				In Cremona, Piacenza, Padua Verona gefühlt.
		M	12 11-45	1		0,04	
		F	14				
13	I	i P	10 33 12	3		0,15	
		e (S?)	36,3				
		L	39,5				
		F	50				
16	Iv	e	11 19,5				Sehr schwach, eben noch zu erkennen.
		M	20 55	1		0,15	
		F	22,5				

Datum	Charakter	Phasen	Zeiten (Greenwich)	Perioden	Amplituden		Bemerkungen
				Sekunden	AE	AN	
Juni 17	Ir	i P	^h ^m ^s 1 17 54	1	^μ	0,1 ^μ	Den langen Wellen sind solch kurzer Periode (5 ^a) überlagert.
		S	21 30	9 3		0,3	
		e L	24,5				
		M	27	12	1,3	2,2	
		F	45				
" 18	Iu	e L	12 41	20	4	1,5	
		F	13 10				
" 19	IIu	i P	11 35 43	1 3		0,05	
		P R ₁	39,3				
		i S	46 7	4	1,7	1,5	
		i	46 23	6	2,6	2,8	
		e L	12 5	40			
			10	30	60	60	
		C		12—18			
		F	13 30				
" 19	Iu	L	18 9,5	20 15			Vertikalseismometer.
		F	30		0,5	1	
" 20	Iu	P	2 38 53	³ / ₂		0,05	
		S	49 8	6 15			
		e L	3 6	35	2,2	0,3	
		C		15—17	14	4	
		F	4				
" 22	Iu	i P	3 28 35	3			
			29 16	2—3	1,2	0,1	
		P R ₁	31 56	4	1		
		e	32 39	3			
		S	33,9	6	0,8	0,6	
		P S	39,8	14		1	
				18	3		
		S R ₁	45,5				
		e L	?				
		M	4 3	16	1,1	0,2	
		F	30				Erste langen Wellen schwach.

Datum	Charakter	Phasen	Zeiten (Greenwich)	Perioden	Amplituden		Bemerkungen
				Sekunden	AE	AN	
Juni 22	I	L F	^h 7 ^m 30 ^s 9	15—20	< 0,5 ^μ	^μ	Hin und wieder tauchen lange Wellen auf.
" 23	I	L	7 0	10	0,5	0,5	
" 23	I	L	10 14	20			Sehr schwache Wellen.
" 24	Iu	e L F	7 36,5 55 8 40	30	5	2,5	Kurze Wellen auf dem Seismogramm des Vertikalseismometers.
" 24	Iu	iP PR ₁ S PS eL M F	11 29 17 32 38 39 29 40,2 12 1 9,5 10 13 15	2, 5, 12 15 12 18 30 17 15	1 1,6 5 20	1,3	} Vertikalseismometer.
" 26	Iu	iP iS eL M F	12 32 6 41 57 56,5 13 0,5 2,5 40	1—2 24 18	0,05 3,5 3,2	1 < 0,5	
" 27	Iv	eP i L M F	9 47 21 48 35 49 49 20 52,5	1—2 2 2 6	0,3	0,7	Wales. 17 000 kg Pendel hat nicht registriert.
" 30	I		11 30	10—12	1	1	Wahrscheinlich lange Wellen.
Juli 4	Iv	e i eL M F	2 33 55 35 23 35 46 36 18 40	¹ / ₂ ³ / ₂ 1	< 0,02 0,05 0,2		} In Cettinje gefühlt.

Datum	Charakter	Phasen	Zeiten (Greenwich)	Perioden		Amplituden		Bemerkungen
				Sekunden		AE	AN	
Juli 4	Iv	eL F	^h 4 ^m 45 ^s 48	3		^μ 0,2	^μ	In Cettinje gefühlt.
" 4	Iv	eL F	7 2,5 4	3		0,15		
" 4	Iv	eL F	10 18,7 20	2		0,1		
" 6	Iv	eL M F	0 53 6 53,8 1 2	3 ^s / ₂		0,13		
" 8	Iu	P eS eL M F	22 44 6 53,7 23 12,5 20 24	1 9 25 20	0,5	0,1 < 0,25		Vertikalseismometer hat nicht registriert.
" 10	Iu	P S eL M F	20 0,1 10,4 34 39,2 21 10	9 30 25	1,2 5	3		Der erste Einsatz fällt vielleicht in die Stundenmarke.
" 11	Iu	eL	20 6-20	24				Einige schwache, lange Wellen.
" 12	I	e F	7 52 34 56	1 2		0,12		Mehrfach schwache, lange Wellen von 20—30* Periode. Vielleicht keine wahren Erdbebenwellen.
" 12	I		10-12 ^h					
" 13/14	Iu	iP S PS SR ₁ eL F	23 53 40 0 1,0 1,8 5,7 10,4 12 16 1 40	3 12 18 30 30 15 20	1,3 15 28 25	0,6 10 7 27		
								Vertikalseismometer.

Datum	Charakter	Phasen	Zeiten (Greenwich)	Perioden	Amplituden		Bemerkungen
				Sekunden	A _E	A _N	
Juli 15	I u	i P	^h 16 ^m 17 ^s 55	1	^μ	^μ 0,6	Vertikalseismometer u. 17 000 kg Pendel.
		e L	17 6	3			
		F	24,6 40	20	1	< 0,6	
" 16	I u	e P	21 27 6	3—4			} Vertikalseismometer.
		P R ₁	30 37	2			
		S	37,7	10	1,7	0,4	
		e L	54,4	30	4	5	
		M	22 7,5	16	2,6	0,8	
		F	40				
" 17	I	e L	18 27,5	12	1	1	
		F	34				
" 19	I	L	0 31,5	15			Vielleicht ein Paar lange Wellen.
		F	32,5				
" 20	I u	i P	11 28 50	3			Vertikalseismometer.
		e	32,3	9	1,8	0,4	
		S	35,8				
		P S	36,2	10	2,4	2,2	
		e L	46,5	30			
		M	51,4	18	17	11	
		C		15—18			
		F	12 40				
" 20	I u	i P	20 37 6	1		0,15	L ist nicht zu bestimmen.
		S	44 6	6	1	2,5	
		S R ₁	47,9				
		M	57,5			2,5	
		F	21 20				
" 22	I u	e P	18 46 28	3			Nur im Vertikalseismometer. Bei S Periode und Amplitude unregelmäßig.
		S	56,9				
		L	19 9,5				
		F	34,5 20	15	1,5	1,5	
" 23	I	L	7 9,5	30	2,5	2,5	Ein Paar schwache, lange Wellen.
		F	20				

Datum	Charakter	Phasen	Zeiten (Greenwich)	Perioden	Amplituden		Bemerkungen
				Sekunden	AE	AN	
Juli 25	I r	e L F	^h 11 ^m 51,2 ^s 58	10	2 ^μ	1 ^μ	In Belgrad gefühlt. Schon von 50m 38 ^a schwache Wellen im 17 000 kg Pendel. ($T = \frac{1}{2}$; $A_N = 0,02$.)
" 28	I	i P ?	2 29 12				Vertikalseismometer. Das Uhrwerk des 1200 kg Pendels stand.
" 29	I (v)	e L	21 54	3			
" 29	I (u)	e L F	23 3,5 18	17			Einige sehr schwache Wellen.
Aug. 1	I v	e e e L M F	19 2 36 56 3 8 3 13 6	$\frac{1}{3}$ $\frac{1}{2}$	0,05	0,5	In Württemberg zwischen Remstal und Schwarzwald gefühlt.
" 1/2	I u	i P e S e L M F	23 28 54 38,3 56,5 24 0,5 3 1 40	3—4 12 30 17 14	0,3 1 4 6	0,5 1,5 9 5	Vertikalseismometer.
" 2	I	e	4 24—25	4		0,3	Einige schwache, kleine Wellen.
" 2	I	e L F	23 10,5 40	17	1	1,5	Einige sehr schwache, lange Wellen.
" 6	I r	i P i e e L F	3 45 6 46 57 47,4 55 4 0 15	4 3 8 8 9 6	1 0,4 0,5 0,7 0,5	0,3 < 0,3 < 0,3 1 0,6	Vertikalseismometer.
" 8	I	e L M F	3 4,5 16,5 50	17	3	1,5	Schon um 2h 40m eine ganz schwache Störung; vielleicht zu diesem Beben gehörig.

Datum	Charakter	Phasen	Zeiten (Greenwich)	Perioden Sekunden	Amplituden		Bemerkungen
					A _G	A _N	
Aug. 8	I	e	^{h m s} 19 12	20	^μ	^μ	Ein Paar sehr schwache, lange Wellen.
" 8/9	I u	P S e L M F	23 21 18 31,4 51,5 53,5 0 1,5 1 10	³ / ₂ 20 16	0,15 3 1,5	0,15 1,5 1,5	
" 11	I r	e e L M F	10 3,0 4 1 4 29 4 44 6,5	1		0,04	In San Remo gefühlt. 17 000 kg Pendel.
" 11	I	e e L F	13 37,5 47 14	8 11	0,5 0,8	0,5 0,5	
" 12	I	e L M F	20 0 4 30	15	0,9	0,8	Schon um 18 ^h 51 ^m 5 ^s in der Nord-Süd-Komponente winzige Wellen.
" 13	I	P? e L M F	18 54 40 19 8,4 12 16 20	2 20 12	< 1 7 5	< 1 8 4	
" 14	I	e L M F	21 19,5 22 40	6—8	0,5	0,6	
" 15	I	e L F	20 37,5 21	18	1	1,4	
" 15	I (u)	P S S R ₁ e L M ₁ M ₂ F	22 13 28 20 56 24,5 32,5 34 37,5 23 20	2 8 16 11 16			Vertikalseismometer.
					4 5 10	8 7 6	

Datum	Charakter	Phasen	Zeiten (Greenwich)			Perioden		Amplituden		Bemerkungen	
			h	m	s	Sekunden		A _E	A _N		
Aug. 17	III u	P	0	22	43	{ 2—4 4 9 15 15 20 35 35 33 34	1,2	μ	μ	Herd in der Nähe der Aleuten.	
		S	32	18							
			33,5								
		S R ₁	37	50							
		e L	43								
		M	44,5								
			48								
			50								
										Das weitere Beben überlagert von Vorläufern und Hauptwellen des folgenden.	
" 17	III u	e PR ₂ ?	0	55	16	20 18 17 18—22	500 700 600	600 170 400		{ Valparaiso zerstört. Vertikal-seismometer, e vielleicht = PR ₁ ; PR ₂ fällt in die Stundenmarke, deshalb Zeit um 16 ^s unsicher: 0 ^h 59 ^m 29 ^s ± 8 ^s .	
		M	1	46,5							
			50,5								
			52								
		C									
		F	5	30							
" 17	I u	e L	6	56,5	22	18	5	2,4			
		M	7	4,5							
		F	30								
" 17	I u	e L	7	49,5	22	18	3	1,4			
		M	57								
		F	8	30							
" 17	I u	e L	9	54,5	22	18	5	2,5			
			10	1,5							
		M	7,0								
		F	50								
" 17	I	L	11—		18	1	0,25			Durch den Papierwechsel gestört.	
			11	30							
" 17	I u	e L	12	47,5	21	7	3				
		M	54,5								
		F	13	20							
" 17	I u	e L	13	45,5	21	5	3				
			53,5								
			57,5								
		F	14	40							

Datum	Charakter	Phasen	Zeiten (Greenwich)	Perioden	Amplituden		Bemerkung
				Sekunden	A _E	A _N	
Aug. 17	I u	e L F	^h 16 ^m 3,5 8,5 20	15	0,4	0,4	Sehr schwach.
" 17	I u	e L M F	21 8,5 24 55	18—21	2	1,6	
" 18	I u	e L M ₁ M ₂ F	1 47,5 50,5 56,5 2 20	21 18	5 2,5	1,2 1,4	
" 18	I u	e L F	7 24,5 8 14,5 9 20	25	5,5	2,7	
" 18	I u	e L	13 27,5	18			Nur ein paar schwache, lange Wellen.
" 18	I u	e L F	16 19 45	25	4	2,7	
" 19	II u	P? S	9 48 59 ?	5			Vertikalseismometer. Das 1200 kg Pendel ist gestört.
		e L M ₁ M ₂ F	10 30,5 32,5 38 12 10	22 18	17 17	10 9	Vertikalseismometer.
" 19	I	e L F	13 14,5 30	12			Schwache, lange Wellen.
" 19	I u	e L F	16 32,5 40,5 44,5 17 20	22 18	5 5	2,6 4	
" 20	I u	e L M ₁ M ₂ F	11 13,5 18 23 40	20 15	1,3 1,7	1,7 0,7	

Datum	Charakter	Phasen	Zeiten (Greenwich)	Perioden	Amplituden		Bemerkungen
				Sekunden	A _E	A _N	
Aug. 21	I u	e L M F	^h ^m ^s 12 19 25 30,3 13 15	20 17	^μ 4 3	^μ 2,2 2	
" 21	I r	i P S e L M F	20 45 54 50,3 53 54,7	4—5 8 25 15	0,6 1,2 5	0,6 1 8	Das Ende läßt sich wegen Ueberlagerung durch das folgende Beben nicht angeben.
" 21	I u	e L F	21 27 50	21			Schwache, lange Wellen.
" 22	I u	e L M F	21 11,3 34,3 55	20	1,3	1,1	
" 24	I u	e L M F	2 41,3 50 3 10	18	2,6	1,9	
" 25	II u	i P P R ₁ S S R ₁ e L F	12 2 45 4 53 10,2 13,8 22,7 27,3 35,3 13 30	4 9 18 12 15	0,5 5 2,5 4	0,6 4 2,7 1,5	Vertikalseismometer.
" 25	II u	i P P R ₁ S P S S R ₁ e L M ₁ M ₂ F	13 56 23 58 26 14 3 5 3,8 7,3 13,3 18,3 26,7 28 16 40	25 14 30 20 15 18	4 30 25 14 25	10 17 11 16 10	Vertikalseismometer.

Datum	Charakter	Phasen	Zeiten (Greenwich)	Perioden Sekunden	Amplituden		Bemerkungen
					A _E	A _N	
Aug. 25	I u	e L F	^{h m s} 17 26 gegen 18h	10	μ	μ	Schwache, lange Wellen.
" 26	II u	e P R ₁ S? P S S R ₁ ? S R ₂ ? e L M F	6 20 30 21 15 23,2 30,8 37,1 41,1 55,3 59 7 4,7 16,3 9 20	8 15 35 20 17	1,2 5 45 25 18	1,2 2,5 25 18 25	Neu-Guinea? 9h 50m—10h 10m treten noch- mals lange Wellen auf. Das 17 000 kg Pendel hatte Reibung.
" 27	I	e L F	16 47 17	8—11	0,7	1,2	
" 28	I u	e e L M F	5 41,3 55,8 6 4,3 7,3 12,3 7	22 18 13	5 7 5	6 4	
" 29	I v	e L F	8 21 2 23,5	2—3	0,6	0,4	Dalmatien.
" 29	I	e L F	16 58 17 30	30	1	1,1	
" 30	II u	i P P R ₁ i S e L M F	2 52 27 56 29 3 3 20 23 26 34,3 36 6	3—4 4 12 35 21 19	0,9 6 16 25	0,8 2,5 22 18	Tacna, Arica. Der Einsatz von S sehr scharf in der Ost-West-Komponente.
" 31	I u	e L F	1 31 2				Einige sehr schwache, lange Wellen.

Datum	Charakter	Perioden	Zeiten (Greenwich)			Perioden		Amplituden		Bemerkungen
			h	m	s	Sekunden	AE	AN		
Aug. 31	I u	i ₁ P	15	8	23	3—4	0,6 ^μ	0,7 ^μ		
		i ₂ P		8	47					
		i S		17	14	9	4,2			
		P S		17	52	9		5,5		
		e L		34,3						
		M		35,3	14		4			
				41,2	13	3,5				
		F	16	15						
Sept. 1	I v	i	5	9	32	$\frac{1}{2}$	0,15	Im Rheinland (Ems, Boppard u. s. w.) gefühlt.		
		i			40	$\frac{1}{2}$	0,25			
		e			55	$\frac{4}{3}$	0,2			
		M		10	13	$\frac{1}{4}$	1,5			
		F		11						
" 6	I u	i P	19	17	43	3	0,9	0,7	Vertikalseismometer.	
		e		21,5						
		e		51,7	18	1	1,9			
		e L		20	12	30				
		F		21	10					
" 7	II u	P	19	4	59	4—6	0,5	0,6	Vertikalseismometer unlesbar.	
		P R ₁		8,5						
		S		15	24	12	4,5	3		
		e L		32,3						
				35,3	30	13	9			
				39,3	22	40	30			
				41,3	19	65	40			
				50	15	50	40			
				50,8	15	30	70			
		C								
		F	22	10						
" 8	I v	e L	0	45	44	$\frac{1}{3}$	0,02	In Garmisch gefühlt. Sehr schwach im 17000 kg Pendel.		
		F		46,2						
" 11	I	e L	13	46		13	0,4	0,7		
		F		14						
" 11	I	e L	19	11	55	10	0,6	0,9		
		F		16						
" 12	I	e L	11	47	10	10	0,7	1		
		F		50						

Datum	Charakter	Phasen	Zeiten (Greenwich)	Perioden Sekunden	Amplituden		Bemerkungen
					Ag	AN	
Sept. 13	I(u)	e L M F	^h 3 ^m 52 ^s 20 57 9 10	30 24	8 ^μ	^μ	Das Diagramm der Nord-Süd-Komponente des 1200 kg Pendels ist unleserlich.
" 13	I	P S? SR ₁ ? L F	10 7 45 13,3 17,2 ? 40	8 9	2 0,3		Vertikalseismometer. Die Nord-Süd-Komponente des 1200 kg Pendels ist unleserlich. L undeutlich.
" 14	I u	e P e L M F	13 24,3 14 9,3 14,7 50	25 20	5,5 6	4,5 4	Vertikalseismometer.
" 14	II u	e PR ₁ S SR ₁ e L M C F	16 23 39 25 22 26 8 unsicher 37,3— 37,8 42 53,3 17 3 7 14,3 19 10	3—5 9 22 15 60 40 26 24 20—25	1,5 2 20 300 400 65	1,5 1,5 3,5 25 600 400 300	Neuguinea. Vertikalseismometer, im 1200 kg Pendel PR ₁ schon 25 ^m 12 ^s . Im Vertikalseismometer ist diese Welle nicht zu erkennen. Eine kräftige Wellengruppe. Die Deutung der Einsätze ist schwierig, zum Teil unsicher.
" 16	I	i F	14 44 51 55	¹ / ₁₀	1,6	0,15	Explosion bei Besançon. Außer den kurzen Schwingungen ist noch eine längere Schwingung von etwa ¹ / ₁₀ s und von der gleichen Größenordnung zu erkennen.
" 17	I u	e P S? e L M F	4 28,8 39,3 5 2,3 7 11 40	20 15 12	3,5 3	4 8	Vertikalseismometer (schwach).

Datum	Charakter	Phasen	Zeiten (Greenwich)	Perioden	Amplituden		Bemerkungen
				Sekunden	A _E	A _N	
Sept. 17	I u	e	8 58,9		μ	μ	P unsicher, auch im Verti seismometer.
		e	9 8,3				
		e	20,3	25	5,5	3	
		e L	32,8	35			
		M	39,3	30	15	15	
			41,3	24	15	17	
		C		17			
" 17	I v	F	11 10				
		i L	18 0 21	2/3, 2		0,1	
" 20	I u	F	1 50				
		e L	18 23				
		M	36	20	3	6	
" 21	I u	F	19				
		i P	1 34 9				
		S	unsicher				
		e L	2 31	3			
		M ₁	40	18	2		
		M ₂	53	18		3	
" 21	I	F	3 30				
		e L	16 37				
		M	45	18	1	1,5	
		F	17				
" 28	II u	i P	15 37 32	4	1,5	0,8	} Vertikalseismometer.
		P R ₁	41 5	3			
		i S	47 55	10—12	35	7	
		e L	10 5,8	40			
			10,2	30	30	14	
		M	11,7	25	35	10	
		C		18			
		F	17 30				
" 29	I u	e L	4 18				
		M	23,2	16	1,2	3	
		F	50				
" 29	I u	e L	13 56	18	0,7	0,9	
		F	14 5				

Datum	Charakter	Phasen	Zeiten (Greenwich)	Perioden	Amplituden		Bemerkungen
				Sekunden	A _E	A _N	
Okt. 2	II u	e	^h 2 ^m 10 ^s 35	3—5	^μ	0,5 ^μ	} Herd Neu-Guinea. } Vertikalseismometer.
		PR ₁	12 22				
		S	23,1	12—16	5,5	4	
		PS	24,7				
		e	29,0	15	6		
		e	29,5	10		4	
		SR ₁	34,1	20	17	15	
			von 43 ^m ab				
		e L	49	50			
			52,7	33	90	110	
		M	3 5,2	22	85	140	
" 2	I u	C		15—18			Ein paar schwache, lange Wellen.
		F	5 30				
		e L	13 14—19 ^m	20			
		P	14 48 17	3	0,6	1	
		S	57 49	16	1,5	4,5	
" 2	I u	e L	?				
		M	15 34	18	2,5	5	
		F	16 30				
" 3	I u	e L	1 5				
		M	16	18	1,5		
		F	2 10				
" 4	I	e L	7 8	15			Einige schwache, lange Wellen.
" 6	I u	e L	13 40— 14				Schwache, lange Wellen treten ab und zu aus der mikrosei- smischen Bewegung hervor.
" 8	I	P	5 4 42	⁴ / ₃		0,15	Durch mikroseismische Bewe- gung beeinträchtigt.
		e	10,2				
		e	15,2	7	3,5		
		F	30				
" 10	I u	e L	8 14,3				
		M	23,8	21	4	2	
		F	9				

Datum	Charakter	Phasen	Zeiten (Greenwich)	Perioden	Amplituden		Bemerkungen
				Sekunden	A _E	A _N	
Okt. 10	I u	i P	13 ^h 6 ^m 14 ^s		^μ	^μ	Vertikalseismometer.
		S	16,5	9			
		e L	43	36—30			
		M ₁	47,5	22	7	12	
		M ₂	54,8	21	15	15	
		F	15				
" 10	I u	i P	22 55 53	2—3			Vertikalseismometer.
		i	56 13				
		S	23 6,7	8,14			
		S R ₁	12,3				
		e L	26,3	40			
		M ₁	30	24	4,5	10	
		M ₂	34	18	4,5	5,5	
		F	24 40				
" 11	I u	P	5 25 2				Vertikalseismometer.
		S	36,0				
		e L	6 5				
		M ₁	12	20	4,5	4,5	
		M ₂	18	20	4	5,5	
		F	7 20				
" 12	I	i P	1 7 37				
		e	16,8				
		L M	43	12	0,5	1	
		F	4 15				
" 12	I	P	ca. 11 ^h 35 ^m				Vertikalseismometer durch Arbeiten im Erdbebenhaus gestört.
" 15	I	e L	14 40				Anfang und Ende unsicher infolge starker mikroseismischer Bewegung.
		M _N	47	25		5,5	
		M _E	15 5,3	22	2,5		
		F	?				
" 16							Betrieb von 15 ^h —17 ^h durch Arbeiten im Erdbebenhaus gestört.

Datum	Charakter	Phasen	Zeiten (Greenwich)	Perioden	Amplituden		Bemerkungen
				Sekunden	A _E	A _N	
Okt. 17	I u	P	^h 9 ^m 54,6 ^s		^μ	^μ	Vertikalseismometer.
		S	10 5 8	18		3	
		e L	26,3	40—25			
		M ₁	31,3	25	40	45	
		M ₂	34	20	20	40	
		M ₃	41,3	15	15	25	
		C		15			
" 20	I r	F	12				Vertikalseismometer.
		i P	16 14 31				
		S	19,0				
		e L	23				
		M	24,2	14		2,5	
" 20	I v	F	27	10	1,2	1,5	Vertikalseismometer.
			50				
		e L	16 52 53	1/3		0,05	
" 23	I	F	53,8				Vertikalseismometer. Sehr schwach.
		i P	3 23 40				
		L	ca. 4 ^h	20 - 16			
" 24	II u	F	4 15				Chodschent und Katta-Kurgan. Vertikalseismometer, die größte Ausweichung bei beiden Ein- sätzen etwa 9° später. Bei der Ost-West-Komponente tauchen schon etwas früher längere Wellen auf. Eine Welle von 30° ist erkennbar. Die Wellen langer Periode sind überlagert von kürzeren Wellen (T = 6—9°).
		i P	14 51 4	2	2	0,5	
		PR ₁	52 49	2	3	1,2	
				15	6	< 3	
		S _N	57 38	10		3	
				30	14		
		SR ₁	15 0 37	10	3,3		
			0 47	10		3,2	
		e L	6?	35—24	100	80	
		M	11,8	12—15	75	120	
" 27	I	C		12—15			Aus der mikroseismischen Be- wegung tauchen schwache, lange Wellen auf.
		F	17				
		e L	4 43—				
" 28	I		5				Vertikalseismometer. Vielleicht schon etwas früher im 17000 kg Pendel kleine Wellen. (Starke mikroseismische Bewegung.)
		P	16 4 2	1			
		e	8 15	3	2,3	< 3	
		e	13 43	4	4	< 3	
		e L	48,3	ca. 20		1	
" 28	I	F	17				

Datum	Charakter	Phasen	Zeiten (Greenwich)	Perioden	Amplituden		Bemerkungen
				Sekunden	A _E	A _N	
Okt. 31	Iu	i P	1 58 40	2—3	μ	μ	Vertikalseismometer.
		e L	2 23	24			
		M _N	29,3	12		22	
		M _E	32,3	12	15		
		C		10—15			
		F	3 30				
Nov. 5	Iu	e P	20 10,8				Vertikalseismometer.
		S	20,7				
		S R ₁	ca. 26,8 ^m	12	1,5		
		e L	43	7			
		M ₁	48,8	33	4	10	
		M ₂	59,3	21	2,5	5	
		C		15—18			
		F	22				
" 5/6	Iu	e P	23 19,3				
		S	29,1				
		e L	56	40			
		M	0 3,3	18	2	2,5	
		F	45				
" 8	Iu	i P	0 52 25				Vertikalseismometer.
		S	1 3,1	8	3		
		S R ₁	8,9				
		e L	26				
		M ₁	33,3	15	2	5	
		M ₂	41	15	2,5		
			42,3	12		2	
		F	2 15				
" 8	Iu	e L	20 40	15			Dem Ende des Bebens ist vielleicht noch ein zweites überlagert.
" 9	I	e L	2 25				Einige schwache, lange Wellen.
		M	28,3	12		0,8	
		F	35				
" 10	Iu	e L	6 18				
		M	23	20	1,5	3	
		F	7				
" 10	Iv	e L	18 7 18	1		0,06	Gefühlt in Chiavari, Parma usw. P nicht erkennbar, weil das 17 000 kg Pendel durch das Elektrizitätswerk gestört ist.
		F	9				

Datum	Charakter	Phasen	Zeiten (Greenwich)	Perioden		Amplituden		Bemerkungen
				Sekunden		A _E	A _N	
Nov. 12	I u	i P	17 ^h 41 ^m 7 ^s	3		1 ^μ	< 0,5 ^μ	Sehr unregelmäßige Wellen.
		S	48,1	6		0,3	1	
		e L	55	3, 6, 9, 11				
		M	18 2,8	9		10	9	
		F	19					
" 13	I	e L	18 14					
		M	17,8	18		0,5	0,8	
		F	40					
" 14	II u	i P	17 57 9	6			2,5	} Vertikalseismometer. e ₁ fällt in die Stundenmarke.
		e ₁	ca. 59,8					
		e ₂	18 1 14	6				
		e S	13,8	12				
		SR ₁	22,7					} Von 53 ^m ab regelmäßige Sinus- wellen.
			23,8	22		8		
		e L	37	50—42		30		
		M	58	24		40	40	
		C		16—20				
		F	20 30					
" 15	I u	e L	3 48					
		M	50	20			1	
		F	4 10					
" 16	I	e L	21 9	11			0,25	Ein paar sehr schwache, lange Wellen.
" 19	II u	e	7 36 45					} Vertikalseismometer. Der erste Einsatz von P wird von den meisten mitteleuropäischen Stationen nicht mehr registriert, wohl aber noch von Tiflis und Triest.
		PR ₁ ?	37 39	3—6 12		6	11	
		PR ₂ ?	41 17					
		S _N	45 21	12		?	6	
		P S?	47 15	9				} Nicht deutlich zu erkennen, fällt vielleicht in die Stundenmarke. Es reihen sich einige sehr unregelmäßige Wellen von etwa 1 ^m Periode an. (Im 100 kg Pendel weitaus Maximum.)
				15		18	3,6	
		SR ₁	53 35	23		200	60	
		e	57,8					
		SR ₂ ?	59,8					
		SR ₃ ?	8 4,2					
		i	4 35	40	} nicht meßbar	200		Vertikalseismometer.
			6,3	60—70		200		
		e L	ca. 20	30				

Datum	Charakter	Phasen	Zeiten (Greenwich)	Perioden	Amplituden		Bemerkungen
				Sekunden	A _E	A _N	
Nov. 19 Fortsetzung		M C F	^h ^m ^s 33 nach 10 ^h 10 ^m	22 15—18	20 ^μ	70 ^μ	
Nov. 22	I	e L F	0 1,8 4,8 7,3 1	16 10	1,5 1	1	
" 22	I	e L M F	0 32 34 45	15	0,6		
" 22	I	e L	ca. 9 ^h 20 ^m				Ein paar sehr schwache, lange Wellen.
" 25	I u	i P i S PS (e L F	11 24 37 25 14 34 6 35,3 45) 12 30	4 8 8	1 2,5 3,5	1,2 2	Vertikalseismometer. L sehr schwach.
" 28	I	i P P R ₁ S e L M F	9 16 37 19,5 26,6 44? 56,2 10 30	9 18	6 1,5	2,5 3	
Dez. 3/4	II u	i P P R ₁ S PS e L M C F	23 10 7 12 53 18 45 19 36 26 30 0 20	{ 3 6 3 10 6 45 18 12—15	7 5 9	3 30 60 30	Sehr kräftig im Vertikalseismometer.
" 10	I v	P L	16 13 56 58	2 ¹ / ₅			Nur im 17 000 kg Pendel.
" 12	I	e L M F	4 58 5 6,2 30	14	1	0,7	

Datum	Charakter	Phasen	Zeiten (Greenwich)	Perioden	Amplituden		Bemerkungen
				Sekunden	Ag	An	
Dez. 15	I	e L F	^{h m s} 19 24 42 30,4 31 13 45	15	11	14	
" 16	I		19 29	14		1	Einige schwache, lange Wellen.
" 17	I	e L	11 40-12 ^h				Sehr schwache, lange Wellen.
" 17	I	e L	ca. 18 ^h 6 ^m				In der Ost-West-Komponente des 1200 kg Pendels sind einige sehr schwache, lange Wellen er- kennbar.
" 18	I	i P i S e L F	21 18 59 19 3 ? 22 21 23 20	18			} Tonga-Archipel. } Vertikalseismometer.
" 19	II u	i P S _N S _E e e L M ₁ M ₂ C F	1 34 12 47,9 48,4 2 15 ca. 30 41 48 4 20	{ 3 12 12 50	2,5 1 40	7 4,5	Tonga-Archipel. Vertikalseismometer. Eine Gruppe von Wellen von etwa 1 ^m Periode. Vertikalseismometer.
" 19	I	e P e M ₁ M ₂ F	8 2,2 3,2 5,7 9,4 20	6 15 12	1,3 3	1,1 2,5 3	
" 19	I u	e L	19 15-40 ^m				Einige schwache, lange Wellen.
" 22	III u	i P i P R ₁ P R ₂ i i S	18 29 53 31 55 32 46 35 27 36 59	9 9 9 9 17 9	17 30 15 8 45	7 15 4,5 3,5 60	Semiritschensk, Kopal. Verti- kalseismometer.

Datum	Charakter	Phasen	Zeiten (Greenwich)	Perioden	Amplituden		Bemerkungen
				Sekunden	A _E	A _N	
Dez. 22 Fortsetzung		i S R ₁ e L	^h ^m ^s 40 5 41,7	9 60—40	15 ^μ	25 ^μ	e L nach dem Diagramm des 100 kg Pendels.
		M ₁ M ₂ C F	48,2 52 21 40	21 15 12—17	650 400	700 500	Die Nord-Süd-Komponente des 1200 kg Pendels schlägt einige Male an die Hemmung.
" 23	I u	i P S? e L M	7 13 29 23 9 34 43	40 27	4	17	Das Ende ist nicht aufge- zeichnet infolge Versagens der Zeitmarkierung.
" 23	I	e F	13 29,1 29,9 40	6	0,6	1,1	
" 23	II u	i P P R ₁ P R ₂ i S	17 33 26 35 7 36 52 41 43	12 12 9 18	1 1 30	6 5 22	Das Vertikalseismometer zeigt 32° 24' den Einsatz kleiner Wellen und 32° 39' den starken Haupteinsatz.
		P S S R ₁ e L M ₁ M ₂ C F	ca. 42,7 ca. 47 57,2 59 18 6,5 20 20	30 30 18 12—15	45 20	60 90	Vertikalseismometer.
" 24	I	L	ca. 7 ^h 32 ^m	13			
" 26	I u	i P P R ₁ i S S R ₁ e L M F	6 7 7 10 56 17 38 24,7 39 47 8	9 14 30 21	30 15	9 8	Wenige schwache Wellen. Herd: Grenze von Chile und Peru. 17000 kg Pendel, Verti- kalseismometer außer Betrieb.
" 26	I u	e L	18 47— 19 10				Schwache, lange Wellen.
" 27	I	e L	6 50—7 ^h	10—12			Einige schwache, lange Wellen.

Mikroseismische Bewegung 1906.

Datum	Januar		Februar		März		April		Mai		Juni	
	T	A _E	T	A _E	T	A _E	T	A _E	T	A _E	T	A _E
1	5 ^s	0,7 ^μ	6 ^s	0,6 ^μ	7 ^s	1 ^μ	?	< 0,3 ^μ	?	< 0,3 ^μ	?	< 0,3 ^μ
2	5	0,6	8	2	6	0,7	?	< 0,3	?	< 0,3	?	< 0,3
3	6	0,4	7	0,9	5-6	0,4	5-6	0,3	?	< 0,3	?	< 0,3
4	8	0,6	5	0,6	?	< 0,3	6	0,6	?	< 0,3	?	< 0,3
5	6-7	0,4	5	0,4	6	0,4	7	0,7	?	< 0,3	?	< 0,3
6	5	0,3	6	0,9	6	0,6	7-8	1	?	< 0,3	?	< 0,3
7	4,6	0,4	7	0,9	6	1,2	7	0,7	?	< 0,3	?	< 0,3
8	?	0,3	6-7	0,9	6-7	3,3	7	1,2	?	< 0,3	?	< 0,3
9	7	0,6	7	1,5	8	4	7	0,9	?	< 0,3	?	< 0,3
10	8	1,2	7	1,8	7	2	7	0,9	?	< 0,3	?	< 0,3
11	7-8	1,2	7	1,8	?	< 0,3	6	0,4	6-7	0,4	?	< 0,3
12	8-9	3	8	0,9	5-6	0,9	6	0,4	7	0,3	?	< 0,3
13	9	5,5	7	1,3	6	1,2	?	< 0,3	6-7	0,3	?	< 0,3
14	8-9	2,5	7	1,8	6-7	0,9	?	< 0,3	?	< 0,3	?	< 0,3
15	7	2	7	1,2	6	1,5	7	0,7	?	< 0,3	?	< 0,3
16	7-8	1,5	6-7	0,9	7	0,7	6	1,2	?	< 0,3	?	< 0,3
17	6-7	0,9	7-8	1,2	8	1,3	5-6	0,4	?	< 0,3	?	< 0,3
18	7-8	0,7	7-8	1,2	6	< 0,3	?	< 0,3	?	< 0,3	?	< 0,3
19	6	0,7	7	0,7	?	< 0,3	?	< 0,3	?	< 0,3	?	< 0,3
20	?	< 0,3	8	2	?	< 0,3	?	< 0,3	?	< 0,3	?	< 0,3
21	5	< 0,3	8	1,5	?	< 0,3	?	< 0,3	?	< 0,3	?	< 0,3
22	?	< 0,3	6	0,3	?	< 0,3	6	0,3	?	< 0,3	?	< 0,3
23	4-5	< 0,3	?	< 0,3	?	< 0,3	?	< 0,3	?	< 0,3	?	< 0,3
24	5	0,6	?	0,3	?	< 0,3	?	< 0,3	?	< 0,3	?	< 0,3
25	6-7	2	4	0,4	?	< 0,3	?	< 0,3	?	< 0,3	?	< 0,3
26	7	2,7	6	0,6	?	< 0,3	?	< 0,3	?	< 0,3	6	0,3
27	6-7	2,5	6	0,3	7	1,5	?	< 0,3	?	< 0,3	?	< 0,3
28	7	2,7	?	< 0,3	?	< 0,3	6	0,6	?	< 0,3	?	< 0,3
29	6	1,2			6	0,9	6	0,9	?	< 0,3	?	< 0,3
30	7	0,6			?	< 0,3	6	0,3	?	< 0,3	?	< 0,3
31	7	1,2			?	< 0,3			?	< 0,3		

Die Ablesungen beziehen sich auf ca. 8^h a. m. M. E. Z.

Mikroseismische Bewegung 1906.

Datum	Juli		August		September		Oktober		November		Dezember	
	T	AE	T	AE	T	AE	T	AE	T	AE	T	AE
1	^s ?	^μ < 0,3	^s ?	^μ < 0,3	^s ?	^μ < 0,3	^s ?	^μ < 0,3	^s ?	^μ < 0,3	^s 5-6	^μ 0,6
2	?	< 0,3	?	< 0,3	?	< 0,3	?	< 0,3	?	< 0,3	6	0,4
3	?	< 0,3	?	< 0,3	?	< 0,3	?	< 0,3	5	2,5	6-7	0,7
4	?	< 0,3	?	< 0,3	?	< 0,3	?	< 0,3	?	< 0,3	15	0,9
5	?	< 0,3	?	< 0,3	?	< 0,3	?	< 0,3	4-5	0,4	18	0,7
6	?	< 0,3	?	< 0,3	?	< 0,3	?	< 0,3	?	< 0,3	7	0,7
7	?	< 0,3	?	< 0,3	?	< 0,3	?	< 0,3	?	< 0,3	7	2,7
8	6	0,3	?	< 0,3	?	< 0,3	7	0,4	?	< 0,3	7-8	0,4
9	6	0,2	?	< 0,3	?	< 0,3	7	2,5	?	< 0,3	8-9	3,3
10	?	< 0,3	?	< 0,3	?	< 0,3	?	< 0,3	6	0,4	?	4
11	?	< 0,3	?	< 0,3	?	< 0,3	?	< 0,3	6	0,3	7	2
12	?	< 0,3	?	< 0,3	?	< 0,3	?	< 0,3	?	< 0,3	7	0,4
13	?	< 0,3	?	< 0,3	6	0,3	?	< 0,3	6	1,8	7	0,3
14	?	< 0,3	?	< 0,3	6	0,4	?	< 0,3	?	< 0,3	7	0,4
15	?	< 0,3	?	< 0,3	7	0,4	6	0,9	?	< 0,3	7	1,2
16	?	< 0,3	?	< 0,3	5-6	0,3	6-7	1,2	6	0,2	7	0,6
17	?	< 0,3	?	< 0,3	6	0,2	6	0,6	?	< 0,3	6	0,6
18	?	< 0,3	?	< 0,3	5-6	0,2	6	0,9	6-7	0,6	6	0,6
19	?	< 0,3	?	< 0,3	6	0,3	?	< 0,3	7	0,6	6	0,4
20	6	0,3	?	< 0,3	?	< 0,3	6	0,3	6	0,4	?	< 0,3
21	?	< 0,3	?	< 0,3	?	< 0,3	5-6	0,4	5-6	0,4	5	0,3
22	?	< 0,3	?	< 0,3	?	< 0,3	?	< 0,3	?	< 0,3	7	1
23	?	< 0,3	?	< 0,3	?	< 0,3	?	< 0,3	6-7	0,3	5-6	0,2
24	?	< 0,3	5-6	0,3	?	< 0,3	?	< 0,3	6	0,4	7	0,6
25	?	< 0,3	5-6	0,2	?	< 0,3	7	0,3	6	0,3	7	1,2
26	?	< 0,3	?	< 0,3	?	< 0,3	7	0,3	6	1,2	6	0,7
27	?	< 0,3	?	< 0,3	6	0,3	7	0,6	6	0,3	7	1,8
28	?	< 0,3	?	< 0,3	6	0,4	7	0,9	6	0,2	6-7	0,6
29	?	< 0,3	?	< 0,3	6	0,2	8	3,3	6	1,2	6-7	0,3
30	?	< 0,3	?	< 0,3	?	< 0,3	8	2	6	0,9	?	< 0,3
31	?	< 0,3	?	< 0,3			8	0,4			4-5	0,2

Die Ablesungen beziehen sich auf ca. 8^h a. m. M. E. Z.

Tafelerklärung.

Fig. 1—6 geben die Phase der Hauptwellen wieder, und zwar von zwei Erdbeben (19. XII. 06 und 2. I. 07), die beide in der Nähe der Tongagruppe in der Südsee ihren Herd haben. Die entsprechenden Komponenten sind jeweils unter einander gesetzt, um zu zeigen, in welchem weitgehendem Maße die in etwa 16 600 km Herdentfernung erhaltenen Kurvenaufzeichnungen beider Erdbeben übereinstimmen. Auf einzelne, bei beiden Erdbeben in gleicher Weise auftretende Wellengruppen ist durch entsprechenden Hinweis a, a ; b, b ; etc. aufmerksam gemacht. Sucht man nach einer Erklärung für die überraschende Übereinstimmung der Hauptphasen beider Erdbeben, so erscheint es höchst unwahrscheinlich, daß der Verlauf des Erdbebens am Orte des Bebens selber in beiden Fällen während mindestens 30 Minuten soweit übereinstimmend gewesen sein sollte, daß er die Ähnlichkeit der beiden Göttinger Diagramme verursacht hätte. Viel näher liegt es vielmehr anzunehmen, daß das komplizierte, bei beiden Erdbeben aber ziemlich übereinstimmende Bild der Hauptphase als eine Folge der Wellenausbreitung zu betrachten ist, ganz ähnlich, wie auch das Bild der Vorläufer mit seinen verschiedenen Einsätzen nicht durch den Bebenverlauf, sondern durch die Gesetze der Wellenausbreitung seinen eigentümlichen Charakter erhält. Etwas näher darauf eingehen werde ich in einer Arbeit, die gleichzeitig der Gesellschaft der Wissenschaften zu Göttingen vorgelegt worden ist und demnächst erscheinen wird.

Fig. 7 stellt die bebenartige Erschütterung dar, die in Göttingen durch die Explosion in Fort Montfaucon bei Besançon am 16. September 1906 erzeugt worden ist. Die Figur selbst ist die Wiedergabe einer photographischen Vergrößerung, die von dem Diagramm des 17 000 kg Pendels hergestellt wurde. Es resultiert so im Ganzen eine 10 000fache Vergrößerung der Bodenbewegung. Die Zeitskala ist mit angegeben. Leider sind die Schwingungen zum Teil nicht mehr einzeln aufgelöst.

Fig. 8 u. 9 stellen Vorphase und den Beginn der Hauptphase des innerasiatischen Bebens am 22. Dezember 1906 dar, und zwar die Registrierung der beiden Horizontalkomponenten des 1200 kg Pendels. Die beiden Diagramme können als Typus der Aufzeichnung eines Bebens aus ca. 5000 km Herdentfernung gelten. Bei solchen Erdbeben treten die Einsätze der reflektierten Wellengruppen besonders deutlich hervor.

Fig. 10 gibt einen Vergleich des ersten Einsatzes (P) der

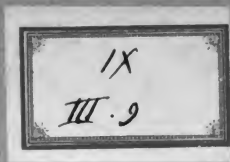
direkten Longitudinalwellen und des darauf folgenden Einsatzes (PR_1) der einmal an der Erdoberfläche reflektierten Longitudinalwellen beim Karatagbeben 21. Oktober 1907, und zwar einen Vergleich der Aufzeichnungen dieses Bebens in Wien und in Göttingen. Fast genau übereinstimmende Bilder bieten auch die Aufzeichnungen von Graz und Straßburg, die mir in freundlichster Weise zur Verfügung gestellt wurden¹⁾. Die Nebeneinanderstellung zeigt aufs deutlichste, wie die besondere Form der Vorderfront einer seismischen Störung, die durch den besonderen Verlauf des Auslösungsvorgangs im Herd bedingt ist, bei gedämpft schwingenden Apparaten mit ähnlichen Apparatkonstanten zu fast ganz identischen Aufzeichnungen führt. Hierauf ist übrigens von verschiedenen Seiten wiederholt aufmerksam gemacht worden. Die Übereinstimmung ist beim ersten Einsatz (P) deutlich bis zum dritten größeren Ausschlag zu verfolgen. Weiterhin verursacht scheint die verschiedene Lage der beiden Stationen zum Herd Abweichungen der beiden Diagramme von einander, und es machen so an Stelle der Besonderheit des Bebenverlaufs die Eigentümlichkeiten der Wellenausbreitung über die Erdkugel sich geltend. Bei dem folgenden Einsatz (PR_1) kann man der Natur der Sache nach keine so weitgehende Übereinstimmung erwarten, doch ist die Ähnlichkeit der Aufzeichnung von Wien und Göttingen auch hier noch unverkennbar.

Fig. 11 ist eine ähnliche Vergrößerung wie Fig. 8, ebenfalls nach dem Diagramm des 17000 kg Pendels, und zwar vom Rheinländer Beben (Ems, Boppard etc.) am 1. September 1906. Auch hier ist die Bodenbewegung etwa 10000fach vergrößert.

Fig. 12 u. 13 geben das verwickelte Bild der Vorläuferphase bis in die Phase der Hauptwellen hinein wieder, wie es für Beben aus einer gewissen Herdentfernung charakteristisch ist. Das vorliegende Erdbeben wurde in Finschhafen gefühlt, hatte also in etwa 13600 km Entfernung von Göttingen seinen Herd. Ueber den Ursprung der verschiedenen deutlich hervortretenden Einsätze wird man erst dann Sicherheit erlangen, wenn es möglich sein wird, von einem derartigen Beben Diagramme zu vergleichen etwa aus 9, 10, 11, 12, 13 und 14 Tausend km Herdentfernung, und zwar Diagramme, in denen die Schwingungen einzeln aufgelöst und die von hinreichend vergrößernden, gedämpft schwingenden Apparaten geliefert sind.

1) Ich möchte nicht versäumen, an dieser Stelle den Herren H. Benndorf, V. Conrad und C. Mainka verbindlichsten Dank für ihr Entgegenkommen auszusprechen.





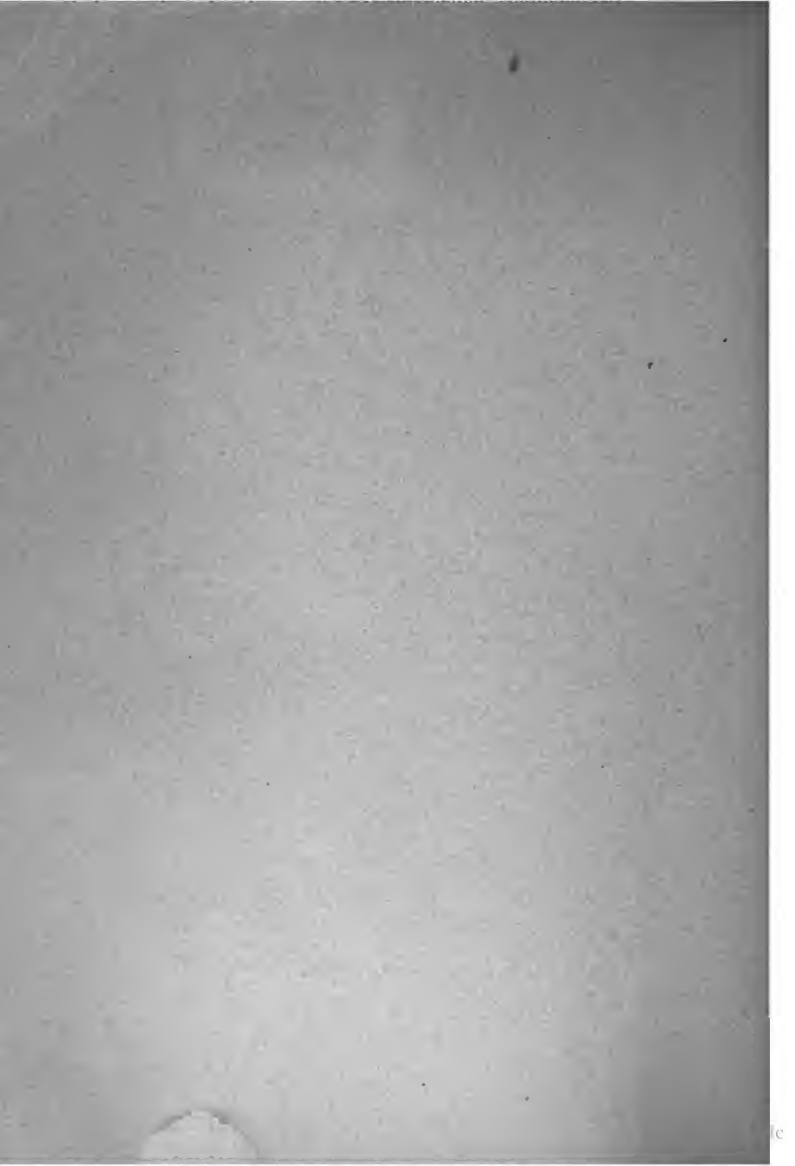
Seismische Registrierungen in Göttingen im Jahre 1907

mit einem Vorwort über die Bearbeitung der Erdbeben-
diagramme.

Von

Ludwig Geiger.

Aus den Nachrichten der K. Gesellschaft der Wissenschaften zu Göttingen
Mathematisch-physikalische Klasse. 1909.



Seismische Registrierungen in Göttingen
im Jahre 1907
mit einem Vorwort über
Die Bearbeitung der Erdbebendiagramme.

Von
Ludwig Gelger.

Mit 2 Tafeln.

Vorgelegt in der Sitzung vom 6. März 1909 von E. Wiechert.

Allgemeine Bemerkungen.

Dieser Bericht schließt sich an die früheren in diesen Nachrichten erschienenen Jahresberichte an. Zuerst ist eine Anweisung zur Bearbeitung der Erdbebendiagramme gegeben, die zur Einführung in die Praxis bestimmt ist. Dann folgt der Katalog der hier registrierten Erdbeben. Während des ganzen Jahres waren die folgenden Wiechertschen Instrumente dauernd in Betrieb:

1. das astatische 1200-kg-Horizontalpendel, dessen beide Komponenten nach EW und NS orientiert sind;
2. das 1300-kg-Vertikal-Pendel;
3. das 17500-kg-Horizontalpendel, bei dem nur die NS-Komponente ausgebaut ist;
4. das 100-kg-Pendel, das die NS-Komponente liefert.

Die Instrumentalkonstanten

T_0 = Eigenperiode des Instrumentes bei ausgeschalteter Dämpfung,

L = äquivalente Pendellänge,

I = Indikatorlänge,

V = Indikator-Vergrößerung oder Vergrößerung rascher Schwingungen,

ε = Dämpfungsverhältnis,

r = Reibungsausschlag

wurden im Berichtjahre viermal bestimmt, und daraus jedesmal

die Reduktionstafel für die Berechnung der wahren Bodenverrückung nach der Formel

$$\mathfrak{B} = \frac{V}{\sqrt{\left(1 - \left(\frac{\mathfrak{T}}{T_0}\right)^2\right) + 4 \cdot \frac{(\log \text{ nat } \varepsilon)^2}{\pi^2 + (\log \text{ nat } \varepsilon)^2} \cdot \left(\frac{\mathfrak{T}}{T_0}\right)^2}}$$

berechnet. Darin ist

\mathfrak{B} = Dynamische Vergrößerung,

\mathfrak{T} = Periode der Bodenbewegung ¹⁾.

Die Konstanten waren wie früher ziemlich stark veränderlich, so daß die Resultate mit etwa 10 % Unsicherheit behaftet sind.

Die Instrumente wurden sehr gewissenhaft von unserem Hauswart, Herrn Hilke, besorgt.

Als Grundlage des vorliegenden Jahresberichtes dienten die Wöchentlichen Erdbebenberichte, die vom 1. Januar bis 31. März und vom 15. Mai bis 31. August Dr. K. Zoeppritz, die übrige Zeit der Verfasser besorgt hat. An Hand der Berichte von anderen Stationen, insbesondere den Jenensern, konnten nachträglich noch einige schwache Beben entdeckt werden. Dabei zeigte sich, daß sehr viele in Jena als Beben angesprochene Störungen hier gänzlich fehlen, also offenbar durch lokale Unruhe vorgetäuscht sind. Die Lage des hiesigen Warte, 2 km von der Stadt, zeigt sich also als sehr nützlich.

Bei den Beben wurde die aus den Zoeppritzschen Laufzeitkurven sich ergebende Herddistanz nur dann mitgeteilt, wenn jeder Zweifel ausgeschlossen schien.

Die Bezeichnungen sind die alten, einige wenige sind neu hinzugekommen (vergl. pg. 18).

Die Zeit gab uns ca. alle zwei Wochen telephonisch die Kgl. Sternwarte, wofür auch an dieser Stelle dem Assistenten, Herrn Dr. Kohlschütter, herzlich gedankt sei. Dank dem vorzüglichen Gang unserer Normal-Pendeluhr von Straßer & Rohde ist die Unsicherheit in den Zeiten kleiner als $\frac{1}{2}$ Sekunde.

Zum Schluß ist eine Uebersicht über die mikroseismische Bewegung gegeben, wie sie an jedem Tage morgens 7 Uhr (Greenwich) geherrscht hat. Bekanntlich zeigt die mikroseismische Bewegung Schwebungen; deshalb wurde jeweilen die größte Amplitude gemessen. Wenn um diese Zeit die Ablesung durch ein übergelagertes Beben oder Betriebsstörungen am Instrument unmöglich gemacht waren, so ist dies durch „?“ markiert. Ein „—“ bei der Amplitude bedeutet, daß dieselbe kleiner als $0,2 \mu$ ist; fehlt jede Bewegung, so ist auch die Periode durch „—“ ausgefüllt.

¹⁾ E. Wiechert: Theorie der automatischen Seismographen; Abh. d. Ges. d. Wiss. Gottingen 1903.

Die Bearbeitung der Erdbebendiagramme.

1. Die Instrumentalkonstanten.

E. Wiechert hat gezeigt¹⁾, daß jeder noch so komplizierte Seismograph mathematisch durch ein einfaches Fadenpendel ersetzt werden kann, dessen Ausschläge durch einen Zeiger vergrößert aufgeschrieben werden (Fig. 1). Ein solches Pendel ist also durch zwei Konstanten charakterisiert: die Pendellänge L und die Indikator(zeiger)-Länge I . Für die Schwingungsperiode T gilt also

$$T = 2\pi\sqrt{\frac{L}{g}}, \quad (1)$$

worin g die Beschleunigung der Schwere ist, und für die Indikatorvergrößerung V

$$V = \frac{J}{L} \quad (2)$$

gilt.

In vielen Fällen ist nun der Seismograph künstlich stark gedämpft, und besonders bei mechanisch registrierenden Instrumenten erleidet die Indikatorspitze eine wenn auch kleine so doch nicht zu vernachlässigende Reibung. Schaltet man die Dämpfung aus, und läßt das Pendel



Fig. 1.

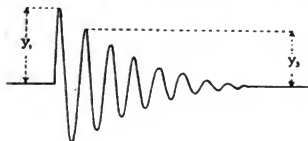


Fig. 2.



Fig. 3.

schwingen (Fig. 2), so wird alle Energie durch die Reibung verzehrt. Der der Reibung entsprechende Ausschlag r ist gegeben durch

$$r = \frac{1}{2} \cdot (y_1 - y_2). \quad (3)$$

Schaltet man die Dämpfung ein, und läßt das Pendel schwingen (Fig. 3), so ist die Dämpfung charakterisiert durch

$$\varepsilon = \frac{y_1 - r}{y_2 + r}. \quad (4)$$

Jedes gedämpfte Pendel ist also durch

1) E. Wiechert: l. c.

$$T, (L), I, (V), r, \varepsilon$$

vollständig charakterisiert. Wir wollen hier davon absehen, wie diese Konstanten praktisch bestimmt werden¹⁾, sondern sie als bekannt voraussetzen. Es soll vielmehr gezeigt werden, wie Erdbebendiagramme zu lesen sind.

2. Ausbreitung der Erdbebenwellen.

Nach der heutigen Auffassung hat man sich die Ausbreitung eines Erdbebens so vorzustellen:

H (Fig. 4) sei der Herd des Bebens; er liegt erfahrungsgemäß immer nahezu oder ganz oberflächlich. Wir denken uns jetzt in H ein ideales Beben, d. h. einen einzigen Impuls. Ueber die Konstitution des Erdinnern machen wir gar keine speziellen

Annahmen. Die Elastizitätstheorie lehrt nun, daß sich dieser Impuls in 3 Hauptformen fortpflanzt:

1) Eine longitudinale Stoßwelle, der 1. Vorläufer (P) geht durch das Erdinnere; die Figur der Stoßstrahlen s , d. h. der orthogonalen Trajektorien der Wellenflächen w läßt sich natürlich nur unter ganz gewissen Voraussetzungen über die physikalische Beschaffenheit des Erdinnern angeben. Nimmt man z. B. die Erde

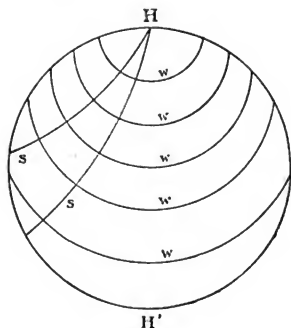


Fig. 4.

als homogen an, so folgen geradlinige Stoßstrahlen; nimmt man an, daß die Dichte nach innen zunimmt, so folgen nach außen konkave Stoßstrahlen etc. Es ist also durchaus unzulässig, von einer „Fortpflanzungsgeschwindigkeit“ zu reden, weil diese ja eine Funktion der Tiefe ist. Dagegen können wir jedem Stoßstrahl seine Laufzeit zuordnen, d. h. diejenige Zeit, die vergeht, bis der Stoßstrahl zur Station kommt.

2) Eine transversale Stoßwelle, der 2. Vorläufer (S), geht durch das Erdinnere. Auch hier gilt das beim

¹⁾ Siehe E. Wiechert: Konstantenbestimmung 1908. (Als Manuskript gedruckt).

1. Vorläufer gesagt: jedem Stoßstrahl können wir seine Laufzeit zuordnen. Die Elastizitätstheorie lehrt nun, daß an einer Unstetigkeitsfläche, also vor allem an der Erdoberfläche, die Vorläufer teils gebrochen, teils reflektiert werden (Riecke, Wiechert).

Diese elastischen Reflexionen sind aber viel komplizierter als z. B. die Reflexion des Lichtes. Jeder rein longitudinale und jeder rein transversale Stoßstrahl zerfällt im allgemeinen bei der Reflexion in einen longitudinalen und einen transversalen Strahl. Der reflektierte Strahl, der gleicher Natur wie der einfallende Strahl ist, wird unter dem Einfallswinkel zurückgeworfen, während der andere reflektierte Strahl einem komplizierten Reflexionsgesetze folgt. Die Energie des einfallenden Strahles geht aber nicht zu gleichen Teilen in die beiden reflektierten Strahlen, sondern vorzüglich in den gleichartigen reflektierten Strahl. Wir können deshalb im Allgemeinen die reflektierten Strahlen vernachlässigen, die ihre Natur bei den Reflexionen gewechselt haben, und uns auf diejenigen beschränken, die ihre Natur dauernd bewahren, die also dem optischen Reflexionsgesetze folgen. Einzig die nur einmal reflektierten Strahlen, die ihre Natur bei der Reflexion wechseln, sollen noch berücksichtigt werden; sie machen also den einen Ast ihres Weges longitudinal, den andern transversal, wobei die Reihenfolge wenigstens für die Laufzeit belanglos ist. Wir nennen diese letzteren Wellen „Wechselwellen“ (PS), und die n mal reflektierten longitudinalen und transversalen Wellen PR_n und SR_n . All diesen Wellen kann natürlich eine Laufzeit zugeordnet werden.

3) Von H aus breitet sich der Impuls auf der Erdoberfläche konzentrisch aus. Die Oberflächenwellen (Rayleigh-Wellen) heißen „die langen Wellen“ (L). Ihre Amplitude nimmt zunächst annähernd proportional der reziproken Quadratwurzel aus der auf dem Bogen gemessenen Herddistanz ab; nachdem der Aequator um H überschritten ist, konvergiert die Welle nach dem Gegenpunkt H' von H , die Amplitude wächst entsprechend und erreicht in H' ein Maximum, das man sich jedoch ganz diffus über ein großes Gebiet verbreitet zu denken hat. H' kann jetzt als sekundärer Herd aufgefaßt werden, von dem lange Wellen (L_{rep1}) zurückkehren, die in H ein neues Maximum erzeugen, u. s. f., bis die Energie völlig absorbiert ist. Die Elastizitätstheorie lehrt nun, daß die Oberflächenwellen sehr komplexer Natur sind. Als Hauptphasen unterscheiden wir: das Auftauchen (eL), das Maximum (M), und das Ende (F). Die Maxima der wiederkehrenden langen Wellen L_{rep1} , L_{rep2} , ... heißen M_{rep1} , M_{rep2} , ...

Alle genannten Wellen also P , PR_1 , PR_2 , ... S , SR_1 , SR_2 , ... PS , eL , M , M_{reg} , ... bezeichnen Phasen. Die obigen Resultate gelten ganz unabhängig von der Konstitution der Erdkugel, über die Größe der Laufzeiten konnte deshalb nichts ausgesagt werden. Man wird vielmehr umgekehrt aus den beobachteten Laufzeiten auf die Konstitution des Erdinnern schließen können. Wiechert fand so, daß die Erde aus einem ziemlich gleichartig sich verhaltenden Metallkern von ca. 5200 km Radius und einem Steinmantel von ca. 1500 km Dicke besteht. Die Geschwindigkeit der Vorläufer wächst im Mantel mit der Tiefe, im Kern ist sie fast konstant, sie scheint in großer Tiefe etwas abzunehmen. Ein Stoßstrahl, der nur im Mantel bleibt, ist also nach außen konkav; ein solcher, der auch die äußeren Schichten des Kernes passiert, ist im Kern nahezu gerade, während die beiden Aeste, die den Mantel durchsetzen, nach außen konkav sind; ein Strahl, der sehr tief durch den Kern geht, ist dort nach außen konvex. Ueber die Tiefen von mehr als 3500 km ist noch nichts bekannt. Man übersieht die Laufzeiten am bequemsten an den Laufzeitkurven, wie sie neuestens von K. Zöppritz¹⁾ konstruiert worden sind (Tafel I). Diese geben die Laufzeiten als Funktion der längs der Erdoberfläche gemessenen Herddistanz. Legen wir an irgend einer Stelle eine Vertikale durch diese Kurvenschar, so liefern deren Schnittpunkte mit den einzelnen Kurven den zeitlichen Typus jedes Bebildiagramms dieser Herddistanz. Fig. 5 zeigt ein so konstruiertes Idealbebildiagramm:

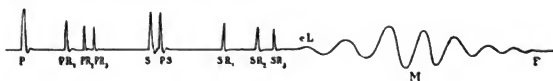


Fig. 5.

Die Amplituden und Perioden der einzelnen Phasen sind darin ganz willkürlich gewählt. Tafel II zeigt zum Vergleich drei wirkliche Bebildiagramme, deren Herddistanzen 9900, 4800 und 250 km betragen. Zunächst fällt auf, daß zwischen den einzelnen Phasen nicht Ruhe herrscht, sondern eine Reihe sehr komplizierter Schwingungen auftritt. Ueber diese Schwingungen läßt sich zur Zeit kaum mehr sagen, als daß die kürzesten Perioden beim 1. Vorläufer und die längsten Perioden in den langen Wellen auf-

1) E. Wiechert u. K. Zöppritz, Ueber Erdbebenwellen, Gött. Nachr., math.-phys. Klasse, 1907.

treten. Als Regel mag gelten, daß die langen Perioden umso mehr vorherrschen, je größer die Herddistanz ist (siehe Tafel II). Aus dem Vergleich der Diagramme verschiedener Stationen eines und desselben Bebens scheint hervorzugehen, daß diese Wellen zwischen den Phasen nicht nur das Abbild der Erregung am Herd sind, sondern weitgehend von der Lebensgeschichte der Stoßstrahlen abhängen; diese ist wohl hauptsächlich durch die Konstitution der obersten Erdschichten bedingt, sodaß diese Wellen an jeder Station anders aussehen. Zunächst wird man erwarten, daß die Amplituden von P , PR_1 , PR_2 , ... und von S , SR_1 , SR_2 , ... immer kleiner werden. Die Erfahrung zeigt dagegen, daß unter Umständen PR , resp. SR , viel intensiver als P resp. S ist, ja wenn die Herddistanz zwischen 13000 und 16000 km liegt, fehlt P und S fast vollständig, während die ersten Reflexionen stark auftreten (Tafel II). Ist das Beben überhaupt schwach, so wird man auch keine Reflexionen finden; das gleiche gilt auch für die Wechselwellen.

Bisher war stets nur die Rede von impulsförmigen Beben, wie sie auch tatsächlich oft beobachtet werden. Häufig hat man sich aber ein allmähliches Reißen der Schichten vorzustellen, das dann erst in einem starken Impuls gipfelt. Fig. 6 zeigt schematisch P eines solchen Bebens. Dieses Reißen spiegelt sich natürlich mehr oder weniger deutlich in S und den ersten Reflexionen wieder, während es in den höheren Reflexionen nicht mehr erkennbar ist. Im Gegensatz zum scharfen Einsatze i des Impulses (impetus) bezeichnen wir das Auftauchen mit unbestimmtem Anfang mit e (emersio).

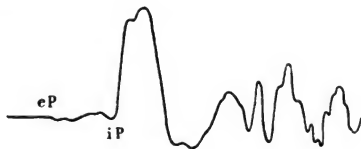


Fig. 6.

Schon oben wurde bemerkt, daß die langen Wellen sehr komplexer Natur sind; Tafel II Fig. 1 läßt dies deutlich erkennen: wir haben nicht immer ein ausgeprägtes Maximum, sondern häufig mehrere Maxima M_1 , M_2 , ..., die wie Schwebungen aussehen. Das Auftreten solcher Schwebungen ist theoretisch nicht unmöglich, denn erfahrungsgemäß löst oft ein Beben ein zweites benachbartes

aus. Die langen Wellen dieser beiden Herde können dann an der Station Schwebungen hervorrufen, weil ja nicht gesagt ist, daß die Periode und die Fortpflanzungsgeschwindigkeit beider Systeme gleich ist. Vergleicht man die 3 Komponenten der langen Wellen, so wird man oft finden, daß die Maxima der verschiedenen Komponenten zeitlich durchaus nicht zusammenfallen (Tafel II, Fig. 1 a, b, c).

Die wiederkehrenden langen Wellen $L_{rep I}$ werden nur bei sehr heftigen Beben und auch dann nicht oft beobachtet. Aus den letzten Spuren des Bebens erhebt sich dann ein Zug sehr regelmäßiger langer Wellen von hoher Periode. $L_{rep II}$ ist wohl kaum je mit Sicherheit nachgewiesen worden.

Schließlich sollen die mikroseismischen Bewegungen kurz erwähnt werden. Unter idealen Verhältnissen schreibt ein Seismograph für gewöhnlich eine gerade Linie; praktisch findet man statt dessen fast immer dauernde Störungen aller Art, die bisweilen sehr bedeutend sind. Weil aber diesen Störungen der Typus Fig. 5 fehlt, wird man sie schwerlich mit wirklichen Beben verwechseln. Ihr Aussehen und die eventuellen Ursachen sollen hier nicht besprochen werden.

Es sollen jetzt einige Winke gegeben werden, wie die Diagramme eines wirklichen Bebens zu diskutieren sind.

3. Zeitliche Analyse.

Der erste Teil jeder Diskussion ist die zeitliche Analyse und darauf die Bestimmung der Herddistanz, nicht etwa, weil es für die theoretische Seismik wichtig zu wissen ist, wo gerade dieses Beben war, sondern weil die gefundene Herddistanz die elastische Erdbebentheorie weitgehend prüft.

Wir wollen uns eine mittelgroße Station denken, d. h. eine solche, die mit irgend welchen Seismographen alle 3 Komponenten registriert. Stationen, denen die Vertikalkomponente fehlt, wird die Diskussion im allgemeinen schwerer fallen, aber doch in den meisten Fällen gelingen.

Zuerst schafft man sich durch einen Gesamtvergleich der Diagramme die Arbeitshypothese der Herddistanz Δ . Durch oberflächliches Auszählen der Zeitdifferenz zwischen den vermutlichen P und S einerseits, P und M andererseits bietet dies an Hand der Laufzeitkurven (Tafel I) keine Schwierigkeiten. Diese vorläufige Herddistanz darf bis auf 10 % falsch sein. Sind $S - P$ und $M - P$ unvereinbar, so sind die Phasen teilweise oder ganz falsch angesprochen. Man wird also so lange probieren, bis beide Zeiten einigermaßen gleiche Δ liefern. Dabei ist das Diagramm des Ver-

tikalpendels äußerst nützlich: aus unsern frühern Ueberlegungen ging doch hervor, daß P , PR_1 , PR_2 , ... Longitudinalwellen sind, die Erregungen in der Station haben also eine starke Z -Komponente; S , SR_1 , SR_2 , ... sind dagegen Transversalwellen, die Erregungen in der Station sind also vorwiegend horizontal. Wenn man dies genügend beachtet, wird es fast immer gelingen, P und S richtig anzusprechen. Liegt Δ zwischen 13000 und 16000 Kilometern, so fehlt freilich P fast ganz, während PR_1 auftritt. Man wird ein solches Beben trotzdem leicht verstehen, weil einerseits $M-S$ dieses Δ liefert, andererseits vor PR_1 einige schwache Wellen auftreten, die ein Rudiment von P sind. Ist das Beben nicht impulsiv sondern ein Reißen, so ist die Bestimmung von $S-P$ ziemlich ungenau. Am besten berücksichtigt man dann nicht eP und eS , sondern den dem Reißen folgenden Impuls iP und iS (vgl. Fig. 6). Nachdem also Δ provisorisch bestimmt ist, mißt man die Zeit von P und S definitiv, woraus Δ definitiv folgt. In günstigen Fällen kann P und S bis auf 1 Sekunde gemessen werden, sodaß Δ nur mit einem Fehler von 1 % behaftet ist. Oft ist es nicht leicht, S scharf anzusprechen. Man geht wohl am sichersten, wenn man denjenigen Punkt wählt, wo die Kurve plötzlich ganz unvermittelt ihre Richtung ändert. Dann sucht man an Hand der Laufzeitkurven nach Reflexionen (also auch PS), und mißt deren Zeiten. Fügen sich diese Zeiten gut in die Laufzeitkurven, so erfährt Δ dadurch eine starke Stütze, andernfalls muß Δ nachgeprüft werden. Endlich mißt man die Zeiten von eL und F ; diese sind nur sehr roh angebbbar, haben aber auch kein besonderes Interesse. Bezüglich der maximalen Bodenbewegung M , $M_{rep 1}$, ... muß schon hier betont werden, daß diese nicht immer mit der größten Amplitude des Diagrammes koinzidiert, sondern mehr oder weniger instinktiv durch Probieren gesucht werden muß. Auf die dabei anzuwendende kinetische Analyse kommen wir unten ausführlich zurück. Die Zeit von M , $M_{rep 1}$, ... ist also jetzt noch nicht definitiv bestimmbar.

Es soll gleich hier bemerkt werden, daß die Zöppritzschen Laufzeitkurven für P und S bis $\Delta = 9000$ km recht genau sind, oberhalb jedoch durch neue Beobachtungen etwas korrigiert werden müssen. Den Kurven der Reflexionen kommt weniger Gewicht zu; sie sind aus den P - und S -Kurven berechnet, stellen also keine direkten Beobachtungen dar. Die neuesten Beobachtungen zeigen oft Abweichungen der Reflexionen bis zu 20 Sekunden von den Laufzeitkurven. Noch weniger Gewicht hat die Kurve der Maximalbewegung; sie ist eben nur ein Mittelwert der sehr komplexen

langen Wellen. Die definitive Bestimmung von \mathcal{A} darf also nur auf $S-P$ basieren; mit ihrer Festlegung ist die zeitliche Analyse außer für M , $M_{\text{rep}1}$, ... erledigt und wir kommen zur

4. Kinetischen Analyse der einzelnen Phasen.

Diese basiert auf der Ermittlung der Periode \mathfrak{T} und des wahren Wertes \mathcal{A} der Bodenbewegung.

Unter der Periode \mathfrak{T} der Bodenbewegung versteht man eine ganze Doppelschwingung; sie liegt zwischen Werten unter 1 Sekunde und über 1 Minute. \mathfrak{T} ist immer da zu messen, wo die Amplitude gemessen werden soll. Bei L , $I_{\text{rep}1}$, ... macht ihre Messung kaum Schwierigkeiten. Man findet dort sehr häufig Perioden von 8 und 17 Sekunden. E. Wiechert¹⁾ glaubt darin Eigenschwingungen oberflächlicher Erdschichten zu sehen und berechnet daraus deren Dicke zu 14 und 35 km. Sehr schwierig ist die Messung von \mathfrak{T} in den Vorläufern. Einigermassen meßbar ist hier \mathfrak{T} nur bei den Einsätzen i dieser Phasen, während in dem Gewirr der Schwingungen zwischen den Vorphasen wohl nur die harmonische Analyse mittelst eines großen mechanischen Analysators zum Ziele führt; aber für die regelmäßige Bearbeitung der Diagramme kann dies ja nicht in Frage kommen.

Viel umständlicher als die Messung von \mathfrak{T} ist die Ermittlung des wahren Wertes der Bodenbewegung \mathcal{A} , resp. deren 3 nach Ost-West, Nord-Süd und dem Zenit gerichteten Komponenten \mathcal{A}_x , \mathcal{A}_y , \mathcal{A}_z . Dazu wird man zunächst in jeder Phase die größte Amplitude \mathfrak{A} von der gedachten Ruhelinie aus messen. Es wäre nun falsch, wenn man zur Berechnung von \mathcal{A} einfach \mathfrak{A} durch die Indikatorvergrößerung V (pag. 1) dividieren wollte. E. Wiechert²⁾ hat nämlich gezeigt, daß die Vergrößerung \mathfrak{B} im Diagramm eines gegebenen Seismographen sehr stark von \mathfrak{T} abhängt. Es ist nämlich

$$\mathfrak{B} = \frac{V}{\sqrt{\left(1 - \left(\frac{\mathfrak{T}}{T_0}\right)^2\right)^2 + 4 \cdot \left(\frac{T_0}{2\pi\tau}\right)^2 \cdot \left(\frac{\mathfrak{T}}{T_0}\right)^2}} \quad (5)$$

und

$$\left(\frac{T_0}{2\pi\tau}\right)^2 = \frac{(\log \text{nat } \varepsilon)^2}{\pi^2 + (\log \text{nat } \varepsilon)^2}, \quad (6)$$

worin

1) E. Wiechert u. K. Zöppritz, Ueber Erdbebenwellen. 1. c.

2) E. Wiechert, Theorie der automatischen Seismographen. 1. c.

V = Indikator-Vergrößerung des Instrumentes, } (vergl.
 T_0 = Eigenperiode des ungedämpften Instrumentes, } pag. 1)
 \mathfrak{T} = Periode der Bodenbewegung,

$\frac{T_0}{2\pi\tau}$ = für die Dämpfung charakteristische Konstante.

Praktisch kann man (6) stets ersetzen durch

$$\left(\frac{T_0}{2\pi\tau}\right)^2 = \frac{0,538 (\log \varepsilon)^2}{1 + 0,538 (\log \varepsilon)^2}. \quad (6')$$

Man sieht, daß wenn \mathfrak{T} klein neben T ist, $\mathfrak{B} = V$ wird. Deshalb heißt V auch die Vergrößerung rascher Schwingungen. Ist aber \mathfrak{T} groß neben T , so wird \mathfrak{B} viel kleiner als V .

Die Empfindlichkeit des Seismographen sinkt also stark, wenn \mathfrak{T} größer als T ist. Den Einfluß von ε auf \mathfrak{B} zeigt die folgende Tafel:

ε	$\left(\frac{T_0}{2\pi\tau}\right)^2$	ε	$\left(\frac{T_0}{2\pi\tau}\right)^2$	ε	$\left(\frac{T_0}{2\pi\tau}\right)^2$	ε	$\left(\frac{T_0}{2\pi\tau}\right)^2$	ε	$\left(\frac{T_0}{2\pi\tau}\right)^2$	ε	$\left(\frac{T_0}{2\pi\tau}\right)^2$
2,0	0,042	3,0	0,110	4,0	0,163	5,0	0,208	6,0	0,245	7,0	0,277
2,1	0,053	3,1	0,115	4,1	0,168	5,1	0,212	6,1	0,249	7,1	0,280
2,2	0,059	3,2	0,120	4,2	0,173	5,2	0,216	6,2	0,252	7,2	0,283
2,3	0,066	3,3	0,126	4,3	0,178	5,3	0,220	6,3	0,256	7,3	0,287
2,4	0,072	3,4	0,132	4,4	0,182	5,4	0,224	6,4	0,259	7,4	0,290
2,5	0,079	3,5	0,137	4,5	0,187	5,5	0,228	6,5	0,262	7,5	0,293
2,6	0,085	3,6	0,142	4,6	0,192	5,6	0,232	6,6	0,266	7,6	0,296
2,7	0,091	3,7	0,148	4,7	0,196	5,7	0,236	6,7	0,268	7,7	0,298
2,8	0,096	3,8	0,153	4,8	0,200	5,8	0,239	6,8	0,270	7,8	0,301
2,9	0,103	3,9	0,158	4,9	0,204	5,9	0,242	6,9	0,273	7,9	0,303

Um also A zu finden, ist \mathfrak{A} durch \mathfrak{B} zu dividieren. Hat man \mathfrak{A} in Millimetern gemessen, so wird A meist nur ein sehr kleiner Bruchteil eines Millimeters. Man drückt deshalb A $\frac{1}{1000}$ Millimetern oder μ aus. Wenn die Instrumentalkonstanten bekannt sind, rechnet man sich nach (5) für jede Komponente eine Tabelle der Werte $1000/\mathfrak{B}$ für das Argument $\mathfrak{T} = 1, 2, 3, 4, 5, 6, \dots 19, 20, 22, 24, 26, 28, 30, 35, 40, \dots 55, 60$ Sekunden. Es ist dann einfach

$$A = \mathfrak{A} \cdot \frac{1000}{\mathfrak{B}}.$$

Mit Hülfe eines Rechenschiebers erfordert die Berechnung der Tabelle für jede Komponente etwa 2 Stunden, sie muß jedoch nach jeder neuen Bestimmung der Instrumentalkon-

stanten von neuem ausgeführt werden. K. Zöppritz¹⁾ hat

$$\sqrt{\left(1 - \left(\frac{\mathfrak{T}}{T_0}\right)^2\right) + 4\left(\frac{T_0}{2\pi\tau}\right)^2 \cdot \left(\frac{\mathfrak{T}}{T_0}\right)^2}$$

für die Argumente ε und \mathfrak{T} T_0 tabuliert, sodaß 1000/3 mit dem Rechenschieber durch einfache Division gefunden wird. Freilich liefert dieser Weg 1000/3 nicht für ganzzahlige Argumente \mathfrak{T} ; die solchen Argumenten \mathfrak{T} entsprechenden Werte 1000/3 erhält man erst durch lineare numerische Interpolation. Aus der Kritik der Bestimmung von A folgt, daß das Resultat mit einem Fehler von zirka 10 % behaftet ist; man wird deshalb A innerhalb dieser Grenze abrunden. Schon oben war bei der Besprechung der zeitlichen Analyse bemerkt worden, daß die Zeit von M , $M_{\text{rep } 1}$, ... erst nach der kinetischen Analyse definitiv gefunden werden kann. Man wird also in zweifelhaften Fällen A für mehrere Stellen berechnen und den größten Wert von $A_s' + A_x' + A_z'$ als M , $M_{\text{rep } 1}$, ... beibehalten. In schwierigen Fällen empfiehlt es sich, bei M , $M_{\text{rep } 1}$, ... die verschiedenen relativen Maxima einzeln als M_1 , M_2 , ... zu notieren. Jedenfalls ist es für die künftige Erforschung der komplexen langen Wellen sehr nützlich, wenn sie schon jetzt möglichst eingehend analysiert werden. Schon heute erlaubt die Messung von M eine Prüfung der Theorie (Rayleigh); diese verlangt für die in der Vertikal-Ebene durch den Herd schwingenden Wellen, daß $\frac{M_z}{\sqrt{M_s^2 + M_x^2}} = 1,4$; meine Messungen an einigen Beben bestätigen dies meist gut. Mit der Ermittlung von A_s , A_x , A_z ist die kinetische Analyse in der Hauptsache beendet.

5. Verschiedenes.

Während die zeitliche Analyse uns nur die Herddistanz geliefert hat, erlaubt die kinetische Analyse manchmal die näherungsweise Bestimmung der Herdrichtung. Es fragt sich zunächst, welche Phasen dazu am geeignetsten sind. Wir wissen, daß L , $L_{\text{rep } 1}$, ... sehr komplex sind, also müssen sie hier außer Betracht bleiben. Ferner wissen wir, daß S , PS , SR_1 , SR_2 , ... teilweise oder reine Transversalwellen sind, jedoch können wir gar nichts über das Azimut ihrer Schwingungsrichtung aussagen; also müssen hier auch diese Wellen außer Betracht bleiben. Es bleiben uns nur die Longitudinalwellen P , PR_1 , PR_2 , ... übrig, unter denen wir uns auf P beschränken wollen. Je größer nun A ist, umso größer

1) K. Zöppritz, Seismische Registrierungen in Göttingen im Jahre 1906. Gött. Nachr., math.-phys. Kl. 1908. Ein graphisches Verfahren werde ich im nächsten Jahresbericht mitteilen.

ist auch der sog. Emergenzwinkel von P , d. h. derjenige Winkel, unter dem P die Erdoberfläche an der Station trifft; er entspricht im allgemeinen nicht dem Radius vector vom Herde (vergl. Erdbebenwellen §§ 25 u. 26). Im allgemeinen hat also P zwei horizontale und eine vertikale Komponente, sodaß die Herdrichtung aus A_N und A_E durch Parallelgrammkonstruktion folgt. Man verfährt dazu folgendermaßen: man stößt die stationäre Masse des Seismographen einmal in der Richtung von E nach W, dann in der Richtung von N nach S an. Der erste Ausschlag entspricht dann einer Verdichtungswelle in der Richtung von W nach E, der zweite einer solchen von S nach N. Wenn dies ein für alle mal bestimmt ist, ergibt sich aus den beiden Horizontaldiagrammen die Richtung von A_N und A_E , die negative Resultante weist nach dem Herde.

Dieses Verfahren ist aber nur bei heftigen Beben und auch dann nur mit großer Vorsicht anzuwenden; denn bei schwachen Beben ist die erste Verdichtungswelle verwischt, sodaß ganz falsche Richtungen folgen würden. Im allgemeinen wird man sich lieber darauf beschränken, anzugeben, daß der Herd z. B. in E-W-licher Richtung liegt, wenn bei P A_N wesentlich größer als A_E ist.

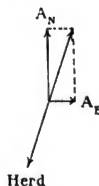


Fig. 7.

Die genaue Lokalisierung des Herdes kann nur an Hand der Herddistanzen mehrerer weit auseinander liegender Stationen durch sog. seismische Triangulation geschehen. Dies würde uns aber zu weit von unserer Aufgabe abführen, weshalb hier nicht weiter darauf eingegangen werden soll.

Oft ist es erwünscht, sich über die geographische Lage des Herdes zu orientieren. Roh erreicht man dies am einfachsten mit einem Globus, zu dem man sich einen in Kilometer geteilten halbkreisförmigen Maßstab beschafft. Der Maßstab muß natürlich so angelegt werden, daß er einen größten Kreis auf dem Globus beschreibt, der die Station in der mutmaßlichen Himmelsrichtung passiert.

Für genauere Zwecke ist die Berechnung von Δ nach der Formel

$$\cos \Delta = \{ \sin \varphi_n \sin \varphi_s + \cos \varphi_n \cos \varphi_s \cos (\lambda_n - \lambda_s) \}. \quad 111,1 \text{ km}$$

nötig, worin φ und λ die geographische Breite und Länge des Herdes und der Station sind. Grablowitz u. a. haben für einige Stationen Weltkarten gezeichnet, die einerseits die Kurven $\Delta = 1000, 2000, 3000, \dots 20000 \text{ km}$, andererseits einige Kurven

enthalten, die alle Punkte verbinden, die von der Station aus betrachtet gleiches Azimut besitzen. Die ersten Kurven, die Aequidistanten, gestatten bei größeren Karten \mathcal{A} hinreichend genau abzulesen, die letzteren Kurven, die Direktiven, sind zur genauen Richtungsbestimmung unumgänglich nötig. Bevor wir diese Betrachtung über die Lokalisation des Herdes abschließen, wollen wir noch kurz eine von Angenheister¹⁾ angegebene Methode zur Berechnung von \mathcal{A} aus den Zeiten von $M, M_{\text{rep } 1}, \dots$ erwähnen, die freilich meist nur weniger genaue Resultate zu liefern vermag. Setzt man voraus, daß sich die $L, L_{\text{rep } 1}, \dots$ mit konstanter Geschwindigkeit v ausbreiten, so folgt

$$\mathcal{A} = \frac{40\,000 \text{ km} - (M - M_{\text{rep } 1})^2 \cdot v}{2}; \quad (9)$$

darin ist v zunächst unbekannt. Umgekehrt fand Angenheister bei bekanntem \mathcal{A} dafür

$$v = 3,2 \text{ km Sec.}$$

Die $M, M_{\text{rep } 1}, \dots$ leisten uns aber ¹⁾ einen andern sehr wichtigen Dienst: ihre Amplituden $A, A_{\text{rep } 1}, \dots$ gestatten zu berechnen, wie stark die Absorption der langen Wellen ist. Wenn nämlich gar keine Energie absorbiert würde, so wäre

$$A = A_{\text{rep } 1} = A_{\text{rep } 2} = \dots$$

Ist $I, I_{\text{rep } 1}, \dots$ die Energie von $M, M_{\text{rep } 1}, \dots$, so ist

$$\frac{I}{I_{\text{rep } 1}} = e^{-ad}, \quad (10)$$

worin e = Basis der nat. Logarithmen,

d = Weg, den die langen Wellen zurücklegen, bis sie zum folgenden Mal durch die Station gehen,

a = Absorptionskoeffizient ist.

Aus (10) folgt

$$a = \frac{2,3}{(M - M_{\text{rep } 1})^2 \cdot v \text{ km/Sek.}} \cdot \log \left(\frac{A}{A_{\text{rep } 1}} \right). \quad (11)$$

Angenheister findet so bei 6 Beben

$$a = 0,00026; 0,00018; 0,00034; 0,00028; 0,00018; 0,00029.$$

Wenn man die Heftigkeit eines Erdstoßes beurteilen will, so ist dafür nicht die Amplitude A maßgebend, sondern die Aenderung der Beschleunigung der Schwere $\frac{\partial g}{g}$. Weil g = konst., genügt

1) Gött. Nachr., math.-phys. Kl. 1906.

zur Beurteilung ∂g . Es ist angenähert

$$\partial g = \frac{4A}{T^2}.$$

Mißt man A in μ , T in Sekunden, so folgt ∂g in Milligal = $\frac{1}{1000}$ Gal (1 Gal = 1 C/S²).

Damit die Diskussion eines Bebens mit solchen anderer Stationen vergleichbar wird, sind alle Zeiten sehr gewissenhaft auf absolute Zeit zu reduzieren. Es setzt dies voraus, daß die Station über eine ausgezeichnete Pendeluhr verfügt, deren Stand mindestens alle 2 Wochen durch eine astronomische Zeitbestimmung ermittelt wird. Bezüglich der Methoden, die sich dazu eignen, sei auf die einschlägige astronomische Literatur verwiesen. Es ist üblich, auf Greenwicher Zeit zu reduzieren, und von Mitternacht bis Mitternacht von 0^h bis 24^h zu zählen. Es sei noch besonders hervorgehoben, daß die Laufzeitkurven nur dann verbessert werden können, wenn die absoluten Zeiten aller Stationen bis auf 1 Sekunde richtig sind.

6. Beispiel einer Analyse.

Es soll das Beben Tafel II, Fig. 1 a, b, c diskutiert werden.

1) Zeitliche Analyse. Ueber P ist wohl kein Zweifel, und S ist durch sehr heftige Horizontalkomponenten bei fast gänzlich fehlender Vertikalkomponente charakterisiert. Roh gemessen ist

$$S - P = 11^m, \quad M - S = 33^m.$$

Die Laufzeitkurven liefern also

$$\Delta = 10000 \text{ km resp. } = 11500 \text{ km,}$$

also ist $\Delta = 11000$ km unsere Arbeitshypothese.

Dann messen wir als definitive Zeit

$$\begin{array}{r} P = 6^h 21^m 9^s \\ S = 6 \quad 32 \quad 0 \end{array}$$

$$S - P = 0^h 10^m 51^s,$$

sodaß $\Delta = 9800$ km definitiv gilt.

Nach den Laufzeitkurven ist dann

PR_1	bei 6 ^h 25 ^m
PR_2	" 27
PR_3	" 28 ^{1/2}
PS	" 32 ^{1/2}
SR_1	" 38
SR_2	" 42
SR_3	" 44 ^{1/2}

zu erwarten. Tatsächlich finden wir dort starke Wellen, deren genaue Zeit

$$\begin{aligned}
 PR_1 &= 6^h 24^m 40^s \\
 PR_2 &= 27 \quad 0 \\
 PR_3 &= 28 \quad 30 \\
 S &= 32 \quad 0 \\
 PS &= 33 \quad 0 \\
 SR_1 &= 38 \quad 6 \\
 SR_2 &= 42 \quad 0 \\
 SR_3 &= 44 \quad 59 \text{ ist.}
 \end{aligned}$$

Schließlich ist

$$\begin{aligned}
 eL &= 6^h 46^m \\
 M_1 &= 7 \quad 5,2 \\
 F &= \text{nach } 9 \quad 40.
 \end{aligned}$$

Diese Zeiten sind an diesem Tage um -9^s zu korrigieren, um sie auf absolute Zeit zu reduzieren.

2) Kinetische Analyse. Wir finden als Länge einer Minute 9,6 Millimeter. Zuerst behandeln wir P . Die Länge der Doppelschwingung \mathfrak{T} ist 2,4 Millimeter, also gleich 14 Sekunden. Für \mathfrak{A} finden wir

$$\mathfrak{A}_1 = 3,5 \text{ mm, } \mathfrak{A}_2 = 1,7 \text{ mm, } \mathfrak{A}_3 = 3,8 \text{ mm.}$$

Nun habe die Konstantenbestimmung geliefert:

	T_0	V	s
EW-Komp.	13,0	159	5,3
NS-Komp.	12,6	155	4,0
Z.-Komp.	3,5	186	2,6

die Tafel pag. 11 liefert also

$$\left(\frac{T_0}{2\pi\tau}\right)^2 = 0,220; 0,163; 0,085$$

und für $\mathfrak{T} = 14$ Sek. ergibt (5)

$$\frac{1000}{\mathfrak{A}} = 6,45; 5,92; 82.$$

Also ist

$$A_1 = 22,5\mu; A_2 = 10,3\mu; A_3 = 312\mu,$$

oder rund

$$A_1 = 20\mu; A_2 = 10\mu; A_3 = 300\mu.$$

Analog werden die übrigen Phasen vermessen, sodaß wir folgende Analyse erhalten:

Datum	Charakter	Phasen	Zeiten (Greenwich)	Perioden	Amplituden			Bemerkungen
					A _E	A _N	A _Z	
1907 April 15	IIIu	e P	h m s	s	μ	μ	μ	Herd 9800 km E-W-lich; Chilpancingo in Mexico zerstört.
		PR ₁	6 21 0	14	20	10	300	
		PR ₂	24 31	14	50	20	300	
		PR ₃	26 51	14	20	6 ¹ / ₂	100	
		S	28 21	14	13	5	100	
		PS	31 51	15	130	65	150	
		SR ₁	32 51	18	200	100	200	
		SR ₂	37 57	21	200	80	170	
		SR ₃	41 51	24	160	55	170	
		eL	44 50	24	100	35	270	
		M ₁	46					
		F	7 5,0 nach 9 ^h 40 ^m	18	450	350	1500	

Seismische Registrierungen in Göttingen im Jahre 1907.

Zeichenerklärung.

Charakter des Erdbebens:

- I = merklich, II = auffallend, III = stark.
 d (= terrae motus domesticus) = Ortsbeben (am Orte fühlbar).
 v (= „ „ vicinus) = Nahbeben (unter 1000 km).
 r (= „ „ remotus) = Fernbeben (1000–5000 km).
 u (= „ „ ultimus) = sehr fernes Beben (über 5000 km).

Phasen:

- P (= undae primae) = erste Vorläufer (Longitudinalwellen).
 PR_n = n mal an der Erdoberfläche reflektierte erste Vorläufer.
 S (= undae secundae) = zweite Vorläufer (Transversalwellen).
 SR_n = n mal an der Erdoberfläche reflektierte zweite Vorläufer.
 PS = sog. Wechselwellen, d. h. Wellen, die bei der Reflexion an der Erdoberfläche ihren longitudinalen Charakter in transversalen oder umgekehrt verwandelt haben.
 L (= undae longae) = Hauptbeben („lange Wellen“).
 M (= „ maximae) = größte Bewegung im Hauptbeben.
 M_{repi} = Oberflächenwellen, die die Station über den Gegenpunkt erreichen.
 M_{repiI} = Oberflächenwellen, die über Station, Gegenpunkt, Herd die Station zum 2. mal erreichen.
 C (= coda) = Nachläufer.
 F (= finis) = Erlöschen der sichtbaren Bewegung.

Art der Bewegung:

- i (= impetus) = Einsatz.
 e (= emersio) = Auftauchen.
 T = Periode = doppelte Schwingungsdauer.
 A = Amplitude der Erdbewegung, gerechnet von der Ruhelinie aus.
 A_N = N-S-Komponente von A.
 A_E = E-W „ „ „

Zeit und Maß:

Zeit = mittlere Greenwicher, gezählt von Mitternacht zu Mitternacht.

μ = Mikron = $\frac{1}{1000}$ Millimeter.

A ist kein geeignetes Maß für die Heftigkeit eines Bebens, sondern $\frac{\Delta g}{g}$, worin g die Beschleunigung der Schwere, Δg deren Aenderung ist. Bei periodischen Störungen ist genähert $\Delta g = \frac{4A}{T^2}$. Wird A in μ , T in Sekunden gemessen, so erhält man Δg in Milligal. 1 Milligal = $\frac{1}{1000}$ Gal = $\frac{1}{1000}$ C-G-S-Einheit der Beschleunigung. Weil g = ca. 980 Gal ist, ist 1 Milligal ca. 1 Milli-ontel der Schwerebeschleunigung g.

Datum	Charakter	Phasen	Zeiten (Greenwich)	Perioden	Amplituden		Bemerkungen
					A _E	A _N	
Jan. 1	I u	i(P)	^h ^m ^s 0 33 15	^s —	^μ —	^μ —	Vertikalseismometer.
		(S)	56,7	14	1,3	1,2	
		eL	1 30	30—25	3 ¹ / ₂	1	
		M ₁	54	18	1	3 ¹ / ₂	
		M ₂	58	15	0,5	—	
		F	2 30				
2	II u	iP	12 15 43	12	3 ¹ / ₂	8 ¹ / ₂	Vertikalseismometer. In Tonga gefühl. Herd ca. 16500 km.
		(iS)	29 28	14	2	8	
		(SR ₁)	39 13	(25)	(8)	(20)	
		eL	57				
		M	13 29	18	3 ¹ / ₂	13	
		C		16—17	—	—	
2	I	iP	14 18 10	—	—	—	iP nur im Vertikalseismo- meter deutlich erkennbar. S läßt sich wegen Ueberlage- rung durch das vorige Beben nicht sicher angeben.
		(eL)	15 12	33—25			
		M	20	24	5	10	
		F	16				
4	III u	iP	5 31 48	bis 14	—	—	} Vertikalseismometer. Herd } 9300 km.
		i	32 5		—	—	
			32 44	9	4 ¹ / ₂	1,0	
		iS	42 16	—	—	—	
		PS	43 0	20	20	70	
		i	44 18	21	35	75	
		SR ₁	48	21	27	40	
		SR ₂	51,4	21	30	50	
		eL	54	60	140	600	
		M ₁	59	50	225	600	
		M ₂	6 11,3	28	90	600	
		M ₃	22,3	17	120	50	
		C		15—18	—	—	
		F	9				
4	Iv	e	16 56 43	2	—	0,3	17 000 kg-Pendel.
		F	17				
6	I	L	0 38 bis 50	21	2 ¹ / ₂	4 ¹ / ₂	
7	I	L	15 33 bis 50	17	2	2 ¹ / ₂	

Datum	Charakter	Phasen	Zeiten (Greenwich)	Perioden	Amplituden		Bemerkungen
					A _E	A _N	
Jan. 8	Iu	e P	^h ^m ^s 5 37,3	^s —	^μ —	^μ —	Die sichtbare Bewegung er- lischt um 7 ^h 30 ^m . Um 7 ^h 39 ^m tauchen wieder lange Wellen auf.
		i (S)	45,8	10	0,6	0,3	
		(SR ₂)	52,8	24	5 1/2	8	
		eL	6 15	22			
		M	19	20	4	10	
		F	7 39	20	0,7	2	
" 10	I(r)	eL	6 19,5	{ 6 20			
		M ₁	21,3	13			
		M ₂	25,8	12	2	3	
		F	50		3 1/2	1,5	
" 12	Iu	i P	8 0 17	—	—	—	Vertikalseismometer. S läßt sich wegen starker mi- kroseismischer Bewegung nicht angeben.
		eL	23	24			
		M	38,3	18	5	3	
		F	9 10				
" 12	I	eL	19 44	17	3 1/2	5 1/2	
		M	46				
		F	51				
" 14	I	i	13 5 50	14	2	2	
		M	11 1/2				
		F	18				
" 14	Iu	i P	20 49 51	5	—	—	Vertikalseismometer. Herd 7900 km. Kingston auf Jamaica zerstört. S und F wegen starker mikro- seismischer Bewegung unsicher.
		S	59 11	—	—	—	
		eL	21 11,5				
		M ₁	17,8	19	6	5 1/2	
		M ₂	20,2	19	5	5 1/2	
		F	22				
" 19	I	i P	13 19 13	—	—	—	Vertikalseismometer. S sehr schwach, verschwindet in der mikroseismischen Bewegung.
		eL	45				
		M ₁	48,5	19	11	10	
		M ₂	55,2	12	4	9	
		F	14 40				
" 21	I	L	13 3 bis 13	8	0,5	0,5	

Datum	Charakter	Phasen	Zeiten (Greenwich)	Perioden	Amplituden		Bemerkungen
					A_E	A_N	
Jan. 22	I	eL M F	^h 2 44 ^m 50 1/2 ^s 3 1	8	1,6	1,5	
" 22	I	eP S eL M F	13 46 26 51,5 14 6 7,3 14 20	— 10 15	— 0,8 1	— 0,7 2	P und S unsicher.
" 23	Iv	P (S) L M F	0 23 38 25 8 26 16 26,5 29	— 1 1,3	— — —	— — 0,15	17 000 Kg.-Pendel. In den Abruzzen gefühlt.
" 27	I(v)	eP (L) F	5 7 26 9 ?	1 —	— —	— —	Sehr schwach im 17 000 Kg.- Pendel. In Jemtland (Schweden) gefühlt.
" 31	I	L	2 45 bis 53	14	1,0	1,2	
Febr. 2	Iv	iP S i M F	9 9 26 12 55 13 7 17 51 10	3 — 4 14	0,6 — 0,6 12	0,9 — 2 10	Vertikalseismometer. Herd 2000 km.
" 3	Iu	(i P) S (SR ₁) eL M C F	19 55 42 20 5,8 12,2 25 38,5 49 21 30	12 15 15 23 20	0,8 2 1/2 1,4 9 7 1/2	0,3 1,5 2 18 6	Vertikalseismometer.
" 14	Iu	eL F	17 54,2 18 10	15	0,4	1,5	
" 16	Iu	eL F	22 33 ± 1/3 ^m 23 10	18	0,3	1,5	Die Zeitmarkierung hat zeit- weise versagt.

Datum	Charakter	Phasen	Zeiten (Greenwich)	Perioden	Amplituden		Bemerkungen
					A _E	A _N	
Febr. 23	Iu	eL	^{h m s} 21 13,8 25	^s 30	^μ 6	^μ 2	
" 24	Iu	iP (eS) e(SR ₁) e(SR ₂) M F	7 32 4 41,3 46,8 50,2 8 13 9	3 14 14 14 20	— 0,6 0,9 0,3 7	— 1,2 1,8 — 7	Vertikalseismometer. eL unsicher, fällt in den Papierwechsel.
März 12	I	L	12 30 bis 40	9	0,8	1,0	
" 12	I	L	21 27 bis 29	12	1	0,3	
" 12	I	L	22 48 bis 50	12	1	0,3	
" 17	I	L	12 30 bis 40				
" 22	Iv	P e eL F	19 11 12 11 53 12 23 15,5	¹ / ₂ ¹ / ₂ 1	— —	0,02 0,08	In Admont u. Rottenmann gefühlt (Ennstal).
" 24	I	L	12 1 bis 6	—	—	—	
" 26	I	L	1 48 bis 2 5	—	—	—	
" 26	Iu	eP S M F	11 32,8 42 21 12 13 30	— 9 12	— 2 1/2 0,5	— 1,0 1,0	Vertikalseismometer.
" 27	I	L	1 5 bis 2	17	1,8	4 1/2	
" 27	I	L	23 17 bis 23	12	0,8	—	
" 29	I	L	7 52 bis 8 0	14	0,3	0,9	

Datum	Charakter	Phasen	Zeiten (Greenwich)	Perioden	Amplituden		Bemerkungen
					A_E	A_N	
März 29	II u	P ₁	^h 20 ^m 59 ^s 25	^s 5	^μ 0,6	^μ —	} Vertikalseismometer. Offenbar zwei superponierte Beben 1 und 2. Sehr verwickeltes Diagramm. Herd ca. 9500 km E-W-lich. (Siam?).
		P ₂	21 3 51	5	10	2 1/2	
		e(P ₁ R ₂)	5,4	5	3	1,2	
		S ₁	9 15	7	18	6 1/2	
		PS ₁	10 20	7	9	20	
		eS ₂	13,8	10	5	5	
		M ₁	40	24	7 1/2	10	
		M ₂	46	17	4 1/2	4 1/2	
		F	23				
„ 31	I	eL	14 20	15	1,8	2,0	
		M	34				
		F	45				
„ 31	I	eL	16 3	18	1,0	1,5	
		M	13				
		F	20				
„ 31	II u	iP	22 19 27	5	3	3 1/2	In Vavau, der nördlichsten großen Insel im Tonga-Archipel gefühl. Distanz ca. 16 500 km.
		e(S)	34	10	1,0	2	
		e(PS)	35 1/2	12	1,0	2 1/2	
		e	40,8	10	8	4 1/2	
		i(SR ₁)	43 51	14	16	2 1/2	
		i	46 31	14	8	3 1/2	
		M	23,2	(30)	(12)	(13)	
		F	24				
April 1	I	L	21 52 bis 57	12	0,8	1,3	
„ 11	I u	eL	9 48	12	0,8	1,0	
		M	58				
		F	10 21				
„ 12	I u	eL	19 25	17	—	1 1/2	
		M	34				
		F	20 13				
„ 13	I	iP	18 5 15	4	4	0,6	Vertikalseismometer.
		i	6 8	4	4	0,6	
		M	23	6	2,2	5	
		F	51				

Datum	Charakter	Phasen	Zeiten (Greenwich)	Perioden	Amplituden		Bemerkungen
					A _E	A _N	
April 15	III u	e P	h m s 6 21 0	14 ^s	20 ^μ	10 ^μ	Herd 9800 km E-W-lich: Chilpancingo in Mexico zerstört. (vergl. Tafel II Fig. 1 a, b, c).
		PR ₁	24 31	14	50	20	
		PR ₂	26 51	14	20	6 1/2	
		PR ₃	28 21	14	13	5	
		S	31 51	15	130	65	
		P S	32 51	18	200	100	
		SR ₁	37 57	21	200	80	
		SR ₂	41 51	24	160	55	
		SR ₃	44 50	24	100	35	
		e L	46				
		M	7 5,0	18	450	350	
		F	nach 9 ^h 40 ^m				
							F fällt in den Papierwechsel.
„ 15	I u	e L	9 46				
		M	10 8	20	1	2	
		F	35				
„ 18	I	L	9 42 bis 10 0	17	2	1	
„ 18	III u	e P	21 13	?	—	—	Das Beben setzt ganz allmählich kaum merklich ein. Auf den Philippinen gefühlt.
		e S	23,5	(14)	(4)	(2)	
		e L	45				
		M	51,6	21	170	250	
		F	24				
„ 19	III u	e P	0 6,0	6	0,6	—	Das Beben setzt ganz allmählich ein. Auf den Philippinen gefühlt.
		e S	16,8	14	5	3 1/2	
		e L	36				
		M	44	24	200	250	
		F	4				
„ 19							Von 15 ^h bis 16 ^h waren die Instrumente zerstört.
„ 20	I	P	13 26 9	—	—	—	1700 kg-Pendel. In Schanders im Vintschgau gefühlt.
		M	27 14	1	?	0,4	
		F	13 30				
„ 22	I	L	17 31 bis 40	17	0,5	—	
„ 24/25							Um 24 ^h liegt ein sehr schwaches Fernbeben, dessen Zeiten nicht genauer mitgeteilt werden können, weil die Zeitmarken fehlen.

Datum	Charakter	Phasen	Zeiten (Greenwich)	Perioden	Amplituden		Bemerkungen
					A _E	A _N	
April 25	I v	P	^h 4 ^m 54 ^s 0	^s 1	— ^μ	0,2 ^μ	Zeitmarke hat versagt. Zeit auf ± 1,5 ^m unsicher. Herd: 600 km. Im Etschtal gefühl.
		S	55 7	(1)	—	(0,5)	
		M	17	5	1 ^{3/4}	3	
		F	57 30				
26	I	L	19 33 bis 20,5	17	—	0,4	
28	I	i	14 19 3	5	—	—	Vertikalseismometer. Spuren langer Wellen.
		L	22 bis 15,0	—	—	—	
Mai 4	I	L	3 38 bis 54	14	1	1	Aus der mikroseismischen Be- wegung tauchen einige schwache lange Wellen auf.
4	I u	e	6 5,8	19	—	—	Vertikalseismometer. Das Beben ist von starker mi- kroseismischer Bewegung über- lagert.
		eL	50				
		M	7 1	(30)	(15)	(15)	
		F	8				
4	I u	(iP)	8 49 33	—	—	—	Vertikalseismometer. Starke mikroseismische Bewe- gung verdeckt die Vorläufer.
		(eS)	59 47	14	2 ^{1/2}	2	
		eL	26				
		M	39	18	6	9	
		F	10 30				
5	I	L	3 0 bis 13	17	—	—	
7	I u	eL	5 35				
		M	37	15	20	35	
		F	6 10				
7	I	eL	6 42				
		M	49	21	1	1 ^{1/4}	
		F	53				
7	II u	P	10 31 57	(8)	(0,8)	(0,3)	Herd 9500 km E-W-lich.
		S	42 17	(10)	(0,8)	(2)	
		M	11 7	17	40	60	
		F	12 10				
8	I	L	1 42 bis	14	0,5	0,3	
			45				

Datum	Charakter	Phasen	Zeiten (Greenwich)	Perioden	Amplituden		Bemerkungen
					A_E	A_N	
Mai 9	I	e	h m s	s	μ	μ	
		e L	23 16,8				
		M	20				
		F	24 1/2	12	0,8	2 1/2	
„ 10	I	e	5 54 32				17 000 kg-Pendel. In Loeb gefühlt.
		M	37	< 1	—	(0,2)	
		F	55				
„ 12	I	L	7 58 bis	7	0,3	0,9	
			8 7				
„ 13	Iv	e	4 25 12				17 000 kg-Pendel. Im Mürztal (Steiermark) gefühlt.
		M	26 16	(1)	—	1/2	
		F	30				
„ 13	Iu	P	21 21 21	10	0,5	0,6	
		e(S)	31,3	10	0,8	0,3	
		e	38,3	17	1	2 1/2	
		e L	56,5				
		M	4,3	24	4	7	
		C	24	19			
		F	23 25				
„ 14	I	L	4 42 bis	18	0,4	0,9	In Obersteiermark gefühlt.
			54				
„ 15	I	L	23 49 bis	10	0,5	0,6	
			52				
„ 18	Iv	e P	1 2 15	1/2	—	0,05	In Turjaka (Dalmatien) gefühlt.
		e(S)	3 56	1/2 bis 3/4	—	0,2	
		e L	5				
		M	5 1/2	{ 1—2	3	3	
		F	15	{ 12			
„ 20	I	e	8 22,1	—	—	—	
		e L	37				
		M	41	22	5	7	
		F	9 20				

Datum	Charakter	Phasen	Zeiten (Greenwich)	Perioden	Amplituden		Bemerkungen
					A _E	A _N	
Mai 20	I r	P	^h 10 ^m 25 ^s 11	—	—	—	
		(S)	30 38	10	1,5	1	
		e L	35				
		M	37,5	12	1	5	
„ 22	I	F	11				
		e L	23 38	25			
		M ₁	45	16	—	3	
		M ₂	46,3	14	1,5	1	
„ 23	I	F	24				
		e	21 29,5	5—10	1/2	—	
		F	32				
„ 25	I u	e P	12 7 44	—	—	—	
		e	8 30	(6)	0,5	—	
		e	9 1	5	1	0,3	
		e	15 8	5	1 1/2	—	
		e	16	5	2	0,7	
		e L	44				
		M ₁	46	30	5	15	
		M ₂	49,1	18	4	8	
		F	13 40				
„ 25	II u	i P	14 12 34	6 1 1/2	3	5	Herd 7200 km.
		i S	21 15	9 5	18	40	
		SR ₁	24 38	9	20	15	
		SR ₂	26 21	12	5	13	
		M	42 48	12	3	15	Lange Wellen sehr wenig hervortretend.
		C		12—15			
		F	16				
„ 25	I u	e P	16 4 14	—	—	—	
		S	14,6	(6)	(0,2)	(0,5)	
		e L	35				
		M	41	18	4	5	
„ 26	I	F	17 20				
		L	12 0 bis 15	24	—	0,8	

Datum	Charakter	Phasen	Zeiten (Greenwich)	Perioden	Amplituden		Bemerkungen
					A _E	A _N	
Mai 27	I u	L	^{h m s} 12 26 bis 33	^s 12	— ^μ	— ^μ	
„ 27	I u	L	18 47,2 bis 56	20	—	1,2	
„ 30	I	i P e L M F	18 54 12 57,4 59 19 10	2 11	— 1	— 3	
„ 31	I u	i P (S) (SR ₁) e(SR ₂) e L M C F	13 2 29 16,2 21,0 26 45 58 15	{ 2 12 12 10 24 22 15—18	0,6 0,5 0,3 1 6 4	0,6 3 2 1/2 2 1/2 5 5	Vertikalseismometer. In Tongeführt.
Juni 1	II u	i P P R ₁ i S e SR ₁ e L M ₁ M ₂ C F	8 53 23 56,9 9 4 17 ca. 9,2 23,7 25,7 27,3 ? ?	{ 3 12 12 16 14 30 26 20 16—18	2,5 1,3 7 1,4 25 10	0,2 0,3 15 3 1/2 2 15	Vertikalseismometer. Herd 9900 km E-W-lich. Einige stärkere Wellen ohne deutlichen Einsatz. An- und Abschwellungen nach Art von Schwebungen. F geht im folgenden Beben verloren.
„ 1	I u	(P) i i e L M ₁ M ₂ F	10 7,0 9,2 16,7 41,2 47,2 51 11 40	— — — 22 18	— — — 5 1	— — — 11 12	Aus den langen Wellen des vorhergehenden Bebens treten an Vertikalseismometer kleine Völsläuferwellen hervor.

Datum	Charakter	Phasen	Zeiten (Greenwich)	Perioden	Amplituden		Bemerkungen
					A _E	A _N	
uni 1	I r	e (P) (S) eL M F	^h 23 ^m 7,7 ^s 16,7 32,3 35,2 55	— 8 11	— 0,3 1,2	— 1,5 1,5	Vertikalseismometer.
" 3	I	L	7 2 bis 10	12	0,3	1,5	
" 3	I	L	13 25 bis 32	(10)	(0,3)	(0,3)	
" 5	I u	iP S (SR ₁) eL M ₁ M ₂ C F	3 34 31 45 0 50,3 4 4 7,2 8,2 6 15	12 9 17 27 18 15—18	15 6 1,5 20 3	< 0,3 18 4 3 6	Vertikalseismometer. Herd 9300 km E-W-lich.
" 5	I v	e M F	18 33 6 12 18	0,4	—	0,2	17 000 kg-Pendel.
" 12	I v	iP e M F	16 13 35 14 22 16 16 40 19	— 5	— 0,6	— 0,6	Vertikalseismometer.
" 13	II u	iP i i i eL M ₁ M ₂ C F	9 37 44 45 38 48,0 54 10 5 21,2 21,7 12	5 9 10 19 21 24 15—18	— 2 4 1/2 5 1/2 20 20	— 6 2 1/4 5 10 20	Vertikalseismometer. In Jamaika und Valdivia (Chile) gefühlt.
" 16	I u	L	1 24 bis 2	—	—	—	Es tauchen mehrfach sehr schwache. lange Wellen auf.
" 20	I	L	12 25 bis 45	24	0,8	0,8	

Datum	Charakter	Phasen	Zeiten (Greenwich)	Perioden	Amplituden		Bemerkungen
					A _E	A _N	
Juni 23	I	L	^h ^m ^s 11 25 bis 12	^s 12	0,3 ^μ	0,6 ^μ	
„ 24	I	iP S eL M F	0 30 15 (43,0) 53 58 1 40	— 6 14	— 0,3 0,3	— 0,3 1,5	Vertikalseismometer.
„ 24	Iu	(P) S SR ₁ (eL) M ₁ M ₂ F	3 53,7 54,7 4 4 8 18 29 32 5 10	4 18 18 30 20	— 2 ^{1/2} 1,2 1 ^{1/2} 2 ^{1/2}	— 1 ^{1/2} 1 7 4	Vielleicht schon 3h 52m 10s erster sehr schwacher Einsatz d. Bebens (Vertikalseismometer).
„ 24	Iu	eL M F	16 27 ^{1/2} 38 ^{1/2} 17 20	18	3	2 ^{1/2}	
„ 25	I	L	0 37 bis 45	5	0,6	0,6	In Tirol und Kärnten geföhlt
„ 25	I	(P) eL M ₁ M ₂ F	3 10,0 35 41,2 46,3 4 40	12 15 15	0,5 2 4	0,3 5 1	
„ 25	IIr	iP PR ₁ iS eL M C F	18 12 57 15 9 19 0 45 50,1 20 ^{1/4}	3 5 9 24 15—18	9 3 30 13	1,3 1,3 1,3 32	Vertikalseismometer, schon vor dem Haupteinsatz etwa 1 Mi- lang kleine Wellen von 3 Sel- Periode. Lange Wellen sehr unregelmäßig Herd 5400 km E-W-lich.
„ 26	I	eL M F	4 3 7,5 40	{ 12 21	1,3	1	

Datum	Charakter	Phasen	Zeiten (Greenwich)	Perioden	Amplituden		Bemerkungen
					A _E	A _N	
			h m s	s	μ	μ	
mi 26	I	eL	5 45				
		M	49 ^{1/2}	15	0,3	1,7	
		F	6 40				
26	Iu	eP	17 31,6	—	—	—	} Vertikalseismometer.
		i	35,6	—	—	—	
		S	42 10	6	0,3	0,7	
		eL	18 6				
		M ₁	12 ^{1/2}	14	2 ^{1/2}	6	
		M ₂	17 ^{1/2}	14	3 ^{1/2}	2 ^{1/2}	
		C		15			
		F	19 ^{1/2}				
27, 28	Iu	eP	22 44 57	4	—	—	} Vertikalseismometer.
		e	47 24	6	1,6	1	
		eL	27				
		M	36	30	11	17	
		C	55	18			
		F	1				
30	I	eL	3 20 bis 30		—	—	Es tauchen einige schwache lange Wellen auf.
30	I	eL	12 17				
		M	24	15	2	1 ^{1/2}	
		F	40				
uli 1	Iu	iP	13 21 30	9	1 ^{1/2}	0,6	
		PR ₁	24 57	4	3 ^{1/2}	0,7	
		S	31,8	20	9	5	
		SR ₁	37,1	20	6	7	
		SR ₂	41,1	20	5	6	
		eL	48,5				
		M	50,6	35	100	50	
		C		18			
		F	17 30				Um 16 ^h 30 ^m tauchen wieder stärkere lange Wellen auf.
							17 000 kg-Pendel.
2	Iv	e	2 33 15	0,4	—	0,1	
		L	34 43				
		M	48	0,7	—	0,3	Bei Udine gefühlt.
		F	36,1				
2	I	L	16 23,2 bis 17	15	0,4	1 ^{1/2}	

Datum	Charakter	Phasen	Zeiten (Greenwich)	Perioden	Amplituden		Bemerkungen
					A _E	A _N	
Juli 3	I	e	h m s	s	μ	μ	} Vertikalseismometer.
		i	18 52,2	—	—	—	
		eL	19 22,5	5	—	—	
		M	27,6	14	1	2	
„ 4	I u	F	20				} Vertikalseismometer.
		iP	0 31 33	{ 1 3	—	—	
		S	0 38,8	8	0,3	0,6	
		eL	0 55,6				
„ 4	I u	M	1 8,6	16	0,8	3	} Vertikalseismometer.
		F	1 40				
		iP	9 26 40	2	0,3	—	
		S	33	6	1	0,7	
„ 4	I	eL	42				} Vertikalseismometer.
		M	44	20	3,5	5	
		C		10			
		F	11 20				
„ 4	I	eL	22 38				} Vertikalseismometer.
		M	44	19	1 1/2	2	
		F	23				
„ 5	I u	iP	15 57 55	2	0,7	0,7	Herd 8300 km.
		i	58 14	2	1	1	
		iS	16 7 34	8	7	4	
		PS	8 4	10	1 1/2	4	
„ 5	I u	eL	25,5				} Vertikalseismometer.
		M	29,9	20	7	11	
		C		10—12			
		F	17 30				
„ 5	I	L	20 22,9 bis 30	5	0,3	0,5	} Vertikalseismometer.
„ 8	I	L	13 9 bis 23	12	0,3	0,6	} Vertikalseismometer.
„ 9	II u	P	19 7 33	—	—	—	Herd 10000 km.
		iS	18 3	6	1	0,7	
		eL	38,5				
		M ₁	46	22	25	50	

Datum	Charakter	Phasen	Zeiten (Greenwich)	Perioden	Amplituden		Bemerkungen
					A _E	A _N	
uli 9 Fortsetzung		M ₂ C F	^h ^m ^s 52,7 21	^s 18 15—18	35 ^μ	10 ^μ	
" 10	I	L	4 40 bis 55	(17)	—	—	
" 12	I	L	17 1 bis 6	17	—	—	
" 12	I	P PR ₁ M F	17 28 32 30 31 56,5 18 20	3 — 13	— — 0,6	0,3 — 0,9	} Vertikalseismometer.
" 14	I	eL M F	17 49,5 55 18 10	18	5	10	
" 19	Iv	P M F	0 29 53 30 56 32 1/2	1	—	0,1	17 000 kg-Pendel. Gurk- und Savethal. (Rann?).
" 19	I	L	2 7 bis 15	10	—	—	
" 20	Ia	iP PR ₁ S eL	13 51 59 55 42 14 2 32 23,0	4 4 8	0,6 1 4	— — 0,7 1	In P wie in S folgt etwa 20 ^a später noch eine Welle, vermutlich ein zweiter Stoß im Herd.
		M ₁ M ₂ C F	29,5 34,0 16 1/4	35 24 18	40 70	70 90	Herd 9 400 km.
							Von 15 ^b 50 bis 16 ^b tauchen wieder lange Wellen auf.
" 25	Iv	i M F	7 41 26 41,5 42 20	— 1/3	— —	— (0,2)	17 000 kg-Pendel.
" 27	Ia	eL M F	11 23,5 29,4 50	15	0,3	0,7	

Datum	Charakter	Phasen	Zeiten (Greenwich)	Perioden	Amplituden		Bemerkungen
					A _E	A _N	
Juli 27	Iu	eL M F	^h 13 ^m 11,5 ^s 15,5 53	^s 18	^μ 0,6	^μ 0,9	
„ 27	I	L	16 40 bis 53	17	0,4	0,8	
„ 29/30	Iu	iP i i (S) e SR ₁ eL M F	0 54 56 56 41 58,8 1 8,1 13,5 17,6 27,5 39,3 3 10	9 4 9 24 21 15—24 25	0,3 0,3 0,3 1 1/2 2 1	— 0,3 0,3 4 5 15	} Vertikalseismometer.
„ 29	I	L	19 7 bis 30	17	0,4	0,8	Regelmäßige Sinuswellen.
„ 29	Iu	e PR ₁ (S) e eL M C F	19 44 52 46 43 55,8 20 1,5 27,5 29,2 21 20	— 4 6 14 18—21 15—18	— 0,3 0,7 1 1 1/2	— — 0,3 1 1/4 5	} Vertikalseismometer.
„ 30	I	(L)	15 15 bis 30	—	—	—	
„ 30	I	L	16 21 bis 58	10	0,3	0,3	
„ 31	I	L	20 30 bis 21	19	0,5	—	
Aug. 1	I	(i) i i eL M C F	10 8 23 9 16 11 12 11 33 12 17 10 50	— 1 1 10 6—8	— — — 22	— 0,1 0,2 17	} 17 000 kg-Pendel. In der Herzegowina geföhlt.

Datum	Charakter	Phasen	Zeiten (Greenwich)	Perioden	Amplituden		Bemerkungen
					A _E	A _K	
Aug. 1	I	eL M F	^h 23 ^m 10 ^s 17 44	^s 12	^μ 0,5	^μ 0,3	
" 5	I	eL M F	2 40 51 3 10	14	1 3/4	2	
" 5	I	i i i iS eL M F	6 53 1 53 45 7 3,3 4 11 35,5 36,2 nach 8 ^h	3 4 17 12 18	— 1 — 12 5	— — 0,5 7 4	Deutung der folgenden Einsätze schwierig. Gestört durch den Papier- wechsel.
" 6	Iv	e e (eL) M ₁ M ₂ F	15 24,1 25 50 27,3 27,5 28,1 32	— 1 3 4	— — — 1	— 0,05 1 2	17 000 kg-Pendel. In Monte- negro gefühlt.
" 7	I	eL M F	1 31 32 40	14	0,6	0,6	
" 8	Iu	eL M F	9 50,5 55,1 10 20	18	2	1	
" 9	Iu	(P) eL M ₁ M ₂ F	19 12 57 (51,6) 55,6 57,6 21	— 25 20 20	— 12 4 1/2	— 2 1/2 6	Vertikalseismometer.
" 11	Iu	eL M F	12 56,5 13 5,6 30	16	0,8	0,4	

Datum	Charakter	Phasen	Zeiten (Greenwich)	Perioden	Amplituden		Bemerkungen
					A_E	A_N	
Aug. 13	Iv	e e eL M F	^h ^m ^s 2 25,0 26,3 26 55 28,7 34	s 2 8	μ — $3\frac{1}{2}$	μ 0,1 $2\frac{1}{2}$	17 000 kg-Pendel.
" 13	Iu	e (PR ₁) M ₁ M ₂ F	22 7 45 9 43 30,4 51,4 23 40	$\frac{1}{2}$ und 3 1—4 14 16	— — 6 $1\frac{1}{2}$	0,2 0,3 $2\frac{1}{2}$ 0,4	17 000 kg-Pendel. Deutung des Diagramms unsicher. L tritt nur schwach hervor ohne ausgeprägtes Maximum.
" 15	I	i i	8 47 57 54 35	ca. $\frac{1}{20}$ —	— —	0,3 0,16	17 000 kg-Pendel. Explosion in Dömitz (?). Vielleicht auch nur eine lokale, künstliche Störung.
" 15	Iv	(eL) M F	13 55,7 56,8 59	$\left\{ \begin{array}{l} 3 \\ 1 \\ 15 \end{array} \right.$	(1)	($1\frac{1}{4}$)	Die einzelnen Schwingungen sind nicht mehr aufgelöst, anscheinend Periode etwa $\frac{1}{20}$ Sek. Dauer der schnell abnehmenden Schwingungen etwa 0,7 Sek. bei i 20,5 Sek. Das Vertikalseismometer zeigt keinen Ausschlag.
" 16	I	L	8 5 bis 18	19	0,5	—	
" 17	I	L	12 22 bis 31	9	0,3	0,3	
" 17	I	e eL M F	13 6 9,2 10,7 40	15 18	0,3 2,3	0,4 5	
" 17	IIu	iP iS PS SR ₁ SR ₂ eL M F	17 39 11 48 24 49,6 54,2 58,4 18 2,7 10,7 19 40	$\left\{ \begin{array}{l} 1 \\ 3 \\ 6 \\ 12 \\ 14 \\ 18 \\ 18 \end{array} \right.$	— — — 16 17 13 17	— 1 3 5 12 8 9	Herd 7 700 km.
" 21	I	e M F	5 26 29 40	15	0,7	$1\frac{1}{2}$	

Datum	Charakter	Phasen	Zeiten (Greenwich)	Perioden	Amplituden		Bemerkungen
					A _E	A _N	
Aug. 22	I	i ₁ P	h m s 22 35 4	— ^s	— ^μ	— ^μ	} Vertikalseismometer.
		i ₂ P	35 35	3—6	0,4	1	
		i S	41,6	6	1 ¹ / ₄	1 ¹ / ₄	
		PS	45,5	9	2	1	L undeutlich.
		e L	(23)				
		M	23 3,2	20	2	2	
	I	F	24				
		L	14 17 bis 34	18	—	—	
" 26	I	L	0 40 bis 1	15	0,7	0,7	
" 27	I	L	3 7 bis 13	9	—	—	
" 27	I	e L	11 20				
		M	26 13	12	1 ¹ / ₂	1	
		F	39				
" 28	I	L	20 36 bis 53	17	0,4	—	
" 29	I	L	1 15 bis 46	17	0,4	0,4	
" 29	I	L	3 28 bis 44	14	0,3	0,6	
" 29	I r	P	11 45 30	3	0,3	—	Vertikalseismometer. Herd 2 900 km.
		S	50 7	6	1 ¹ / ₄	0,6	
		M	54	12	0,8	0,8	
		F	12 8				
Sept. 2	I	L	10 35 bis 49	14	0,3	0,3	
" 2	II u	P	16 13 16	7	0,7	?	Herd 8 300 km. (Aleuten?)
		S	22 58	18	10	20	
		e L	38				
		M	58 ¹ / ₂	18	17	200	
		F	20				

Datum	Charakter	Phasen	Zeiten (Greenwich)	Perioden	Amplituden		Bemerkungen
					A _E	A _N	
Sept. 13	I	L	^h 4 ^m 59 ^s bis 5 12	^s 18	0,5	0,5	
„ 15	Iu	eL M F	7 2 5 25	17	4	(?)	
„ 15	I	P i eL M F	17 53 40 18 3 13 9 20 12 50	5 5 12	0,8 0,8 5	— 0,7 8	
„ 15	I	P eL M F	19 22 23 38 44 20 20	4 12	0,3 4	— 3	Die beiden letzten Beben von 15. Sept. scheinen demselben Herd anzugehören, ihr Habitus ist auf fallend gleich und zeichnet sich dadurch aus, daß S nicht mit Sicherheit nachweisbar ist.
„ 20	Iv	e M F	54 14 19 55	1	—	4	17 000 kg-Pendel. In Unter maubach gefühlt.
„ 22	Iu	P i (PR ₁) S eL M F	12 19 45 23 11 30 39 53 13 3 40	6 6 9 12	— — 0,2 4	— — 0,4 2 1/2	Vertikalseismometer. Herd 10 000 km. In Guatemala gefühlt
„ 23	I	i i i i eL M F	21 50 23 55 53 22 3 18 4 18 19 32 23 10	6 6 18 6 17	— — 0,5 0,7 10	— — 0,9 0,5 8	Vertikalseismometer.
„ 25	I	L	14 5 bis 21	(30)	—	—	
„ 26	I	L	12 26 bis 50	—	—	—	

Datum	Charakter	Phasen	Zeiten (Greenwich)	Perioden	Amplituden		Bemerkungen
					A_E	A_N	
Sept. 27	I	e	^h 9 ^m 10 ^s 18	^s 10	^μ 0,2	^μ 0,2	
		eL	19				
		M	20	17	0,8	0,4	
		F	35				
Okt. 2	I	L	2 40 bis 3 5	(24)	—	(0,8)	
„ 2	I	L	13 50 bis 55	17	1 1/4	1	
„ 4	Iu	i	10 44 7	6	0,2	—	Die mikroseismische Bewegung verdeckt die Vorläufer.
		i	51 36	(9)	(1)	(0,2)	
		eL	11 21				
		M	28	17	4	9	
„ 4	I	L	12 10				
			21 15 bis 30	14	0,3	1 1/2	
„ 5	I	L	4 24 bis 45	17	0,4	1 1/2	
„ 6	Iu	i	1 2 16	9	0,2	0,2	
		i	12 16	9	0,7	0,2	
		i	13 55	10	0,5	0,8	
		eL	34	(18)	1/2	(1)	
		F	50				
„ 10	Iu	i	22 3 50	9	0,2	0,4	
		i	13 51	9	0,7	0,7	
		eL	44				
		M	23 0 30	20	2	3	
		(M _{repl})	23 52	20	2	2	
		F	24				
„ 11	Iu	P	14 48 18	4	—	—	17 000 kg-Pendel. Vertikalseismometer. Herd 12 000 km.
		i	50 12	9	2	1 1/4	
		S	15 0 16	10	2 1/2	1 1/2	
		eL	16				
		M ₁	35	24	15	15	
		M ₂	36	30	15	40	
		(M _{repl})	37	18	4	3	
		F	17				

Datum	Charakter	Phasen	Zeiten (Greenwich)			Perioden		Amplituden		Bemerkungen
			h	m	s			A _E	A _N	
Okt. 16	III u	P	14	10	0	9		0,5 ^μ	0,4 ^μ	„Reissen“. Herd 9000 km.
		S		20	15	(8)		(5)	(3 ^{1/2})	
		eL		34						
		M		42		26		106	150	
		F	17							
„ 17	I u	L	12	3	bis	20		3	2	
				18						
„ 18	I u	eL	12	30						Von mikroseismischer Bewegung überlagert.
		M		31		17		2	4	
		F		50						
„ 21	III r	P	4	31	40	12		50	4	Herd 4800 km. Karatag zerstört. (Vergl. Tafel II Fig. II).
		PR ₁		33	21	10		140	25	
		S		38	13	24		200	50	
		SR ₁		41	6	12		65	40	
		SR ₂		42	22	10		60	30	
		eL		43 ^{1/2}						
		M		47		30		450	700	
		F	nach 8 ^b							
„ 22	I	L	8	1	bis	17		—	1	
				18						
„ 23	II r	P	20	31	31	1—3		(^{1/2})	(2)	Ferruzzano in Calabrien (Kreis Reggio) zerstört.
		S		34	24	6		2	1 ^{1/2}	
		eL		36						
		M		36	50	16		50	25	
		F	21	15						
„ 26	I u	L	4	4	bis	16		1	—	
				14						
„ 27	II r	P	5	24	1	9		1 ^{1/2}	—	Herd 4600 km.
		PR ₁		25	44	9		6	1 ^{1/2}	
		S		30	24	9		2 ^{1/2}	1 ^{1/2}	
		SR ₁		33	18	12		4	2	
		eL		35						
		M		41	30	24		20	60	
		F	7							

Num	Charakter	Phasen	Zeiten (Greenwich)	Perioden	Amplituden		Bemerkungen
					A_E	A_N	
			h m s	s	μ	μ	
2	I	eL M F	22 34 38 23	10	$1\frac{1}{2}$	4	
3	Iu	i i eL M F	20 9 37 12 37 55 21 15 22	— 6 20	— 0,5 3	— 1 6	} Vertikalseismometer
10	I	L	13 19 bis 29	14	0,3	0,5	
11	Iu	i(P) i eL M ₁ M ₂ F	12 47 16 13 20 49 25 34 36 14	6 3 12 14	— — 1 0,3	0,2 — — 2	
11	I	L	18 25 bis 30	9	0,2	0,2	
16	I	eL M F	10 41 58 11 6	30	—	4	
16	I	eL M F	16 14 19 $\frac{1}{2}$ 21	16	2	3 $\frac{1}{2}$	
16	I	eL M F	22 54 59 23 35	17	3 $\frac{1}{2}$	7	
19	I	L	13 25 bis 32	18	1	1	
21	I	L	8 10 bis 18	14	1	2	

Datum	Charakter	Phasen	Zeiten (Greenwich)	Perioden	Amplituden		Bemerkungen
					A_E	A_N	
Nov. 21	Iu	P	^h 20 ^m 15 ^s 35	—	—	—	Vertikalseismometer. Herd 8900 km.
		S	25 44	9	3	2	
		eL	42				
		M	49	23	7	14	
„ 24	Iu	F	22				
		(S)	14 22 46	9	1 ¹ / ₂	1	
		eL	46				
		M ₁	57 ¹ / ₃	18	1 ¹ / ₂	13	
„ 25	I	M ₂	57 ² / ₃	18	9	10	
		F	15 50				
		L	4 43 bis 59	21	2	1	
„ 26	I	eL	4 9				
		M	18 ¹ / ₂	21	0,6	3	
		F	35				
„ 29	Ir	P	3 31 1	4	2	¹ / ₂	
		(S)	35 (26)	7	1 ¹ / ₂	0,7	
		eL	38	24			
		M	40	17	5	2 ¹ / ₂	
		F	4 20				
Dez. 2	Iu	P	14 5 25	8	0,3	0,6	Herd 8500 km N-S-lich.
		S	15 15	8	0,8	1,2	
		M	43 ¹ / ₂	17	1 ³ / ₄	2 ¹ / ₂	
		F	15				
„ 5	I	eL	13 31				
		M	38	14	1,2	2	
		F	14				
„ 5	I	L	21 13 bis 19	(18)	(1)	(1)	
„ 13	I	L	2 44 bis 51	12	0,3	0,5	

Num.	Charakter	Phasen	Zeiten (Greenwich)	Perioden	Amplituden		Bemerkungen
					A _E	A _N	
15	II u	PR ₁	^h 17 ^m 55 ^s 6	^s 10	^μ 2	^μ 1,8	iP fehlt. Schon ca. 1m vor PR ₁ zeigen sich schwache Wellen = eP.
		S	18 4 50	19	3	5	
		SR ₁	15 52	17	2	4	
		eL	28 ^{1/2}				
		M ₁	38 ^{3/4}	26	25	40	
		M ₂	39	20	18	22	
		F	20 20				
23	I u	P	1 24 50	—	—	—	Vertikalseismometer. Herd 8300 km.
		S	34 31	6	8	4	
		eL	49 ^{1/2}				
		M	57	22	9	11	
		F	2 20				
24	I u	P	13 33 42	—	—	—	Vertikalseismometer. Mikro-seismische Bewegung verdeckt die Vorläufer.
		(S)	41 31	10	—	—	
		M	52	14	0,6	1 ^{1/4}	
		F	14 10				
25	I	P	22 43 54	3	4	0,7	Ein ganz ungewöhnlicher Beben-typus. P und die i sind im Vertikalseismometer ganz auffallend stark, die i sind aber keine Reflexionen, vielleicht weitere Stöße. S ist nicht mit Bestimmtheit auffindbar. Das ganze Beben ist charakterisiert durch sehr kurze Schwingungen, eigentliche lange Wellen fehlen.
		i	44 49	3	2	1	
		i	45 11	3	2	1 ^{1/2}	
		i	45 44	3	—	1	
		(M)	55 ^{3/4}	7	—	3	
		F	23 25				
28	I	e	3 7 20	3	—	0,8	17 000 kg-Pendel.
		F	11				
30	II u	P	5 39 28	1,5	?	0,2	Herd 9000 km. Durch P wurde das Uhrwerk des 1200 kg-Pendel gehemmt.
		PR ₁	42 56	2	?	0,3	
		S	49 40	?	?	?	
		eL	6 5 ^{1/2}				
		M	10	29	?	100	
		F	7 20				

Mikroseismische Bewegung 1907, 7^h Greenwich.
(Vergl. S. 2).

Datum	Januar		Februar		März		April		Mai		Juni	
	Σ	A _E	Σ	A _E	Σ	A _E	Σ	A _E	Σ	A _E	Σ	A _E
1	6 ^s	0,6 ^μ	— ^s	— ^μ	6 ^s	0,3 ^μ	7 ^s	0,3 ^μ	6 ^s	0,3 ^μ	4 ^s	0,3 ^μ
2	5	0,9	5	—	7	0,5	6	0,3	6	1,2	4	0,3
3	7	1,1	5	0,3	6	0,3	8	0,8	7	1,1	6	0,3
4	?	?	6	0,3	6	0,3	7	0,8	?	?	5	0,2
5	6	0,8	5	0,3	?	?	6	0,6	5	0,3	5	0,2
6	6	0,8	6	0,3	?	?	5	0,3	5	0,2	6	—
7	7	1,4	6	0,6	6	1,1	7	0,8	5	0,3	—	—
8	?	?	6	0,3	6	1,1	7	0,8	4	—	6	—
9	6	0,3	6	0,6	6	1,1	6	—	—	—	4	—
10	6	0,6	8	2	6	0,6	—	—	5	0,3	4	—
11	8	0,5	8	0,5	6	0,6	7	—	5	0,3	5	—
12	7	1,1	6—7	0,5	6	0,3	—	—	—	—	6	—
13	6	1,4	7	1,1	7	0,3	—	—	4	—	—	—
14	8	0,8	6	0,3	8	1,1	?	?	5	0,3	—	—
15	8	2½	6	0,6	7	0,5	?	?	5	—	—	—
16	6	0,8	6	0,6	5	0,3	—	—	—	—	—	—
17	7	0,3	6	0,8	7	0,5	—	—	?	?	—	—
18	6	0,8	6	0,8	5	0,3	4	0,2	4	—	6	—
19	7	0,5	8	2	6	0,6	4	—	—	—	—	—
20	7	0,5	?	?	7	0,5	—	—	5	—	—	—
21	—	—	6—7	2	7	0,8	8	0,3	—	—	—	—
22	5	—	6—7	1,1	9	1,0	7	0,3	4	—	—	—
23	7	1,4	7	1,1	7	0,5	6	0,3	—	—	—	—
24	7	2	6	0,3	7	—	6	0,3	—	—	6	—
25	5	0,6	7	—	6	0,3	7	0,3	—	—	—	—
26	6	0,8	6	1,1	7	0,3	?	?	—	—	—	—
27	5	0,3	7	1,1	6	—	4	0,2	—	—	—	—
28	5—6	0,3	6	0,8	7	2½	5	0,2	—	—	5	—
29	7—8	1,6	—	—	6	0,3	5	0,2	—	—	—	—
30	6	0,8	—	—	6	0,3	—	—	—	—	—	—
31	5	0,3	—	—	6	0,3	—	—	—	—	—	—

Mikroseismische Bewegung 1907, 7h Greenwich.

(Vergl. S. 2).

Datum	Juli		August		September		Oktober		November		Dezember	
	Σ	A _E	Σ	A _E	Σ	A _E	Σ	A _E	Σ	A _E	Σ	A _E
1	^s	^μ	^s	^μ	^s	^μ	^s	^μ	^s	^μ	^s	^μ
2	—	—	9	—	—	—	5	—	5	0,2	5	—
3	—	—	—	—	4	—	6	0,2	4	—	4	—
4	—	—	—	—	5	—	5	0,3	6	0,3	?	?
5	8	0,5	?	?	6	—	6	0,2	5	0,2	6	1,1
6	—	—	—	—	4	—	5	0,2	6	0,2	6	0,5
7	—	—	—	—	6	0,2	6	1,5	5	0,2	6	0,3
8	—	—	9	—	6	—	6	0,2	—	—	6	0,8
9	—	—	8	—	5	—	6	0,5	4	0,2	6	0,5
10	—	—	6	—	5	—	?	?	5	0,2	7	3 ¹ / ₂
11	—	—	—	—	5	0,3	5	0,3	6	0,3	6	0,5
12	—	—	—	—	—	—	4	—	5	0,2	6	0,2
13	—	—	—	—	—	—	6	—	5	—	7	0,2
14	7	—	—	—	5	—	5	0,2	7	0,7	5	0,2
15	—	—	—	—	7	0,2	6	1,5	6	0,3	6	0,5
16	—	—	—	—	6	0,5	6	1,5	8	0,7	?	?
17	—	—	—	—	6	0,2	5	0,8	6	0,5	6	—
18	—	—	—	—	6	0,7	6	0,5	6	0,3	5	0,8
19	6	—	—	—	6	—	4	0,9	6	0,5	7	1,5
20	—	—	—	—	—	—	?	?	7	0,7	7	1,0
21	—	—	—	—	4	—	5	0,3	7	1,0	8	1,4
22	—	—	—	—	5	0,5	?	?	6	1,1	7	0,5
23	—	—	—	—	5	0,3	5	0,3	7	1,3	8	1,2
24	6	—	5	—	5	0,2	6	—	6	0,5	7	1,5
25	8	—	6	—	6	—	6	—	5	0,5	6	0,8
26	—	—	—	—	5	—	6	—	4	0,2	6	0,5
27	6	—	8	—	—	—	6	—	5	0,2	?	?
28	6	—	—	—	—	—	6	0,2	6	0,8	?	?
29	—	—	—	—	—	—	6	0,2	6	0,2	6	1,3
30	—	—	6	—	—	—	7	0,5	6	—	6	0,5
31	8	—	6	0,3	5	—	6	1,5	6	0,2	?	?
32	—	—	5	—	—	—	6	—	—	—	5	0,3

Bemerkungen zu den Seismogrammen.

Tafel II:

Fig. 1 a, b, c gibt alle 3 Komponenten des Mexikanischen Bebens von 1907 April 15; die Vertikalkomponente ist auf gleichen Zeitmaßstab wie die Horizontalkomponenten reduziert, damit die entsprechenden Phasen besser hervortreten. Dieses Beben zeigt in bisher noch nie dagewesener Deutlichkeit die reflektierten Vorläufer bis zur 3. Ordnung, insbesondere die Wechselwellen *PS*. Herddistanz 9800 km (vergl. S. 24).

Fig. 2 gibt die E-W-Komponente des Karatag-Bebens von 1907 Oktober 21, bei dem die reflektierten Vorläufer ebenfalls sehr deutlich sind. Merkwürdigerweise ist bei dieser Herddistanz (4800 km) *PR*₁ viel intensiver als *P*, worauf schon K. Zoeppritz aufmerksam gemacht hat (vergl. S. 40).

Beb

SR_3

m

L

Beben

SR_2

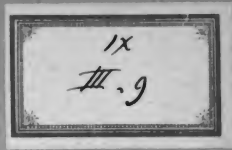


m



$\pm L$





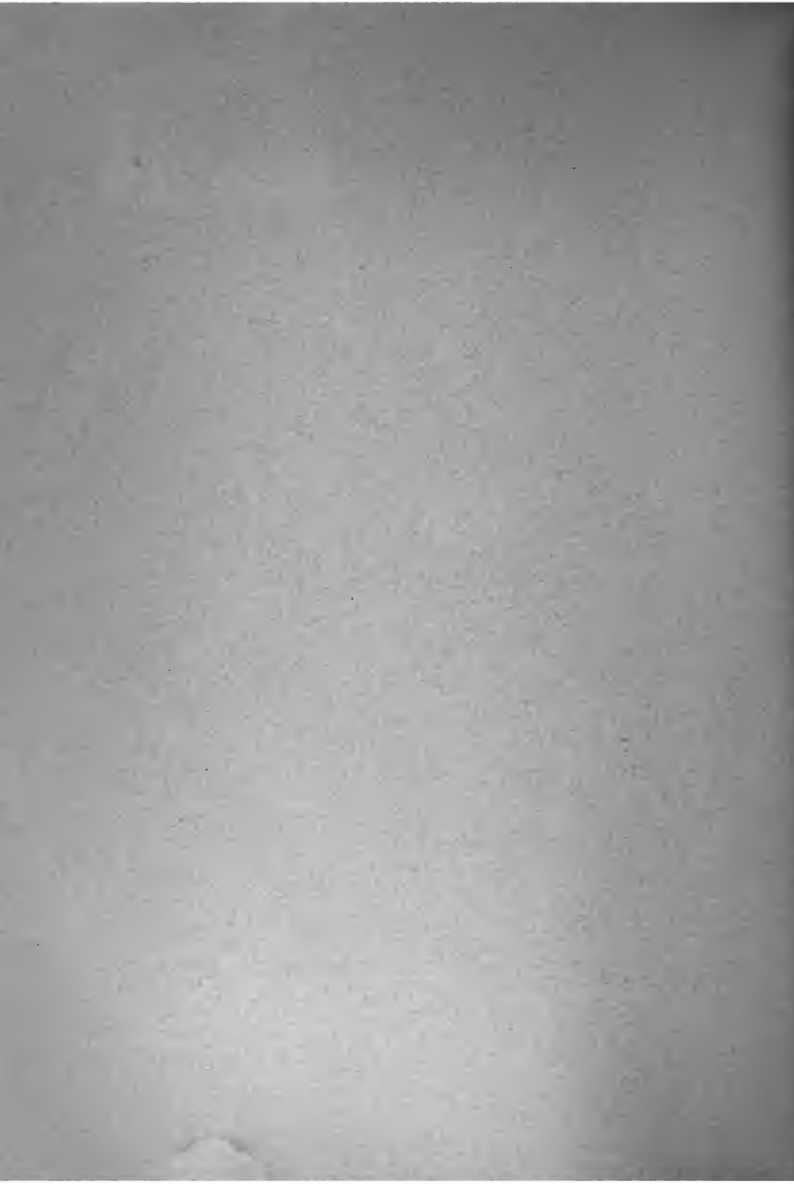
Seismische Registrierungen in Göttingen im Jahre 1908

mit einem Vorwort über Hilfsmittel zur Berechnung der
wahren Bodenschwankung.

Von

Ludwig Geiger.

Aus den Nachrichten der K. Gesellschaft der Wissenschaften zu Göttingen
Mathematisch-physikalische Klasse. 1909.



**Seismische Registrierungen in Göttingen
im Jahre 1908
mit einem Vorwort über
Hilfsmittel zur Berechnung der wahren
Bodenschwankung.**

Von

Ludwig Geiger.

Mit 2 Tafeln.

Vorgelegt in der Sitzung vom 20. März 1909 von E. Wiechert.

Allgemeine Bemerkungen.

Dieser Bericht bildet die Fortsetzung der früheren ebenfalls in diesen Nachrichten erschienenen Jahresberichte. Zuerst ist eine graphische Methode angegeben, die im Verein mit den beigegebenen Hilfstabellen bei der Berechnung der wahren Bodenschwankung die Rechenarbeit fast auf ein Zehntel reduziert. Dann folgt der Katalog der hier registrierten Erdbeben. Er ist im Berichtjahre dadurch interessant, daß er im November an einem Tage 50, und in sechs Tagen 92 im Vogtland gefühlte Beben enthält. Das letzte Beben des Jahres ist dasjenige von Messina, das in Tafel II in natürlicher Größe reproduziert ist.

Bezüglich der Instrumente sei auf des Verfassers Bericht für 1907¹⁾ erwiesen. Es ist nur zu bemerken, daß Anfang Mai das Vertikalseismometer neue Astasierfedern erhalten hat, sodaß die Periode auf 7^s.0 gesteigert werden konnte; in den ersten Wochen ist dieselbe wieder gesunken und hält sich jetzt dauernd auf ca. 5^s.8, während sie früher nur 4^s.6 betrug. Die Empfindlichkeit ist also um mehr als die Hälfte gestiegen. Die Konstanten der Instrumente wurden fünfmal bestimmt und daraus jedesmal die Reduktionstafel für die Bestimmung der wahren Bodenverrückung

1) L. Geiger, Gött. Nachr., math.-phys. Kl., 1909.

berechnet. Die Konstanten waren wie früher zeitlich ziemlich stark veränderlich, sodaß die Resultate innerhalb 10 % abgerundet worden sind.

Die Instrumente wurden sehr gewissenhaft von unserm Hauswart, Herrn Hilke, besorgt.

Als Grundlage des vorliegenden Jahresberichtes dienten des Verfassers wöchentliche Erdbebenberichte. Die Bezeichnungen sind unverändert (vergl. S. 15). In Klammern gesetzte Phasen, Zeiten oder Amplituden sind unsicher, ein Strich (—) bei den Amplituden bedeutet, daß dieselben unmeßbar klein sind, ein Fragezeichen, daß kein brauchbares Diagramm vorgelegen hat.

Zum Schluß ist eine Uebersicht über die mikroseismische Bewegung gegeben, wie sie an jedem Tage morgens (7^h Greenwich) geherrscht hat. Es wurde jeweilen die größte Amplitude der Schwebungen gemessen. Wenn jegliche Bewegung fehlte, so ist auch die Periode durch einen Strich ausgefüllt.

Die Zeit gab uns im ersten Semester wie gewohnt ca. alle zwei Wochen telephonisch die Kgl. Sternwarte, wofür auch hier dem Assistenten, Herrn Dr. Kohlschütter, bestens gedankt sei. Im zweiten Semester hat der Verfasser, wie schon dessen Vorgänger vor mehreren Jahren, die Zeit ca. alle zwei Wochen selbst mit dem Durchgangs-Instrument bestimmt. Dabei erwies es sich als sehr nützlich, in dem nördlich von der astronomischen Hütte gelegenen „Gaußhaus“ eine Mire zu errichten.

Diese besteht aus einem horizontalen Millimetermaßstab, längs dessen eine andreaskreuzförmige Strichmarke mikrometrisch verschoben werden kann. Eine Trommel liefert direkt deren Stellung bis auf $\frac{1}{10}$ Millimeter. Der kleine Apparat ist auf einem Steinpfeiler 46 Meter vom Objektiv des Fernrohres fest montiert. Ist dessen Okular auf unendlich eingestellt, so kann man die Mire noch nicht erkennen. Deshalb wird vor das Objektiv eine (von Zeiß geschliffene) Vorsatz-Linse gesetzt, deren Brennweite 46 Meter beträgt. Die Bewegung der Strichmarke erfolgt vom Fernrohr aus durch einen einfachen Schnurlauf. Eine einzige Einstellung der Marke genügt, um deren Stellung mit Sicherheit bis auf $\frac{1}{10}$ Millimeter d. i. $\frac{1}{30''}$ zu erfahren. Wollte man dagegen mit einem Okularfadenmikrometer diese Genauigkeit haben, so müßte die Stellung des Fadens aus einer einzigen Beobachtung bis auf $\frac{1}{1000}$ Millimeter folgen, was schon wegen der Schraubenfehler schwer zu erreichen ist. Das arithmetische Mittel der Mireablesungen in beiden Kreislagen ist dann direkt das vom Kollimationsfehler befreite Azimut. Um jedoch auch mit der Mire den Kollima-

mationsfehler bestimmen zu können, d. h. um vom Polarstern unabhängig zu sein, wurde dicht vor dem Fernrohrobjektiv eine Fassung für die Vorsatzlinse mittels eines schmiedeisernen Gestelles am Fernrohrpfiler montiert. Steckt man die Vorsatzlinse in diese Fassung und liest die Mire wieder in beiden Kreislagen ab, so ist die Differenz dieser Ablesungen direkt die doppelte Kollimation. Diese vier Mirenablesungen erfordern höchstens 5 Minuten, während die Beobachtung des Polarsterns eine Stunde dauert. Durch mehrere Anschlußmessungen wird man das Azimut der Mire ein für allemal viel schärfer ermitteln können als dies bei einer einzigen Beobachtung des Polarsterns möglich ist. Die Mirenmethode liefert also in kürzerer Zeit genauere Resultate. Können nachts keine Beobachtungen angestellt werden, so kann man die Sonne im Mittag benützen. Mit etwas Uebung gelingt es leicht, in der einen Kreislage den einen, in der anderen Kreislage den anderen Sonnenrand zu beobachten, wodurch die einseitigen Fehler wesentlich herabgedrückt werden. Der mittlere Fehler der so bestimmtem Zeit ist ca. 0^s.2, was für seismische Zwecke belanglos ist.

Hilfsmittel zur Berechnung der wahren Bodenschwankung.

Wenn der Boden infolge eines Erdstoßes sinusförmig schwingt, so ist bekanntlich nach Wiechert¹⁾ die dynamische Vergrößerung \mathfrak{B} im Diagramm eines Seismometers gegeben durch

$$\mathfrak{B} = \frac{V}{\sqrt{\left(1 - \left(\frac{\mathfrak{T}}{T_0}\right)^2\right)^2 + 4 \cdot \frac{(\log \text{nat } \varepsilon)^2}{\pi^2 + (\log \text{nat } \varepsilon)^2} \cdot \left(\frac{\mathfrak{T}}{T_0}\right)^2}} = \frac{V}{\sqrt{S}}, \quad (1)$$

worin

V = Indikator-Vergrößerung des Instrumentes,

T_0 = Eigenperiode des ungedämpften Instrumentes,

\mathfrak{T} = Periode der Bodenbewegung und

ε = Dämpfungsverhältnis ist.

Ist V , T_0 , ε bekannt, so wird man sich zum praktischen Gebrauch \mathfrak{B} für alle Werte

$$\mathfrak{T} = 1, 2, \dots 60 \text{ Sekunden}$$

oder noch praktischer die Werte $1000/\mathfrak{B}$ tabulieren; ist die Amplitude im Diagramm \mathfrak{A} in Millimetern gemessen, so erhält man die wahre Bodenschwankung A in μ ($= 1/1000$ Millimeter) durch Multiplikation von \mathfrak{A} mit $1000/\mathfrak{B}$. Leider sind die Konstanten V , T_0 , ε

1) E. Wiechert, Theorie der automatischen Seismographen; Abh. d. Ges. d. Wiss. Göttingen 1903.

bei den Seismometern zeitlich so sehr veränderlich, daß die Tabelle für 1000/3 etwa alle Monate neu berechnet werden muß. Mit dem Rechenschieber erfordert dies für eine Seismometerkomponente etwa 2 Stunden, also bei mehreren Instrumenten ein recht erheblicher Zeitaufwand. K. Zoeppritz¹⁾ hat deshalb \sqrt{S} für die Argumente

$$\varepsilon = 2.0, 2.2, \dots 9.0, 10.0 \text{ und} \\ \mathfrak{T}/T_0 = 0.00, 0.05, \dots 58, 60$$

tabuliert. Jedoch ist bei der Anwendung die numerische Interpolation immerhin noch so mühsam, daß die Zöppritzschen Tabellen in dieser Form keine sehr erhebliche Erleichterung bilden. Die graphische Darstellung der \sqrt{S} für $\varepsilon = \text{konstans}$ stößt deshalb auf Schwierigkeiten, weil sich die Steigung der Kurven außerordentlich stark ändert, sodaß man für verschiedene Bereiche verschiedene Maßstäbe anwenden müßte.

Um dieser Schwierigkeit zu entgehen, habe ich die Zöppritzschen Werte in logarithmischem Maßstabe gezeichnet (s. Tafel I).

Als Abszisse ist \mathfrak{T}/T_0 , als Ordinate \sqrt{S} gezeichnet. Die eingezeichneten Kurven sind die Werte für \sqrt{S} für die Dämpfungsverhältnisse $\varepsilon = 2$ bis ∞ . Die Kurvenschar läuft über a, b, c, d . Mehr aus theoretischem Interesse sind im Ast $a-b$ die Kurven für $\varepsilon = e^n$ und $\varepsilon = \infty$ eingezeichnet. Wir werden sehen, daß sie für die praktische Seismik nicht mehr in Frage kommen.

Die Anwendung geschieht folgendermaßen: zunächst berechnet man \mathfrak{T}/T_0 für $\mathfrak{T} = 1$ bis 60 Sekunden. Zur Erleichterung sind auf S. 6 ff. diese Werte für $T_0 = 2.0, 2.1, \dots 19.9, 20.0$ Sekunden tabuliert; durch versetzen des Kommas erhält man alle anderen Bereiche. Die Schnittpunkte der dem Dämpfungsverhältnis ε entsprechenden Kurve mit den \mathfrak{T}/T_0 -Ordinaten liefert sofort die \sqrt{S} -Werte. Nach Formel (1) müssen diese Werte noch durch die Konstante V dividiert werden, um 1/3 resp. 1000/3 zu erhalten. Diese Division kann jetzt sofort graphisch gemacht werden: Man nimmt dazu in den Zirkel die Strecke $\log V$, setzt die eine Zirkelspitze in den Schnittpunkt der \mathfrak{T}/T_0 -Ordinate mit der \sqrt{S} -Kurve ein, trägt die Strecke $\log V$ senkrecht nach unten ab und liest nur die so gefundene Ordinate 1000/3 ab. Die Stelle des Kommas ist leicht im Kopf zu bestimmen. Ist dabei $\log V$ so groß, daß die untere Zirkelspitze aus der Figur fällt, so trägt man das Komplement von $\log V$, also $1 - \log V$ nach oben ab.

Bei dieser logarithmischen Darstellung ist die Genauigkeit

1) K. Zoeppritz, Gött. Nachr., math.-phys. Kl., S. 129—190, 1908.

der Resultate an jeder Kurvenstelle gleich groß. Wenn man als zulässige Fehlergrenze $\pm 1\%$ annimmt, so braucht man die Punkte nur bis auf ein Bereich von ca. 1 Millimeter Radius festzulegen, sodaß man sehr rasch arbeiten kann. In 10—15 Minuten kann die ganze Rechnung für eine Instrumentalkomponente durchgeführt werden.

Ein Beispiel möge das Verfahren verdeutlichen:

Gegeben: $V = 162$; $T_0 = 13.7$; $\varepsilon = 5.8$.

Gesucht: $1000/\mathfrak{B}$ für $\mathfrak{T} = 5, 10, 20$ Sekunden.

Lösung: Die Tabelle liefert $\mathfrak{T}/T_0 = 0.365, 0.731, 1.46$.

Wir nehmen die Strecke $\log 162$ in den Zirkel, stechen ihn etwas über der Kurve für $\varepsilon = 5$ bei der Abszisse 365 ein und lesen senkrecht darunter an der anderen Spitze $1000/\mathfrak{B} = 5.80$ ab. Ebenso erhalten wir 5.25 und 11.3. Zum Schluß prüft man, ob sich die Oeffnung des Zirkels nicht versehentlich geändert hat. Ist dagegen im obigen Beispiel $V = 61$, so fällt die untere Zirkelspitze aus der Figur; wir nehmen deshalb in den Zirkel das Komplement von $\log 61$, indem wir in der Tafel I von der oberen Kante ($= 1$) nach unten bis zur Höhe $\log 61$ greifen und dividieren analog nach oben. So erhalten wir 15.4, 14.0, 30.0.

Beiläufig mag erwähnt werden, das Tafel I die Wiechertsche Theorie der automatischen Seismographen gut illustriert. Setzen wir $V = 1$, so entspricht $1/V$ der Horizontalen in der Höhe 1 und $1/\mathfrak{B}$ der Kurvenschar. Für rasche Schwingungen, also wenn \mathfrak{T}/T_0 klein ist, geht $1/\mathfrak{B}$ in $1/V$ über, woraus sich die Bezeichnung für V als Vergrößerung rascher Schwingungen erklärt. Die Resonanzstelle, wo $\mathfrak{T} = T_0$ ist, liegt bei der Abszisse 1. Ungefähr an dieser Stelle, nur durch die Dämpfung etwas modifiziert, hat $1/\mathfrak{B}$ ein Minimum, also \mathfrak{B} ein Maximum. Von hier ab steigt $1/\mathfrak{B}$ bald linear. Im Resonanzgebiet werden also die Bodenschwankungen zu stark, oberhalb desselben immer schwächer vergrößert. Durch Anwendung einer Dämpfung von ca. 6 erreicht man, daß dann auch an der Resonanzstelle $\mathfrak{B} = V$ ist. Neuerdings geht Galitzin¹⁾ so weit, daß er aperiodische Dämpfung, also $\varepsilon = \infty$, anwendet. Die Figur zeigt, daß in diesem Falle $1/\mathfrak{B}$ dauernd steigt, also \mathfrak{B} ebenso fällt, was gewiß nicht praktisch ist. Das günstigste Dämpfungsverhältnis liegt zwischen 5 und 8.

1) B. Galitzine, C. R. 147, S. 575—578, 1908.

I'_{Σ}	I'_{Σ}	2.0	2.1	2.2	2.3	2.4	2.5	2.6	2.7	2.8	2.9	3.0	3.1	3.2	3.3	3.4	3.5	3.6	3.7	3.8	3.9	4.0	I'_{Σ}
1	2	0.500	0.477	0.455	0.435	0.417	0.400	0.385	0.371	0.358	0.346	0.334	0.323	0.313	0.305	0.294	0.285	0.276	0.267	0.257	0.250	0.250	1
2	3	1.00	0.934	0.911	0.870	0.833	0.800	0.770	0.742	0.715	0.690	0.667	0.645	0.625	0.607	0.589	0.572	0.556	0.541	0.527	0.513	0.500	2
3	4	1.50	1.41	1.37	1.31	1.25	1.20	1.15	1.11	1.07	1.03	1.00	0.968	0.938	0.910	0.885	0.858	0.834	0.812	0.791	0.770	0.750	3
4	5	2.00	1.91	1.87	1.74	1.67	1.60	1.54	1.48	1.43	1.38	1.33	1.29	1.25	1.21	1.18	1.14	1.11	1.08	1.05	1.02	1.00	4
5	6	2.50	2.38	2.28	2.18	2.09	2.00	1.93	1.86	1.79	1.73	1.67	1.62	1.57	1.52	1.47	1.43	1.39	1.35	1.32	1.28	1.25	5
6	7	3.00	2.86	2.73	2.61	2.50	2.40	2.31	2.23	2.15	2.07	2.00	1.93	1.87	1.81	1.76	1.71	1.67	1.62	1.58	1.54	1.50	6
7	8	3.50	3.33	3.18	3.05	2.92	2.80	2.69	2.59	2.50	2.42	2.34	2.26	2.19	2.12	2.06	2.00	1.94	1.89	1.84	1.79	1.75	7
8	9	4.00	3.81	3.64	3.48	3.34	3.21	3.09	2.97	2.86	2.76	2.67	2.58	2.50	2.43	2.35	2.28	2.22	2.16	2.10	2.05	2.00	8
9	10	4.50	4.26	4.09	3.92	3.75	3.60	3.46	3.33	3.22	3.10	3.00	2.91	2.82	2.73	2.64	2.57	2.50	2.43	2.37	2.31	2.25	9
10	11	5.00	4.77	4.55	4.35	4.17	4.00	3.85	3.71	3.58	3.45	3.33	3.22	3.13	3.03	2.94	2.85	2.77	2.70	2.63	2.57	2.50	10
11	12	5.50	5.24	5.00	4.78	4.58	4.40	4.24	4.08	3.93	3.79	3.67	3.55	3.44	3.33	3.23	3.14	3.06	2.98	2.90	2.82	2.75	11
12	13	6.00	5.72	5.46	5.22	5.00	4.80	4.62	4.45	4.28	4.13	4.00	3.87	3.75	3.64	3.53	3.43	3.34	3.26	3.18	3.08	3.00	12
13	14	6.50	6.19	5.91	5.65	5.42	5.20	5.00	4.82	4.64	4.48	4.33	4.19	4.06	3.94	3.83	3.72	3.62	3.52	3.42	3.33	3.25	13
14	15	7.00	6.67	6.37	6.08	5.82	5.60	5.38	5.19	5.00	4.83	4.67	4.52	4.38	4.25	4.12	4.00	3.89	3.79	3.69	3.59	3.50	14
15	16	7.50	7.14	6.82	6.53	6.25	6.00	5.77	5.56	5.36	5.17	5.00	4.84	4.69	4.55	4.42	4.28	4.17	4.06	3.95	3.85	3.75	15
16	17	8.00	7.61	7.27	6.95	6.67	6.40	6.15	5.92	5.71	5.52	5.33	5.16	5.00	4.85	4.71	4.58	4.45	4.33	4.22	4.11	4.00	16
17	18	8.50	8.09	7.73	7.40	7.09	6.80	6.54	6.30	6.07	5.86	5.67	5.48	5.32	5.16	5.01	4.87	4.73	4.60	4.48	4.36	4.25	17
18	19	9.00	8.58	8.19	7.83	7.50	7.20	6.92	6.67	6.43	6.21	6.00	5.81	5.63	5.46	5.29	5.14	4.99	4.87	4.74	4.62	4.50	18
19	20	9.50	9.05	8.64	8.26	7.91	7.60	7.31	7.03	6.78	6.55	6.33	6.13	5.94	5.76	5.59	5.43	5.28	5.14	5.01	4.88	4.75	19
20	21	10.0	9.53	9.10	8.70	8.33	8.00	7.70	7.42	7.15	6.89	6.67	6.46	6.26	6.07	5.89	5.72	5.56	5.41	5.27	5.13	5.00	20
22	22	11.0	10.5	10.0	9.56	9.16	8.80	8.46	8.15	7.85	7.56	7.33	7.09	6.87	6.67	6.48	6.28	6.11	5.95	5.79	5.64	5.50	22
24	24	12.0	11.4	10.9	10.4	10.0	9.60	9.23	8.89	8.47	8.23	8.00	7.74	7.52	7.28	7.08	6.86	6.67	6.49	6.32	6.16	6.00	24
26	26	13.0	12.4	11.8	11.3	10.8	10.4	10.0	9.64	9.28	8.97	8.67	8.38	8.10	7.84	7.65	7.43	7.22	7.03	6.85	6.67	6.50	26
28	28	14.0	13.3	12.7	12.2	11.7	11.2	10.8	10.4	10.0	9.66	9.33	9.03	8.74	8.46	8.22	8.00	7.78	7.57	7.37	7.18	7.00	28
30	30	15.0	14.3	13.6	13.0	12.5	12.0	11.6	11.1	10.7	10.3	10.0	9.67	9.37	9.09	8.83	8.58	8.34	8.12	7.90	7.70	7.50	30
35	35	17.5	16.7	15.9	15.2	14.6	14.0	13.5	13.0	12.5	12.1	11.7	11.3	10.9	10.6	10.3	10.0	9.72	9.46	9.22	8.98	8.75	35
40	40	20.0	19.1	18.2	17.4	16.7	16.0	15.4	14.8	14.3	13.8	13.4	12.9	12.5	12.1	11.8	11.4	11.1	10.8	10.5	10.3	10.0	40
45	45	22.5	21.5	20.5	19.6	18.8	18.0	17.3	16.7	16.1	15.5	15.0	14.5	14.1	13.6	13.2	12.9	12.5	12.2	11.8	11.5	11.3	45
50	50	25.0	23.9	22.8	21.8	20.9	20.0	19.3	18.7	17.9	17.3	16.7	16.1	15.6	15.1	14.7	14.3	13.9	13.5	13.2	12.9	12.5	50
55	55	27.5	26.2	25.0	23.9	22.9	22.0	21.2	20.4	19.7	19.0	18.4	17.8	17.2	16.7	16.2	15.7	15.3	14.9	14.5	14.1	13.8	55
60	60	30.0	28.6	27.3	26.1	25.0	24.0	23.1	22.3	21.5	20.7	20.0	19.4	18.8	18.2	17.6	17.1	16.7	16.2	15.8	15.4	15.0	60

Hilftabellen zur Berechnung der wahren Bodenschwankung. Die Tabellen geben \mathfrak{A}/T_0 .

4—6.

T_0 \mathfrak{A}	4,0	4,1	4,2	4,3	4,4	4,5	4,6	4,7	4,8	4,9	5,0	5,1	5,2	5,3	5,4	5,5	5,6	5,7	5,8	5,9	6,0	T_0 \mathfrak{A}
1	0,250	0,244	0,238	0,233	0,227	0,222	0,217	0,213	0,208	0,204	0,200	0,196	0,192	0,189	0,185	0,182	0,179	0,175	0,172	0,169	0,167	1
2	0,500	0,498	0,477	0,468	0,455	0,444	0,435	0,426	0,417	0,408	0,400	0,392	0,385	0,378	0,371	0,364	0,357	0,351	0,345	0,339	0,333	2
3	0,750	0,732	0,714	0,698	0,682	0,667	0,652	0,639	0,626	0,613	0,600	0,588	0,577	0,567	0,556	0,546	0,536	0,527	0,518	0,509	0,500	3
4	1,00	0,976	0,953	0,931	0,909	0,889	0,870	0,852	0,834	0,817	0,800	0,784	0,769	0,754	0,740	0,727	0,714	0,702	0,690	0,678	0,667	4
5	1,25	1,22	1,19	1,16	1,14	1,11	1,09	1,06	1,04	1,02	1,00	0,980	0,962	0,944	0,927	0,910	0,893	0,877	0,862	0,848	0,834	5
6	1,50	1,46	1,43	1,40	1,36	1,33	1,30	1,28	1,25	1,22	1,20	1,18	1,15	1,13	1,11	1,09	1,07	1,05	1,04	1,02	1,00	6
7	1,75	1,71	1,67	1,63	1,59	1,56	1,52	1,49	1,46	1,43	1,40	1,37	1,35	1,32	1,30	1,27	1,25	1,23	1,21	1,19	1,17	7
8	2,00	1,95	1,90	1,86	1,82	1,78	1,74	1,70	1,67	1,63	1,60	1,57	1,54	1,51	1,48	1,45	1,43	1,40	1,38	1,36	1,33	8
9	2,25	2,19	2,14	2,09	2,04	2,00	1,95	1,91	1,88	1,84	1,80	1,76	1,73	1,70	1,67	1,64	1,61	1,58	1,55	1,53	1,50	9
10	2,50	2,44	2,38	2,32	2,27	2,22	2,17	2,13	2,08	2,04	2,00	1,96	1,92	1,89	1,85	1,81	1,78	1,75	1,72	1,69	1,67	10
11	2,75	2,68	2,62	2,56	2,50	2,44	2,39	2,34	2,29	2,25	2,20	2,16	2,12	2,08	2,04	2,00	1,96	1,93	1,90	1,86	1,83	11
12	3,00	2,93	2,86	2,79	2,73	2,67	2,61	2,55	2,50	2,45	2,40	2,35	2,31	2,27	2,22	2,18	2,14	2,10	2,07	2,04	2,00	12
13	3,25	3,17	3,10	3,03	2,96	2,90	2,84	2,77	2,71	2,66	2,60	2,55	2,50	2,45	2,41	2,36	2,32	2,28	2,24	2,20	2,17	13
14	3,50	3,42	3,34	3,26	3,18	3,11	3,04	2,98	2,92	2,86	2,80	2,75	2,69	2,64	2,59	2,55	2,50	2,46	2,42	2,38	2,34	14
15	3,75	3,66	3,57	3,49	3,41	3,33	3,26	3,19	3,13	3,06	3,00	2,94	2,88	2,83	2,78	2,73	2,68	2,64	2,59	2,54	2,50	15
16	4,00	3,90	3,81	3,72	3,64	3,56	3,48	3,40	3,33	3,26	3,20	3,14	3,08	3,02	2,97	2,91	2,86	2,81	2,76	2,71	2,67	16
17	4,25	4,16	4,05	3,96	3,87	3,78	3,70	3,62	3,55	3,47	3,40	3,33	3,27	3,21	3,15	3,09	3,04	2,98	2,93	2,88	2,84	17
18	4,50	4,39	4,29	4,19	4,09	4,00	3,92	3,83	3,75	3,67	3,60	3,53	3,46	3,40	3,33	3,27	3,21	3,16	3,10	3,05	3,00	18
19	4,75	4,63	4,52	4,42	4,32	4,22	4,13	4,05	3,96	3,88	3,80	3,73	3,66	3,59	3,52	3,45	3,39	3,33	3,27	3,22	3,17	19
20	5,00	4,88	4,77	4,66	4,55	4,44	4,35	4,26	4,17	4,08	4,00	3,92	3,85	3,77	3,70	3,63	3,57	3,51	3,45	3,39	3,33	20
22	5,50	5,37	5,24	5,12	5,00	4,89	4,78	4,68	4,58	4,48	4,40	4,32	4,23	4,15	4,08	4,00	3,93	3,86	3,80	3,73	3,67	22
24	6,00	5,86	5,72	5,59	5,46	5,34	5,22	5,11	5,00	4,90	4,80	4,71	4,62	4,53	4,45	4,37	4,29	4,22	4,14	4,07	4,00	24
26	6,50	6,35	6,20	6,06	5,91	5,78	5,66	5,54	5,42	5,31	5,20	5,10	5,00	4,91	4,82	4,73	4,64	4,57	4,49	4,41	4,33	26
28	7,00	6,83	6,67	6,52	6,37	6,23	6,09	5,96	5,83	5,71	5,60	5,49	5,38	5,28	5,19	5,09	5,00	4,92	4,84	4,75	4,67	28
30	7,50	7,32	7,15	6,98	6,83	6,67	6,52	6,38	6,25	6,12	6,00	5,89	5,78	5,67	5,56	5,46	5,36	5,27	5,18	5,08	5,00	30
35	8,75	8,53	8,33	8,14	7,96	7,78	7,61	7,45	7,30	7,15	7,00	6,86	6,73	6,61	6,48	6,37	6,25	6,14	6,04	5,93	5,83	35
40	10,0	9,76	9,53	9,31	9,10	8,90	8,70	8,52	8,34	8,17	8,00	7,84	7,69	7,55	7,41	7,27	7,14	7,02	6,90	6,78	6,67	40
45	11,3	11,0	10,7	10,5	10,2	10,0	9,79	9,58	9,38	9,19	9,00	8,82	8,65	8,49	8,34	8,19	8,04	7,90	7,77	7,63	7,50	45
50	12,5	12,2	11,9	11,6	11,4	11,1	10,9	10,6	10,4	10,2	10,0	9,80	9,61	9,43	9,25	9,08	8,92	8,77	8,63	8,48	8,33	50
55	13,8	13,4	13,1	12,8	12,5	12,2	11,9	11,7	11,5	11,2	11,0	10,8	10,6	10,4	10,2	10,0	9,82	9,65	9,49	9,33	9,17	55
60	15,0	14,6	14,3	14,0	13,6	13,3	13,0	12,8	12,5	12,2	12,0	11,8	11,5	11,3	11,1	10,9	10,7	10,5	10,3	10,2	10,0	60

Σ/T	6,0	6,1	6,2	6,3	6,4	6,5	6,6	6,7	6,8	6,9	7,0	7,1	7,2	7,3	7,4	7,5	7,6	7,7	7,8	7,9	8,0	Σ/T
1	0,167	0,164	0,161	0,159	0,156	0,154	0,152	0,149	0,147	0,145	0,143	0,141	0,139	0,137	0,135	0,133	0,132	0,130	0,128	0,127	0,125	2
2	0,333	0,328	0,325	0,318	0,313	0,308	0,303	0,299	0,294	0,290	0,286	0,282	0,278	0,274	0,270	0,267	0,263	0,260	0,257	0,253	0,250	3
3	0,500	0,492	0,484	0,476	0,469	0,462	0,455	0,448	0,442	0,435	0,429	0,423	0,417	0,412	0,406	0,400	0,395	0,390	0,385	0,380	0,375	4
4	0,667	0,656	0,646	0,635	0,625	0,616	0,607	0,598	0,589	0,580	0,572	0,564	0,556	0,548	0,541	0,533	0,526	0,520	0,513	0,507	0,500	5
5	0,834	0,820	0,807	0,794	0,781	0,769	0,758	0,747	0,736	0,725	0,714	0,705	0,694	0,685	0,676	0,667	0,658	0,649	0,641	0,633	0,625	6
6	1,00	0,983	0,968	0,953	0,938	0,923	0,909	0,896	0,883	0,870	0,857	0,845	0,833	0,822	0,811	0,800	0,790	0,779	0,769	0,759	0,750	7
7	1,17	1,15	1,13	1,11	1,09	1,08	1,06	1,04	1,03	1,01	1,00	0,986	0,972	0,959	0,946	0,933	0,921	0,909	0,897	0,886	0,875	8
8	1,33	1,31	1,29	1,27	1,25	1,23	1,21	1,19	1,18	1,16	1,14	1,13	1,11	1,10	1,08	1,07	1,05	1,04	1,03	1,01	1,00	9
9	1,50	1,47	1,45	1,43	1,41	1,38	1,36	1,34	1,32	1,30	1,28	1,27	1,25	1,23	1,22	1,20	1,18	1,17	1,15	1,14	1,13	10
10	1,67	1,64	1,61	1,59	1,56	1,54	1,52	1,49	1,47	1,45	1,43	1,41	1,39	1,37	1,35	1,33	1,32	1,30	1,28	1,27	1,25	11
11	1,83	1,80	1,77	1,75	1,72	1,69	1,67	1,64	1,62	1,59	1,57	1,55	1,53	1,51	1,49	1,47	1,45	1,43	1,41	1,39	1,38	12
12	2,00	1,97	1,94	1,91	1,88	1,85	1,82	1,79	1,76	1,74	1,72	1,69	1,67	1,64	1,62	1,60	1,58	1,56	1,54	1,52	1,50	13
13	2,17	2,14	2,10	2,06	2,03	2,00	1,97	1,94	1,91	1,88	1,86	1,83	1,80	1,78	1,76	1,73	1,71	1,69	1,67	1,65	1,63	14
14	2,34	2,30	2,26	2,22	2,19	2,16	2,12	2,09	2,06	2,03	2,00	1,97	1,94	1,92	1,89	1,87	1,84	1,82	1,80	1,77	1,75	15
15	2,50	2,46	2,42	2,38	2,35	2,31	2,27	2,24	2,21	2,17	2,14	2,11	2,08	2,06	2,03	2,00	1,97	1,95	1,92	1,90	1,88	16
16	2,67	2,62	2,58	2,54	2,50	2,46	2,42	2,39	2,35	2,32	2,29	2,26	2,22	2,19	2,16	2,13	2,10	2,08	2,05	2,02	2,00	17
17	2,84	2,79	2,74	2,70	2,66	2,61	2,57	2,54	2,50	2,46	2,43	2,39	2,36	2,33	2,30	2,27	2,24	2,21	2,18	2,15	2,13	18
18	3,00	2,95	2,90	2,86	2,81	2,77	2,73	2,69	2,65	2,61	2,57	2,54	2,50	2,47	2,43	2,40	2,37	2,34	2,31	2,28	2,25	19
19	3,17	3,12	3,07	3,02	2,97	2,92	2,88	2,84	2,80	2,75	2,71	2,68	2,64	2,60	2,57	2,53	2,50	2,47	2,44	2,41	2,38	20
20	3,33	3,28	3,23	3,18	3,13	3,08	3,03	2,99	2,94	2,90	2,86	2,82	2,78	2,74	2,70	2,67	2,63	2,60	2,56	2,53	2,50	21
22	3,67	3,61	3,55	3,48	3,44	3,38	3,34	3,29	3,24	3,19	3,15	3,10	3,06	3,02	2,97	2,93	2,89	2,86	2,82	2,79	2,75	22
24	4,00	3,94	3,87	3,81	3,75	3,69	3,64	3,58	3,53	3,48	3,43	3,38	3,34	3,29	3,24	3,20	3,16	3,12	3,08	3,04	3,00	24
26	4,33	4,27	4,20	4,13	4,07	4,00	3,94	3,88	3,83	3,77	3,72	3,66	3,61	3,56	3,52	3,47	3,42	3,38	3,34	3,29	3,25	26
28	4,67	4,59	4,52	4,46	4,38	4,31	4,24	4,18	4,12	4,06	4,00	3,95	3,89	3,84	3,79	3,74	3,69	3,64	3,59	3,54	3,50	28
30	5,00	4,92	4,84	4,77	4,69	4,62	4,55	4,48	4,42	4,35	4,29	4,23	4,17	4,11	4,06	4,00	3,95	3,90	3,85	3,80	3,75	30
36	5,83	5,74	5,65	5,57	5,48	5,39	5,31	5,23	5,15	5,07	5,00	4,93	4,87	4,80	4,73	4,67	4,61	4,55	4,49	4,43	4,38	36
40	6,67	6,56	6,46	6,35	6,25	6,16	6,07	5,97	5,89	5,80	5,72	5,64	5,56	5,48	5,41	5,33	5,26	5,19	5,13	5,07	5,00	40
45	7,50	7,38	7,26	7,15	7,03	6,92	6,82	6,72	6,62	6,52	6,43	6,34	6,25	6,17	6,09	6,00	5,92	5,84	5,77	5,70	5,63	45
50	8,33	8,20	8,07	7,94	7,82	7,69	7,58	7,47	7,36	7,26	7,14	7,04	6,94	6,85	6,76	6,67	6,58	6,49	6,41	6,33	6,25	50
55	9,17	9,02	8,87	8,73	8,59	8,46	8,34	8,21	8,09	7,97	7,86	7,75	7,64	7,53	7,43	7,33	7,23	7,14	7,05	6,96	6,88	55
60	10,0	9,84	9,68	9,53	9,38	9,23	9,09	8,96	8,83	8,70	8,57	8,45	8,33	8,22	8,11	8,00	7,89	7,79	7,69	7,59	7,50	60

$\frac{1}{T}$	$\frac{1}{T_0}$	8,0	8,1	8,2	8,3	8,4	8,5	8,6	8,7	8,8	8,9	9,0	9,1	9,2	9,3	9,4	9,5	9,6	9,7	9,8	9,9	10,0	$\frac{1}{T}$
1	1,125	0,123	0,123	0,122	0,120	0,119	0,118	0,116	0,115	0,114	0,112	0,111	0,110	0,109	0,107	0,106	0,105	0,104	0,103	0,102	0,101	0,100	1
2	0,250	0,247	0,244	0,241	0,238	0,236	0,235	0,233	0,230	0,227	0,225	0,222	0,220	0,217	0,215	0,213	0,211	0,208	0,206	0,204	0,202	0,200	2
3	0,375	0,370	0,366	0,362	0,357	0,353	0,349	0,345	0,341	0,337	0,333	0,330	0,326	0,323	0,320	0,317	0,314	0,312	0,309	0,306	0,303	0,300	3
4	0,500	0,494	0,488	0,482	0,476	0,471	0,466	0,460	0,455	0,449	0,444	0,440	0,435	0,430	0,426	0,422	0,417	0,412	0,408	0,404	0,400	0,400	4
5	0,625	0,617	0,610	0,603	0,595	0,588	0,582	0,575	0,568	0,562	0,556	0,550	0,544	0,538	0,532	0,527	0,521	0,516	0,510	0,505	0,500	0,500	5
6	0,750	0,741	0,732	0,723	0,714	0,706	0,698	0,690	0,682	0,674	0,667	0,660	0,652	0,645	0,638	0,632	0,625	0,618	0,612	0,606	0,600	0,600	6
7	0,875	0,864	0,854	0,843	0,833	0,823	0,814	0,805	0,796	0,787	0,778	0,770	0,761	0,752	0,744	0,737	0,729	0,722	0,714	0,707	0,700	0,700	7
8	1,000	0,988	0,976	0,964	0,952	0,941	0,930	0,920	0,909	0,898	0,889	0,880	0,870	0,860	0,851	0,842	0,833	0,825	0,816	0,808	0,800	0,800	8
9	1,13	1,11	1,10	1,08	1,07	1,06	1,05	1,04	1,03	1,02	1,01	1,00	0,990	0,978	0,967	0,957	0,947	0,937	0,927	0,918	0,909	0,900	9
10	1,25	1,23	1,22	1,21	1,19	1,18	1,16	1,15	1,14	1,12	1,11	1,10	1,08	1,07	1,06	1,05	1,04	1,03	1,02	1,01	1,00	1,00	10
11	1,38	1,36	1,34	1,32	1,31	1,29	1,28	1,26	1,25	1,24	1,22	1,21	1,20	1,18	1,17	1,16	1,15	1,13	1,12	1,11	1,10	1,10	11
12	1,50	1,48	1,46	1,45	1,43	1,41	1,40	1,38	1,36	1,35	1,33	1,32	1,30	1,29	1,27	1,26	1,25	1,24	1,23	1,21	1,20	1,20	12
13	1,63	1,61	1,59	1,57	1,55	1,53	1,51	1,49	1,48	1,46	1,44	1,43	1,41	1,40	1,38	1,37	1,35	1,34	1,33	1,31	1,30	1,30	13
14	1,75	1,73	1,71	1,69	1,67	1,65	1,63	1,61	1,59	1,57	1,55	1,54	1,52	1,51	1,49	1,48	1,46	1,44	1,43	1,41	1,40	1,40	14
15	1,88	1,85	1,83	1,81	1,79	1,77	1,74	1,72	1,71	1,69	1,67	1,65	1,63	1,61	1,60	1,58	1,56	1,55	1,53	1,52	1,50	1,50	15
16	2,00	1,98	1,96	1,93	1,91	1,88	1,86	1,84	1,82	1,80	1,78	1,76	1,74	1,72	1,70	1,69	1,67	1,65	1,63	1,62	1,60	1,60	16
17	2,13	2,10	2,07	2,05	2,02	2,00	1,98	1,95	1,93	1,91	1,89	1,87	1,85	1,83	1,81	1,79	1,77	1,75	1,74	1,72	1,70	1,70	17
18	2,25	2,22	2,19	2,17	2,14	2,12	2,09	2,07	2,05	2,02	2,00	1,98	1,96	1,94	1,92	1,90	1,88	1,86	1,84	1,82	1,80	1,80	18
19	2,38	2,35	2,32	2,29	2,26	2,23	2,21	2,19	2,16	2,14	2,11	2,09	2,07	2,04	2,02	2,00	1,98	1,96	1,94	1,92	1,90	1,90	19
20	2,50	2,47	2,44	2,41	2,38	2,35	2,33	2,30	2,27	2,25	2,22	2,20	2,18	2,15	2,13	2,10	2,08	2,06	2,04	2,02	2,00	2,00	20
22	2,75	2,72	2,68	2,65	2,62	2,59	2,56	2,53	2,50	2,47	2,45	2,42	2,39	2,37	2,34	2,32	2,29	2,27	2,24	2,22	2,20	2,20	22
24	3,00	2,97	2,93	2,89	2,86	2,83	2,79	2,76	2,73	2,70	2,67	2,64	2,61	2,58	2,55	2,53	2,50	2,48	2,45	2,42	2,40	2,40	24
26	3,25	3,21	3,17	3,14	3,10	3,06	3,02	2,99	2,95	2,92	2,89	2,86	2,83	2,80	2,77	2,74	2,71	2,68	2,65	2,63	2,60	2,60	26
28	3,50	3,46	3,42	3,38	3,34	3,29	3,25	3,22	3,18	3,15	3,11	3,08	3,04	3,01	2,98	2,95	2,92	2,89	2,86	2,83	2,80	2,80	28
30	3,75	3,71	3,66	3,62	3,57	3,53	3,49	3,45	3,41	3,37	3,33	3,30	3,26	3,23	3,19	3,16	3,13	3,09	3,06	3,03	3,00	3,00	30
35	4,38	4,33	4,27	4,22	4,17	4,12	4,07	4,02	3,98	3,93	3,89	3,85	3,81	3,76	3,72	3,69	3,65	3,61	3,57	3,54	3,50	3,50	35
40	5,00	4,94	4,88	4,82	4,77	4,71	4,66	4,60	4,55	4,49	4,45	4,40	4,35	4,30	4,26	4,22	4,17	4,12	4,08	4,04	4,00	4,00	40
45	5,63	5,56	5,49	5,42	5,36	5,29	5,23	5,17	5,11	5,06	5,00	4,95	4,89	4,84	4,79	4,74	4,69	4,64	4,59	4,54	4,50	4,50	45
50	6,25	6,17	6,10	6,03	5,95	5,88	5,82	5,75	5,68	5,62	5,56	5,50	5,43	5,38	5,32	5,26	5,21	5,16	5,10	5,05	5,00	5,00	50
55	6,88	6,79	6,71	6,63	6,55	6,47	6,40	6,32	6,25	6,18	6,11	6,05	5,98	5,91	5,85	5,79	5,73	5,67	5,61	5,55	5,50	5,50	55
60	7,50	7,41	7,32	7,23	7,14	7,06	6,98	6,90	6,82	6,74	6,67	6,60	6,52	6,45	6,38	6,32	6,25	6,18	6,12	6,06	6,00	6,00	60

Z/T	Z/T	10,0	10,1	10,2	10,3	10,4	10,5	10,6	10,7	10,8	10,9	11,0	11,1	11,2	11,3	11,4	11,5	11,6	11,7	11,8	11,9	12,0	Z/T
1	100	0,099	0,098	0,097	0,096	0,095	0,094	0,093	0,092	0,091	0,090	0,089	0,088	0,087	0,086	0,085	0,084	0,083	0,082	0,081	0,080	0,079	1
2	200	0,198	0,196	0,194	0,192	0,191	0,189	0,187	0,185	0,183	0,182	0,180	0,178	0,177	0,175	0,174	0,172	0,171	0,169	0,168	0,166	0,165	2
3	300	0,297	0,294	0,291	0,288	0,286	0,283	0,280	0,278	0,275	0,273	0,270	0,267	0,265	0,263	0,260	0,258	0,256	0,254	0,252	0,250	0,249	3
4	400	0,397	0,393	0,389	0,385	0,381	0,378	0,374	0,371	0,367	0,364	0,360	0,357	0,354	0,351	0,348	0,346	0,343	0,340	0,337	0,335	0,334	4
5	500	0,496	0,492	0,487	0,482	0,477	0,472	0,468	0,463	0,459	0,455	0,451	0,447	0,443	0,439	0,435	0,432	0,428	0,424	0,420	0,416	0,415	5
6	600	0,596	0,591	0,584	0,578	0,572	0,567	0,561	0,556	0,551	0,546	0,541	0,536	0,532	0,527	0,522	0,518	0,514	0,509	0,504	0,500	0,499	6
7	700	0,694	0,687	0,681	0,674	0,667	0,661	0,655	0,648	0,643	0,637	0,631	0,626	0,620	0,614	0,608	0,603	0,598	0,593	0,588	0,584	0,583	7
8	800	0,793	0,786	0,778	0,771	0,763	0,756	0,748	0,741	0,735	0,728	0,722	0,715	0,708	0,702	0,696	0,690	0,685	0,679	0,673	0,668	0,665	8
9	900	0,892	0,884	0,875	0,867	0,858	0,850	0,842	0,835	0,827	0,819	0,811	0,804	0,798	0,791	0,784	0,777	0,771	0,764	0,757	0,750	0,749	9
10	1,00	0,990	0,980	0,971	0,962	0,953	0,944	0,935	0,926	0,918	0,909	0,900	0,892	0,885	0,877	0,869	0,862	0,855	0,848	0,841	0,835	0,834	10
11	1,10	1,09	1,08	1,07	1,06	1,05	1,04	1,03	1,02	1,01	1,00	0,990	0,982	0,973	0,965	0,956	0,948	0,940	0,932	0,925	0,917	0,916	11
12	1,20	1,19	1,18	1,17	1,16	1,14	1,13	1,12	1,11	1,10	1,09	1,08	1,07	1,06	1,05	1,04	1,04	1,03	1,02	1,01	1,00	0,998	12
13	1,30	1,29	1,27	1,26	1,25	1,24	1,23	1,22	1,20	1,19	1,18	1,17	1,16	1,15	1,14	1,13	1,12	1,11	1,10	1,09	1,08	1,07	13
14	1,40	1,39	1,37	1,36	1,35	1,33	1,32	1,31	1,30	1,29	1,27	1,26	1,25	1,24	1,23	1,22	1,21	1,20	1,19	1,18	1,16	1,15	14
15	1,50	1,49	1,47	1,46	1,44	1,43	1,42	1,40	1,39	1,38	1,36	1,35	1,34	1,33	1,32	1,30	1,29	1,28	1,27	1,26	1,25	1,24	15
16	1,60	1,59	1,57	1,55	1,54	1,52	1,51	1,50	1,48	1,47	1,46	1,44	1,43	1,42	1,40	1,39	1,38	1,37	1,36	1,35	1,33	1,32	16
17	1,70	1,68	1,67	1,65	1,64	1,62	1,60	1,59	1,57	1,56	1,55	1,53	1,52	1,50	1,49	1,48	1,46	1,45	1,44	1,43	1,41	1,40	17
18	1,80	1,78	1,77	1,75	1,73	1,71	1,70	1,68	1,67	1,65	1,64	1,62	1,61	1,59	1,58	1,56	1,55	1,54	1,53	1,51	1,50	1,49	18
19	1,90	1,88	1,86	1,84	1,83	1,81	1,79	1,78	1,76	1,74	1,73	1,71	1,70	1,68	1,67	1,65	1,64	1,63	1,61	1,60	1,58	1,57	19
20	2,00	1,98	1,96	1,94	1,92	1,90	1,89	1,87	1,85	1,84	1,82	1,80	1,78	1,77	1,75	1,74	1,73	1,71	1,69	1,68	1,66	1,65	20
22	2,20	2,18	2,16	2,14	2,12	2,10	2,08	2,06	2,04	2,02	2,00	1,98	1,96	1,95	1,93	1,91	1,90	1,88	1,86	1,85	1,83	1,82	22
24	2,40	2,38	2,35	2,33	2,31	2,29	2,28	2,26	2,24	2,22	2,20	2,18	2,16	2,14	2,12	2,10	2,08	2,07	2,05	2,04	2,02	2,00	24
26	2,60	2,58	2,55	2,52	2,50	2,48	2,46	2,45	2,43	2,40	2,38	2,36	2,34	2,32	2,28	2,26	2,24	2,22	2,20	2,18	2,16	2,15	26
28	2,80	2,77	2,75	2,72	2,69	2,67	2,64	2,62	2,59	2,57	2,54	2,52	2,50	2,47	2,45	2,43	2,41	2,39	2,37	2,35	2,33	2,32	28
30	3,00	2,97	2,94	2,91	2,88	2,86	2,83	2,80	2,78	2,75	2,72	2,70	2,67	2,65	2,63	2,61	2,58	2,56	2,54	2,52	2,50	2,49	30
35	3,50	3,47	3,44	3,40	3,37	3,34	3,30	3,27	3,24	3,21	3,19	3,16	3,13	3,10	3,07	3,05	3,02	3,00	2,97	2,94	2,92	2,91	35
40	4,00	3,97	3,93	3,89	3,85	3,81	3,77	3,74	3,71	3,68	3,64	3,61	3,57	3,54	3,51	3,48	3,45	3,42	3,39	3,36	3,33	3,32	40
45	4,50	4,46	4,42	4,37	4,33	4,29	4,25	4,21	4,17	4,13	4,09	4,06	4,02	4,03	3,95	3,92	3,88	3,85	3,82	3,78	3,74	3,73	45
50	5,00	4,96	4,91	4,86	4,82	4,77	4,73	4,67	4,63	4,59	4,55	4,51	4,47	4,43	4,39	4,35	4,32	4,28	4,24	4,20	4,16	4,15	50
55	5,50	5,45	5,40	5,35	5,29	5,24	5,19	5,14	5,09	5,05	5,00	4,96	4,91	4,87	4,83	4,78	4,74	4,71	4,67	4,62	4,58	4,57	55
60	6,00	5,95	5,89	5,83	5,78	5,72	5,67	5,61	5,56	5,51	5,46	5,41	5,36	5,32	5,27	5,22	5,18	5,13	5,09	5,05	5,00	4,99	60

Hilfstabellen zur Berechnung der wahren Bodenschwankung. Die Tabellen geben λ/l_0 .

12—14.

λ/l_0	12,0	12,1	12,2	12,3	12,4	12,5	12,6	12,7	12,8	12,9	13,0	13,1	13,2	13,3	13,4	13,5	13,6	13,7	13,8	13,9	14,0	λ/l_0
1	0,083	0,083	0,082	0,081	0,081	0,080	0,079	0,079	0,078	0,078	0,077	0,076	0,076	0,075	0,075	0,074	0,074	0,073	0,072	0,072	0,071	1
2	0,166	0,165	0,164	0,163	0,162	0,160	0,159	0,158	0,156	0,155	0,154	0,153	0,151	0,150	0,149	0,148	0,147	0,146	0,145	0,144	0,143	2
3	0,250	0,248	0,246	0,244	0,242	0,240	0,238	0,236	0,234	0,233	0,231	0,229	0,227	0,226	0,224	0,222	0,220	0,219	0,217	0,216	0,214	3
4	0,333	0,331	0,328	0,325	0,323	0,320	0,318	0,316	0,313	0,311	0,308	0,306	0,304	0,301	0,299	0,296	0,294	0,292	0,290	0,288	0,286	4
5	0,416	0,414	0,411	0,407	0,404	0,400	0,398	0,394	0,391	0,389	0,385	0,382	0,379	0,376	0,373	0,370	0,368	0,365	0,363	0,360	0,357	5
6	0,500	0,497	0,492	0,488	0,485	0,480	0,477	0,473	0,470	0,466	0,462	0,458	0,455	0,452	0,448	0,444	0,442	0,438	0,436	0,432	0,429	6
7	0,582	0,579	0,575	0,570	0,565	0,560	0,556	0,552	0,548	0,544	0,539	0,535	0,532	0,527	0,523	0,518	0,515	0,511	0,508	0,504	0,500	7
8	0,665	0,663	0,657	0,651	0,646	0,640	0,636	0,631	0,626	0,621	0,616	0,612	0,607	0,602	0,597	0,593	0,588	0,584	0,580	0,576	0,572	8
9	0,750	0,745	0,739	0,732	0,727	0,720	0,715	0,710	0,704	0,698	0,693	0,688	0,683	0,677	0,672	0,666	0,662	0,658	0,653	0,648	0,643	9
10	0,833	0,828	0,822	0,814	0,807	0,800	0,795	0,788	0,783	0,777	0,771	0,764	0,758	0,753	0,747	0,740	0,736	0,731	0,726	0,720	0,715	10
11	0,917	0,911	0,902	0,894	0,887	0,880	0,873	0,866	0,860	0,854	0,846	0,840	0,833	0,828	0,821	0,814	0,809	0,803	0,797	0,792	0,786	11
12	1,00	0,993	0,985	0,975	0,968	0,960	0,953	0,945	0,938	0,931	0,923	0,916	0,910	0,903	0,895	0,888	0,883	0,876	0,870	0,864	0,857	12
13	1,08	1,08	1,07	1,06	1,05	1,04	1,03	1,02	1,02	1,01	1,00	0,994	0,986	0,978	0,970	0,962	0,956	0,949	0,943	0,935	0,928	13
14	1,16	1,16	1,15	1,14	1,13	1,12	1,11	1,10	1,10	1,09	1,08	1,07	1,06	1,05	1,04	1,04	1,03	1,02	1,02	1,01	1,00	14
15	1,25	1,24	1,23	1,22	1,21	1,20	1,19	1,18	1,17	1,16	1,15	1,15	1,14	1,13	1,12	1,11	1,10	1,09	1,09	1,08	1,07	15
16	1,33	1,32	1,31	1,30	1,29	1,28	1,27	1,26	1,25	1,24	1,23	1,22	1,21	1,20	1,19	1,18	1,18	1,17	1,16	1,15	1,14	16
17	1,41	1,41	1,39	1,38	1,37	1,36	1,35	1,34	1,33	1,32	1,31	1,30	1,29	1,28	1,27	1,26	1,25	1,24	1,23	1,22	1,21	17
18	1,50	1,49	1,48	1,46	1,45	1,44	1,43	1,42	1,41	1,40	1,39	1,38	1,36	1,35	1,34	1,33	1,32	1,31	1,30	1,29	1,28	18
19	1,58	1,57	1,56	1,54	1,53	1,52	1,51	1,50	1,49	1,47	1,46	1,45	1,44	1,43	1,42	1,41	1,40	1,39	1,38	1,37	1,36	19
20	1,66	1,65	1,64	1,63	1,61	1,60	1,59	1,58	1,56	1,55	1,54	1,53	1,51	1,50	1,49	1,48	1,47	1,46	1,45	1,44	1,43	20
21	1,73	1,72	1,71	1,70	1,69	1,67	1,66	1,65	1,64	1,63	1,62	1,61	1,60	1,59	1,58	1,57	1,56	1,55	1,54	1,53	1,52	21
22	1,81	1,80	1,79	1,77	1,76	1,75	1,74	1,73	1,72	1,71	1,69	1,68	1,67	1,65	1,64	1,63	1,62	1,61	1,60	1,59	1,58	22
23	1,89	1,88	1,87	1,86	1,85	1,84	1,83	1,82	1,81	1,80	1,79	1,78	1,77	1,76	1,75	1,74	1,73	1,72	1,71	1,70	1,69	23
24	1,97	1,96	1,95	1,94	1,93	1,92	1,91	1,90	1,89	1,88	1,87	1,86	1,85	1,84	1,83	1,82	1,81	1,80	1,79	1,78	1,77	24
25	2,05	2,04	2,03	2,02	2,01	2,00	1,99	1,98	1,97	1,96	1,95	1,94	1,93	1,92	1,91	1,90	1,89	1,88	1,87	1,86	1,85	25
26	2,13	2,12	2,11	2,10	2,09	2,08	2,07	2,06	2,05	2,04	2,03	2,02	2,01	2,00	1,99	1,98	1,97	1,96	1,95	1,94	1,93	26
27	2,21	2,20	2,19	2,18	2,17	2,16	2,15	2,14	2,13	2,12	2,11	2,10	2,09	2,08	2,07	2,06	2,05	2,04	2,03	2,02	2,01	27
28	2,29	2,28	2,27	2,26	2,25	2,24	2,23	2,22	2,21	2,20	2,19	2,18	2,17	2,16	2,15	2,14	2,13	2,12	2,11	2,10	2,09	28
29	2,37	2,36	2,35	2,34	2,33	2,32	2,31	2,30	2,29	2,28	2,27	2,26	2,25	2,24	2,23	2,22	2,21	2,20	2,19	2,18	2,17	29
30	2,45	2,44	2,43	2,42	2,41	2,40	2,39	2,38	2,37	2,36	2,35	2,34	2,33	2,32	2,31	2,30	2,29	2,28	2,27	2,26	2,25	30
31	2,53	2,52	2,51	2,50	2,49	2,48	2,47	2,46	2,45	2,44	2,43	2,42	2,41	2,40	2,39	2,38	2,37	2,36	2,35	2,34	2,33	31
32	2,61	2,60	2,59	2,58	2,57	2,56	2,55	2,54	2,53	2,52	2,51	2,50	2,49	2,48	2,47	2,46	2,45	2,44	2,43	2,42	2,41	32
33	2,69	2,68	2,67	2,66	2,65	2,64	2,63	2,62	2,61	2,60	2,59	2,58	2,57	2,56	2,55	2,54	2,53	2,52	2,51	2,50	2,49	33
34	2,77	2,76	2,75	2,74	2,73	2,72	2,71	2,70	2,69	2,68	2,67	2,66	2,65	2,64	2,63	2,62	2,61	2,60	2,59	2,58	2,57	34
35	2,85	2,84	2,83	2,82	2,81	2,80	2,79	2,78	2,77	2,76	2,75	2,74	2,73	2,72	2,71	2,70	2,69	2,68	2,67	2,66	2,65	35
36	2,93	2,92	2,91	2,90	2,89	2,88	2,87	2,86	2,85	2,84	2,83	2,82	2,81	2,80	2,79	2,78	2,77	2,76	2,75	2,74	2,73	36
37	3,01	3,00	2,99	2,98	2,97	2,96	2,95	2,94	2,93	2,92	2,91	2,90	2,89	2,88	2,87	2,86	2,85	2,84	2,83	2,82	2,81	37
38	3,09	3,08	3,07	3,06	3,05	3,04	3,03	3,02	3,01	3,00	2,99	2,98	2,97	2,96	2,95	2,94	2,93	2,92	2,91	2,90	2,89	38
39	3,17	3,16	3,15	3,14	3,13	3,12	3,11	3,10	3,09	3,08	3,07	3,06	3,05	3,04	3,03	3,02	3,01	3,00	2,99	2,98	2,97	39
40	3,25	3,24	3,23	3,22	3,21	3,20	3,19	3,18	3,17	3,16	3,15	3,14	3,13	3,12	3,11	3,10	3,09	3,08	3,07	3,06	3,05	40
41	3,33	3,32	3,31	3,30	3,29	3,28	3,27	3,26	3,25	3,24	3,23	3,22	3,21	3,20	3,19	3,18	3,17	3,16	3,15	3,14	3,13	41
42	3,41	3,40	3,39	3,38	3,37	3,36	3,35	3,34	3,33	3,32	3,31	3,30	3,29	3,28	3,27	3,26	3,25	3,24	3,23	3,22	3,21	42
43	3,49	3,48	3,47	3,46	3,45	3,44	3,43	3,42	3,41	3,40	3,39	3,38	3,37	3,36	3,35	3,34	3,33	3,32	3,31	3,30	3,29	43
44	3,57	3,56	3,55	3,54	3,53	3,52	3,51	3,50	3,49	3,48	3,47	3,46	3,45	3,44	3,43	3,42	3,41	3,40	3,39	3,38	3,37	44
45	3,65	3,64	3,63	3,62	3,61	3,60	3,59	3,58	3,57	3,56	3,55	3,54	3,53	3,52	3,51	3,50	3,49	3,48	3,47	3,46	3,45	45
46	3,73	3,72	3,71	3,70	3,69	3,68	3,67	3,66	3,65	3,64	3,63	3,62	3,61	3,60	3,59	3,58	3,57	3,56	3,55	3,54	3,53	46
47	3,81	3,80	3,79	3,78	3,77	3,76	3,75	3,74	3,73	3,72	3,71	3,70	3,69	3,68	3,67	3,66	3,65	3,64	3,63	3,62	3,61	47
48	3,89	3,88	3,87	3,86	3,85	3,84	3,83	3,82	3,81	3,80	3,79	3,78	3,77	3,76	3,75	3,74	3,73	3,72	3,71	3,70	3,69	48
49	3,97	3,96	3,95	3,94	3,93	3,92	3,91	3,90	3,89	3,88	3,87	3,86	3,85	3,84	3,83	3,82	3,81	3,80	3,79	3,78	3,77	49
50	4,05	4,04	4,03	4,02	4,01	4,00	3,99	3,98	3,97	3,96	3,95	3,94	3,93	3,92	3,91	3,90	3,89	3,88	3,87	3,86	3,85	50
51	4,13	4,12	4,11	4,10	4,09	4,08	4,07	4,06	4,05	4,04	4,03	4,02	4,01	4,00	3,99	3,98	3,97	3,96	3,95	3,94	3,93	51
52	4,21	4,20	4,19	4,18	4,17	4,16	4,15	4,14	4,13	4,12	4,11	4,10	4,09	4,08	4,07	4,06	4,05	4,04	4,03	4,02	4,01	52
53	4,29	4,28	4,27	4,26	4,25	4,24	4,23	4,22	4,21	4,20	4,19	4,18	4,17	4,16	4,15	4,14	4,13	4,12	4,11	4,10	4,09	53
54	4,37	4,36	4,35	4,34	4,33	4,32	4,31	4,30	4,29	4,28	4,27	4,26	4,25	4,24	4,23	4,22	4,21	4,20	4,19	4,18	4,17	54
55	4,45	4,44	4,43	4,42	4,41	4,40	4,39	4,38	4,37	4,36	4,35	4,34	4,33	4,32	4,31	4,30	4,29	4,28	4,27	4,26	4,25	55
56	4,53	4,52	4,51	4,50	4,49	4,48	4,47	4,46	4,45	4,44	4,43	4,42	4,41	4,40	4,39	4,38	4,37	4,36	4,35	4,34	4,33	56
57	4,61	4,60	4,59	4,58	4,57	4,																

T_2	T_1	14.0	14.1	14.2	14.3	14.4	14.5	14.6	14.7	14.8	14.9	15.0	15.1	15.2	15.3	15.4	15.5	15.6	15.7	15.8	15.9	16.0	T_2
1	0.071	0.071	0.070	0.070	0.069	0.069	0.068	0.068	0.068	0.068	0.067	0.067	0.066	0.066	0.065	0.065	0.065	0.064	0.064	0.063	0.063	0.063	2
2	0.133	0.142	0.141	0.140	0.139	0.138	0.137	0.136	0.135	0.134	0.133	0.133	0.132	0.131	0.130	0.129	0.128	0.127	0.127	0.126	0.125	0.125	3
3	0.213	0.213	0.211	0.210	0.208	0.207	0.205	0.204	0.203	0.202	0.202	0.200	0.199	0.197	0.195	0.193	0.192	0.191	0.190	0.189	0.187	0.187	4
4	0.286	0.284	0.282	0.280	0.278	0.276	0.274	0.272	0.270	0.268	0.267	0.265	0.263	0.261	0.260	0.258	0.257	0.255	0.254	0.252	0.250	0.250	5
5	0.357	0.355	0.352	0.350	0.348	0.345	0.342	0.340	0.338	0.336	0.333	0.331	0.329	0.327	0.325	0.323	0.321	0.319	0.317	0.315	0.313	0.313	6
6	0.429	0.426	0.423	0.420	0.417	0.414	0.411	0.408	0.406	0.403	0.400	0.398	0.395	0.392	0.390	0.387	0.385	0.382	0.380	0.378	0.375	0.375	7
7	0.500	0.496	0.493	0.490	0.487	0.483	0.480	0.477	0.473	0.470	0.467	0.464	0.461	0.458	0.455	0.452	0.449	0.446	0.443	0.441	0.438	0.438	8
8	0.572	0.568	0.564	0.560	0.556	0.552	0.548	0.545	0.541	0.538	0.534	0.530	0.527	0.523	0.520	0.517	0.514	0.510	0.507	0.504	0.501	0.501	9
9	0.643	0.639	0.634	0.630	0.626	0.621	0.617	0.613	0.609	0.605	0.601	0.597	0.592	0.588	0.584	0.581	0.577	0.573	0.570	0.567	0.563	0.563	10
10	0.715	0.709	0.704	0.699	0.694	0.689	0.684	0.680	0.676	0.672	0.667	0.663	0.658	0.653	0.649	0.645	0.641	0.637	0.633	0.629	0.625	0.625	11
11	0.786	0.781	0.775	0.769	0.764	0.758	0.753	0.748	0.744	0.738	0.733	0.729	0.724	0.719	0.714	0.709	0.705	0.700	0.696	0.692	0.688	0.688	12
12	0.857	0.851	0.845	0.839	0.833	0.827	0.821	0.816	0.811	0.806	0.800	0.795	0.789	0.784	0.779	0.774	0.769	0.764	0.760	0.755	0.750	0.750	13
13	0.928	0.922	0.915	0.909	0.903	0.896	0.890	0.884	0.878	0.873	0.867	0.861	0.855	0.850	0.844	0.838	0.833	0.827	0.822	0.817	0.812	0.812	14
14	1.00	0.994	0.986	0.980	0.972	0.965	0.958	0.952	0.947	0.940	0.933	0.927	0.921	0.915	0.908	0.903	0.897	0.891	0.886	0.881	0.875	0.875	15
15	1.07	1.06	1.06	1.05	1.04	1.03	1.02	1.01	1.01	1.01	1.00	0.994	0.987	0.980	0.973	0.967	0.961	0.955	0.950	0.944	0.938	0.938	16
16	1.14	1.14	1.13	1.12	1.11	1.10	1.09	1.09	1.08	1.07	1.07	1.06	1.05	1.05	1.04	1.03	1.03	1.02	1.01	1.01	1.00	1.00	17
17	1.21	1.21	1.20	1.19	1.18	1.17	1.16	1.15	1.14	1.13	1.13	1.12	1.11	1.10	1.10	1.09	1.08	1.08	1.07	1.06	1.06	1.06	18
18	1.29	1.28	1.27	1.26	1.25	1.24	1.23	1.23	1.22	1.21	1.20	1.19	1.18	1.18	1.17	1.16	1.15	1.15	1.14	1.13	1.13	1.13	19
19	1.36	1.35	1.34	1.33	1.32	1.31	1.30	1.29	1.28	1.28	1.27	1.26	1.25	1.24	1.23	1.22	1.22	1.21	1.20	1.19	1.19	1.19	20
20	1.43	1.42	1.41	1.40	1.39	1.38	1.37	1.36	1.35	1.34	1.33	1.33	1.32	1.31	1.30	1.29	1.28	1.27	1.27	1.26	1.25	1.25	21
22	1.57	1.56	1.55	1.54	1.53	1.52	1.51	1.50	1.49	1.48	1.47	1.46	1.45	1.44	1.43	1.42	1.41	1.40	1.39	1.39	1.38	1.38	22
24	1.71	1.70	1.69	1.68	1.67	1.65	1.64	1.63	1.62	1.61	1.60	1.59	1.58	1.57	1.56	1.55	1.54	1.53	1.52	1.51	1.50	1.50	24
26	1.86	1.84	1.83	1.82	1.80	1.79	1.78	1.77	1.76	1.75	1.73	1.72	1.71	1.70	1.69	1.68	1.67	1.66	1.65	1.64	1.63	1.63	26
28	2.00	1.99	1.97	1.96	1.94	1.93	1.92	1.90	1.89	1.88	1.87	1.85	1.84	1.83	1.82	1.81	1.79	1.78	1.77	1.76	1.75	1.75	28
30	2.14	2.13	2.11	2.10	2.08	2.07	2.05	2.04	2.03	2.02	2.00	1.99	1.97	1.96	1.95	1.93	1.92	1.91	1.90	1.89	1.88	1.88	30
35	2.50	2.48	2.47	2.45	2.43	2.41	2.39	2.38	2.36	2.35	2.33	2.32	2.30	2.29	2.27	2.26	2.24	2.23	2.22	2.20	2.19	2.19	35
40	2.86	2.84	2.82	2.80	2.78	2.76	2.74	2.72	2.71	2.69	2.67	2.65	2.64	2.62	2.60	2.58	2.57	2.55	2.54	2.52	2.50	2.50	40
45	3.22	3.20	3.17	3.15	3.13	3.10	3.08	3.06	3.04	3.02	3.00	2.98	2.96	2.94	2.92	2.90	2.89	2.87	2.85	2.83	2.81	2.81	45
50	3.58	3.55	3.52	3.50	3.48	3.45	3.43	3.40	3.38	3.36	3.33	3.31	3.29	3.27	3.25	3.23	3.21	3.19	3.17	3.15	3.13	3.13	50
55	3.93	3.90	3.85	3.85	3.82	3.79	3.77	3.74	3.72	3.70	3.67	3.65	3.62	3.60	3.57	3.55	3.53	3.50	3.48	3.46	3.44	3.44	55
60	4.29	4.26	4.23	4.20	4.17	4.14	4.11	4.08	4.06	4.03	4.00	3.98	3.95	3.93	3.90	3.87	3.85	3.83	3.80	3.78	3.75	3.75	60

$\frac{1}{2}$ T	16,0	16,1	16,2	16,3	16,4	16,5	16,6	16,7	16,8	16,9	17,0	17,1	17,2	17,3	17,4	17,5	17,6	17,7	17,8	17,9	18,0	$\frac{1}{2}$ T
1	0,063	0,062	0,062	0,062	0,061	0,061	0,060	0,060	0,060	0,059	0,059	0,058	0,058	0,058	0,057	0,057	0,057	0,056	0,056	0,055	1	
2	0,125	0,124	0,123	0,123	0,122	0,121	0,120	0,120	0,119	0,118	0,118	0,117	0,116	0,116	0,115	0,114	0,114	0,113	0,112	0,111	2	
3	0,187	0,186	0,185	0,184	0,183	0,182	0,181	0,180	0,179	0,178	0,177	0,176	0,174	0,173	0,172	0,171	0,170	0,169	0,168	0,167	3	
4	0,250	0,249	0,247	0,246	0,244	0,243	0,241	0,240	0,238	0,237	0,235	0,234	0,233	0,231	0,230	0,229	0,228	0,227	0,225	0,224	4	
5	0,313	0,311	0,309	0,307	0,305	0,303	0,302	0,300	0,298	0,296	0,294	0,293	0,291	0,289	0,288	0,286	0,285	0,283	0,281	0,280	5	
6	0,375	0,373	0,371	0,368	0,366	0,364	0,362	0,360	0,357	0,355	0,353	0,351	0,349	0,347	0,345	0,343	0,341	0,339	0,337	0,335	6	
7	0,438	0,436	0,433	0,430	0,427	0,424	0,422	0,420	0,417	0,415	0,412	0,410	0,407	0,405	0,403	0,400	0,398	0,396	0,394	0,391	7	
8	0,501	0,498	0,495	0,492	0,488	0,485	0,482	0,480	0,477	0,474	0,471	0,468	0,465	0,463	0,460	0,457	0,455	0,452	0,450	0,447	8	
9	0,563	0,560	0,556	0,553	0,547	0,546	0,543	0,540	0,536	0,533	0,530	0,527	0,524	0,521	0,518	0,515	0,512	0,509	0,506	0,503	9	
10	0,625	0,622	0,618	0,614	0,610	0,606	0,602	0,599	0,595	0,592	0,588	0,585	0,581	0,578	0,575	0,572	0,568	0,565	0,562	0,558	10	
11	0,688	0,683	0,679	0,675	0,671	0,667	0,663	0,659	0,655	0,651	0,647	0,643	0,639	0,635	0,632	0,628	0,625	0,622	0,618	0,615	11	
12	0,750	0,745	0,741	0,736	0,732	0,727	0,723	0,720	0,715	0,710	0,706	0,702	0,698	0,694	0,690	0,686	0,682	0,678	0,674	0,670	12	
13	0,812	0,807	0,802	0,798	0,793	0,788	0,784	0,779	0,774	0,769	0,764	0,760	0,756	0,751	0,747	0,743	0,739	0,734	0,730	0,726	13	
14	0,875	0,870	0,865	0,860	0,855	0,849	0,844	0,838	0,833	0,828	0,823	0,819	0,814	0,809	0,805	0,800	0,796	0,791	0,786	0,782	14	
15	0,938	0,932	0,927	0,921	0,915	0,910	0,904	0,898	0,893	0,888	0,882	0,877	0,872	0,867	0,862	0,857	0,853	0,848	0,843	0,838	15	
16	1,00	0,994	0,988	0,982	0,976	0,970	0,964	0,958	0,952	0,946	0,940	0,935	0,930	0,925	0,920	0,915	0,910	0,904	0,899	0,894	16	
17	1,06	1,06	1,05	1,04	1,04	1,03	1,03	1,02	1,01	1,01	1,00	0,994	0,989	0,983	0,978	0,973	0,967	0,961	0,955	0,950	17	
18	1,13	1,12	1,11	1,10	1,10	1,09	1,09	1,08	1,07	1,07	1,06	1,05	1,05	1,04	1,03	1,03	1,02	1,02	1,01	1,01	18	
19	1,19	1,18	1,17	1,17	1,16	1,15	1,14	1,14	1,13	1,13	1,12	1,11	1,10	1,10	1,09	1,09	1,08	1,07	1,07	1,06	19	
20	1,25	1,24	1,23	1,23	1,22	1,21	1,21	1,20	1,19	1,18	1,18	1,17	1,16	1,15	1,15	1,14	1,14	1,13	1,12	1,12	20	
22	1,38	1,37	1,36	1,35	1,34	1,33	1,33	1,32	1,31	1,30	1,29	1,29	1,28	1,27	1,27	1,26	1,25	1,24	1,23	1,22	22	
24	1,50	1,49	1,48	1,47	1,46	1,45	1,44	1,43	1,42	1,41	1,40	1,40	1,39	1,38	1,37	1,37	1,36	1,35	1,34	1,33	24	
26	1,63	1,62	1,61	1,60	1,59	1,58	1,57	1,56	1,55	1,54	1,53	1,52	1,51	1,50	1,50	1,49	1,48	1,47	1,46	1,45	26	
28	1,75	1,74	1,73	1,72	1,71	1,70	1,69	1,68	1,67	1,66	1,65	1,64	1,63	1,62	1,61	1,60	1,59	1,58	1,57	1,56	28	
30	1,88	1,86	1,85	1,84	1,83	1,82	1,81	1,80	1,79	1,78	1,77	1,75	1,74	1,73	1,72	1,71	1,71	1,70	1,69	1,68	30	
35	2,19	2,17	2,16	2,15	2,14	2,12	2,11	2,10	2,09	2,07	2,06	2,05	2,04	2,03	2,01	2,00	1,99	1,98	1,97	1,96	35	
40	2,50	2,49	2,47	2,45	2,44	2,43	2,41	2,40	2,38	2,37	2,35	2,34	2,33	2,31	2,30	2,29	2,28	2,26	2,25	2,24	40	
45	2,81	2,80	2,78	2,76	2,75	2,73	2,71	2,70	2,68	2,67	2,65	2,63	2,61	2,60	2,59	2,57	2,56	2,55	2,53	2,51	45	
50	3,13	3,11	3,09	3,07	3,05	3,03	3,01	2,99	2,98	2,96	2,95	2,93	2,91	2,89	2,88	2,86	2,85	2,83	2,81	2,79	50	
55	3,44	3,42	3,40	3,38	3,36	3,34	3,32	3,30	3,28	3,26	3,24	3,22	3,20	3,18	3,16	3,15	3,13	3,11	3,09	3,07	55	
60	3,75	3,73	3,71	3,68	3,66	3,64	3,62	3,60	3,57	3,55	3,53	3,51	3,49	3,47	3,45	3,43	3,41	3,39	3,37	3,35	60	

Hilfstabellen zur Berechnung der wahren Bodenschwankung. Die Tabellen geben $\Sigma \cdot 10^6$.

$\frac{1}{2} \tau$	18,0	18,1	18,2	18,3	18,4	18,5	18,6	18,7	18,8	18,9	19,0	19,1	19,2	19,3	19,4	19,5	19,6	19,7	19,8	19,9	20,0	$\frac{1}{2} \tau$
1	0,065	0,0655	0,066	0,0665	0,067	0,0675	0,068	0,0685	0,069	0,0695	0,07	0,0705	0,071	0,0715	0,072	0,0725	0,073	0,0735	0,074	0,0745	0,075	1
2	0,111	0,1115	0,112	0,1125	0,113	0,1135	0,114	0,1145	0,115	0,1155	0,116	0,1165	0,117	0,1175	0,118	0,1185	0,119	0,1195	0,12	0,1205	0,121	2
3	0,167	0,1675	0,168	0,1685	0,169	0,1695	0,17	0,1705	0,171	0,1715	0,172	0,1725	0,173	0,1735	0,174	0,1745	0,175	0,1755	0,176	0,1765	0,177	3
4	0,222	0,2225	0,223	0,2235	0,224	0,2245	0,225	0,2255	0,226	0,2265	0,227	0,2275	0,228	0,2285	0,229	0,2295	0,23	0,2305	0,231	0,2315	0,232	4
5	0,278	0,2785	0,279	0,2795	0,28	0,2805	0,281	0,2815	0,282	0,2825	0,283	0,2835	0,284	0,2845	0,285	0,2855	0,286	0,2865	0,287	0,2875	0,288	5
6	0,333	0,3335	0,334	0,3345	0,335	0,3355	0,336	0,3365	0,337	0,3375	0,338	0,3385	0,339	0,3395	0,34	0,3405	0,341	0,3415	0,342	0,3425	0,343	6
7	0,389	0,3895	0,39	0,3905	0,391	0,3915	0,392	0,3925	0,393	0,3935	0,394	0,3945	0,395	0,3955	0,396	0,3965	0,397	0,3975	0,398	0,3985	0,399	7
8	0,445	0,4455	0,446	0,4465	0,447	0,4475	0,448	0,4485	0,449	0,4495	0,45	0,4505	0,451	0,4515	0,452	0,4525	0,453	0,4535	0,454	0,4545	0,455	8
9	0,500	0,5005	0,501	0,5015	0,502	0,5025	0,503	0,5035	0,504	0,5045	0,505	0,5055	0,506	0,5065	0,507	0,5075	0,508	0,5085	0,509	0,5095	0,51	9
10	0,555	0,5555	0,556	0,5565	0,557	0,5575	0,558	0,5585	0,559	0,5595	0,56	0,5605	0,561	0,5615	0,562	0,5625	0,563	0,5635	0,564	0,5645	0,565	10
11	0,611	0,6115	0,612	0,6125	0,613	0,6135	0,614	0,6145	0,615	0,6155	0,616	0,6165	0,617	0,6175	0,618	0,6185	0,619	0,6195	0,62	0,6205	0,621	11
12	0,667	0,6675	0,668	0,6685	0,669	0,6695	0,67	0,6705	0,671	0,6715	0,672	0,6725	0,673	0,6735	0,674	0,6745	0,675	0,6755	0,676	0,6765	0,677	12
13	0,722	0,7225	0,723	0,7235	0,724	0,7245	0,725	0,7255	0,726	0,7265	0,727	0,7275	0,728	0,7285	0,729	0,7295	0,73	0,7305	0,731	0,7315	0,732	13
14	0,778	0,7785	0,779	0,7795	0,78	0,7805	0,781	0,7815	0,782	0,7825	0,783	0,7835	0,784	0,7845	0,785	0,7855	0,786	0,7865	0,787	0,7875	0,788	14
15	0,833	0,8335	0,834	0,8345	0,835	0,8355	0,836	0,8365	0,837	0,8375	0,838	0,8385	0,839	0,8395	0,84	0,8405	0,841	0,8415	0,842	0,8425	0,843	15
16	0,889	0,8895	0,89	0,8905	0,891	0,8915	0,892	0,8925	0,893	0,8935	0,894	0,8945	0,895	0,8955	0,896	0,8965	0,897	0,8975	0,898	0,8985	0,899	16
17	0,945	0,9455	0,946	0,9465	0,947	0,9475	0,948	0,9485	0,949	0,9495	0,95	0,9505	0,951	0,9515	0,952	0,9525	0,953	0,9535	0,954	0,9545	0,955	17
18	1,00	0,9995	0,999	0,9985	0,998	0,9975	0,997	0,9965	0,996	0,9955	0,995	0,9945	0,994	0,9935	0,993	0,9925	0,992	0,9915	0,991	0,9905	0,99	18
19	1,06	1,05	1,04	1,03	1,02	1,01	1,01	1,01	1,01	1,01	1,01	0,9995	0,999	0,9985	0,9979	0,9974	0,997	0,9965	0,996	0,9955	0,995	19
20	1,11	1,10	1,10	1,09	1,08	1,07	1,06	1,05	1,04	1,03	1,03	1,02	1,01	1,01	1,01	1,01	1,01	1,01	1,01	1,01	1,01	20
21	1,16	1,15	1,14	1,13	1,12	1,11	1,10	1,09	1,08	1,07	1,06	1,05	1,04	1,03	1,03	1,02	1,01	1,01	1,01	1,01	1,01	21
22	1,22	1,21	1,20	1,19	1,18	1,17	1,16	1,15	1,14	1,13	1,12	1,11	1,10	1,09	1,08	1,07	1,06	1,05	1,04	1,03	1,02	22
23	1,28	1,27	1,26	1,25	1,24	1,23	1,22	1,21	1,20	1,19	1,18	1,17	1,16	1,15	1,14	1,13	1,12	1,11	1,10	1,09	1,08	23
24	1,33	1,32	1,31	1,30	1,29	1,28	1,27	1,26	1,25	1,24	1,23	1,22	1,21	1,20	1,19	1,18	1,17	1,16	1,15	1,14	1,13	24
25	1,39	1,38	1,37	1,36	1,35	1,34	1,33	1,32	1,31	1,30	1,29	1,28	1,27	1,26	1,25	1,24	1,23	1,22	1,21	1,20	1,19	25
26	1,44	1,43	1,42	1,41	1,40	1,39	1,38	1,37	1,36	1,35	1,34	1,33	1,32	1,31	1,30	1,29	1,28	1,27	1,26	1,25	1,24	26
27	1,50	1,49	1,48	1,47	1,46	1,45	1,44	1,43	1,42	1,41	1,40	1,39	1,38	1,37	1,36	1,35	1,34	1,33	1,32	1,31	1,30	27
28	1,55	1,54	1,53	1,52	1,51	1,50	1,49	1,48	1,47	1,46	1,45	1,44	1,43	1,42	1,41	1,40	1,39	1,38	1,37	1,36	1,35	28
29	1,61	1,60	1,59	1,58	1,57	1,56	1,55	1,54	1,53	1,52	1,51	1,50	1,49	1,48	1,47	1,46	1,45	1,44	1,43	1,42	1,41	29
30	1,67	1,66	1,65	1,64	1,63	1,62	1,61	1,60	1,59	1,58	1,57	1,56	1,55	1,54	1,53	1,52	1,51	1,50	1,49	1,48	1,47	30
35	1,96	1,94	1,93	1,91	1,90	1,89	1,88	1,87	1,86	1,85	1,84	1,83	1,82	1,81	1,80	1,79	1,78	1,77	1,76	1,75	1,74	35
40	2,23	2,21	2,20	2,19	2,18	2,16	2,15	2,14	2,13	2,12	2,11	2,10	2,09	2,07	2,06	2,05	2,04	2,03	2,02	2,01	2,00	40
45	2,50	2,49	2,47	2,46	2,45	2,43	2,42	2,41	2,39	2,38	2,37	2,36	2,35	2,33	2,32	2,31	2,30	2,29	2,27	2,26	2,25	45
50	2,77	2,76	2,75	2,73	2,72	2,71	2,69	2,68	2,66	2,65	2,63	2,62	2,61	2,59	2,58	2,57	2,55	2,54	2,53	2,51	2,50	50
55	3,05	3,04	3,02	3,01	2,99	2,97	2,96	2,95	2,93	2,91	2,90	2,88	2,87	2,85	2,83	2,82	2,81	2,79	2,78	2,77	2,75	55
60	3,33	3,32	3,30	3,28	3,27	3,25	3,23	3,21	3,19	3,18	3,16	3,15	3,13	3,11	3,09	3,08	3,06	3,05	3,03	3,02	3,00	60

Seismische Registrierungen in Göttingen im Jahre 1908.

Zeichenerklärung.

Charakter des Erdbebens:

- I = merklich, II = auffallend, III = stark.
 d (= terrae motus domesticus) = Ortsbeben (am Orte fühlbar).
 v (= „ „ vicinus) = Nahbeben (unter 1000 km).
 r (= „ „ remotus) = Fernbeben (1000–5000 km).
 u (= „ „ ultimus) = sehr fernes Beben (über 5000 km).

Phasen:

- P (= undae primae) = erste Vorläufer (Longitudinalwellen).
 PR_n = nmal an der Erdoberfläche reflektierte erste Vorläufer.
 S (= undae secundae) = zweite Vorläufer (Transversalwellen).
 SR_n = nmal an der Erdoberfläche reflektierte zweite Vorläufer.
 PS = sog. Wechselwellen, d. h. Wellen, die bei der Reflexion an der Erdoberfläche ihren longitudinalen Charakter in transversalen oder umgekehrt verwandelt haben.
 L (= undae longae) = Hauptbeben („lange Wellen“).
 M (= „ „ maximae) = größte Bewegung im Hauptbeben.
 M_{rep1} = Oberflächenwellen, die die Station über den Gegenpunkt erreichen.
 M_{rep11} = Oberflächenwellen, die über Station, Gegenpunkt, Herd die Station zum 2. mal erreichen.
 C (= coda) = Nachläufer.
 F (= finis) = Erlöschen der sichtbaren Bewegung.

Art der Bewegung:

- i (= impetus) = Einsatz.
 e (= emersio) = Auftauchen.
 T = Periode = doppelte Schwingungsdauer.
 A = Amplitude der Erdbewegung, gerechnet von der Ruhelinie aus.
 A_N = N-S-Komponente von A.
 A_E = E-W „ „ „

Zeit und Maß:

Zeit = mittlere Greenwicher, gezählt von Mitternacht zu Mitternacht.

μ = Mikron = $\frac{1}{1000}$ Millimeter.

A ist kein geeignetes Maß für die Heftigkeit eines Bebens, sondern $\frac{\Delta g}{g}$, worin g die Beschleunigung der Schwere, Δg deren Änderung ist. Bei periodischen Störungen ist genähert $\Delta g = \frac{4A}{T^2}$. Wird A in μ , T in Sekunden gemessen, so erhält man Δg in Milligal. 1 Milligal = $\frac{1}{1000}$ Gal = $\frac{1}{1000}$ C-G-S-Einheit der Beschleunigung. Weil $g = \text{ca. } 980 \text{ Gal}$ ist, ist 1 Milligal ca. 1 Milli-ontel der Schwerebeschleunigung g .

Datum	Charakter	Phasen	Zeiten (Greenwich)	Perioden	Amplituden		Bemerkungen
					A _E	A _N	
Jan. 2	I	L	^h 6 ^m 17 ^s bis 27	10—12	0,8 ^μ	1 ^μ / ₄	
„ 4	I	eL M F	23 11 ¹ / ₂ 17 ¹ / ₂ 23	18	1	1	
„ 5	I	i eL M F	2 29 41 56 ¹ / ₂ 3 7 ³ / ₄ 40	17	1	2	
„ 5	I	eL M F	14 42 ¹ / ₂ 46 ¹ / ₃ 50	12	0,5	1	
„ 11	II n	iP PR ₁ S SR ₁ eL M ₁ M ₂ M ₃ F	3 47 14 50 (31) 57 (38) 4 3 (24) 15 ¹ / ₂ 21 ¹ / ₃ 24 ¹ / ₂ 28 ¹ / ₂ 6 15	10 10 17 17 30 19 14	2 1 ¹ / ₂ 6 3 ¹ / ₂ 65 60 60	2 2 7 ¹ / ₂ 3 85 70 12	P ist kein einfacher Stoß, sondern ein allmähliches Reißen.
„ 15	II	P PR ₁ S PS SR ₁ SR ₂ eL M F	13 9 36 12 45 19 46 20 29 25 3 29 6 36 ¹ / ₂ 43 ¹ / ₃ 14 50	3 3 6 6 6 6 26	1 1 2 2 1 0,8 45	1 ³ / ₄ 1 ¹ / ₂ 2 ¹ / ₂ 1 ¹ / ₂ 1,0 1,3 15	Herd 9100 km N-S-lich. SR ₂ tritt kurz nach 13 ^h 30 ^m auf, aber unscharf. Selbst die höheren Reflexionen von S sind angedeutet.
„ 25	I	eL M ₁ M ₂ F	0 3 8 ¹ / ₃ 10 ¹ / ₃ 17	17 17	1 ¹ / ₂ 0,4	0,4 1 ¹ / ₄	
„ 25	I	e eL M F	4 27 48 28 51 29 18 31	— 2 ¹ / ₂	— ?	— 0,2	17000 kg-Pendel.

Datum	Charakter	Phasen	Zeiten (Greenwich)	Perioden	Amplituden		Bemerkungen
					A _E	A _N	
Jan. 27	I	eL M F	^{h m s} 16 31 ¹ / ₃ 38 ² / ₃ 17	11	10	8	Starke mikroseismische Bewegung verdeckt die Vorläufer.
" 31	I	i(P) i(PR ₁) eL M F	4 57 1 58 40 5 11 15 ¹ / ₂ 23	1 1 14	— — 3	1 1 2	} 17000 kg-Pendel.
Febr. 12	I	i eL M ₁ M ₂ M ₃ M ₄ F	23 24 52 35 56 ¹ / ₄ 0 1 ³ / ₄ 5 ³ / ₄ 10 ¹ / ₄ 1	— 26 19 17 14	— 13 15 15 11	— 7 10 14 6	
" 2	I	eL M ₁ M ₂ F	15 15 ¹ / ₄ 21 ¹ / ₄ 26 44	23 21	3 4	3 2	
" 4	I v	e M F	5 3 ¹ / ₂ 4 0 4 ¹ / ₄	1/3	—	0,2	17000 kg-Pendel. Im Vogtland gefühlt.
" 4	I v	e M F	5 13 ¹ / ₄ 13 28 13 ³ / ₄	1/3	—	0,2	17000 kg-Pendel. Im Vogtland gefühlt.
" 5	I	L	22 56 bis 23 11	17—20	3	—	Aus der mikroseismischen Bewegung tauchen lange Wellen auf.
" 9	I	eL M ₁ M ₂ F	4 6 11 12 ¹ / ₃ 37	19 19	5 3	3 5	} Vertikalseismometer.
" 9	II a	i(P) i PR ₁ PR ₂ S	18 22 29 23 49 26 29 28 16 33 1	— 4 9 4 9	— 0,7 1 ¹ / ₄ 1 2	— — — — 5	

Datum	Charakter	Phasen	Zeiten (Greenwich)	Perioden	Amplituden		Bemerkungen
					A _E	A _N	
Febr. 9 Fortsetzung	II u	SR ₁ eL M ₁ M ₂ F	^h 18 ^m 39 ^s 13 50 52 ³ / ₄ 57 ¹ / ₄ 20	^s (17) 21 14	^μ (5) 14 20	^μ (2) 45 9	
„ 10	I	L	15 36 bis 40	9	(2)	0,7	
„ 11	I	e eL M L	13 19 ¹ / ₄ 33 44 14 10	14 19	0,5 3	0,5 2	
„ 14	I	i eL M F	9 5 19 16 18,8 29	2 6	— —	1 1	17000 kg-Pendel.
„ 16	I v	(i) eL M F	1 11 29 12 11 12 33 13 39	³ / ₄	—	0,2	17000 kg-Pendel. In Steiermark gefühlt.
„ 19	I v	eP i (S) M F	21 12 23 35 13 10 54 18	— ¹ / ₃ ³ / ₄ ¹ / ₃ / ₄	? ? ? ?	— ² / ₂ 3 5	Im 17000 kg-Pendel völlig au- gelöst registriert. In Wien gefühlt.
„ 23	I v	eL M F	19 52 12 23 53	³ / ₄	?	0,2	17000 kg-Pendel.
„ 26	I	L	18 51 bis 56	14	1	1	
März 1	I	eL M F	21 4 11 19	17	2	2	
„ 2	I u	P S eL M F	15 41 33 51 14 16 7 13 ² / ₃ 41	4 7 17	0,2 6 3	— 7 3	Herd 8400 km.

Datum	Charakter	Phasen	Zeiten (Greenwich)	Perioden	Amplituden		Bemerkungen
					A _E	A _N	
März 2	I	eL M F	^h 21 ^m 9 ^s 21 ² / ₃ 39	^s 14	^μ 1	^μ 1	
" 4	I	eL M F	0 4 14 ¹ / ₂ 30	14	0,5	0,5	
" 5	II u	P PR ₁ PR ₂ S PS eL M ₁ M ₂ M ₃ F	2 31 4 35 14 37 7 41 36 42 39 3 5 9 13 ¹ / ₂ 21 5 14	6 6 6 8 14 33 23 20	1 1 0,7 3 5 40 40 40	0,5 1 0,5 1 ¹ / ₂ 9 70 80 40	Herd 9 500 km E-W-lich.
" 5	I	L	15 12 bis 15	17	1	1	
" 12	Ir	P PR ₁ S SR ₁ eL M F	19 34 18 36 13 40 44 44 12 45 ¹ / ₂ 52 ¹ / ₂ 20 11	3 3 7 7 10	1 1 1 ³ / ₄ 1 ¹ / ₂ 2	0,6 0,6 1 ¹ / ₃ 2 ¹ / ₂ 2	Herd 4 800 km E-W-lich.
" 13	I	eL M ₁ M ₂ F	18 37 48 56 ¹ / ₂ 19 26	18 18	1 ¹ / ₂ —	— 1 ¹ / ₃	
" 14	Ir	P i(S) M ₁ M ₂ F	19 32 11 35 47 41 42 ¹ / ₂ 20	1 8 9 9	0,5 0,8 0,8 —	— 0,9 — 2	
15	I v	eP (S) M F	7 39 56 40 53 41 47 44	— 3 4	? — —	— 0,9 3	17 000 kg-Pendel.

Datum	Charakter	Phasen	Zeiten (Greenwich)	Perioden	Amplituden		Bemerkungen
					A _E	A _N	
März 15	Iu	P	^h 9 ^m 28 ^s 11	^s 4	^μ 0,7	^μ 1	
		PR ₁	32 17	4	0,7	0,8	
		PR ₂	35 ³ / ₄	7	0,4	0,7	
		PR ₃	37 18	5	0,4	0,5	
		S	42 23	9	0,6	1	
		SR ₁	52 56	9	0,6	1 ¹ / ₂	
		eL	10 18				
		M ₁	32	24	4	6	
		M ₂	36	21	2	6	
		M ₃	56	19	3	4	
" 15	I	P	11 19 27	1	1 ¹ / ₂	0,8	Das Ende des Bebens geht in folgenden Beben unter. Im 17 000 kg-Pendel sehr gut ein ausgesprochenes Maximum fehlt.
		(M)	22 ² / ₃	8	—	0,7	
		F	26				
" 17	I	eL	1 36				
		M	38 ³ / ₄	19	2	3	
		F	51				
" 19	Iu	(P)	3 18 47	4	—	—	i nach dem 17 000 kg-Pendel.
		i	19 15	1 ¹ / ₂	—	0,2	
		(PR ₁)	22 47	4	—	—	
		eL	4 13				
		M	21	30	—	3	
" 20	I	F	5				
		eL	5 57				
		M	6 3 ² / ₃	9	0,2	0,4	
" 21	I	F	13				
		eL	5 54				
		M ₁	6 16 ² / ₃	17	1	1	
		M ₂	19 ² / ₃	17	0,8	2	
" 23	Iu	F	41				Vertikalseismometer. Mikroseismische Bewegung verdeckt die Vorläufer.
		e	12 42 57	2	—	—	
		e(S)	52 13	8	2	—	
		i	58 33	8	2	—	
		eL	13 19				
		M	27	36	25	45	
		F	50				

Datum	Charakter	Phasen	Zeiten (Greenwich)	Perioden	Amplituden		Bemerkungen
					A_E	A_N	
März 25	I u	P	^h 19 ^m 7 ^s 45	^s 5	—	—	} Vertikalseismometer. Herd } 9200 km.
		PR ₁	11 15	(5)	—	—	
		S	18 6	9	1,2	—	
		eL	35				
		M	41	21	6 ^{1/2}	6 ^{1/2}	
		F	20 11				
„ 26/27	III u	P	23 16 13	14	30	10	Herd 9700 km. Chilapo in Mexico zerstört.
		PR ₁	19 40	14	45	25	
		S	26 52	14	50	35	
		PS	28 7	17	120	70	
		SR ₁	32 25	18	90	50	
		eL	45				
		M ₁	55	21	250	150	
		M ₂	0 0	17	200	150	
		F	3				
„ 27	II u	P	4 0 12	6	2	2	Herd 9500 km. In Mexico zer- störendes Beben.
		PR ₁	3 38	8	6	2	
		PR ₂	5 39	8	2	1,4	
		S	10 50	10	1 ^{1/2}	4	
		eL	4 29				
		M	43	18	60	30	
		F	6 40				
„ 27	I	L	19 41 bis 20	14	0,8	1 ^{1/2}	
April 1	I	eL	9 15				
		M	18	14	2 ^{1/2}	5	
		F	27				
„ 2	I u	P	6 2 18	2	—	0,1	Vertikalseismometer gehemmt.
		ePR ₁	9	(2)	—	2	
		S	13 26	14	—	3	
		M	29	14	6	9	
		F	7 20				
„ 4	I u	P	6 26 31	3	1 ^{1/2}	—	Herd 7200 km E-W-lich.
		S	35 15	6	—	1 ^{1/2}	
		eL	47				
		M ₁	54	21	—	6	
		M ₂	58	12	1	2	
		F	7 20				

Datum	Charakter	Phasen	Zeiten (Greenwich)	Perioden	Amplituden		Bemerkungen
					A_E	A_N	
April 7	Iu	e(P)	^h 1 ^m 31 ^s 41	4 ^s	0,5 ^μ	— ^μ	
		eL	2 13				
		M	24	18	0,9	1,7	
		F	51				
„ 7	I	L	16 43 bis 17	17	—	—	
„ 10	Iu	eL	0 14	36	4 1/2	10	
		M	45 1/2				
		F	1 25				
„ 12	I	eL	20 6	19	2	4	
		M	18 1/2				
		F	25				
„ 16	Ir	P	17 46 39	4	2,0	—	Herd 4000 km E-W-lich.
		ePR ₁	48,4	4	2,0	—	
		S	52 58	9	1 1/2	4 1/2	
		eSR ₁	56,2	17	1 1/2	7	
		M	18 1/2	12	1 3/4	2 1/2	
		F	30				
„ 19	Iu	P	8 9 37	4	1 1/2	1	Die Maximalbewegung fällt in den Papierwechsel. Herd 7400 km
		i	11 22	5	1	1 1/2	
		S	18 31	9	9	7	
		F	9 40				
„ 21	I	eL	15 51	25	6	4	
		M ₁	55 1/2				
		M ₂	16 1	24	3	7	
		F	18				

(Von April 22: 22^h bis April 23: 9^h registrierte nur das 17000 kg-Pendel.)

„ 23	I	L	20 5 bis 11	19	1	—	
„ 24	I	e(P) i	14 27 42	— 10	— —	— 8	Vertikalseismometer. L ist zweifelhaft.
„ 26	I	eL M F	18 31 36 51	19	1 1/2	1,0	

Datum	Charakter	Phasen	Zeiten (Greenwich)	Perioden	Amplituden		Bemerkungen
					A _E	A _N	
April 26	I	eL M F	^h ^m ^s 22 32 41 1/2 54	^s 17	^μ —	^μ 2 1/2	
" 27	I	eL M F	5 39 46 53	12	1 1/2	1 1/2	
" 28	I	L	17 28 bis 32	12	1 1/2	2 1/2	
Mai 3	Iu	P	1 0 34	6	1,0	1,0	Herd 8400 km.
		S	10 23	9	1 1/2	3	
		eL	19				
		M F	40 2 45	14	2 1/2	10	
" 5	IIu	eP	6 31 1/2	—	—	—	
		PR ₁	36 13	5	2 1/2	1	
		iS	43 36	11	2	5	
		SR ₁	51 1/2	26	30	10	
		SR ₂	55 1/2	26	25	20	
		SR ₃	59 1/2	26	20	10	
		eL	7 8				
		M ₁	17	21	60	70	
		M ₂	20 1/2	30	50	25	
		F	9				
" 5	Iu	e	11 26 1/2	(3)	—	—	
		i	36 51	10	1 1/2	1,0	
		i	41 59	18	4	2 1/2	
		eL	51				
		M F	12 6 45	17	2 1/2	1 1/2	
" 11	I	eL	14 40				
		M	45 1/2	18	1 1/2	2 1/2	
		F	15 5				
" 12	I	eL	21 5				
		M	12 1/2	14	2	4	
		F	22				

Datum	Charakter	Phasen	Zeiten (Greenwich)	Perioden	Amplituden		Bemerkungen
					A_E	A_N	
Mai 14	I	eL	h m s	s	μ	μ	
		M	15 5				
		F	16 $\frac{1}{2}$ 27	13	—	0,5	
„ 15	II n	P	8 42 26	12	1,0	4 $\frac{1}{2}$	Herd 7500 km N-S-lich. Dies folgt sowohl aus S—P als auch nach der Angenheisterschen Formel aus M_{repI} — M für $v = 3,5$ km/sec. M_{repI} ist hier auffallend stark ausgebildet.
		PR ₁	44 53	12	0,7	3	
		S	51 27	10	2 $\frac{1}{2}$	8	
		SR ₁	56 27	21	5	20	
		SR ₂	59 8	15	3	5 $\frac{1}{2}$	
		eL	9 6				
		M	13 $\frac{1}{2}$	16	6	40	
		M_{repI}	11 24	17	—	1 $\frac{1}{2}$	
„ 17	II r	F	45				Herd 2050 km.
		P	12 35 13	5	6	6	
		S	38 49	10	7 $\frac{1}{2}$	16	
		M	44 $\frac{1}{2}$	14	7	20	
„ 20	I	F	13 30				F fällt in den Papierwechsel.
		eL	8 2				
„ 20	I	M	49	14	1 $\frac{1}{2}$	3	
		F					
„ 20	I	eL	16 11				
		M	14	14	—	1	
		F	30				
„ 24	I	eL	9 8 $\frac{1}{2}$				17000 kg-Pendel. In Ungarn gefühlt.
		M	12 $\frac{1}{2}$	8	—	0,5	
		F	16				
„ 28	I	eL	8 27 49				In Ungarn gefühlt.
		M	31	9	0,5	0,7	
		F	34				
„ 30	I	eL	15 1 $\frac{1}{2}$				
		M	5 $\frac{1}{2}$	9	1 $\frac{1}{2}$	3	
		F	14				
Juni 2	I	eL	14 20				
		M	24 $\frac{1}{2}$	9	0,7	0,7	
		F	15				

Datum	Charakter	Phasen	Zeiten * (Greenwich)			Perioden		Amplituden		Bemerkungen
			h	m	s			A _E	A _N	
ni 2	I	e	22	33	37			μ	μ	17000 kg-Pendel.
		M		34		6		—	2	
		F		35						
3	IIr	P	16	4	46	4		0,6	—	Herd 5500 km E-W-lich.
		PR ₁		6	49	4		0,9	—	
		S		11	56	8		1 ¹ / ₄	1 ¹ / ₂	
		SR ₁		15	42	10		1 ¹ / ₂	0,5	
		eL		22						
		M		30 ¹ / ₂		12		5	8	
5	I	F	18							
		eL	11	30						
		M		36 ³ / ₄		9		0,9	1,2	
5	I	F		45						
		eL	13	35						
		M		41		17		0,8	0,8	
6	I	F	14							
		L	15	13	bis	—		—	—	
				25						
9	I	eL	3	36						
		M		52		12		1 ¹ / ₂	2	
		F		4	10					
9	I	eL	10	9						
		M		19		12		0,7	1,0	
		F		32						
9	I	eL	19	41						
		M		44 ² / ₃		10		0,9	0,7	
		F		50						
11	I	eL	3	51						
		M		53		9		0,7	1 ¹ / ₄	
		F		58						
23	Ir	P	14	18	20	3		—	—	Herd 1900 km. In Smyrna gefühlt.
		S		21	42	6		0,5	0,6	
		eL		23						
		M		25		12		3	3	
		F		40						

Datum	Charakter	Phasen	Zeiten (Greenwich)	Perioden	Amplituden		Bemerkungen
					A_E	A_N	
Juni 23	I r	P	h m s 14 45 41	3	—	—	Herd 1900 km. In Smyrna g fühlt.
		S	49 4	5	0,3	0,3	
		eL	50				
		M	52	12	1 $\frac{1}{4}$	3	
		F	15 5				
„ 23	I r	P	16 6 12	3	—	—	Herd 1900 km. In Smyrna g fühlt.
		S	9 36	6	0,5	0,6	
		eL	11				
		M	12	12	1 $\frac{1}{2}$	3	
		F	25				
„ 25	I	L	11 37 bis 41	9	—	0,8	
„ 27	I u	e	14 33 $\frac{3}{4}$	6	—	—	
		e	37	6	—	0,3	
		e	44 $\frac{1}{4}$	12	0,5	0,8	
		eL	15 4				
		M	14	14	3	8	
„ 28	I u	F	16 15				
		P	17 15 6	2	—	—	Vertikalseismometer. Herd 6200 km.
		S	22 56	5	0,6	—	
		SR ₁	27 $\frac{1}{4}$	12	0,5	0,6	
		eL	34				
„ 29	I	M	38	12	0,5	2	
		F	18				
		L	14 30 bis 45	12	—	0,8	
„ 30	I	eL	3 12				
		M	22	14	0,3	1	
		F	45				
Juli 1	I	eL	8 10				Der Beginn des Beben fällt den Papierwechsel.
		M	14	24	5	10	
		F	40				
„ 3	I	L	1 48 bis 55	12	—	1	

Num- tum	Charakter	Phasen	Zeiten (Greenwich)	Perioden	Amplituden		Bemerkungen
					A_E	A_N	
7	I	L	^h 9 ^m 59 bis ^s 10 4	9 ^s	0,5 ^μ	0,5 ^μ	
8	I	eL M F	3 27 29 1/2 42	24	—	1	
8	Ir	P S eL M F	12 56 43 13 2 2 6 11 1/2 14 10	3 10 17	0,3 1 1/2 3 1/2	2 4 17	Herd 3500 km N-S-lich
8	Ir	P S eL M F	16 42 30 47 47 52 57 1/2 17 15	— 10 17	— — 0,4	— 1 3 1/2	Vertikalseismometer. Herd 3500 km.
10	Iv	P S M F	2 15 8 16 42 18 23	1 1 1/2 5	— 8 5	1 4 6	Bei Udine gefühlt. Herd 800 km.
10	Iv	eP S M F	6 41 3/2 43 7 44 1/2 50	1 1 5	— 3 1 1/2	0,4 3 2 1/2	Bei Udine gefühlt.
12	I	e i M F	19 5 6 32 15 1/2 23	— 7 14	— 0,5 0,5	— 0,9 0,7	
13	In	(P) (S) eL M ₁ M ₂ F	21 15 2 24 15 37 47 22 0 50	— 12 15 18	— 0,5 3 1/2 3	— 0,8 7 1/2 0,5	

Datum	Charakter	Phasen	Zeiten (Greenwich)	Perioden	Amplituden		Bemerkungen	
					A _E	A _N		
Juli 16	I	P	^h 17 ^m 3 ^s 54	^s 3	^μ —	^μ —	Vertikalseismometer. Herd 9 000 km.	
		S	14 4	8	3 ^{1/2}	1		
		PS	14 44	8	2 ^{1/2}	1 ^{1/2}		
		M	40	30	4	1		
		F	18					
„ 26	Iu	eL	16 57	24	—	9		
		M	17 2					
		F	40					
„ 26	Iu	eL	18	25	—	S		
		M	15 ^{1/2}					
		F	50					
„ 31	Iv	P	7 34 47	1	—	0,5	Im Friaul geföhlt.	
		S	35 55	1	3	1 ^{1/2}		
		M	36 40	9	1	2 ^{1/2}		
		F	41					
Aug. 4	Ir	i	2 14 46	—	—	—	Vertikalseismometer. In Alpi verheerendes Beben.	
		eL	18	17	10	3		
		M	20 ^{1/2}					
		F	55					
„ 9	I	eL	16 51	24	3	3		
		M	56 ^{1/2}					
		F	17 15					
„ 9	I	P	19 6 21	3	0,3	1,0	Herd 2400 km N-S-lich.	
		S	10 23	10	0,8	2		
		eL	12 ^{1/2}	18	3	4 ^{1/2}		
		M	14					
		F	25					
„ 11	I	i	13 41	8	0,5	0,6		
		i	43	8	0,5	0,6		
		L	49 bis	(10)	(0,3)	(0,5)		
			14 25					
„ 11	I	L	16 31 bis	(14)	(0,5)	(0,7)		
			41					
„ 11	I	L	17 52 bis	(12)	(0,7)	(1)		
			58					

Datum	Charakter	Phasen	Zeiten (Greenwich)	Perioden	Amplituden		Bemerkungen
					A_E	A_N	
Aug. 12	I u	eL M F	^h ^m ^s 16 47 17 1 1/2 18	^s 24	μ 8	μ 13	
" 12	I	e e eL M F	19 6 1/2 12 40 50 1/2 20 30	10 14 15	0,3 0,5 1 3/4	0,5 1 1/3 3	
Vom 13. bis 21. keine Registrierungen wegen Arbeiten an den Instrumenten.							
Aug. 22	I	e eL M F	12 33 1/2 37 41 13	— 12	— 3 1/2	— 2	
" 22	I u	P (eS) M F	19 29 37 42 1/2 20 6 21	1 1/2 17	3 1 1/3	0,8 3	
" 23	I	eL M F	22 0 10 30	14	0,5	1 1/3	
" 29	I	P S eL M F	18 17 17 23 58 30 32 1/2 19 10	8 10 17	1,0 4 7	0,3 3 7	Herd 5000 km E-W-lich.
" 31	I	e(P) e(S) M F	1 28 4 29 13 29 1/3 30 1/2	— 5	— 0,6	— 0,6	
" 31	I	L	9 4 1/2 bis 5 1/2	14	1	2	
Sept. 1	I	L	12 50 bis 59	17	1 1/2	2 1/2	

Datum	Charakter	Phasen	Zeiten (Greenwich)	Perioden	Amplituden		Bemerkungen
					A _E	A _N	
Sept. 3	I	eL M ₁ M ₂ F	^h ^m ^s 12 59 1/2 13 2 15 18	^s 12 12	^μ 1 1/2 0,7	^μ 0,8 0,3	
„ 4	II r	P S eL M ₁ M ₂ F	16 58 14 17 3 54 6 1/2 9 1/2 11 18 6	4 14 15 12	— 7 1/2 10 ?	— 4 2 1/2 3	Herd 3900 km. E-W-Kö. undeutlich.
„ 9	I	e eL M F	6 57 1/4 7 7 11 1/2 40	14 20	— 5	0,7 2	
„ 12/13	I	L	23 50 bis 58	14	—	0,7	
„ 13	I	eL M	4 54 5 3 30	14	1 1/2	2	
„ 16	I	eL M ₁ M ₂ F	11 5 6 2/3 15 30	14 14	— 1	2 1/2 3	
„ 21	I u	i i i M F	6 54 34 7 2/3 3 59 51 2/3 9 40	9 10 14 17	? ? ? ?	1 4 4 7	E-W-Komp. undeutlich.
„ 23	I u	(P) (S) eL M F	7 16 43 26 18 45 2/3 58 1/2 8 30	8 10 17	— 0,1 0,7	— 0,2 3	Vertikalseismometer.
„ 24	I	e eL M F	0 13 3/4 21 23 36	6 16	— —	— 2	

Datum	Charakter	Phasen	Zeiten (Greenwich)	Perioden	Amplituden		Bemerkungen
					A _E	A _N	
sept. 24	I	(P) eL M F	^h 1 0 3 7 11 50	^s 6 12	— 2 1/2	0,6 3	
" 26	I	eL M F	6 41 7 35	17	—	2	
" 28	II r	P S eL M ₁ M ₂ F	6 32 48 37 14 41 42 1/2 45 7 50	6 8 15 18	— 15 ? ?	0,6 9 20 25	Herd 2700 km. E-W-Komponente undeutlich.
okt. 4	I	eL M F	11 53 58 1/2 12 14	20	?	4 1/2	E-W-Komponente undeutlich.
" 5	I	e eL M F	3 5 1/2 12 14 1/2 36	— 17	— ?	— 4	
" 6	I v	P eL M F	21 42 47 46 1/2 49 22 15	4 12	6 1/2 6	1,0 5	In den Karpaten gefühlt.
" 7	I u	(e) e eL M F	1 5 1/2 15 1/2 45 2 0 30	— 14 19	— 0,5 5 1/2	— 0,7 5	Vertikalseismometer.
" 10	I u	(P) (S) eL M F	15 6 51 16 26 37 49 1/2 ?	4 6 17	— 0,3 1 1/2	0,7 0,9 4	
" 10	I	L	16 38 bis 50	10	0,7	1 1/2	

Datum	Charakter	Phasen	Zeiten (Greenwich)	Perioden	Amplituden		Bemerkungen
					A _E	A _N	
Okt. 13	Iu	P	^h ^m ^s 5 19 37	^s 5	? ^μ	? ^μ	Nach dem Vertikalseismometer Das 1200 kg-Pendel war aus Betrieb.
		PR ₁	22 55	5	?	?	
		eS	30 ^{1/2}	14	?	?	
		eL	43				
		M	6 8 ^{1/2}	27	?	?	
		F	40				
„ 14	IIr	P	15 2 44	4	0,9	3 ^{1/2}	Herd 3300 km N-S-lich.
		S	7 48	17	3 ^{1/2}	4	
		eL	11 ^{1/2}				
		M	13 ^{1/2}	24	40	20	
		F	16 30				
20	Iu	(P)	2 56 32	5	—	—	Vertikalseismometer.
		eS	3 7	9	0,7	0,5	
		eL	32				
		M	38	14	2	6	
		F	4 40				
„ 20	Iu	(P)	5 52	6	—	—	Vertikalseismometer.
		eS	6 3 53	8	0,5	0,6	
		eL	26				
		M	35 ^{1/2}	14	2	5 ^{1/2}	
		F	7 30				
„ 21	Iv	e	13 43 25				17000 kg-Pendel. Im Vogel gefühlt.
		M	58	0,6	?	0,5	
		F	45				
„ 21	Iv	eP	13 50 18	—	?	—	id.
		S	44	^{1/4}	?	0,1	
		M	56	0,6	?	0,3	
		F	51 ^{1/2}				
„ 21	Iv	P	14 4 54	0,2	?	0,1	id.
		S	5 19	0,3	?	(0,4)	
		M	28	0,8	2	1	
		F	8				
„ 21	Iv	e	14 12	—	—	—	id.
		M	12 37	0,3	—	0,1	
		F	13				

Datum	Charakter	Phasen	Zeiten (Greenwich)			Perioden		Amplituden		Bemerkungen
			h	m	s			A _E	A _N	
21. 21	Iv	eP S M F	14	50	8	—	—	—	—	17 000 kg-Pendel. Im Vogtland gefühlt.
					38	0,5	?	?	0,1	
					49	0,6	—	—	0,3	
				51 ¹ / ₂						
21	Iv	eP S M F	15	7	5	—	—	—	—	id.
					28	0,3	?	?	0,15	
					40	0,6	—	—	0,3	
				8 ¹ / ₂						
21	Iv	e M F	18	25	10					id.
					44	0,6	—	—	0,2	
				26 ¹ / ₂						
21	Iv	P S M F	20	40	12	0,3	?	?	0,15	id.
					33	0,2	3	3	0,3	
					44	0,6	1 ¹ / ₂	2	2	
				42						
21	Iv	e (S) M F	21	53	49	—	—	—	—	id.
					8	0,2	?	?	(0,05)	
					19	0,4	—	—	0,2	
				54 ¹ / ₂						
22	Iv	eP M F	21	43	18	—	—	—	—	id.
					48	0,8	0,3	0,3	0,8	
				45						
23	Iv	P S M F	5	47	35	0,3	?	?	0,1	id.
					56	0,2	?	?	0,3	
				48	7	0,6	?	?	0,6	
				51						
23	Iv	eP S M F	12	51	12	—	?	?	—	id.
					35	0,2	?	?	0,3	
					44	0,8	?	?	0,4	
23	Iv	P S M F	super- poniert							id.
			12	52	5	0,8	?	?	0,7	
				53 ¹ / ₂						

Datum	Charakter	Phasen	Zeiten (Greenwich)	Perioden	Amplituden		Bemerkungen
					A_E	A_N	
Okt. 23	Iv	P	^h 19 ^m 26 ^s 23	^s 0,2	^μ ?	^μ 0,1	17 000 kg-Pendel. Im Vogt gefühlt.
		S	43	0,2	?	0,15	
		M	55	0,4	?	0,5	
		F	27 ¹ / ₂				
„ 23	I	P	20 22 1	4	6	0,7	F geht in mikroseismis Bewegung unter.
		(PR ₁)	23 50	4	5 ¹ / ₂	1 ¹ / ₂	
		(S)	28 23	10	2 ¹ / ₂	1	
		i(PS)	29 48	9	3 ¹ / ₂	3	
		eL	32				
		M	37 ¹ / ₂	8	6	8	
„ 24	Iv	P	ca. 21 ^h 10 ^m				17 000 kg-Pendel. Im Vogt gefühlt.
		S	15 56 50	—	?	—	
		M	57 10	0,2	?	0,2	
		F	58 ¹ / ₂	0,5	0,3	0,9	
„ 24	I	e	19 1				id.
		M	32	0,6	?	0,3	
		F	1 ³ / ₄				
„ 24	I	P	21 24 36	3	6 ¹ / ₂	1 ¹ / ₂	Das Beben gleicht demjen vom 23 m. c. 20 ^h 20 ^m auffal Beide Herde liegen wohl in tralassen.
		(PR ₁)	26 28	3	4	1 ¹ / ₂	
		(S)	30 59	10	7	3	
		i(PS)	32 35	12	6	3	
		(SR ₁)	34 38	9	7	3	
		eL	35				
		M	41	12	5	5 ¹ / ₂	
„ 28	I	L	0 40 bis 49	14	—	1	
„ 29	I	L	10 52 bis 57	14	1 ¹ / ₂	1 ¹ / ₂	
„ 30	Ir	P	11 34 7	6	0,8	0,3	Herd 2500 km E-W-lich.
		S	38 21	14	1 ¹ / ₂	1 ¹ / ₂	
		eL	43				
		M	46	14	2 ¹ / ₂	4 ¹ / ₂	
		F	12 10				

Datum	Charakter	Phasen	Zeiten (Greenwich)	Perioden	Amplituden		Bemerkungen
					A _E	A _N	
Nov. 2	Iu	eP	^h ^m ^s 5 28	^s 6	^μ 0,8	^μ 0,6	F fällt in den Papierwechsel.
		S	38 32	17	3 1/2	12	
		SR ₁	44 52	17	3 1/2	5	
		SR ₂	48 37	17	7	2 1/2	
		M	6 13 1/2	17	6 1/2	15	
		F	?				
" 3	Iv	e(P)	11 0 58	—	?	—	17000 kg-Pendel. Im Vogtland gefühl.
		S	1 21	0,6	?	0,05	
		M	29	0,8	?	0,3	
		F	3,0				
" 3	Iv	e	11 11 (12)	—	?	—	id.
		(S)	32	0,3	?	0,05	
		M	39	0,8	?	0,1	
		F	12				
" 3	Iv	e	11 13 (45)	—	?	—	id.
		(S)	14 1	0,4	?	0,05	
		M	8	0,7	?	0,1	
		F	14,5				
" 3	Iv	eP	11 39 (15)	—	?	—	id.
		S	41	0,4	?	0,1	
		M	48	0,8	?	0,15	
		F	40,4				
" 3	Iv	e	11 44 (26)	—	?	—	id.
		S	51	0,5	?	0,05	
		M	58	0,3	?	0,1	
		F	45,5				
" 3	Iv	eP	11 47 35	—	?	—	id.
		S	48 0	0,5	?	0,1	
		M	7	0,8	?	0,3	
		F	49,7				
" 3	Iv	P	11 59 9	—	?	—	id.
		S	35	0,5	?	0,1	
		M	42	1,0	?	0,2	
		F	12 1,0				

Datum	Charakter	Phasen	Zeiten (Greenwich)	Perioden	Amplituden		Bemerkungen
					A_g	A_N	
Nov. 3	Iv	P	^h 12 ^m 2 ^s 37	0,8	? ^μ	0,15 ^μ	17 000 kg-Pendel. Im Vogtland gefühlt.
		S	3 3	0,6	?	0,4	
		M	11	0,8	?	0,8	
		F	6,9				
„ 3	Iv	eS	12 7 30	0,6	?	0,05	id.
		M	36	0,6	?	0,05	
		F	8				
„ 3	Iv	eP	12 23 45	—	?	—	id.
		M	24 19	0,3	?	0,15	
		F	25,0				
„ 3	Iv	eP	12 45 10	—	?	—	id.
		S	35	0,3	?	0,1	
		M	42	0,3	?	0,2	
		F	46				
„ 3	Iv	eP	12 47 16	—	?	—	id.
		S	44	0,6	?	0,2	
		M	55	0,7	?	1,0	
		F	50,2				
„ 3	Iv	P	13 25 30	1,2	?	0,3	id.
		S	56	1,2	?	1 ¹ / ₃	
		M	26 3	1,0	?	2 ¹ / ₃	
		F	31				
„ 3	Iv	e	14 41 (40)	—	?	—	id.
		S	42 6	0,5	?	0,15	
		M	13	0,7	?	0,3	
		F	43 ¹ / ₃				
„ 3	Iv	e	15 44 56	—	?	—	id.
		M	45 3	0,8	?	0,3	
		F	45,5				
„ 3	Iv	e	17 18 37	—	?	—	id.
		M	40	0,6	?	0,1	
		F	19,0				

Datum	Charakter	Phasen	Zeiten (Greenwich)	Perioden	Amplituden		Bemerkungen
					A _E	A _N	
Nov. 3	Iv	e	h m s	s	μ	μ	„Reißen“. 17000 kg-Pendel. Im Vogtland gefühlt.
		P	17 21 (56)				
		S	22 14	1,0	?	1,0	
		M	41	1,2	?	6 ¹ / ₂	
„ 3	Iv	F	49	1,2	?	3,0	F geht in das folgende Beben über.
			?				
		eP	19 2 38	—	?	—	
		S	3 6	0,3	?	0,4	
„ 3	Iv	M	12	1,0	?	0,3	17000 kg-Pendel. Im Vogtland gefühlt.
		F	3,8				
		P	19 22 31	—	?	—	
		S	56	0,3	?	0,3	
„ 3	Iv	M	23 3	0,8	?	0,6	id.
		F	23,7				
		e	19 25 36	—	?	—	
		M	43	0,7	?	0,15	
„ 3	Iv	F	25,8				id.
		e	20 11 28	—	?	—	
		S	54	0,4	?	0,2	
		M	12 1	1,0	?	0,4	
„ 3	Iv	F	12,8				id.
		eP	20 30 13	—	?	—	
		S	39	0,3	?	0,3	
		M	45	1,0	?	0,4	
„ 3	Iv	F	31,7				id.
		e	21 0 55	—	?	—	
		M	1 1	(0,4)	?	(0,15)	
		F	1,2				
„ 3	Iv	S	21 33 15	0,3	?	0,15	id.
		M	22	0,7	?	0,3	
		F	33,5				
		P	22 4 46	0,3	?	0,15	
„ 3	Iv	M	5 20	0,8	?	0,6	id.
		F	6,7				

Datum	Charakter	Phasen	Zeiten (Greenwich)	Perioden	Amplituden		Bemerkungen
					A_E	A_N	
Nov. 3	Iv	eS	^h 22 ^m 43 (^s 23)	^s 0,4	^μ ?	^μ 0,3	17000 kg-Pendel. Im Vogtlar gefühl.
		M	31	0,9	?	0,3	
		F	44,4				
" 3	Iv	S	23 26 2	0,2	?	0,1	id.
		M	8	0,9	?	0,1	
		F	26,7				
" 3	Iv	eS	23 37 (1)	0,7	?	(0,1)	id.
		M	8	0,9	?	0,15	
		F	37 1/2				
" 4	Iv	e	1 45 37	—	?	—	id.
		M	48	0,6	?	0,1	
		F	46,0				
" 4	Iv	P	1 55 46	0,3	?	0,05	id.
		S	56 12	0,3	?	0,2	
		M	19	0,9	?	0,5	
		F	58				
" 4	Iv	(e)	2 25 52	—	?	—	id.
		S	26 14	0,3	?	0,05	
		M	25	0,7	?	0,2	
		F	27				
" 4	Iv	eP	2 38 7	—	?	—	id.
		S	33	0,6	?	0,1	
		M	40	0,8	?	0,15	
		F	?				
" 4	Iv	M	2 39 34	0,6	?	0,05	17000 kg-Pendel. Im Vogtlar gefühl.
		F	39,8				
" 4	Iv	e	3 28 7	—	?	—	id.
		S	31	0,3	?	0,1	
		M	38	0,8	?	0,1	
		F	29,0				
" 4	Iv	P	3 33 37	0,8	?	0,2	id.
		S	34 4	0,8	?	1 3/4	
		M	11	1,0	?	2	
		F	37				

F geht in das folgende Beben über

17000 kg-Pendel. Im Vogtlar
gefühl.

Datum	Charakter	Phasen	Zeiten (Greenwich)	Perioden	Amplituden		Bemerkungen
					A _E	A _N	
Nov. 4	Iv	P	^h ^m ^s 3 50 14	^s —	^μ ?	^μ —	17 000 kg-Pendel. Im Vogtland gefühlt. F geht in das folgende Beben über.
		S	38	0,4	?	0,1	
		M	46	0,7	?	0,2	
		F	?				
" 4	Iv	M	3 51 2	0,6	?	0,3	17 000 kg-Pendel. Im Vogtland gefühlt.
		F	52,8				
" 4	Iv	e	4 12 28	—	?	—	id.
		S	51	0,4	?	0,3	
		M	58	0,6	?	0,2	
		F	13,8				
" 4	Iv	P	4 50 5	0,2	?	0,05	id.
		S	31	0,4	?	0,4	
		M	38	0,8	?	0,4	
		F	52,5				
" 4	Iv	P	5 1 26	0,8	?	0,05	id.
		S	51	0,4	?	0,5	
		M	58	1,0	?	0,8	
		F	?				
" 4	Iv	e	5 4 (6)	—	?	—	17 000 kg-Pendel. Im Vogtland gefühlt.
		M	20	0,5	?	0,1	
		F	4,8				
" 4	Iv	e	5 5 (36)	—	?	—	id.
		S	58	0,4	?	0,1	
		M	6 4	0,7	?	0,1	
		F	6,6				
" 4	Iv	P	6 3 14	0,9	?	0,1	id.
		S	40	0,4	?	1 ³ / ₄	
		M	48	1,1	?	0,9	
		F	5,9				
" 4	Iv	P	6 32 25	0,8	?	0,05	id.
		S	52	0,4	?	0,3	
		M	59	0,8	?	0,8	
		F	34 ¹ / ₂				

Datum	Charakter	Phasen	Zeiten (Greenwich)			Perioden		Amplituden		Bemerkungen
			h	m	s	s		A _E	A _N	
Nov. 4	Iv	eP S M F	6	36	(8) 37 44 38,8	— 0,5 0,8		? ? ?	— 0,3 0,3	17 000 kg-Pendel. Im Vogtl gefühl.
"	4 Iv	e M F	7	36	(51) 37 ?	— 0,8		? ?	— 0,8	id. F geht in das folgende Beben über
"	4 Iv	eS M F	7	37	45 53 39,0	(0,7) 1,1		? ?	(0,3) 0,2	17000 kg-Pendel. Im Vogtl gefühl.
"	4 Iv	eS M F	8	5	(16) 24 5,5	0,7 0,9		? ?	0,1 0,1	id.
"	4 Iv	e M F	8	9	52 58 10	— 0,8		? ?	— 0,1	id.
"	4 Iv	eP S M F	8	15	(49) 16 18 23 17,8	— 0,3 0,8		? ? ?	— 0,2 0,5	id.
"	4 Iv	S M F	8	21	53 58 22,5	0,4 0,7		? ?	0,15 0,15	id.
"	4 Iv	e M F	8	28	8 21 28,7	— 0,8		? ?	— 0,1	id.
"	4 Iv	e S M F	8	36	9 32 41 ?	— 0,5 0,8		? ? ?	— 0,1 0,1	id. F geht in das folgende Beben über
"	4 Iv	M F	8	37	46 38	0,8		? ?	0,1	17000 kg-Pendel. Im Vogtl gefühl.

Num.	Charakter	Phasen	Zeiten (Greenwich)			Perioden		Amplituden		Bemerkungen
			h	m	s			A _E	A _N	
4	Iv	e	9	7	(32)	—	?	?	—	17000 kg-Pendel. Im Vogtland gefüllt. F geht in das folgende Beben über.
		S		8	7	0,6	?	?	0,1	
		M			14	0,6	?	?	0,15	
		F		?						
4	Iv	M	9	9	6	0,9	?	?	0,05	17000 kg-Pendel. Im Vogtland gefüllt.
		F		9,5						
4	Iv	e	9	23	9	—	?	?	—	id. F geht in das folgende Beben über.
		S			36	0,7	?	?	0,4	
		M			44	1,0	?	?	0,4	
		F		?						
4	Iv	eP	9	25	0	0,9	?	?	0,05	17000 kg-Pendel. Im Vogtland gefüllt.
		S			28	0,4	?	?	0,1	
		M			35	0,9	?	?	0,2	
		F		26 1/2						
4	Iv	e	9	41	39	—	?	?	—	id.
		S		42	4	0,7	?	?	0,4	
		M			12	1,1	?	?	0,8	
		F		43,0						
4	Iv	eP	9	47	42	—	?	?	—	id.
		S		48	7	0,4	?	?	0,5	
		M			15	0,9	?	?	0,3	
		F		49,4						
4	Iv	P	10	56	44	1,0	?	?	0,6	id.
		S		57	9	1,0	?	?	3	
		M			17	1,0	?	?	6	
		F		3 1/2						
4	Iv	e	11	48	(46)	—	?	?	—	id.
		S		49	12	0,7	?	?	0,05	
		M			19	(0,8)	?	?	(0,3)	
		F		50,5						
4	Iv	e	11	57	46	—	?	?	—	id.
		M			57	0,7	?	?	0,05	
		F		58,4						

Datum		Charakter	Phasen	Zeiten (Greenwich)	Perioden	Amplituden		Bemerkungen
						A _E	A _N	
Nov.	4	Iv	e M F	^{h m s} 12 35 (54) 36 22 36,8	^s — 0,8	^μ ? ?	^μ — 0,1	17000 kg-Pendel. Im Vogt gefühl.
„	4	Iv	e M F	13 1 20 26 1,5	— 0,8	? ?	— 0,1	id.
„	4	Iv	e M F	13 4 47 54 5	— 0,8	? ?	— 0,1	id.
„	4	Iv	P S M F	13 11 29 56 12 4 16,5	0,9 0,8 0,9	? ? ?	1,0 10 10	id.
„	4	Iv	P S M F	14 4 (11) 37 44 5,4	— 0,6 0,9	? ? ?	— 0,15 0,3	id.
„	4	Iv	e M F	15 50 42 50 51,0	— 0,9	? ?	— 0,15	id.
„	4	Iv	eP S M F	16 39 41 40 7 13 41	— 0,4 0,8	? ? ?	— 0,5 0,9	id.
„	4	Iv	e M F	17 20 31 37 21,0	— 0,9	? ?	— 0,3	id.
„	4	Iv	eS M F	18 33 45 51 34,5	0,7 0,8	? ?	0,15 0,15	id.
„	4	Iv	eP S M F	18 36 10 35 43 37,0	— 0,7 1,0	? ? ?	— 0,15 0,15	id.

Nr.	Charakter	Phasen	Zeiten (Greenwich)			Perioden	Amplituden		Bemerkungen
			h	m	s		A _E	A _N	
4	Iv	P	20	42	25	0,1	?	0,4	17 000 kg-Pendel. Im Vogtland gefühlt.
		S			52	0,9	?	3	
		M			59	1,0	?	3	
		F	47						
4	Iv	eP	21	12	28	—	?	—	id.
		S			55	0,7	?	0,15	
		M	13		3	0,9	?	0,2	
		F	13,4						
4	Iv	P	22	23	53	0,9	?	0,1	id.
		S		24	19	0,8	?	0,7	
		M			27	0,9	?	0,7	
		F	27						
4	Iv	P	22	49	18	0,9	?	0,1	id.
		S			44	0,8	?	0,3	
		M			53	0,9	?	0,4	
		F	52						
4	Iv	P	22	54	35	0,9	?	0,05	id.
		S		55	0	0,6	?	0,5	
		M			9	0,8	?	0,6	
		F	56,9						
5	Iv	e	0	13	52	—	?	—	id.
		S		14	17	0,7	?	0,1	
		M			24	0,8	?	0,15	
		F	15,5						
5	Iv	P	0	50	26	0,8	?	—	id.
		S			53	0,7	?	0,2	
		M		51	1	0,8	?	0,3	
		F	52,0						
5	Iv	P	3	20	40	0,9	?	0,05	id.
		S		21	5	0,8	?	0,3	
		M			15	0,9	?	0,4	
		F	23,5						
5	Iv	e	4	36	36	—	?	—	Reiter, id.
		P			38	1,0	?	0,8	
		S		37	4	0,8	?	1,2	
		M		(13)		1,0	?	8	
		F	43						

Datum	Charakter	Phasen	Zeiten (Greenwich)	Perioden	Amplituden		Bemerkungen
					A _E	A _N	
Nov. 5	I v	e P S M F	^h 5 ^m 14 ^s 55 15 21 29 17	^s 0,9 0,7 0,7	? ^μ ? ?	? ^μ 0,1 0,5 0,5	17 000 kg-Pendel. Im Vogt gefühl.
" 6	III u	P PR ₁ PR ₂ S (SR ₂) e L M M _{rep} F	7 21 28 24 23 26,2 31,2 39,6 45 53 1/2 9 32 11	8 8 8 17 17 24 14	1 2 2 14 16 100 1	2 1/2 3 1/2 3 1/2 7 17 75 2	Herd 8 400 km N-S-lich.
" 6	I u	P e S e SR ₁ e L M F	13 56 29 14 6 3 11,0 21 28 1/2 16	6 14 (17) 21	0,3 1 (2)	0,8 4 1/2 (3) 12	
" 6	I v	e P S M F	14 48 26 49 58 49,6	— 0,6 0,8	? ? ?	— 0,15 0,2	17 000 kg-Pendel. Im Vogt gefühl.
" 6	I v	P S M F	18 44 26 51 57 45 1/2	— 0,6 0,6	? ? ?	— 0,5 0,3	id.
" 6,7	I u	P S (e L) M F	23 12 28 22 49 43 46 1	— 12 30	— 1 1/2 3	— 1 2	Vertikalseismometer.
" 7	I v	e M F	0 40 20 38 41	— 0,8	? ?	— 0,1	17 000 kg-Pendel. Im Vogt gefühl.

am	Charakter	Phasen	Zeiten (Greenwich)	Perioden	Amplituden		Bemerkungen
					A _E	A _N	
7	I v	e	h m s	s	μ	μ	17000 kg-Pendel. Im Vogtland gefühlt.
		S	8 47 (51)	—	?	—	
		M	48 18	0,6	?	0,1	
		F	24	0,9	?	0,1	
7	I v	e(S)	8 50 1	0,5	?	0,1	id.
		M	9	0,8	?	0,15	
		F	50 1/2				
7	I v	e	9 56 (26)	—	?	—	id.
		S	54	0,5	?	0,15	
		M	57 2	0,7	?	0,15	
		F	58				
7	I v	e	13 42 (18)	—	?	—	id.
		M	29	0,9	?	0,1	
		F	42,8				
7	I	eL	18 20	17	0,8	1 1/2	
		M	26 1/2				
		F	40				
8	I v	e(P)	6 5 1	—	?	—	17000 kg-Pendel. Im Vogtland gefühlt.
		S	27	0,7	?	0,4	
		M	34	0,7	?	0,4	
		F	6,8				
9	I	eL	15 30	20	5	6	
		M	16 9				
		F	17				
10	I	eL	19 42	22	2	4	
		M ₁	46				
		M ₂	52 3/4				
		F	20 10				
11	I v	e	4 (12) (35)	—	—	—	17000 kg-Pendel. Die Minuten sind zweifelhaft, weil die End- zeiten fehlen.
		M	(13) 14	0,6	?	0,1	
		F	(14)				
11	I	eL	4 23	18	1 1/2	1 3/4	
		M	27 3/4				
		F	48				

Datum	Charakter	Phasen	Zeiten (Greenwich)	Perioden	Amplituden		Bemerkungen
					A _E	A _N	
Nov. 11	II u	eP	h m s	s	$0,3^{\mu}$	$—^{\mu}$	„Reißen.“ Herd 10500 m Vertikalseismometer.
		iPR ₁	13 32 7	5	—	—	
		iS	35 59	(9)	—	—	
		SR ₁	43 24	17	$4\frac{1}{2}$	10	
		SR ₂	50,0	18	4	3	
		SR ₂	54,0	17	$3\frac{1}{2}$	4	
		SR ₃	57	17	$3\frac{1}{2}$	5	
		eL	14 7				
		M ₁	17	14	10	9	
		M ₂	22	14	$4\frac{1}{2}$	20	
		F	16				
„ 12	I v	eP	9 12 56	—	?	—	17000 kg-Pendel. Im V. t gefühlt.
		S	13 26	0,4	?	0,3	
		M	39	0,9	?	0,6	
		F	15				
„ 12	I v	P	11 31 53	0,7	?	0,1	id.
		S	32 20	0,4	?	1,1	
		M	28	1,0	?	0,5	
		F	35				
„ 12	I	eL	12 11				
		M	20	12	1	$1\frac{1}{2}$	
		F	32				
„ 13	I v	P	4 51 27	—	?	—	17000 kg-Pendel. Im V. t gefühlt.
		S	55	0,9	?	0,7	
		M	52 1	0,7	?	$1\frac{1}{3}$	
		F	53,0				
„ 15	I	L	2 18 bis	17	0,8	$1\frac{1}{2}$	
			3				
„ 18	I v	eP	3 22 20	—	?	—	17000 kg-Pendel. Im V. t gefühlt.
		S	55	0,7	?	0,2	
		M	23 7	1,1	?	0,3	
		F	24				
„ 19	I	eL	5 45				
		M	6 4	17	$1\frac{1}{2}$	5	
		F	40				

Datum	Charakter	Phasen	Zeiten (Greenwich)	Perioden	Amplituden		Bemerkungen
					A_E	A_N	
ov. 20	I	eL M F	^h 2 ^m 40 48 ^s 3	^s 14	^μ 0,8	^μ 2	
20	I	L	4 36 bis 43	14	—	0,7	
22	I	e M F	0 35 45 52	18	1 1/4	2 1/2	
22	Iu	(P) eL M ₁ M ₂ F	7 26 34 56 7 59 8 4 20	6 24 21	— 5 2	— 3 1/2 6	Vertikalseismometer.
22	Iu	(P) eS SR ₁ eL M ₁ M ₂ F	13 0 58 10,9 16,0 20 45 50 15	4 18 17 30 25	1 3 3 1/2 13 3 1/2	— 2 1/2 3 16 10	
24	I	L	13 0 bis 12	21	0,6	0,2	
25	Iv	i F	13 8 5 9	0,5	?	0,2	17000 kg-Pendel.
30	I	eL M ₁ M ₂ F	22,0 29 1/2 31 23 1/2	12 12	1 1/2 2 1/2	3 1/2 4	
dez. 3	I	L	16 1 bis 9	14	0,5	1 1/4	
12	IIIu	iP PR ₁ PR ₂ iS iPS	3 6 57 8 29 10 38 14 53 15 29	8 8 5 8 8	5 1/2 4 5 10 5 1/2	? ? 1 15 3 1/2	Herd 7400 km. Die N-S-Komponente ist zum Teil unleserlich.

Datum	Charakter	Phasen	Zeiten (Greenwich)	Perioden	Amplituden		Bemerkungen
					A _E	A _N	
Dez. 12 Fertsetzung	III u	SR ₁	^h 3 ^m 19,5 ^s	^s (8)	(7) ^μ	(7) ^μ	
		SR ₂	22,5	9	6 1/2	?	
		eL					
		M ₁	33	21	150	300	
		M ₂	35	17	85	170	
		M ₃	38	23	200	150	
		M ₄	40	20	140	150	
		F	16				
„ 12	I u	P	19 10 29	8	2 1/2	?	N-S-Komponente ist zum unleserlich.
		S	20,3	24	7	?	
		eSR ₁	26,0	17	2 1/2	4 1/2	
		eL	46				
		M	57,0	21	9	(10)	
		F	20 1/2				
„ 18	I	i	10 19 42	1	?	0,1	17000 kg-Pendel und Verti seismometer. In Tyrol gefül
		F	24				
„ 18	II u	P	15 45 41	6	2	2	Herd 5100 km.
		PR ₁	47 36	6	4	2	
		PR ₂	48 (38)	6	5	3 1/2	
		eS	52,5	17	17	15	
		eSR ₁	56,5	18	20	10	
		eL	16 0				
		M ₁	8 1/2	14	20	20	
		M ₂	10 1/2	15	20	35	
„ 19	I v	F	18				17000 kg - Pendel. In Leit gefühlt.
		e	5 4 33	—	?	—	
		S	4 50	0,5	?	1 1/2	
		M	57	0,8	2 1/2	2 1/2	
„ 22	I	F	7				
		eL	3 26				
		M	35 1/2	14	3	3	
„ 23	I	F	41				
		eL	21 28				
		M	31 1/2	12	1 1/2	3	
		F	42				

Datum	Charakter	Phasen	Zeiten (Greenwich)	Perioden	Amplituden		Bemerkungen
					A_E	A_N	
z. 25	I	i(P)	h m s	s	μ	μ	17 000 kg-Pendel und Vertikal-seismometer.
		eL	21 29 46	(1)	—	—	
		M	32				
		F	38 1/2	14	1 1/2	4 1/2	
28	III r		22 11				Messina zerstört. M nach dem 100 kg-Horizontal-pendel.
		iP	4 23 51	6	25	80	
		iS	26 42	10	250	150	
		M	29,0	18	?	2000	
		M _{repl}	7 41	18	3 1/2	3 1/2	
		F	9				

Mikroseismische Bewegung 1908, 7^b Greenwich.
(Vergl. S. 2.)

Datum	Januar		Februar		März		April		Mai		Juni	
	Σ	Λ _E	Σ	Λ _E	Σ	Λ _E	Σ	Λ _E	Σ	Λ _E	Σ	Λ _E
1	5 ^s	0,2 ^μ	7 ^s	0,8 ^μ	7 ^s	0,8 ^μ	5 ^s	0,3 ^μ	5 ^s	— ^μ	— ^s	— ^μ
2	8	0,4	6	0,2	7	0,2	6	0,5	5	0,2	6	—
3	5	0,5	6	0,4	5	—	7	0,7	5	0,2	—	—
4	5	0,2	7	0,6	—	—	?	?	5	0,3	—	—
5	6	0,2	6	0,7	—	—	6	0,2	?	?	—	—
6	5	0,2	7	2	5	0,2	5	0,3	5	0,2	4	—
7	5	0,7	6	2	6	0,4	5	0,2	?	?	4	—
8	5	0,5	6	0,9	6	0,4	6	0,5	6	0,3	5	0,2
9	6	0,9	6	0,9	6	0,4	6	—	6	0,5	—	—
10	5	0,2	5	0,2	6	1	5	0,2	6	0,3	—	—
11	6	0,4	4	0,2	5	0,2	6	—	5	0,2	—	—
12	6	0,7	6	0,4	6	0,4	7	0,1	—	—	6	0,3
13	7	0,4	6	0,4	?	?	6	0,2	—	—	6	—
14	6	0,7	—	—	4	0,2	7	0,1	—	—	6	0,2
15	5	0,5	—	—	6	0,1	6	0,3	5	—	—	—
16	6	0,4	—	—	6	0,4	6	—	6	—	5	0,5
17	6	0,2	—	—	6	0,2	6	0,5	—	—	5	0,2
18	7	0,6	—	—	5	0,2	5	0,3	5	—	—	—
19	7	0,8	6	0,7	6	—	—	—	6	0,2	?	?
20	8	0,8	5	0,1	5	0,2	—	—	5	0,2	—	—
21	9	0,6	?	?	6	0,1	5	—	5	—	—	—
22	7	0,6	?	?	5	0,2	5	0,2	5	0,2	—	—
23	8	0,6	?	?	9	1 1/4	5	0,2	6	—	6	0,3
24	7	0,6	9	0,8	6	0,7	6	—	5	—	6	0,3
25	7	0,2	6	0,4	7	0,6	4	0,3	6	0,3	6	0,2
26	?	?	?	?	7	0,4	4	0,2	7	—	—	—
27	7	1 1/4	?	?	5	0,2	5	0,2	—	—	—	—
28	9	2	?	?	6	0,9	4	0,5	5	—	—	—
29	9	2	7	1	7	1 1/4	5	0,3	5	—	—	—
30	6	0,7	—	—	7	1	?	?	—	—	—	—
31	8	0,6	—	—	8	1	—	—	6	—	—	—

Mikroseismische Bewegung 1908, 7h Greenwich.
(Vergl. S. 2.)

Datum	Juli		August		September		Oktober		November		Dezember	
	Σ	A_N	Σ	A_N	Σ	A_N	Σ	A_N	Σ	A_N	Σ	A_N
1	— ^s	— ^μ	5 ^s	— ^μ	6 ^s	0,5 ^μ	4 ^s	0,2 ^μ	— ^s	— ^μ	6 ^s	0,2 ^μ
2	—	—	—	—	7	0,5	4	3	?	?	6	—
3	—	—	—	—	?	?	4	0,2	5	0,6	6	0,2
4	—	—	—	—	6	—	5	—	6	0,3	6	2
5	—	—	—	—	6	—	—	—	5	—	6	—
6	—	—	—	—	6	—	—	—	—	—	8	0,3
7	—	—	8	—	6	0,5	—	—	5	—	6	0,6
8	—	—	6	—	5	0,3	—	—	5	—	6	0,6
9	5	—	—	—	6	0,3	5	—	5	—	8	1
10	6	—	6	—	6	0,5	5	0,2	5	—	8	1
11	4	—	—	—	6	—	6	0,3	5	—	6	1
12	4	—	4	—	—	—	6	0,5	6	0,3	6	0,5
13	4	—	5	—	—	—	?	?	5	0,2	6	0,3
14	4	—	4	—	—	—	6	0,3	6	0,2	7	0,8
15	—	—	—	—	5	0,2	?	?	6	0,3	9	0,7
16	4	—	—	—	5	0,2	6	0,3	7	0,6	?	?
17	5	—	—	—	6	0,3	6	—	7	0,6	?	?
18	4	0,2	—	—	6	0,5	—	—	7	1	6	0,5
19	5	0,2	—	—	6	0,8	5	—	6	0,3	7	0,3
20	4	—	—	—	6	0,3	?	?	6	0,6	6	0,5
21	?	?	—	—	6	0,5	6	—	5	0,3	6	0,8
22	4	—	—	—	4	0,2	6	0,3	6	0,6	8	1
23	6	0,2	—	—	5	—	6	0,3	6	0,9	9	0,7
24	—	—	6	—	5	0,2	7	0,2	6	0,6	8	0,3
25	—	—	6	0,3	5	0,3	6	0,3	6	0,6	5	0,6
26	—	—	6	0,2	6	0,3	6	0,2	7	0,8	6	0,3
27	—	—	6	0,3	?	?	5	—	6	0,9	?	?
28	—	—	6	0,3	?	?	5	0,3	6	0,1	7	1½
29	—	—	5	0,6	?	?	5	—	?	?	8	1
30	—	—	6	0,3	6	0,3	5	—	6	0,9	7	1½
31	5	—	5	0,3	—	—	—	—	—	—	7	1

Bemerkungen zu den Seismogrammen.

Tafel IV:

Fig. 1 gibt die E-W-Komponente des Messina-Bebens von 1908 Dezember 28 im 1200 kg-Pendel, Fig. 2 die NE-SW-Komponente desselben Bebens in dem neuerdings von E. Wiechert konstruierten astatischen 200 kg-Pendel. Dieses letztere Pendel war zufällig zur Prüfung in der Fabrik von Spindler und Hoyer in Göttingen aufgestellt und hatte deshalb keine Zeitmarkierung. Man sieht, daß es bei heftigen Beben, wo das 1200 kg-Pendel bereits an die Grenzschrauben stößt, sehr schön arbeitet (vergl. S. 49).

gistrirungen in Göttingen 1907 etc.

Seismische Registrierungen in Göttingen im Jahre 1909.

Von

Ludwig Geiger.

Aus den Nachrichten der K. Gesellschaft der Wissenschaften zu Göttingen
Mathematisch-physikalische Klasse. 1913.



Seismische Registrierungen in Göttingen im Jahre 1909.

Von

Ludwig Gelger.

Vorgelegt in der Sitzung vom 8. März 1913 von E. Wiechert.

Allgemeine Bemerkungen.

Dieser Bericht bildet die Fortsetzung der früheren ebenfalls in diesen Nachrichten erschienenen Jahresberichte. Zuerst ist ein Instrument beschrieben, das mechanisch die Dichte der Luft registriert; ist so der zeitliche Verlauf der Luftdichte gegeben, so

Zeitkorrekturen 1908.

In dem Jahresberichte 1908 sind folgende Zeitkorrekturen anzubringen:

Sept. 21	– 1 Sekunde
„ 23	– 2 Sekunden
„ 24	– 2 „
„ 28	– 2 „
Okt. 6	– 3 „
„ 10	– 4 „
„ 13	– 4 „
„ 14	– 4 „
„ 20	– 5 „
bis Dez. 31	– 5 „

Seismische Registrierungen in Göttingen im Jahre 1909.

Von

Ludwig Geiger.

Vorgelegt in der Sitzung vom 8. März 1913 von E. Wiechert.

Allgemeine Bemerkungen.

Dieser Bericht bildet die Fortsetzung der früheren ebenfalls in diesen Nachrichten erschienenen Jahresberichte. Zuerst ist ein Instrument beschrieben, das mechanisch die Dichte der Luft registriert; ist so der zeitliche Verlauf der Luftdichte gegeben, so kann man den Gang einer Uhr recht gut berechnen, also mit einiger Sicherheit extrapolieren und mit großer Sicherheit interpolieren¹⁾. Für die Seismik ist das natürlich während längeren Perioden trüben Wetters recht vorteilhaft.

Bezüglich der Instrumente sei auf des Verfassers Bericht 1907²⁾ verwiesen. Die Instrumente wurden sehr gewissenhaft von unserem Hauswart, Herrn Hilke, besorgt.

Als Grundlage der vorliegenden Jahresberichte dienten des Verfassers wöchentliche Erdbebenberichte. Die Bezeichnungen sind für das Jahr 1909 unverändert (vergl. S. 3), für das Jahr 1910 wurden jedoch neue Symbole eingeführt, entsprechend der vertieften Erkenntnis der Erbebenwellen. Ein Strich (—) bei den Amplituden bedeutet, daß dieselben unmeßbar klein sind, ein Fragezeichen, daß kein brauchbares Diagramm vorgelegen hat.

1) Wegen der Ausreise von Dr. Geiger nach Samoa zur Übernahme der Leitung des dortigen geophysikalischen Observatoriums muß die Beschreibung dieses Instrumentes noch zurück gestellt werden. [E. Wiechert.]

2) L. Geiger, Gött. Nachr., math.-phys. Kl. 1909.

Zum Schluß jeden Jahresberichtes ist eine Übersicht über die mikroseismische Bewegung gegeben, wie sie an jedem Tage morgens 7^h Greenwich geherrscht hat. Es wurde jeweilen die größte Amplitude der Schwebungen in der E-W-Komponente gemessen. Wenn jegliche Bewegung fehlte, so ist auch die Periode durch einen Strich ausgefüllt. Diese Messungen der mikroseismischen Bewegung hat für das Jahr 1909 Herr Dr. B. Gutenberg ausgeführt, wofür ihm auch an dieser Stelle bestens gedankt sei.

Die Zeit wurde während der ganzen Berichtsperiode vom Verfasser ca. alle 2 Wochen mit dem Durchgangsinstrument bestimmt ¹⁾.

1) Vergl. L. Geiger, Gött. Nachr. math.-phys. Kl 1909.

Zeichenerklärung.

Charakter des Erdbebens:

- I = merklich, II = auffallend, III = stark.
 d = (terrae motus domesticus) = Ortsbeben (am Orte fühlbar).
 v = (" " vicinus) = Nahbeben (unter 1000 km).
 r = (" " remotus) = Fernbeben (1000—5000 km).
 u = (" " ultimus) = sehr fernes Beben (über 5000 km).

Phasen:

- P = (undae primae) = erste Vorläufer (Longitudinalwellen).
 PR_n = n mal an der Erdoberfläche reflektierte erste Vorläufer.
 S = (undae sekundae) = zweite Vorläufer (Transversalwellen).
 SR_n = n mal an der Erdoberfläche reflektierte zweite Vorläufer.
 PS = sog. Wechselwellen, d. h. Wellen, die bei der Reflektion an der Erdoberfläche ihren longitudinalen Charakter in transversalen oder umgekehrt verwandelt haben.
 L = (undae longae) = Hauptbeben (lange Wellen).
 M = (" maximae) = größte Bewegung im Hauptbeben.
 M_{rep I} = Oberflächenwellen, die die Station über den Gegenpunkt erreichen.
 M_{rep II} = Oberflächenwellen, die über Station, Gegenpunkt, Herd die Station zum 2. mal erreichen.
 C = (coda) = Nachläufer.
 F = (finis) = Erlöschen der sichtbaren Bewegung.

Art der Bewegung:

- i = (impetus) = Einsatz.
 e = (emersio) = Auftauchen.
 T = Periode = doppelte Schwingungsdauer.
 A = Amplitude der Erdbewegung, gerechnet von der Ruhelinie aus.
 A_N = NS-Komponente von A.
 A_E = E-W- " " "

Zeit und Maß:

Zeit = mittlere Greenwicher, gezählt von Mitternacht zu Mitternacht.

μ = Mikron = $\frac{1}{1000}$ Millimeter.

A ist kein geeignetes Maß für die Heftigkeit eines Bebens, sondern $\frac{\Delta g}{g}$, worin g die Beschleunigung der Schwere, Δg deren Änderung ist. Bei periodischen Störungen ist angenähert $\Delta g = \frac{4A}{T^2}$. Wird A in μ , T in Sekunden gemessen, so erhält man Δg in Milligal. 1 Milligal = $\frac{1}{1000}$ Gal = $\frac{1}{1000}$ c-g-s-Einheit der Beschleunigung. Weil g = ca. 980 Gal ist, ist 1 Milligal ca. 1 Milli-ontel der Schwerebeschleunigung g.

Datum	Charakter	Phasen	Zeiten (Greenwich)	T	A _E	A _N	A _Z	Bemerkungen
Jan. 1	I	e L M F	h m s 21 49 51 22 7	s 10	μ 1 1/2	μ 2	μ 3	
" 3	I	e e L M F	22 14 23 23 25 43	18	1 1/4	3	—	
" 5	I	e L M F	7 47 57 8 9	18	3	5	6	
" 13	I v	i P (S) M F	0 47 13 48 30 49 42 56	1 0,8 1 1/2	— 0,9 12	0,9 1 1/2 6	— 0,6 6	Im 17 000 kg-Pendel bes. gut. Von Florenz-Innsbruck gefühlt.
" 13	I	e L M F	17 5 7 1/2 10	17	1 1/2	3	—	
" 15	I	e L M ₁ M ₂ F	17 26 34 44 50	19 18	3 1 1/2	5 3	— —	
" 19	I	P e L M F	5 0 42 5 8 13	2 12	? 10	0,3 14	— 12	P nach dem 17 000 kg-Pen- del. In Phokia (Kl.-Asien) ver- heerendes Beben.
" 23	III r	i P S SR ₁ e L M ₁ M ₂ F	2 55 1 3 0 26 2 40 9 5 11 12 5 1/2	4 11 9 17 17	5 20 30 250 350	3 1/2 40 50 450 500	5 15 12 300 500	Herd 3600 km E-W-lich. Verheerendes Beben in Lu- ristan (Persien).
" 24	I	e L M F	17 44 56 18 20	14	2 1/2	3	8	
" 29	I	e e e L M ₁ M ₂ M ₃ F	1 17 28 39 42 47 53 2 10	— — 21 21 18	— — 3 1/2 4 1/2 2	— — 4 5 1 1/4	— — — — —	

Datum	Charakter	Phasen	Zeiten (Greenwich)	T	A _E	A _N	A _Z	Bemerkungen
Febr. 2	I	eL M F	h m s 19 57 20 4 30	s 14	μ 0,8	μ 1 1/2	μ —	
5/6	I	e (e) M F	23 11,1 16,9 51 0 1/2	10 ? 12	0,5 (0,5) 0,5	0,5 (0,5) 0,8	— — —	
9	IIr	eP S eL M F	11 28 59 93 9 35 39 13,2	4 17 22	4 1/2 13 130	2 35 120	3 1/2 45 100	Herd 2500 km E-W-lich.
9	Ir	P S eL M F	14 43 34 47 43 49 53 15,7	4 14 21	1 1/4 2 1/2 25	0,6 6 30	1 3/4 6 25	Herd 2500 km E-W-lich.
10	Ir	P S eL M F	19 54 59 59 11 20 1 4 20,8	4 14 24	0,9 2 1/2 20	? 4 1/2 25	0,6 7 35	Herd 2500 km.
13	I	eL M F	5 4 13 21	12	2	2 1/2	3 1/2	
13	I	eL M F	6 9 24 7	14	0,5	1 1/2	—	
13	I	eL M F	19 33 34 48	17	2	4	7 1/2	
14	I	eL M F	3 21 25 28	12	0,5	0,8	—	
14	Ir	P S eL M F	15 51 18 54 57 58 16 1 30	4 10 12	4 1 1/2 3 1/2	2 3 5 1/2	4 4 7	Herd 2100 km E-W-lich.
15	Ir	e(S) eL M F	1 12 19 25 50	(12) 17	— 3 1/2	(0,3) 6	— 5	

Datum	Charakter	Phasen	Zeiten (Greenwich)	T	A _E	A _N	A _Z	Bemerkungen
Febr. 15	II	e (S) eL M F	h m s 9 36,7 39 44 41 44 10 ³ / ₄	s ? 6 10	$\frac{\mu}{?}$ 15	$\frac{\mu}{1,2}$ 20	$\frac{\mu}{(1/2)}$ 15	
" 16	I	e eL M F	8 26 31 38 9 20	17	4	8	7 ¹ / ₂	
" 16	I	eL M F	17 7 16 36	14	1 ¹ / ₂	2	1 ¹ / ₂	
" 16	I	L	18 38 bis 53	12	—	0,8	—	
" 19	I	eL M F	10 11 16 33	14	1	2	—	
" 20	I	L	22 36 bis 23	21	0,6	1 ¹ / ₂	—	
" 22	Iu	iP i e i e i e i i M F	9 40 23 42 46 45,5 49 45 54,4 56 45 10 1,9 5 36 12 47 22 12	3 7 4 8 12 12 17 18 16 (30)	5 1 ¹ / ₂ 3 2 ¹ / ₂ 2 ¹ / ₂ 3 ¹ / ₂ 9 35 13 (25)	4 2 ¹ / ₂ 3 3 2 ¹ / ₂ 2 7 7 6 (25)	20 10 4 2 ¹ / ₂ 12 — 7 ¹ / ₂ — 6 ¹ / ₂ (25)	
" 22	Ir	eP S eL M F	14 21 14 25 20 27 33 15	4 12 17	1 ¹ / ₄ 2 ¹ / ₂ 7	0,6 3 ¹ / ₂ 10	0,8 3 ¹ / ₂ 15	
" 22	I	L	21 47 bis 22 ¹ / ₄	15	0,6	1 ¹ / ₂	—	
" 24	I	L	12 42 bis 51	(18)	(0,4)	(1 ¹ / ₂)	—	
" 26	Iu	P S eL M F	16 59 29 17 9 55 19 31 18,3	7 9 30	1 ¹ / ₂ 5 25	0,3 2 15	3 0,6 35	Herd 9300 km E-W-lich.

Datum	Charakter	Phasen	Zeiten (Greenwich)	T	A _E	A _N	A _Z	Bemerkungen
März 1	I	L	^{h m s} 1 59 bis 2 12	17	^μ 0,7	^μ 1	^μ —	
" 2/3	I	i eL M F	23 39,7 53 55 0 4	(14) 21	(1) 1 1/2	— 2 1/2	— —	
" 5	I	e(S) eL M F	12 27,1 32 35 1/2 13	17 14	1/2 1 1/2	1/2 2	— —	
" 7	I	(e) eL M F	18 41,4 19 8 14 1/2 25	(17) 17	— 2	1/2 3	— 5	
" 7	I	eL M F	20 36 40 21	14	1	2	—	
" 8	Iu	e eL M F	11 43 12 23 42 14	8 21	0,7 3 1/2	2 1/2 8	0,9 8	
" 10	I	eL M F	22 43 44 55	9	3 1/2	5	1 3/4	
" 11	I	P S eSR ₁ eL M F	0 7 36 18 1 23,8 38 50 1 1/2	4 14 12 15	0,3 7 1 1/4 15	0,6 7 1 7 1/2	1 1/4 1 1/2 — 20	Herd 9200 km.
" 11	I	eL M F	21 14 23 40	18	0,4	3	—	
" 12	I	eL M F	1 7 13 25	17	1	1 1/2	—	
" 12	I	eL M F	1 49 55 2 5	16	0,3	1 3/4	—	

Datum	Charakter	Phasen	Zeiten (Greenwich)	T	A _E	A _N	A _Z	Bemerkungen
März 12/13	II u	P ePR ₁ ePR ₂ eS SR ₂ eL M ₁ M ₂ M ₃ M ₄ M _{rep 1} F	h m s 23 31 5 34,4 36,1 41 20 50,8 0 0 6 11 1/2 16 1/2 19 1/2 3 21 bis 34 ebenda	s 4 4 4 18 18 24 18 18 14 18 18	μ 0,3 0,6 0,6 3 1/2 5 50 30 25 30 0,8	μ 1 1 1/4 1 1/4 5 1/2 20 35 80 7 20 1	μ 1 1/4 0,8 0,6 10 6 15 45 15 35 —	Herd 9000 km.
" 13	II u	iP iPR ₁ ePR ₂ S SR ₁ eL M F	14 41 28 44 41 46,8 51 45 57,8 15 4 20 18	3 4 4 19 40 14 14 18	4 1/2 3 1/2 3 10 80 12 12	7 5 1/2 4 1/2 20 100 70 35	5 1/2 4 1 1/4 30 45 35	Herd 9000 km.
" 17/18	I u	i(PR ₁) e(S) e(SR ₁) e(SR ₂) eL M ₁ M ₂ F	23 11 50 19,4 26,7 30,1 42 58 1/2 0 0 2	4 12 21 (24) 24 17 2	0,3 0,9 8 8 15 3 1/2	0,3 1 3 1/2 9 35 8	0,4 1 1/4 — — 10 13	
" 22	I	eL M F	5 7 24 6,0	17	1 1/2	5	5	
" 22/23	I	e(P) e(PR ₁) eS eL M (M _{rep 1}) F	20 16,1 19,1 26,4 48 57 23 42 bis 0 13 ebenda	(8) (3) 10 17 17 17	— 0,6 0,9 5 1	— 0,3 0,7 15 2 1/2	0,2 0,5 — 8 —	
" 22	I (v)	e M F	22 6 8 21 7	3/4	?	0,2	?	17000 kg-Pendel.
" 24	I	L	22 25 bis 30	(17)	(0,7)	(1 1/4)	—	
" 27	I	eL M F	14 26 35 1/2 50	17	1 1/2	2	—	

Datum	Charakter	Phasen	Zeiten (Greenwich)	T	A _E	A _N	A _Z	Bemerkungen
April 1	I	L	^{h m s} 19 2 bis 12	10	— ^μ	0,7 ^μ	— ^μ	
" 2	I	L	12 18 bis 37	17	0,7	1 1/2	—	
" 3	I	i P S e L M F	2 39 54 43 40 45 49 1/2 3 1/4	4 8 — 14	0,9 2 1/2 — 2	1 1/2 0,8 — 3	2 0,9 — 3	Herd 2200 km.
" 5	I(v)	i F	12 55 9 13 1	1	0,3	0,8	3 1/2	17000 kg-Pendel.
" 8	I	L	11 11 bis 24	12	0,2	0,5	—	
" 10	Iu	P e e e L M (M _{rep}) F	5 46 45 6 1 1/2 8 1/2 29 53 1/2 7 27 ?	4 9 18 — 18 18	0,9 0,7 3 — 23 5 1/2	3 3 1/2 3 1/2 — 20 7	4 3 1/2 3 — 23 10	F fällt in den Papierwechsel.
" 10	IIr	i P PR ₁ S SR ₁ e L M ₁ M ₂ F	18 55 10 57 7 19 1 48 5 15 14 11 16 18 1/2 ?	3 3 14 13 — 15 18	3 3 8 13 — 40 45	3 5 1/2 14 6 1/2 — 40 40	1 1/2 1 1/2 10 8 — 20 50	Herd 4900 km.
geht in das folgende Beben über.								
" 10	IIr	P i S SR ₁ e L M ₁ M ₂ F	19 46 32 56 3 20 1 13 21 24 1/2 22	5 15 21 — 18 15	3 7 3 1/2 — 65 20	3 1/2 6 8 — 65 55	2 1/2 4 4 — 30 55	Herd 8100 km.
" 11	I	i(P) e(S) e e L M F	4 7 57 13 59 16 1/2 20 25 1/2 5	4 12 9 — 17	— 0,5 0,9 3	— 0,5 1 1/2 8	0,2 — 0,6 10	

Datum	Charakter	Phasen	Zeiten (Greenwich)	T	A _E	A _N	A _Z	Bemerkungen
April 11	Iu	P eS eL M F	h m s 14 12 3 21,5 40 50 16	4 12 14	μ 0,3 4	μ 0,6 1 1/2	μ 0,8 1 1/4	.
" 11	I	eL M F	20 32 45 21 1/4	14	0,8	1	—	
" 12	Iu	e e e e i eL M F	1 27,5 34 1/2 40 1/2 51 2 11 26 14 49 1/2 3 1/2	6 10 8 (9) 4 14	— — — (0,5) — 1 3/4	0,3 0,5 0,3 (0,5) 0,3 2 1/2	0,2 — — — 0,4 3 1/2	
" 13	I	(L)	7 34 bis 51	14	0,5	1 1/2	—	Vielleicht nur mikroseismische Bewegung.
" 13	I	(L)	8 31 bis 48	12	1	1	—	Vielleicht nur mikroseismische Bewegung.
" 13	I	eL M F	16 43 48 53	14	0,8	1	1 1/2	
" 13	I	eL M F	23 25 36 1/2 46	17	2	2	5	
" 14	II u	iP iPR ₁ iS SR ₁ eL M F	20 6 8 9 19 16 20 21,4 29 46 1/2 21 1/2	4 6 14 14 19	4 1/2 2 1/2 12 2 1/2 15	1 1/4 1 3/4 9 1 1/2 30	4 3 1/2 10 — 30	Herd 8900 km E-W-lich.
" 23	II r	P iS eL M F	17 43 49 47 20 49 1/2 52 1/2 19	6 12 14	5 1/2 6 1/2 100	5 1/2 5 50	7 12 200	Herd 2000 km. In Portugal gefühlt.
" 25	I	eL M F	1 41 55 2 1/4	21	1 3/4	2 1/2	—	

Datum	Charakter	Phasen	Zeiten (Greenwich)	T	A _E	A _N	A _Z	Bemerkungen	
			h m s	s	μ	μ	μ		
April 25	Iu	eL M F	22 39 23 5	18	3	3	—	Es ist unklar ob es sich um 1 oder 2 ferne Beben handelt.	
			geht in das folgende Beben über.						
" 25/26	Iu	eL M ₁ M ₂ F	23 24 31 1/2 40 0 1/4	34 19	17 6 1/2	25 8	10 10		
" 26	I	L	0 53 bis 1 4	14	0,3	—	—		
" 27	Iu	eP PR ₁ S eSR ₁ eL M F	13 2,8 5,6 12,6 18,8 35 53 16	4 6 18 30 24	2 1/4 1 1/2 6 1/2 15 30	1 1/4 0,9 8 20 45	2 0,9 8 8 55		
" 28	I	L	7 21 bis 8 11	(17)	0,4	1	—		
" 29	Iu	(e) S SR ₁ eL M F	22 54,6 23 5,1 12,4 23 42 1 1/4	6 9 18 22	— 2 3 4	— 2 8 20	0,2 0,6 3 25		
" 30	I	(L)	13 3 bis 46	14	—	1	—	Aus der mikroseismischen Bewegung tauchen lange Wellen auf.	
Mai 1	I	L	22 49 bis 59	12	0,3	0,8	—		
" 2	Iu	iP eL M F	7 16 35 44 8 14 8 3/4	5 30	1 3/4 4	2 1/2 10	5 1/2 8	Zwischen P und eL fällt der Papierwechsel. S fehlt vollständig.	
" 2	Iu	iP eL M F	18 30 54 19 13 56 38 20 1/2	4 21	0,6 1	0,6 4	1 3/4 4		
" 5	I	L	8 10 bis 22	17	1	1 1/2	—		
" 8	I	L	11 15 bis 39	18	0,4	1 3/4	—		

Datum	Charakter	Phasen	Zeiten (Greenwich)	T	A _E	A _N	A _Z	Bemerkungen
Mai 10	Iu	e(P)	h m s 20 28,2	3	μ —	μ —	μ 0,3	
		e(S)	37,7	7	1 1/2	0,8	—	
		e(SR ₁)	42,6	(14)	(1)	(0,6)	—	
		M	49	30	2 1/2	5	—	
		F	21 1/2					
" 12	Iu	e	0 19,3	(10)	(0,5)	—	—	
		e	22,8	(18)	(0,4)	—	—	
		i	29,8	12	2	4	—	
		eL	51					
		M	1 5	17	3	1		
" 13	I	F	41					
		L	3 39 bis (5)	(12)	—	(0,5)	—	
" 13	Iu	eP	13 51,0	4	—	—	0,3	
		e(PR ₁)	54,6	4	—	—	0,3	
		e(S)	14 1,5	14	1 1/2	2	—	
		M	26	24	2 1/2	2 1/2	5 1/2	
		F	15					
" 16	I	eL	4 42					
		M	50	21	1	2	—	
		F	5					
" 17	II	(iP) _I	8 16 2	5	0,9	0,3	1 1/2	Wie es scheint 2 superpo- nierte Beben I u. II. Herd I = 9000 km, Herd II = 10300 km. E-W-lich, II in Bolivia ge- fühl. F fällt in den Papierwechsel.
		(iP) _{II}	17 0	10	2 1/2	0,7	9	
		iPR ₁ I	20 5	5	3	2	3	
		iPR ₁ II	8 20 58	10	7	2 1/2	15	
		(iS) _I	26 19	14	60	25	20	
		(PS) _I	27 4	14	15	15	10	
		(S) _{II}	28 10	14	50	25	55	
		iPS _{II}	29 8	(14)	(40)	(25)	15	
		(SR ₁) _{II}	31,8	(17)	(30)	(20)	25	
		(SR ₁) _{II}	34,3	17	15	20	20	
		M ₁	56	21	40	17	40	
		M ₂	9 1	17	30	15	15	
		F	?					
" 17	I	e	18 44 1/2	—	—	—	—	
		e	51,1	8	0,5	0,7	1 1/2	
" 18	Iu	e(P)	16 57,5	6	—	—	0,4	Bis 19h 25m und von 19h 39m bis 20h 1/4h folgen sehr schwache unregelmäßige Wellen.
		e(S)	17 7 1/2	(8)	(0,3)	(0,2)	—	
		eL	17					
		M	31	14	2 1/2	3	5 1/2	
		F	18					
" 18	I	eL	18 46					
		M	58	18	1 1/2	3 1/2	6	
		F	19 25					

Datum	Charakter	Phasen	Zeiten (Greenwich)	T	A _E	A _N	A _Z	Bemerkungen
Mai 23	I	e eL M F	h m s 5 54,7 6 15 (36) 50	s (9) 17	μ (1) 0,7	μ (1 1/4) 0,5	μ — —	
" 23	I	eL M F	11 27 38 45	14	0,8	0,9	—	
" 25	I	e eL M F	5 1 1/2 46 6 0 6 1/2	19 21	0,5 6	2 12	— 17	Vielleicht ist e die Maximal- bewegung eines selbständigen Bebens.
" 26	Iu	e(P) e(S) (SR ₁) eL M F	2 23 11 34,3 39,6 54 3 14 4 20	4 8 12 21	0,2 0,8 0,5 6	0,3 0,7 0,7 14	0,6 0,6 — 17	
" 30	IIr	P eS eL M F	6 18 30 21,5 23 25 1/2 7 1/2	3 9 14	2 1/2 5 40	3 3 100	3 3 100	Herd ca. 1700 km.
" 30	Iu	P eS SR ₁ (eL) M F	21 20 6 30 1/2 37,6 48 22 11 23 40	1 17 17 21	0,9 5 3 10	0,7 4 3 6	0,3 5 1/2 5 1/2 12	
Juni 3	IIu	P iS SR ₁ eL M ₁ M ₂ M ₃ M ₄ M ₅ M ₆ M _{rep.1} F	18 53 53 19 4 58 11,8 18 26 31 37 44 47 49 20 58 22 1/2	4 9 19 46 35 24 16 20 14 21	0,9 7 1/2 15 85 150 60 90 100 40 12	0,6 30 25 200 180 200 120 110 55 5	2 1/4 6 20 80 100 55 65 120 70 17	Reißen. S setzt allmählich ein. Herd 10 100 km.
" 6	I	e eL M F	5 19,2 49 6 3 6 3/4	12 18	0,5 3 1/2	1 4 1/2	— 6	

Datum	Charakter	Phasen	Zeiten (Greenwich)	T	A _E	A _N	A _Z	Bemerkungen
Juni 8	II u	e P e (PR ₁) e (S) i e L M ₁ M ₂ M ₃ F	h m s 6 08 5,0 11,4 14 32 34 41 1/2 44 49	s 6 (6) 10 21 30 22 19	μ 0,6 (2 1/2) 4 1/2 30	μ — (1) 2 12 80 70 65	μ 0,4 (1) 0,9 12 150 130 100	P fällt in die Stundenmarke.
fällt in den Papierwechsel								
" 9	I u	e e e e L M ₁ M ₂ F	0 52,1 55,1 1 1 18 26 29 3	9 19 17 — 22 21	1 1 1/2 1 — 8 10	— 2 1 — 8 8	— — — — 13 12	
" 11	I r	(e) e e i (S) M ₁ F	21 7 38 8 8 18 9 33 10,9 22	— 1 17 8 12	— — 1 6 110	— 0,3 2 8 50	— — 2 1/2 6 100	17 000 kg-Pendel. Verheerendes Beben an der französischen Riviera.
" 12	I u	e (P) e e e L M F	20 40 57 21 4,7 10,7 26 57 23 1/4	4 14 (24) 19	0,6 0,8 (3) 4 1/2	— 0,9 (4 1/2) 6 1/2	0,6 — — 3 1/2	
" 15/16	II r	P S e L M F	23 34 7 37 2 39 40 0 15	3 5 9	0,6 1 1/4 20	1 1/2 1 1/4 14	1 1/4 0,3 13	Herd 1650 km.
" 16	I	L	17 38 bis 45	14	0,3	1	—	
" 16	I	i i	17 47 52 48 48	1 1	— —	0,2 0,1	2 0,6	
" 19	I	e M F	17 53 55 18 21	14	3	4 1/2	3 1/2	
" 22	I	e e e L M F	13 23 29 55 14 1 15	9 (12) 22	0,5 (0,7) 6 1/2	0,2 (0,5) 9	— — 9	

Datum	Charakter	Phasen	Zeiten (Greenwich)	T	A _E	A _N	A _Z	Bemerkungen.
			h m s	s	μ	μ	μ	
Juni 22	I	L	18 52 bis 19 9	14	0,5	0,6	—	
, 23	I	L	2 33 bis 49	11	0,2	0,5	—	
, 27	Iu	i e e e L M ₁ M ₂ F	7 34 44 37,7 8 1,4 18 33 43 10 10	6 (10) (19) 24 18	0,3 (2 ¹ / ₂) (2 ³ / ₄)	0,6 (2 ¹ / ₄) (2)	1 (2) —	
Juli 2	I	i e i F	21 6 49 10 0 8 11 ¹ / ₂	1 1 ¹ / ₂ 1 ¹ / ₂	? ? ?	0,05 0,05 0,1	? ? ?	17 000 kg-Pendel.
, 3	I	P e L M ₁ M ₂ F	19 55 20 59 ¹ / ₂ 20 2 ¹ / ₂ 3 ¹ / ₂ 25	4 14 10	0,3 2 ¹ / ₂ 4	0,6 4 ¹ / ₂ 1 ³ / ₄	0,3 5 ¹ / ₂ —	
, 6	Ir	P S e L M F	16 57 19 17 1,8 4 ¹ / ₂ 6 ¹ / ₂ 50	2 10 14	0,3 1 ¹ / ₂ 1	— 0,9 6 ¹ / ₂	0,3 0,9 4	
, 6	Ir	e P e S e L M ₁ M ₂ F	19 19 56 23,6 26 27 28 ¹ / ₂ 50	1 (6) 14 10	— (0,6) 2 ¹ / ₂ 0,5	0,3 (0,8) 3 2 ¹ / ₄	0,3 (0,4) 2 1 ³ / ₄	
, 7/8	III r	(i P) _I (i P) _{II} (PR ₁) _I (PR ₁) _{II} (PR ₂) _I (PR ₂) _{II} (i S) _I (i S) _{II} (e SR ₁) _I (SR ₁) _{II} (SR ₂) _{II} M F	21 45 44 47 0 36 48 40 49 2 52 6 53 17 55,6 56,8 57 28 59 1 ¹ / ₂	6 6 6 5 5 14 17 14 13 17 30	75 55 50 130 80 150 250 150 130 150 ?	10 10 14 9 20 200 200 175 100 120 400	80 75 35 20 45 120 100 100 200 300 1000	Verheerendes Beben in Bu- chara. Anscheinend zwei Be- ben I und II, die sich mit einem Abstand von 1 ^m 16 ^s überlagern. Herd I: 4600 km, Herd II: 4500 km.
, 9	I	L	2 5 bis 15	14	0,5	0,6	—	

Datum	Charakter	Phasen	Zeiten (Greenwich)	T	A _E	A _N	A _Z	Bemerkungen.
			h m s	s	μ	μ	μ	
Juli 10	I	e M F	20 58,8 21 0 5	9	0,5	0,5	0,7	
" 13	I	P i e i eL M F	13 24 32 26,0 33,8 35 23 43 52 14 1/2	6 6 8 10 (19)	0,6 — 1 1/2 3 1/2 (1 1/2)	0,8 0,6 2 1/2 1 1/2 (2 1/2)	2 1 — 1 (3 1/2)	
" 15	II r	P S eL M ₁ M ₂ F	0 38 45 41 53 43 44 1/2 46 1/2 1 1/2	3 9 14 14	0,6 3 20 35	0,6 2 1/2 25 30	0,9 3 10 30	Herd 1800 km. Verheerendes Beben in Elis (Griechenland).
" 22	I	e M F	23 20 51 36 1/2 24 0	1 10	— 0,3	0,04 0,5	— —	e nach dem 17000 kg-Pendel.
" 23	I	e M F	21 9 51 12 3 16	7/2 (6)	— (1 1/2)	0,15 (8 1/2)	— —	17000 kg-Pendel.
" 26	I u	P ePR ₁ eS eSR ₁ eSR ₂ eL M ₁ M ₂ M ₃ F	11 3 12 5,1 10,6 14,5 16,7 21 26 28 1/2 31 1/2 13	5 5 14 17 14 19 17 17 19	0,9 0,3 2 1/2 1 1/2 1 1/2 5 3 1/2 3 1/2	0,3 0,3 1 1/2 1 0,7 5 1/2 3 4 1/4	1 3/4 0,3 2 — — — — 7	
" 31	I	eL M F	16 20 33 1/2 17	19	2 1/2	2	7	
" 30	III u	P PR ₁ S PS eSR ₁ eSR ₂ eL M ₁ M ₂ M ₃	11 4 44 8 10 15 24 15 58 20,9 25 1/2 30 45 49 59 1/2	9 7 14 23 23 21 21 18 18 24	6 1/2 15 35 70 45 30 180 140 170	3 1/2 5 1/2 18 45 25 20 35 85 50	20 25 20 60 40 35 160 130 170	Herd 9700 km. Verheerendes Beben in Mexiko.

Datum	Charakter	Phasen	Zeiten (Greenwich)	T	A _E	A _N	A _Z	Bemerkungen
Juli 30		M ₁ M _{rep.1} F	h m s 12 2 18 14 40 18 15 1/2	s 18 18	μ 120 2	μ 50 1 1/4	μ 130 3	
31	I u	P e(S) e L M F	18 57 42 7,1 24 28 1/2	2 6 21	0,3 0,6 2 1/2	— 0,6 2 3/4	0,6 — 4 1/2	Verheerendes Beben in Mexico.
31	I u	P PR ₁ e S e SR ₁ e L M ₁ M ₂ F	19 31 46 35 16 42,8 49,0 57 20 12 16 22	5 5 17 21 20 18	? 3 9 10 55 40	? 3 5 1/2 10 15 25	2 4 5 1/2 9 45 30	„Reißen“. Verheerendes Beben in Mexico.
Aug. 2	I	e L M F	10 51 59 11 16	15	1 1/4	1 1/2	2	
2	I	e (M) F	14 48 53 1/4 15 25	9	1	0,8	0,7	
5	I	e M F	15 6 5 38 8	1 1/2	? 0,2		? ?	17 000 kg-Pendel.
7	I	(P) (e PR ₁) e L M F	17 8 16 11,6 57 18 14 19	4 6 19	— 0,3 1 1/2	— 0,6 3	0,6 0,7 3 1/2	
11	I	e L M F	12 54 55 1/2 13 21	18	1 1/4	2 1/2	—	
12	I	e L M F	13 14 25 40	18	1 3/4	1 3/4	3	
14	II u	i P S e L M F	6 42 59 53 15 7 14 24 1/2	6 9 14	0,6 1 1/2 40	0,9 3 1/2 40	3 0,7 55	Herd 9000 km. Verheerendes Beben in Japan.
			fällt in den Papierwechsel					

Datum	Charakter	Phasen	Zeiten (Greenwich)	T	A _E	A _N	A _Z	Bemerkungen
Aug. 16	Iu	eP i eS SR ₁ eL M F	h m s 7 11,9 15 15 22,6 28,4 35 49 1/2	5 5 24 24 18 ?	μ ? ? ? ? ?	— 0,3 6 6 80	μ 0,6 0,6 5 1/2 5 1/2 40	„Reißen“.
fällt in den Papierwechsel								
" 18	Iu	P PR ₁ i(S) eL M F	0 59 3 1 2,6 9 14 44 55 3	5 5 5 31 15	2 0,6 1 1/4 1 1/4	1 1/4 4 30	5 1/2 1 1/4 0,3 40	
" 22	I	P e(S) eL M F	7 50 15 56,5 8 12 26	5 5 17	0,3 0,3 1	0,3 0,6 1 1/2	0,6 — 3	Vertikalseismometer.
fällt in den Papierwechsel.								
" 22	Iu	iP eS eL M ₁ M ₂ F	15 46 21 56,9 16 1 8 1/2 9 1/2 50	2 12 13 17	0,7 0,5 2 1/2 6	— 0,3 3 2 1/2	1 1/4 — 3 8	Vertikalseismometer.
" 22	I	P eS eL M ₁ M ₂ F	17 52 20 18 3,2 8 11 16 18 3/4	3 12 14 17	— — 2 2	— 0,5 3 5 1/2	0,3 — 2 8	Vertikalseismometer.
" 25	Iv	e i eL M ₁ M ₂ F	0 24 3 49 26 28 36 1	1/2 1 1/2 9 9	? ? 9 2 1/2	0,05 0,3 6 3	— 0,3 12 4 1/2	17 000 kg-Pendel. Verheerendes Beben in Siena. M ₂ scheint das Maximum eines 2. Bebens zu sein.
" 29	Iu	P e(S) eL M F	10 41 47 52,4 11 10 25 1/2 12	2 12 12	— 0,5 2	— 0,5 2	0,3 — 3 3/2	Vertikalseismometer.
" 30	Iu	P eS eL M F	13 12 38 23,2 39 44 14 20	5 9 22	0,3 1 5 1/2	? 0,8 6	1 1/4 — 10	

Datum	Charakter	Phasen	Zeiten (Greenwich)	T	A _E	A _N	A _Z	Bemerkungen
Aug. 31	Iu	i(P) S eL M F	h m s 11 57 1 12 6 20 16 29 13 35	s 3 13 19	μ — $2\frac{1}{2}$ 2	μ 1 0,6 3	μ 0,8 — $3\frac{1}{2}$	17 000 kg-Pendel.
„ 31	I	i F	13 52 46 14 1	9	1	$1\frac{1}{2}$	5	Vielleicht künstliche Störung.
Sept. 5	I	L	13 46 bis 14 1	10	0,3	0,5	2	
„ 5	I	L	15 39 bis 51	12	0,8	0,8	$1\frac{1}{4}$	
„ 6	I	eL M F	15 32 48 $\frac{1}{2}$ 16 4	18	0,9	$1\frac{3}{4}$	3	
„ 6	Iv	e S M F	11 22,8 23 27 36 25 $\frac{1}{2}$	$\frac{1}{2}$ $1\frac{1}{2}$ $1\frac{1}{2}$? ? 1	0,05 0,3 $1\frac{1}{2}$? ? 0,6	17 000 kg-Pendel.
„ 7	Iu	P S eL M F	15 38 34 45,5 54 16 1 17	5 9 14	0,9 0,8 $5\frac{1}{2}$	0,6 0,8 $5\frac{1}{2}$	0,9 $1\frac{1}{2}$ $5\frac{1}{2}$	
„ 8	Iu	P S eL M F	17 1 27 11 7 21 41 19	4 14 20	2 $5\frac{1}{2}$ 10	4 $5\frac{1}{2}$ 20	12 $3\frac{2}{3}$ 15	Herd 8300 km.
„ 8/9	Iu	e e eL M F	23 48,0 54 $\frac{1}{2}$ 0 12 32 1	17 17 17	1 1 $2\frac{1}{4}$	1 0,5 2	— — $2\frac{2}{4}$	
„ 10	Iu	P S eL M F	18 21 18 31 35 52 19 2 $\frac{1}{2}$ 19 $\frac{1}{2}$	2 8 20	0,3 1 1	— 0,6 $1\frac{1}{2}$	0,3 0,6 —	Herd 9100 km.
„ 11	I	e e eL M F	5 10,8 18,8 22 26 6	3 8 14	0,3 0,8 $2\frac{1}{4}$	0,4 0,8 7	0,3 0,6 $5\frac{1}{2}$	

Datum	Charakter	Phasen	Zeiten (Greenwich)	T	A _E	A _N	A _Z	Bemerkungen	
Sept. 11	Iu	e (P) e (S) e (SR ₁) e L M F	h m s 11 8,8 15,8 18,6 41 51 12 ² / ₃	s 6 8 14 24	μ 0,6 1 ² / ₃ 1	μ 0,3 1 ² / ₃ 1 ¹ / ₃	μ 0,7 — 2 5 ¹ / ₃	Vertikalseismometer.	
" 12	I	e L M F	0 27 32 1	18	0,9	1 ¹ / ₄	—		
" 12	Iu	e (P) e (S) e L M F	15 48,5 58,4 16 17 30 17	4 6 17	— 0,3 1	0,3 0,3 1 ¹ / ₃	0,3 — —		
" 16	I	e (P) e L } F }	19 2,7 5,9	3 3	0,3 0,7	0,3 0,3	0,5 1		
gehen in das folgende Beben über									
" 16	Iu	e P (S) e L M F	19 50,7 20 0,6 18 29 21 ¹ / ₄	4 9 19	? 1 9	? 3 ² / ₃ 14	1 ¹ / ₃ 0,8 20		
" 19	Iu	P e S L	20 31 35 40,6 51 bis 21 25	3 10 17	— 0,8 0,8	0,3 0,5 1	1 — —		
" 19	I	(P) e L M F	21 57,1 22 1 2 ¹ / ₂ 22 ¹ / ₃	2 10	— 1 ¹ / ₃	— 2	0,3 1		
" 21	I	e M F	19 8 54 ¹ / ₂ 20 ¹ / ₂	21	4	5	4 ¹ / ₂		
" 22	Iu	e (P) e S M F	14 54,6 57 ¹ / ₂ 15 4,9 24 ¹ / ₂ 16 ¹ / ₄	1 3 14 27	0,7 0,7 2 ¹ / ₂ 10	0,4 0,3 0,7 6	0,3 0,3 2 7 ¹ / ₂		
" 23	I	e L M F	16 39 43 ¹ / ₂ 17 ¹ / ₄	18	1 ³ / ₄	1 ¹ / ₄	3		

Datum	Charakter	Phasen	Zeiten (Greenwich)	T	A _E	A _N	A _Z	Bemerkungen
Sept. 29	I	L	^{h m s} 18 31 bis 36	17 ^s	μ 0,8	μ —	μ —	
Okt. 2	I	e M F	14 20 29 38	9	0,3	0,5	—	
" 2	I	i (P) e (L) M F	18 23 27 30 34 40	(5) 14	— $1\frac{3}{4}$	— 1	(0,6) 4	
" 2	I	e (P) e L M F	18 42,8 50 54 $19\frac{1}{4}$	5 14	0,6 3	0,3 $1\frac{1}{3}$	0,6 4	
" 2	I	e (P) e L M F	21 40,7 47 $51\frac{1}{2}$ 22 10	5 14	0,3 3	0,3 1	0,6 4	
" 8	II v	i P e L M F	10 0 58 $2\frac{1}{2}$ 3 23 11 34	1 7	— 120	0,3 130	0,6 40	In Agram gefühlt.
" 8	I	e M F	11 2,8 3 5	43 1	—	0,2	—	17 000 kg-Pendel.
" 10	I	e M F	5 $40\frac{1}{2}$ 41 19 47	8	$4\frac{1}{2}$	$4\frac{1}{2}$	6	In Agram gefühlt. 17 000 kg-Pendel außer Be- trieb.
" 10	I	e M F	5 58,2 59 11 6 3	9	11	8	15	In Agram gefühlt. 17 000 kg-Pendel außer Be- trieb.
" 11	I	e M F	15 3,7 4 28 $5\frac{1}{2}$	$1\frac{1}{2}$?	0,3	?	17 000 kg-Pendel.
" 12	I	e L M F	10 43 $50\frac{1}{2}$ $10\frac{1}{4}$	18	2	$1\frac{1}{4}$	—	
" 17	I	e M F	22 36 47 23,0	12	$1\frac{1}{2}$	$2\frac{1}{2}$	—	

Datum	Charakter	Phasen	Zeiten (Greenwich)	T	A _E	A _N	A _Z	Bemerkungen
Okt. 18	I	eL M F	h m s 9 11 16 34	s 17	μ $2\frac{1}{2}$	μ 1	μ 3	
" 20/21	Iu	iP iS SR ₂ (SR ₃) eL M ₁ M ₂ M ₃ M ₄ F	23 49 51 57 19 0 2 41 3 56 8 14 ³ / ₄ 16 18 20 ³ / ₄ 3	5 10 14 10 16 17 11 12	$2\frac{1}{2}$ 4 15 20 90 120 80 60	0,6 10 25 10 150 120 60 60	$1\frac{1}{4}$ 5 20 6 80 100 60 50	Herd 5800 km E-W-lich. Verheerendes Beben in Be- ludschistan.
" 23	I	i(P) F	21 30 12 36	3	?	0,3	0,8	17000 kg- } Pendel. Z-
" 26	I	e M F	7 50,6 44 51,3	$\frac{1}{2}$?	0,1	?	Ganz geringes Beben im 17000 kg-Pendel.
" 28	Iu	e(S) (SR ₁) (SR ₂) eL M F	4 10,5 16,6 20,5 33 46 5 ¹ / ₃	10 19 19 19	0,8 $1\frac{1}{2}$ 1 3	$1\frac{1}{3}$ $5\frac{1}{3}$ $2\frac{2}{3}$ 8	0,9 — — 11	
" 29	I	e M F	7 25 33 48	21	2	$3\frac{1}{3}$	—	
" 29	I	e(S) eL M F	16 6,2 9 14 55	14 15	0,6 7	0,3 $5\frac{1}{2}$	2 18	
" 29	I	e(S) eL M F	17 40,8 44 48 ¹ / ₄ 18 ² / ₃	9 14	0,5 13	0,3 7	0,8 17	
" 30	Iu	i i(S) (PS) e(SR ₁) e(SR ₂) e(SR ₃) M F	10 35 46 45 57 48 ³ / ₄ 52 57 59 11 16 12	3 12 17 12 12 12 24	0,7 $2\frac{1}{2}$ 4 $1\frac{1}{2}$ $2\frac{1}{2}$ 2 8	0,3 0,8 2 $1\frac{1}{3}$ $2\frac{1}{4}$ $1\frac{1}{3}$ 7	0,5 8 3 — $1\frac{1}{2}$ $1\frac{1}{2}$ 6	

Datum	Charakter	Phasen	Zeiten (Greenwich)	T	A _E	A _N	A _Z	Bemerkungen
Okt. 31	II u	P	h m s	s	μ	μ	μ	Herd 10300 km.
		PR ₁	10 36 5	6	0,3	0,3	1	
		iS	39,8	4	3 $\frac{1}{3}$	1 $\frac{1}{3}$	0,5	
		PS	47 16	14	9	10	4	
		SR ₁	48 12	14	10	3 $\frac{1}{2}$	2	
		eL	53 4	15	15	20	4 $\frac{1}{2}$	
		M ₁	11 0					Nach M ₂ folgen bis 11h 22m noch mehrere relative Maxima.
		M ₂	8 $\frac{3}{4}$	36	60	85	15	
		F	11 $\frac{3}{4}$	21	35	9	40	
			13 $\frac{1}{3}$					
Nov. 1	I	iP	6 23 22	5	0,3	0,3	0,6	Herd ca. 7000 km.
		S	36,9	17	4	4 $\frac{1}{3}$	3	
		eL	44					
		M	50 $\frac{3}{4}$	24	15	15	25	
		F	7 $\frac{2}{3}$					
		eL	9 30					
		M	37	14	1 $\frac{1}{4}$	1 $\frac{2}{4}$	2	
		F	10,0					
		L	17 5 bis 35	21	2 $\frac{1}{2}$	1 $\frac{3}{4}$	—	
		eL	21 20					
Nov. 8	I	M	30 $\frac{1}{3}$	18	3 $\frac{1}{2}$	2 $\frac{1}{2}$	10	Anscheinend 2 Beben I und II kurz hintereinander. $\Delta_I = 8400$ km, $\Delta_{II} =$ 8500 km. Vielleicht kann man den vergangenen Herd so auffassen: Zuerst war ein Beben 8400 km von Göttingen und zwar an demjenigen Ende einer Bruchlinie, das näher bei Göttingen liegt. Die Aus- lösung durchlief dann die Bruchlinie und gipfelte in einem 2. Beben am ent- sprechenden Ende. Nimmt man an, daß die Auslösung mit der Geschwindigkeit der 1. Vorläufer in der Oberfläche läuft und daß der Großkreis durch die Bruchlinie Göttingen passiert, so erhält man als Länge der Bruchlinie nur 200 km, was durchaus denk- bar ist.
		F	55					
		(iP) _I	6 25 31	14	20	15	200	
		(P) _{II}	26,3	14	7 $\frac{1}{2}$	7 $\frac{1}{2}$	45	
		(iPR) _I	23 47	14	10	10	80	
		(PR) _{II}	29 43	14	12	15	55	
		(PRn) _{I, II}	33 $\frac{1}{3}$	17	15	20	35	
		(S) _I	35 15	12	20	25	10	
		(S) _{II}	36 $\frac{1}{3}$	20	55	45	40	
		(PS) _{II}	37 $\frac{2}{3}$	14	45	30	25	
Nov. 12	I	(SR) _I	41 5	14	15	20	8	—
		(SR) _{II}	41 53	17	80	20	9	
		(SR) _{II}	46	17	30	17	17	
		(SR) _{II}	47	17	50	20	30	
		eL	52 $\frac{1}{3}$					
		M	7 6	14	75	50	90	
		F	9 $\frac{1}{4}$					
		(S)	4 37 57	20	6	3	—	
		M	5 11 $\frac{1}{3}$	19	2 $\frac{1}{3}$	2 $\frac{2}{3}$	—	
		F	50					
Nov. 12	I	e(S)	20 19,7					—
		eL	22					
		M	29	14	2 $\frac{2}{3}$	4	6	
		F	21					

Datum	Charakter	Phasen	Zeiten (Greenwich)	T	A _E	A _N	A	Bemerkungen
Nov. 20	I	e eL M F	h m s 13 28 1/2 30 46 1/2 14,1	s 16	μ 2	μ 2	μ 2 1/2	
" 21	II u	P PR ₁ S	7 48 22 51 33 58,7	6 6 17	1 1/4 1 1/4 3	0,9 0,9 2	4 1/2 2 —	
Zwischen S und eL fällt der Papierwechsel.								
		eL M F	8 19 29 1/2 9 1/2	14	40	45	70	
" 27	I	e eL M ₁ M ₂ F	4 0,6 9 15 25 1/2 4 3/4	17 19 10	1 1/2 2 0,5	1 2 2/3 1 1/2	— 3 1/2 1	
" 28	Iu	P eL M F	1 17 54 2 14 37 3	4 19	— 2 1/2	— 3 1/2	1 1/2 7	P im Vertikalseismometer sehr scharf.
Dez. 8	I	eL M F	10 6 18 11 1/4	18	1 3/4	2 1/2	6 1/2	
" 9	Iu	eP e i e eL M M _{rep.1} F	15 53,3 55,5 56 38 57,5 16 25 54 17 41 18 3/4	4 4 10 10 21 17	0,3 1 1/3 3 3 18 6	0,3 1 2/3 4 1/2 3 2/3 35 4	0,5 1 1/2 10 5 1/2 45 6	Aus M, M _{rep.1} folgt Δ = 15350 km.
" 9	Iu	(e) e e eL M F	22 5,5 11,4 15,4 41 52	7 8 6 19	0,9 3 3 4	0,6 1 1 1/4 12	0,9 — 0,7 7 1/2	
geht in das folgende Beben über.								
" 9/10	II u	e e e (PR ₁) S i (PS) e	23 43,5 46,2 47,4 53 23 54 1 56,0	5 5 6 14 14 17	— — 6 14 9 9	— — 4 1/2 15 12 10	0,3 0,6 12 6 4 35	Aus M, M _{rep.1} folgt Δ = 15350 km.

Datum	Charakter	Phasen	Zeiten (Greenwich)	T	A _E	A _N	A _Z	Bemerkungen
			h m s	s	μ	μ	μ	
		e L	0 14					
		M	27 1/2	17	20	55	17	
		(M _{rep.1})	1 37	24	3 1/2	3 1/2	—	
		F	2					
Dez. 13	I	i P	0 23 30	1/2	0,3	0,05	—	Herd 800 km.
		S	25 0	1	0,3	0,25	—	
		M	46	1	3 1/2	3 1/2	4 1/2	
		F	23	7				
, 18	I	L	10 33 bis 36	9	1	1 1/2	6	Aus der mikroseismischen Bewegung tauchen einige starke Wellen auf.
, 22	Iu	i P	13 8 12	9	1 1/2	2	10	
		e L	53					
		M	14 30	19	2 1/2	6	10	
		F	15					
, 23	I	e	18 55 12	1 1/2	—	0,15	—	17000 kg-Pendel.
		F	19 0					
, 23	Iu	e	22 38,0	—	—	—	—	
		e	57 1/2	—	—	—	—	
		e L	23 17					
		M	30	19	—	5 1/2	—	
		F	46					
, 24	I	e	0 16 13					
		M	18 19	1	—	0,3	—	17000 kg-Pendel.
		F	20					
, 28	I	e	12 29					
		M	35	18	2	4	—	
		F	42					

Mikroseismische Bewegung 1909 7^b Greenwich.

Datum	Januar		Februar		März		April		Mai		Juni	
	T	A _E	T	A _E	T	A _E	T	A _E	T	A _E	T	A _E
1.	6 ^s	0,4 ^μ	6 ^s	0,4 ^μ	4 ^s	0,1 ^μ	5 ^s	0,2 ^μ	5 ^s	0,1 ^μ	— ^s	— ^μ
2.	6	0,4	?	?	5	0,3	5	0,2	5	0,2	?	?
3.	6	0,1	6	0,3	5	0,1	5	0,2	5	0,1	?	?
4.	6	0,4	6	0,3	—	—	5	0,3	5	0,3	5	0,1
5.	6	0,4	6	0,3	4	0,1	5	0,3	5	0,3	—	—
6.	6	0,4	6	0,1	—	—	5	0,2	4	0,1	?	?
7.	7	1½	6	0,1	?	?	—	—	—	—	?	?
8.	8	0,8	5	0,3	5	0,2	—	—	?	?	?	?
9.	6	0,3	7	0,5	5	0,1	?	?	?	?	?	?
10.	6	0,3	8	2	—	—	?	?	?	?	?	?
11.	6	0,9	7	0,3	—	—	?	?	?	?	?	?
12.	8	2	5	0,1	4	0,1	—	—	?	?	?	?
13.	8	0,5	5	0,1	?	?	?	?	4	0,1	?	?
14.	8	3½	6	0,3	—	—	4	0,2	?	?	?	?
15.	7	1½	6	0,4	—	—	?	?	?	?	?	?
16.	7	1¾	6	0,3	—	—	—	—	?	?	?	?
17.	8	1½	5	0,2	5	0,1	—	—	—	—	?	?
18.	8	2½	6	0,1	5	0,3	—	—	—	—	?	?
19.	7	2	5	0,1	5	0,4	—	—	—	—	?	?
20.	8	1	4	0,1	5	0,2	5	0,1	?	?	?	?
21.	7	0,5	4	0,1	5	0,1	5	0,2	5	0,1	—	—
22.	8	2½	4	0,1	5	0,1	5	0,2	—	—	?	?
23.	6	0,3	4	0,1	—	—	5	0,2	—	—	5	0,1
24.	5	0,4	—	—	?	?	5	0,1	?	?	?	?
25.	5	0,1	4	0,1	4	0,1	—	—	—	—	?	?
26.	4	0,1	4	0,1	—	—	—	—	5	0,2	?	?
27.	4	0,1	4	0,1	4	0,1	5	0,1	5	0,2	?	?
28.	6	0,3	4	0,1	?	?	?	?	—	—	?	?
29.	6	0,3			5	0,1	5	0,1	—	—	?	?
30.	7	1			5	0,3	5	0,1	?	?	—	—
31.	7	0,5			5	0,1			?	?		

Mikroseismische Bewegung 1909 7^h Greenwich.

Datum	Juli		August		September		Oktober		November		Dezember	
	T	A _E	T	A _E	T	A _E	T	A _E	T	A _E	T	A _E
1.	8	μ	?	?	—	—	5	0,1	4	0,1	7	0,4
2.	?	?	?	?	5	0,1	5	0,1	6	0,4	6	0,2
3.	?	?	?	?	5	0,1	5	0,1	?	?	?	?
4.	—	—	?	?	4	0,1	5	0,1	?	?	6	0,3
5.	?	?	—	—	?	?	?	?	?	?	6	0,3
6.	?	?	4	0,1	—	—	6	0,3	?	?	?	?
7.	?	?	4	0,1	5	0,2	7	0,4	5	0,2	7	0,3
8.	?	?	?	?	6	0,2	6	0,9	5	0,2	?	?
9.	?	?	4	0,1	?	?	?	?	6	0,3	5	0,2
10.	?	?	—	—	?	?	6	0,3	?	?	?	?
11.	?	?	?	?	?	?	6	0,3	6	0,3	6	0,4
12.	?	?	?	?	?	?	6	0,3	6	0,2	6	0,4
13.	?	?	5	0,2	?	?	6	0,1	?	?	?	?
14.	?	?	?	?	?	?	?	?	5	0,1	6	0,1
15.	?	?	5	0,1	?	?	6	0,4	5	0,1	6	0,1
16.	?	?	?	?	?	?	6	0,4	5	0,2	6	0,2
17.	—	—	?	?	5	0,2	7	0,9	6	0,3	5	0,1
18.	5	0,1	?	?	5	0,1	7	0,4	6	0,2	5	0,1
19.	5	0,1	5	0,1	?	?	5	0,1	6	0,3	?	?
20.	—	—	6	0,1	5	0,1	6	0,3	6	0,2	6	0,3
21.	?	?	5	0,1	5	0,1	5	0,2	6	0,3	6	0,3
22.	?	?	6	0,1	?	?	6	0,2	5	0,2	?	?
23.	5	0,1	?	?	?	?	6	0,4	5	0,2	6	0,3
24.	6	0,2	?	?	?	?	6	0,3	5	0,2	5	0,2
25.	?	?	5	0,1	?	?	5	0,4	5	0,1	5	0,1
26.	6	0,2	?	?	?	?	5	0,3	?	?	6	0,3
27.	6	0,2	—	—	?	?	5	0,2	5	0,1	5	0,2
28.	5	0,1	?	?	?	?	5	0,1	7	0,9	5	0,2
29.	4	0,1	?	?	?	?	4	0,1	7	0,9	6	0,3
30.	?	?	?	?	5	0,1	4	0,1	7	1,2	6	0,1
31.	?	?	?	?			4	0,1			8	1,2

Seismische Registrierungen in Göttingen im Jahre 1911.

Von

A. Ansel.

Aus den Nachrichten der K. Gesellschaft der Wissenschaften zu Göttingen
Mathematisch-physikalische Klasse. 1913.



Seismische Registrierungen in Göttingen im Jahre 1911.

Von
A. Ansel.

Vorgelegt von E. Wiechert in der Sitzung vom 20. Juli 1912.

Mit 7 Figuren im Text und einer Tafel.

Einleitung.

Der vorliegende Bericht enthält die Zusammenstellung der im Jahre 1911 am kgl. Geophys. Institut registrierten Erdbeben nebst den Resultaten der Analyse. In der Einleitung wird eine Methode zur graphischen Auflösung sphärischer Dreiecke beschrieben.

Die Bearbeitung der Seismogramme lag bis zum 1. März 1911 in Händen von Dr. L. Geiger, die übrige Zeit hindurch wurde sie vom Verf. ausgeführt.

Als Grundlage des Jahresberichtes dienten die wöchentlichen Erdbebenberichte des Institutes, die einer nochmaligen Durchsicht unterzogen worden sind. Im ganzen wurden im Berichtsjahre 170 Erdbeben registriert, ca. 100 davon hatten ihren Ursprung in den Entfernungen über 5000 km.

Am Schlusse ist eine Übersicht über die an jedem Tage 7^h Greenwich-Zeit herrschende mikroseismische Unruhe gegeben, wo Angaben fehlen, war die mikros. Bodenbewegung entweder nicht vorhanden oder innerhalb der Fehlergrenze der Messung.

Die in früheren Berichten beschriebenen Seismographen des Institutes haben keine Veränderung erfahren, sie waren das ganze

Jahr hindurch ununterbrochen in Betrieb, ihre Wartung oblag dem Hauswart Herrn Hilke. Die Konstantenbestimmung erfolgte durchschnittlich monatlich, erhebliche Änderungen der Konstanten zeigten sich nicht.

Die Uhrkontrolle wurde durch die Einrichtung einer radiotelegraphischen Empfangsstation erleichtert, als hiermit die täglich von der Station Norddeich gegebenen Zeitsignale aufgenommen werden konnten. Mit Rücksicht auf die vorkommenden Ungenauigkeiten der Zeitsignale, deren Korrektion nicht bekannt war, wurde die astronomische Zeitbestimmung beibehalten; Uhrstand und Gang wurden aus der astronomischen Beobachtung hergeleitet. Die Zeitbestimmungen erfolgten in nach der Witterung bemessenen Intervallen von 14 Tagen bis 3 Wochen, die Zeit wurde aus den Meridiandurchgängen von Sternen bestimmt.

Graphische Auflösung sphärischer Dreiecke.

Die sph. Trigonometrie wird in der praktischen Seismik verwendet zur Berechnung von sphärischen Abständen, Azimuthen etc., zur Lokalisierung von Epizentra. In allen diesen Fällen sind sph. Dreiecke aufzulösen, die je nach den gegebenen Bestimmungselementen im allgemeinen nach verschiedenen Formeln zu berechnen sind. Die Resultate der Rechnung besitzen jedoch meist nur ein vorübergehendes Interesse, daher das Bestreben, die oft umständlichen Rechnungen abzukürzen, verständlich ist. Erleichterungen lassen sich erzielen durch Tabellen und Anlage geeigneter Rechenschemata; wegen der besonderen Art der bei der Auflösung von sph. Dreiecken im allgemeinen zu benützenden Formeln lassen sich jedoch Tabellen zur Auflösung beliebiger sph. Dreiecke nicht aufstellen. Die nächste Möglichkeit Ersatz für die Rechnungen zu erhalten liegt in den graphischen Methoden.

Im Folgenden soll eine graphische Methode beschrieben werden, die allgemeine sph. Dreiecke aufzulösen erlaubt, vorausgesetzt, daß die nötige Anzahl Bestimmungselemente, gleichgültig in welcher Kombination, gegeben ist.

A. Zur einfachen Darstellung der Methode eignet sich der Spezialfall eines sph. Dreiecks, von dem 2 Seiten und der eingeschlossene Winkel gegeben sind. Es seien θ_1, θ_2 die Poldistanzen und λ der Längenunterschied zweier Punkte, und die Winkel (α_1, α_2) .

Die gesuchten Elemente: die Seite c und die Winkel α_1, α_2 , (s. Fig. 1) ergeben sich z. B. aus den „Gauß'schen Formeln“, diese lauten:

$$1) \quad \cos \frac{1}{2} (\alpha_1 + \alpha_2) \cos \frac{c}{2} = \cos \frac{1}{2} (\theta_1 + \theta_2) \sin \frac{\lambda}{2}$$

$$\sin \frac{1}{2} (\alpha_1 + \alpha_2) \cos \frac{c}{2} = \cos \frac{1}{2} (\theta_1 - \theta_2) \cos \frac{\lambda}{2}.$$

$$2) \quad \cos \frac{1}{2} (\alpha_1 - \alpha_2) \sin \frac{c}{2} = \sin \frac{1}{2} (\theta_1 + \theta_2) \sin \frac{\lambda}{2}$$

$$\sin \frac{1}{2} (\alpha_1 - \alpha_2) \sin \frac{c}{2} = \sin \frac{1}{2} (\theta_1 - \theta_2) \cos \frac{\lambda}{2}.$$

Abkürzungsweise werde gesetzt:

$$3) \quad \frac{1}{2} (\alpha_1 + \alpha_2) = p \quad \frac{1}{2} (\theta_1 + \theta_2) = \frac{s}{2}$$

$$\frac{1}{2} (\alpha_1 - \alpha_2) = q \quad \frac{1}{2} (\theta_1 - \theta_2) = \frac{d}{2}$$

$$\text{und } \frac{\lambda}{2} = 90 - \frac{\gamma}{2}.$$

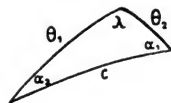


Fig. 1.

Werden nun die 2^{ten} Reihen der Gleichungen (1) und (2) mit $\sqrt{-1} = i$ multipliziert und zu den ersten addiert, so folgt unter Berücksichtigung der eingeführten Abkürzungen:

$$4) \quad e^{ip} \cos \frac{c}{2} = \cos \frac{s}{2} \cos \frac{\gamma}{2} + i \cos \frac{d}{2} \sin \frac{\gamma}{2}, \quad e^{ip} = \cos p + i \sin p.$$

$$e^{iq} \sin \frac{c}{2} = \sin \frac{s}{2} \cos \frac{\gamma}{2} + i \sin \frac{d}{2} \sin \frac{\gamma}{2}, \quad e^{iq} = \cos q + i \sin q.$$

Deuten wir

$$z = e^{ip} \cos \frac{c}{2}$$

5)

$$z' = e^{iq} \sin \frac{c}{2}$$

als Punkte in der Ebene der komplexen Zahlen, so bleiben bei konstanten Werten von $\cos \frac{c}{2}$, $\sin \frac{c}{2}$ die Punkte z, z' auf Kreisen, für $p = \text{konst.}$, $q = \text{konst.}$ dagegen auf Geraden durch den Ursprung.

Indem man die Werte von $\cos \frac{c}{2}$, $\sin \frac{c}{2}$ variiert, erhält man eine konzentrische Kreisschar; analog ergeben die Parameterwerte von p oder $(q) = \text{konst.}$ eine Geradenschar durch den Ursprung. Eine solche aus konzentrischen Kreisen und Radien bestehende Linienschar sei vorhanden (s. Tafel) und es handle sich darum $\frac{c}{2}$, p , q aus

$\frac{s}{2}$, $\frac{d}{2}$, $\frac{\gamma}{2}$ zu finden; sobald z, z' bekannt sind, ergeben sich die gesuchten Größen ohne weiteres, denn z. B. z liegt auf dem Kreis mit dem Radius $\cos c/2$ und auf der durch p gekennzeichneten Richtung einer Geraden durch den Ursprung. Nun kann z aus den bekannten Größen leicht gefunden werden vermöge der Beziehung:

$$6) \quad z = \cos \frac{s}{2} \cos \frac{\gamma}{2} + i \cos \frac{d}{2} \sin \frac{\gamma}{2}.$$

Die Koordinaten des Punktes $z = x + iy$ gemäß Gl. 6) sind

$$x = \cos \frac{s}{2} \cos \frac{\gamma}{2}$$

$$y = \cos \frac{d}{2} \sin \frac{\gamma}{2}.$$

Ich nehme nun an, es befinde sich auf dem äußersten Kreis, dessen Parameterwert $\cos 0^\circ = 1$ ist, eine Gradteilung (s. Tafel), ferner sei die Kreisschar von $\cos 0^\circ$ bis $\cos 90^\circ$ durch die beigeschriebenen Parameterwerte ($1^\circ, 2^\circ \dots$ etc.) gekennzeichnet. Auf dem geteilten Kreise wird zuerst der Winkel $\gamma/2$ aufgesucht und durch eine Gerade mit dem Ursprung verbunden, man sucht nun auf dieser Geraden ihre Schnittpunkte mit den Kreisen von den Radien:

$\cos \frac{s}{2}, \cos \frac{d}{2}, \sin \frac{s}{2}, \sin \frac{d}{2}$, welche durch die bekannten Werte

von $\frac{s}{2}, \frac{d}{2}$ bestimmt sind; eine durch den Punkt $\left(\cos \frac{s}{2}, \frac{\gamma}{2}\right)^{1)}$

zur y -Achse gezogene Parallele liefert die Abszisse x und die

zur x -Achse gezogene Parallele durch den Punkt $\left(\cos \frac{d}{2}, \frac{\gamma}{2}\right)$

liefert die Ordinate des gesuchten Punktes, somit ist z also auch

$\cos \frac{c}{2}$, und p bestimmt. In der praktischen Ausführung verein-

facht sich die Konstruktion, da die Parallelen zu den Koordinatenachsen gleich so gezogen werden, daß sie sich in dem gesuchten Punkt z schneiden. Die Richtung p wird durch die Gerade erhalten, welche durch den Ursprung und den Punkt z hindurchgeht, sie schneidet auf der Gradteilung den Winkel p ab. Um auch q zu finden, ist es notwendig, die Gleichung

$$e^{iq} \sin \frac{c}{2} = \sin \frac{q}{2} \cos \frac{\gamma}{2} + i \sin \frac{d}{2} \sin \frac{\gamma}{2}$$

aufzulösen. Man kann dazu das gleiche Nomogramm benutzen, wenn der Radiusteilung des Nomogrammes die auf den \sin bezügl. Parameterwerte beigelegt werden. Die Kreisschar bleibt unverändert, ihre Parameterwerte sind aber jetzt komplementär zu den

1) In Polarkoordinaten; $\left(\cos \frac{s}{2} = \text{Radius}, \frac{\gamma}{2} = \text{Winkel des Radiusvektors mit der Abszissen-Achse}\right)$.

früheren ¹⁾. Das ganz analoge Verfahren wie zuvor führt zu: $\sin \frac{c}{2}$ u. q .

Der Wert von $\frac{c}{2}$ wird zweimal unabhängig gefunden; da $\frac{c}{2}$ einmal aus dem \cos das andere Mal aus dem \sin hervorgeht, so wird die Genauigkeit erhöht, denn in dem Bereich wo \cos versagt, liefert \sin den genaueren Wert und umgekehrt. Nachdem p und q gefunden, erhält man die gesuchten Winkel α_1, α_2 durch Addition und Subtraktion:

$$\alpha_1 = p + q$$

$$\alpha_2 = p - q.$$

Sind auch die Winkel gefunden, so hat man über ihre Lage im sphärischen Dreieck zu verfügen; Fehler in der richtigen Zuordnung von Seiten und Winkeln werden vermieden, wenn man beachtet, daß der größeren Dreiecksseite der größere Winkel gegenüber liegt.

Die Anwendung der graphischen Methode setzt das Nomogramm als fertig voraus, es ist, da nur Kreis- und Geradenscharen zu zeichnen sind, leicht herstellbar. Da ferner nur halbe Winkel- und Seitensummen vorkommen, die in den praktischen Fällen $< 90^\circ$ bleiben, so genügt es, in der Ebene nur einen Quadranten mit den Linienscharen zu überdecken. Die Radien der Kreisschar folgen der $\left\{ \begin{smallmatrix} \sin \\ \cos \end{smallmatrix} \right\}$ -Teilung, soll daher das Nomogramm für den praktischen Gebrauch von Wert sein, so muß diese Teilung möglichst exakt ausgeführt werden. In dem Original, von dem eine im halben Maßstab gezeichnete Kopie in der Tafel beigegeben ist, wurde die Teilung mittelst eines Präzisionsapparates von Wahnschaffe hergestellt; der Apparat ist im Besitz des Institutes für angewandte Mathematik, und konnte dank der Liebenswürdigkeit von Herrn Prof. Runge vom Verfasser zur Herstellung der Teilung benutzt werden.

Die Art und Aufeinanderfolge der graphischen Operationen bei der Auswertung eines Dreiecks mögen an einem Beispiel gezeigt werden. Es seien die geographischen Koordinate zweier Punkte:

$$\begin{array}{ll} \varphi_1 = 51^\circ 31' N & \lambda_1 = 9^\circ 58' E \\ \varphi_2 = 33^\circ 52' S & \lambda_2 = 151^\circ 14' E \\ \hline \lambda = 141^\circ 16'. \end{array}$$

1) Das in der Tafel beigegebene Nomogramm enthält nur die nach dem \cos fortschreitenden Parameter, während in dem Original die auf \sin und \cos bezügl. Parameter durch zweifarbige Beschriftung (rot und schwarz) von einander unterschieden wurden.

Man bildet zunächst die Poldistanzen, bezogen auf den Nordpol sind diese:

$$\theta_1 = 38^\circ 29'$$

$$\theta_2 = 123^\circ 52'.$$

Daraus ergeben sich:

$$\frac{s}{2} = 81^\circ 10.5$$

$$\frac{d}{2} = 42^\circ 41.5$$

und aus dem Längenunterschied hat man $\frac{\gamma}{2}$ zu bilden

$$\frac{\gamma}{2} = \left(90 - \frac{\lambda}{2}\right) = 19^\circ 22'.$$

In dem Nomogramm wird auf dem Rand der geteilten Kreise der Wert $\frac{\gamma}{2}$ aufgesucht und durch eine Gerade oder ein Lineal mit dem Koordinatenanfang verbunden. Diese Gerade sei OP (s. Fig. 2). Es werden nunmehr die 4 Schnittpunkte dieser Geraden mit den Kreisen:

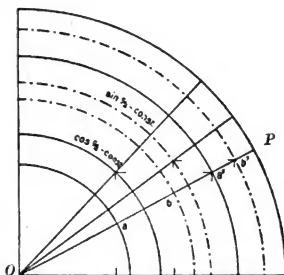


Fig. 2.

$$\left\{ \begin{array}{l} \cos \frac{s}{2} = \text{const.}_1 \\ \cos \frac{d}{2} = \text{const.}_1 \end{array} \right\} \quad \left\{ \begin{array}{l} \sin \frac{s}{2} = \text{const.}_2 \\ \sin \frac{d}{2} = \text{const.}_2 \end{array} \right\}$$

die einfach durch die Werte $\left\{ \begin{array}{l} \frac{s}{2} \\ \frac{d}{2} \end{array} \right\}$, etwa cos durch schwarze, sin

durch rote Beischrift kenntlich sind, aufgesucht. Die bezügl. Schnittpunkte seien: $a a'$, $b b'$; durch die Punkte

$$a \sim \left\{ \begin{array}{c} OP \\ \cos \frac{s}{2} \end{array} \right\}, \quad b \sim \left\{ \begin{array}{c} OP \\ \cos \frac{d}{2} \end{array} \right\}$$

wird je eine Gerade // zur y -Achse und durch die Punkte:

$$a' \sim \left\{ \begin{array}{c} OP \\ \sin \frac{s}{2} \end{array} \right\}, \quad b' \sim \left\{ \begin{array}{c} OP \\ \sin \frac{d}{2} \end{array} \right\}$$

je eine Gerade // zur x -Achse gezogen. Der Schnittpunkt der Achsenparallelen durch $a a'$ liegt auf dem gesuchten Kreise $\cos \frac{c}{2} = \text{const}$ und bestimmt die Richtung p , analog gibt der Schnittpunkt der Achsenparallelen durch b, b' den Kreis $\sin \frac{c}{2} = \text{const}$.

und die Richtung q . Die gesuchte Seite $\frac{c}{2}$ ist zweimal bestimmt, außerdem sind p und q erhalten, die addiert und subtrahiert die gesuchten Winkel (α_1, α_2) ergeben.

Damit das Ziehen der Parallelen schnell und sicher ausgeführt werden kann, empfiehlt es sich, das Nomogramm auf ein Reißbrett aufzuziehen, dessen mit Metallschienen zur Parallelführung der Reißschiene versehenen Kanten genau den Koordinatenachsen der Zeichnung parallel sein müssen. Mit ein wenig Übung läßt sich dann die graphische Rechnung vollständig in etwa 2 Minuten ausführen.

Die graphisch erhaltenen Werte der gesuchten Seite und der Winkel in dem obigen Beispiel seien zum Vergleich den mittelst 4-stelliger Logarithmen berechneten gegenübergestellt.

Graphisch:	Berechnet:
Dist. $73^\circ 30'$	$73^\circ 36'$
Azimuth I $N 72^\circ 45' E$	$N 72^\circ 42' E$
II $N 45^\circ 40' W$	$N 45^\circ 50' W$

Die theoretisch zu erwartende Differenz zwischen graphisch und rechnerischer Auswertung beträgt in Distanz und Azimuth in diesem Falle $2'$ bis $3'$, die wirkliche Abweichung ist etwas größer, sie beruht auf kleinen Ungenauigkeiten, die bei der Zeichnung des Nomogrammes entstanden sind.

Im vorliegenden Beispiel war das Dreieck aus 2 Seiten und dem eingeschlossenen Winkel bestimmt, das duale Gegenstück

hierzu ist ein Dreieck, von dem 2 Winkel und die eingeschlossene Seite bekannt sind. Die graphische Auflösung ist in beiden Fällen die nämliche, sobald die Gleichungen (1, 2) dem jeweiligen Fall angepaßt werden. Sind die Seiten und der eingeschlossene Winkel gegeben, so gelten die Gleichungen (1, 2), ist dagegen eine Seite und 2 Winkel gegeben, so sind in den Gleichungen die auf Seiten und Winkel bezügl. Größen zu vertauschen. Es lauten demnach die Formeln für den 2. Fall:

$$e^{\frac{is}{2}} \cos \frac{\gamma}{2} = \cos p \cos \frac{c}{2} + i \cos q \sin \frac{c}{2}$$

$$7) \quad e^{\frac{id}{2}} \sin \frac{\gamma}{2} = \sin p \cos \frac{c}{2} + i \sin q \sin \frac{c}{2}.$$

B. Mittels dieser Gleichungen (7) läßt sich in Verbindung mit dem Nomogramm auch ein sphärisches Dreieck, dessen 3 Seiten bekannt sind, graphisch auflösen. Dabei sei zunächst angenommen, daß $\frac{s}{2}$ und $p < 90^\circ$ sind. In dem Nomogramm sind die Kreise $\cos \frac{c}{2}$, $\cos \frac{s}{2}$, $\cos \frac{d}{2}$ als gegeben zu betrachten, es befindet sich der Kreis $\cos \frac{c}{2} = \text{const.}$ zwischen denjenigen $\cos \frac{d}{2} = \text{const.}$ und $\cos \frac{s}{2} = \text{const.}$ und da die Lösung notwendig eindeutig sein muß, so kann es auf dem Kreise $\cos \frac{c}{2} = \text{const.}$ nur einen Punkt geben,

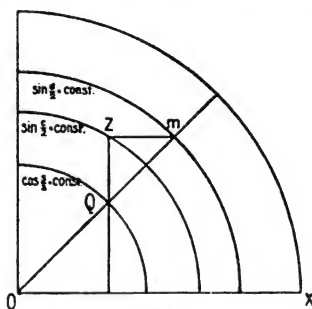


Fig. 3.

welcher der Bedingung genügt, daß die durch ihn zu den Achsen gelegten Parallelen ein rechtwinkliges Dreieck bilden mit der Geraden (O, Q, M) durch den Ursprung und durch die Schnittpunkte Q, M der beiden Kreise mit den Achsenparallelen.

Durchläuft die Gerade (OM) den Quadranten des Nomogrammes, so bewegt sich der Punkt x auf einer Ellipse und da der gesuchte Punkt ebensowohl auf dem Kreise $\cos \frac{c}{2} = \text{const.}$ liegen soll, so wird er aus dem Schnitt des Kreises mit der Ellipse erhalten. Setzen wir dazu:

$$x = \cos \frac{s}{2} \cos \frac{\gamma}{2}$$

$$y = \cos \frac{d}{2} \sin \frac{\gamma}{2}$$

als Koordinaten des gesuchten Punktes und eliminieren hieraus $\left\{ \begin{smallmatrix} \sin \\ \cos \end{smallmatrix} \right\} \left(\frac{\gamma}{2} \right)$, so folgt:

$$\frac{x^2}{\cos^2 \frac{s}{2}} + \frac{y^2}{\cos^2 \frac{d}{2}} = 1.$$

Die Koordinaten des Schnittpunkts dieser Ellipse mit dem Kreise $\cos \frac{c}{2} = \text{const.}$ werden aus:

$$\left\{ \begin{array}{l} \frac{x^2}{\cos^2 \frac{s}{2}} + \frac{y^2}{\cos^2 \frac{d}{2}} = 1 \\ x^2 + y^2 = \cos^2 \frac{c}{2} \end{array} \right\}$$

durch Elimination einer der Koordinaten erhalten. Es sei diese z. B. y , und zur Abkürzung werde gesetzt $\cos \frac{s}{2} = r_1$, $\cos \frac{c}{2} = r$, $\cos \frac{d}{2} = r_2$, dann führt die Auflösung der Gl. nach x zu:

$$\frac{x^2}{r_2^2 - r^2} = \frac{r_1^2}{r_2^2 - r_1^2}$$

oder

$$\frac{x}{\sqrt{r_2^2 - r^2}} = \frac{r_1}{\sqrt{r_2^2 - r_1^2}}.$$

Nun stellen die Nenner $\sqrt{r_2^2 - r^2}$, $\sqrt{r_2^2 - r_1^2}$ die Katheten der aus

Wenn $\frac{s}{2}$ und somit auch $p = \frac{1}{2}(\alpha + \beta) > 90^\circ$ sind, so werden die \cos dieser Größen negativ, das hat zur Folge, daß der Punkt z in einem anderen Quadranten des vollständigen Nomogrammes sich befindet, indessen reicht das gegebene Nomogramm auch in diesem Falle zur Bestimmung der unbekannten Größen aus. Man hat dazu nur die Achsen zu vertauschen und die Winkel in der entgegengesetzten Richtung zu zählen, oder, was auf dasselbe hinaus kommt, das Nomogramm um 90° zu drehen. Die allgemeine Gleichung für z

$$z = e^{ip} \cos \frac{c}{2} = \cos \frac{s}{2} \cos \frac{\gamma}{2} + i \cos \frac{d}{2} \sin \frac{\gamma}{2}$$

geht in dem speziellen Fall $\frac{s}{2} > 90$ mit:

$$\frac{\alpha + \beta}{2} = 90 + \varepsilon$$

$$\frac{a + b}{2} = 90 + e$$

über in

$$e^{ie} \cos \frac{c}{2} = \cos \frac{d}{2} \sin \frac{\gamma}{2} + i \sin \frac{e}{2} \cos \frac{\gamma}{2},$$

während:

$$e^{iq} \sin \frac{c}{2} = \cos \frac{e}{2} \cos \frac{\gamma}{2} + i \sin \frac{d}{2} \sin \frac{\gamma}{2}$$

im ersten Quadranten aufzusuchen ist. Sollen daher aus 3 Seiten eines sphärischen Dreiecks die Winkel bestimmt werden, wenn $\frac{s}{2}$, die halbe Summe zweier Seiten, $> 90^\circ$ ist, so ist bei der Konstruktion der Abszissen und Ordinaten von z und z' auf die Lage dieser Punkte in verschiedenen Quadranten Rücksicht zu nehmen. Da hierbei leicht Irrtümer entstehen können, erscheint es zweckmäßig, den Punkt z' , der stets im ersten Quadranten bleibt, zunächst zu bestimmen, um danach p_1 und $\frac{\gamma'}{2}$ zu erhalten, die übrigen Winkel lassen sich dann mittelst des graphisch bequemen anwendbaren \sin -Satzes aus dem Nomogramm entnehmen, das auch den \sin -Satz zu lösen gestattet.

C. Es bleibt noch zu zeigen, wie zu verfahren ist, wenn von einem sph. Dreieck 2 $\left\{ \begin{array}{l} \text{Seiten} \\ \text{Winkel} \end{array} \right\}$ und ein anliegend. $\left\{ \begin{array}{l} \text{Winkel} \\ \text{Seite} \end{array} \right\}$ gegeben, sind.

Es seien z. B. a, b, β gegeben. (a, b = Seiten, β = Winkel.)

Wie die Rechnung, so beginnt auch das graphische Verfahren mit der Bestimmung des Winkels α nach dem sin-Satz:

$$\sin a \sin \beta = \sin b \sin \alpha.$$

Dabei ist zu unterscheiden, ob $\sin a \geq \sin b$, im Falle $\sin a > \sin b$ sind 2 Werte für α möglich, für $\sin a < \sin b$ dagegen nur einer. Im Nomogramm läßt sich nun sofort entscheiden, ob α ein- oder zweiwertig ist, denn $\sin a > \sin b$ heißt: der Kreis $\sin a = \text{const.}$ hat größeren Radius als der Kreis $\sin b = \text{const.}$ oder a liegt näher an 90° als b . Die weitere Konstruktion ist sehr einfach: man zieht (s. Fig. 5) die Richtung β und überträgt den Schnittpunkt der Geraden $O\beta$ und des Kreises $\sin a = \text{const.}$ parallel auf den Kreis $\sin b = \text{const.}$, zieht dann die Richtung On und findet damit α , bzgl. $180 - \alpha$. Die übrigen Elemente werden nunmehr graphisch nach den Gl. (1, 2) bestimmt. Der duale Fall, gegeben 2 Winkel und eine anliegende Seite, wird auf analoge Weise erledigt, und damit sind nun alle vorkommenden Fälle, wo aus 3 gegebenen Elementen ein sph. Dreieck bestimmt werden soll, erschöpft. Die rechtwink-

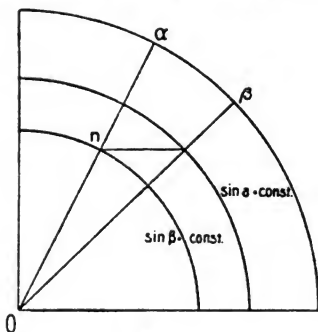


Fig. 5.

ligen sph. Dreiecke sind, weil sie nur Spezialfälle des schiefwinkligen sph. Dreiecks darstellen, in dem gleichen Nomogramm nach denselben Methoden auflösbar, somit eignet sich das Nomogramm, die graphische Methode überhaupt zur Auflösung jedweden sph. Dreiecks, sofern die nötige Anzahl Bestimmungselemente bekannt sind.

Es möge noch kurz auf die graphische Behandlung von einigen

mehr speziellen Aufgaben der sph. Trigonometrie eingegangen werden, die in der praktischen Seismik vorkommen.

I. Es soll die Aufeinanderfolge der Azimuthe in Punkten längs eines größten Kreises, der 2 gegebene Punkte auf der Kugel verbindet, ermittelt werden. Graphisch verfährt man so: man sucht zunächst aus $\theta, \theta_1, \lambda$ die Winkel α, α_1 , teilt dann den Winkel λ in n gleiche Teile, diese Winkel im Verein mit (θ, α_1) oder (θ_1, α_1) stellen eine Reihe von sph. Dreiecken dar, von denen 2 Winkel und

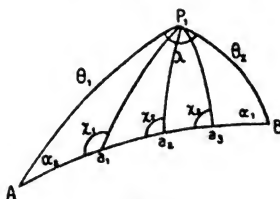


Fig. 6.

die zwischenliegende Seite bekannt sind. Für irgend eines derselben wird der Winkel z_n und die Seite $\{Pa_n\}$ gefunden durch Auflösung der Gleichungen:

$$z = e^{i \frac{s}{2}} \cos \frac{z_{(n)}}{2} = \cos p_{(n)} \cos \frac{a}{2} + i \cos q_{(n)} \sin \frac{a}{2}$$

$$z' = e^{i \frac{d}{2}} \sin \frac{z_{(n)}}{2} = \sin p_{(n)} \cos \frac{a}{2} + i \sin q_{(n)} \sin \frac{a}{2}$$

$$p_n = \left(\frac{\alpha_1}{2} + \frac{\pi}{n} \cdot \frac{\lambda}{2} \right)$$

$$q_n = \left(\frac{\alpha_1}{2} - \frac{\pi}{n} \cdot \frac{\lambda}{2} \right).$$

Nachdem nun: $p_1, p_2, p_3 \dots p_n$ gebildet sind, wird in dem Nogramm die Gerade mit der Richtung $\frac{a}{2}$ durch den Ursprung gezogen und auf ihr die Schnittpunkte mit den Kreisen

$$\begin{array}{l} \cos p_1 = \text{const} \\ \cos q_1 = \text{const} \end{array} \left\{ \begin{array}{l} \cos p_n = \text{const} \\ \cos q_n = \text{const} \end{array} \right. \cdot \begin{array}{l} \cos p_n = \text{const} \\ \cos q_n = \text{const} \end{array}$$

aufgesucht. In der früher beschriebenen Weise werden nunmehr

die Punkte x_n ($n = 1, 2 \dots$) bestimmt. Verbindet man die aufeinanderfolgenden Punkte $x_1, x_2 \dots x_n$ durch eine Kurve, so geben die Schnitte der Kreise $\cos \frac{\lambda}{2} = \text{const.}$ mit dieser Kurve die Aufeinanderfolge der halben Werte von λ an, diese sind durch die Parameterwerte der Kreise, welche die Kurve schneiden, direkt gegeben.

II. Häufig wird von einem sphärischen Dreieck nur eines der unbekannten Stücke gesucht, z. B. eine Poldistanz aus dem Azimuth und den anliegenden Seiten, oder die Entfernung aus zwei Poldistanzen in dem Längenunterschied. Hierbei kann man mit Vorteil den sph. Cos. Satz anwenden. Es sei c die gesuchte, a, b gegebene Seite und λ der Längenunterschied. Damit lautet der cos-Satz.

$$\cos c = \cos a \cos b + \sin a \sin b \cos \lambda,$$

mit:

$$\cos \lambda = 1 - 2 \sin^2 \frac{\lambda}{2} \quad \text{oder:} \quad = 2 \cos^2 \frac{\lambda}{2} - 1$$

erhält man:

$$\cos c \begin{cases} = \cos(a-b) - 2 \sin a \sin b \cos^2 \frac{\lambda}{2} \\ = \cos(a+b) + 2 \sin a \sin b \cos^2 \frac{\lambda}{2} \end{cases}$$

Mit

$$2 \sin a \sin b = -[\cos(a+b) - \cos(a-b)]$$

$$\text{und} \quad 1 = \cos^2 \frac{\lambda}{2} + \sin^2 \frac{\lambda}{2}$$

folgt:

$$\cos c = \cos(a-b) \cos^2 \frac{\lambda}{2} + \cos(a+b) \sin^2 \frac{\lambda}{2}$$

und hieraus ergeben sich die Ausdrücke:

$$\sin^2 \frac{c}{2} = \sin^2 \left(\frac{a-b}{2} \right) \cos^2 \frac{\lambda}{2} + \sin^2 \left(\frac{a+b}{2} \right) \sin^2 \frac{\lambda}{2}$$

$$\cos^2 \frac{c}{2} = \cos^2 \left(\frac{a-b}{2} \right) \cos^2 \frac{\lambda}{2} + \cos^2 \left(\frac{a+b}{2} \right) \sin^2 \frac{\lambda}{2}.$$

Deutet man $\sin \left(\frac{a-b}{2} \right) \cos \frac{\lambda}{2}$ als Abszisse, $\sin \left(\frac{a+b}{2} \right) \sin \frac{\lambda}{2}$

als Ordinate, dann ist $r = \sin \frac{c}{2} = \text{const.}$ der Radius eines Kreises, entsprechendes gilt, wenn die sin mit den cos gemäß obiger Gleichung

vertauscht werden. Für gegebene Werte von a , b und λ erhält man c aus dem Diagramm wie folgt: auf der Peripherie des geteilten Kreises wird der Winkel $\frac{\lambda}{2}$ mittelst eines Lineales eingestellt,

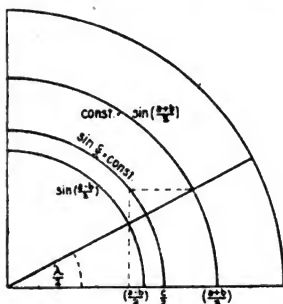


Fig. 7.

dessen Kante durch den Ursprung geht. Auf der Geraden werden die Schnittpunkte mit den Kreisen: $\sin\left(\frac{a-b}{2}\right) = \text{const.}$, $\sin\left(\frac{a+b}{2}\right) = \text{const.}$ aufgesucht, und die Ordinate des Punktes, der durch den Schnitt der Geraden mit dem Kreis $\sin\left(\frac{a+b}{2}\right) = \text{const.}$ erhalten wird, zu der Abszisse des ersten Punktes zugeordnet. Der Endpunkt der Ordinate liegt auf dem Kreis $\sin\frac{c}{2} = \text{const.}$ Die Konstruktion geht am einfachsten aus voranstehender Figur hervor.

Zeichenerklärung.

Charakter des Erdbebens:

- I = merklich, II = auffallend, III = stark.
 d = (terrae motus domesticus) = Ortsbeben (am Orte fühlbar).
 v = (" " vicinus) = Nahbeben (unter 1000 km).
 r = (" " remotus) = Fernbeben (1000—5000 km).
 u = (" " ultimus) = sehr fernes Beben (über 5000 km).

Phasen:

- P = (undae primae) = erste Vorläufer (Longitudinalwellen).
 PR_n = n mal an der Erdoberfläche reflektierte erste Vorläufer.
 S = (undae sekundae) = zweite Vorläufer (Transversalwellen).
 SR_n = n mal an der Erdoberfläche reflektierte zweite Vorläufer.
 PS = sog. Wechselwellen, d. h. Wellen, die bei der Reflektion an der Erdoberfläche ihren longitudinalen Charakter in transversalen oder umgekehrt verwandelt haben.
 L = (undae longae) = Hauptbeben (lange Wellen).
 M = (" maximae) = größte Bewegung im Hauptbeben.
 M_{rep I} = Oberflächenwellen, die die Station über den Gegenpunkt erreichen.
 M_{rep II} = Oberflächenwellen, die über Station, Gegenpunkt, Herd die Station zum 2. mal erreichen.
 C = (coda) = Nachläufer.
 F = (finis) = Erlöschen der sichtbaren Bewegung.

Art der Bewegung:

- i = (impetus) = Einsatz.
 e = (emersio) = Auftauchen.
 T = Periode = doppelte Schwingungsdauer.
 A = Amplitude der Erdbewegung, gerechnet von der Ruhelinie aus.
 A_N = NS-Komponente von A.
 A_E = E-W- " " "

Zeit und Maß:

Zeit = mittlere Greenwicher, gezählt von Mitternacht zu Mitternacht.

μ = Mikron = $\frac{1}{1000}$ Millimeter.

A ist kein geeignetes Maß für die Heftigkeit eines Bebens, sondern $\frac{\Delta g}{g}$, worin g die Beschleunigung der Schwere, Δg deren Änderung ist. Bei periodischen Störungen ist angenähert $\Delta g = \frac{4A}{T^2}$. Wird A in μ , T in Sekunden gemessen, so erhält man Δg in Milligal. 1 Milligal = $\frac{1}{1000}$ Gal = $\frac{1}{1000}$ c-g-s-Einheit der Beschleunigung. Weil g = ca. 980 Gal ist, ist 1 Milligal ca. 1 Milli-ontel der Schwerebeschleunigung g.

Datum	Charakter	Phasen	Zeiten (Greenwich)	T	A _E	A _N	A _Z	Bemerkungen	
Jan. 1	II u	P PR ₁ S eSR ₁ M F	^h ^m ^s 10 25 40 27 28 32 6 35,1 47 12	^s 9 14 10 14 17	^μ 4½ 13 6 6½ 130	^μ 0,8 3½ 7 10 110	^μ 20 40 3 15 30	Herddistanz 4600 km E-W-lie	
"	1	I u	P PR ₁ eS M F	^h ^m ^s 15 7 4 8 46 13,3 31 16¼	^s 5 8 9 14	^μ 2½ 4 1½ 30	^μ 0,3 0,5 1½ 10	^μ 2½ 4 0,8 40	Herddistanz ca. 4600 km E-W-lie.
"	2	I	P e eL M F	^h ^m ^s 3 44 47 48,6 52 55 4¼	^s ½ 14 14	— 1½	1 0,7	0,6 2	Mikroseismische Bewegung verdeckt die Vorläufer.
"	2	I u	e eL M F	^h ^m ^s 11 13,5 24 44 12¼	^s 15 18	1 4½	— 4	— 7	
"	2/3	I u	e eL M ₁ M ₂ F	^h ^m ^s 23 12,3 28 0 4 15½ 1½	^s 12 24 18	1 6 3	0,6 5 4	— — 7	
"	3	I u	P eS eSR ₁ eL M F	^h ^m ^s 7 36 37 44,9 48,9 54 8 5½ 9	^s 4 8 14 14	0,3 1½ 0,9 5½	0,7 1½ 1½ 3½	1 0,6 — 4	Herddistanz ca. 6800 km.
"	3/4	III u	iP iPR ₁ iS iSR ₁ M F	^h ^m ^s 23 33 59 36 3 40 54 44 10 51 5	^s 14 17 31 14 23	110 300 2000 300 ?	40 100 850 250 6500	450 600 1000 400 ?	iP nach dem Vertikalpendel M. konnte nur nach dem 100 kg Pendel gemessen werden, alle anderen Instrumente schlugen ½ St. an ihre Grenzschraben befestigt an eL beginnt im 100 kg-Pendel m. Periode von 1 Minute. Herddistanz 5250 km. Verheerende Beben in Turkistan.

tum	Charakter	Phasen	Zeiten (Greenwich)	T	A _E	A _N	A _Z	Bemerkungen
4	I 4	iP PR ₁ eS eSR ₁ M F	^h 9 ^m 45 ^s 46 47,5 52,4 59,3 10 3 1/2 11	^s 5 5 12 12 10	^μ 3 3 1/2 2 1/2 4 35	^μ 1 2 1 1/2 2 1/2 30	^μ 3* 2 1/2 1 1/2 6 20	* Herddistanz ca. 5100 km.
4	I	L	15 26 bis 46	12	1 1/4	2	—	
4	I u	eL M F	21 52 22 2 1/2 22 2 1/2	10	10	10	8	
6	I	eL M F	15 34 38 52	18	7 1	8	10	
7	I u	eS eSR ₁ eSR ₂ eL M F	2 43,0 47,9 52 1/2 57 3 19 4 1/4	19 19 19 17	10 10 6 50	10 12 7 30	15 ? ? 50	Herddistanz ca. 10000 km. Die ersten Vorläufer sind durch starke mikroseismische Bewegung verdeckt.
9	I	eL M F	4 16 19 1/2 36	17	7	10	?	Das Vertikalpendel war stehen geblieben.
12	I	e M F	19 8 10 1/2 32	12	6 1/2	6	8	
14	I u	P PR ₁ eS eSR ₁ M ₁ M ₂ F	18 2 22 4 11 9,0 12,7 20 30 19 1/4	1 1/2 6 9 9 14 12	? 2 1/2 1 1/4 1 1/4 10 8 1/2	0,3 0,9 1 1/4 1 1/4 15 6	? 2 — 1 1/2 20 12	Herddistanz 5500 km. P nach dem 17 000 kg-Pendel.
24	I	L	21 10 bis 21 1/2	11	1	2	—	

Datum	Charakter	Phasen	Zeiten (Greenwich)	T	A _E	A _N	A _Z	Bemerkungen
			h m s	s	μ	μ	μ	
Jan. 25	I	e S? M F	1 16 19,3 24 1 1/3	14 12	6 1/2 25	13 15	8 1/2 30	
" 30	I	e eL M F	0 25,9 31 33 0,9	7 12	0,8 2 1/2	? 4	— 3	Mikroseismische Bewegung verdeckt die Vorläufer.
Febr. 4	I	i F	3 43 12 48	1	—	0,15	—	17 000 kg-Pendel.
" 5	Iu	iP ePR _i eS e eL M F	4 36 39 40,1 46,1 47,9 5 4 8 5 1/2	4 4 10 14 29	0,6 0,6 0,7 1 1/2 13	— — 0,3 0,7 4	0,7 0,5 — 2 10	Herddistanz ca. 9000 km Ost-West-lich.
" 8	Iv	eP S M F	2 55 40 56 51 57 18 3 3	1/2 1 1	— — —	0,03 0,08 0,5	— — —	17 000 kg-Pendel. In Raibl (Kärnten) gefühlt Raibl-Göttingen = 623 km.
" 11	I	eL M F	11 55 57 12 11	21	4	2	—	
" 18	IIIu	iP PR _i iS iSR _i M F	18 49 21 51 15 55 59 59 18 19 6 geht in das folgende Beben über.	5 15 9 12 25	i: 10 15 25 23 ?	2 4 i: 30 i: 50 1700	i: 12 ? 8 30 ?	Herddistanz 4960 km E-W-lich M nach dem 100 kg-Pendel.
" 18	IIIr	P eS M F	21 38 27 40,4 43 22 1/2	12 9 14	5 1/2 7 1/2 300	7 12 350	15 25 450	Herddistanz ca. 1500 km. Zerstörendes Beben in Monastir

Datum	Charakter	Phasen	Zeiten (Greenwich)	T	A _E	A _N	A _Z	Bemerkungen
Febr. 19	Iv	iP M F	^{h m s} 7 20 0 22.6 7 ¹ / ₂	^s 1 1 ¹ / ₃ 14	^μ ? ? 10	^μ 0,2 3 8	^μ ? 5 ?	17 000 kg-Pendel. Zerstörendes Beben in Forlì (Oberitalien).
, 21	I	eL M F	19 36 41 20,0	12	0,7	1	—	
, 23	Iu	iP iS eSR, eL M F	11 26 36 37 8 43,1 54 12 10 12 ³ / ₄	3 12 14 14	3 7 2 ¹ / ₄ 85	1 ¹ / ₃ 3 ? 60	3 ³ / ₃ 5 ? 120	Herddistanz 9440 km E-W-lich. Mikroseismische Bewegung überlagert die Vorläufer, weshalb A _N und A _Z von SR ₁ nicht gemessen werden kann. M ist ganz auffallend kurz und stark, sodaß man im Zweifel ist, ob nicht M das Maximum eines übergelagerten Nahbebens ist. Vorläufer eines solchen Nahbebens sind jedoch nicht zu finden.
, 26	Iu	iP? eS? eL M F	12 51 44 13 0,0 13 5 16 14	2 20 18	? 5 15	? 7 15	0,8 9 30	Herddistanz ca. 7000 km. Mikroseismische Bewegung überlagert die Vorläufer.
März 6	I	M	18 23	24	9	12	—	
, 11	uI	eP eL M	3 35 48 4 20 4 30	18	21	15	—	1200 kg-Pendel vergrößert. Zeit 1 ^{sec.} = 1 mm z-Pendel. Mikroseismische Bewegung überlagert den Einsatz und die Vorläufer.
	Ir	F iP eL M F	4 50 20 43 53 20 45,3 20 48 21	16	36	41	115	17 000 kg-Pendel vergrößert. Zeit 1 ^{sec.} = 5 mm.
, 13	I	M	15 47	22	11	8	?	Mikroseismische Bewegung überlagert und verdeckt die Vorphase des Bebens.
, 20	Iv	iP eS eL M F	15 48 44 15 50 23 15 51,2 15 51,6 15 56,6	1,0 1,4	— 0,1	—	—	17 000 kg-Pendel. Herddistanz ca. 900 km (Romagna, Forlì).

Datum	Charakter	Phasen	Zeiten (Greenwich)	T	A _E	A _N	A _Z	Bemerkungen
März 22	I	e F	^{h m s} 13 23,3 13 28,6	^s 3	^μ ?	^μ 0,1	^μ ?	17 000 kg-Pendel. Dep. Vacluse gespürt. 1200 kg-Pendel.
" 24	Iu	e L M	^{h m s} 3 41 29 4 3,3 4 5 6	20	2	4—5	—	
" 26	I	eL F e F	13 9,5 13 21 13 54,9 14 00	20—24 8	2 1	— —	— —	Von 16 ^h /26. III bis 8 ^h /27. III tauchen wiederholt einzelne Gruppen langer Wellen auf.
April 1	Iv	iP eS M F	2 21 16 2 22 4 2 22,7? 2 27	1,0 1,4		0,3 0,3	— —	Herddistanzen 400 km.
" 3	Iv	e M F	15 46 00 48,0 50,5	1,4	—	1,0	—	17 000 kg-Pendel.
" 4	Ir	iP iS M F	15 48 4 15 51 35 15 52 14 16 37,6	11 <u>1,3</u> 12 <u>2,0</u> 10—12 —	9,4 9,5 17,5	9 <u>1,0</u> 11 <u>0,7</u> 17,5	55 30 35	12 000 kg-Pendel. <u>17 000 kg-Pendel.</u> Herddistanz ca. 2100 km.
" 5	Iv	iP M F	14 30 54 33,5 38	1,6	—	0,4	—	17 000 kg-Pendel. " "
" 7	Iv	e M	6 54 43 7 29,5	20—22	14	9	16	1200 kg-Pendel.
" 10	Iu	iP iS eL? M F	18 54 22 19 4 21 19 15,8 19 24,0 20 0,5	7 12 24 24	— 9½ 6,0 13	— 8,0 6,0 13	4 — — —	Vertikal-Pendel Herddist. ca. 8800 km. 1200 kg-Pendel.
" 11	Iu	e M F	13 50 14 45,5 15 43	— 26	12	3	3	1200 kg-Pendel.

Datum	Charakter	Phasen	Zeiten (Greenwich)	T	A _E	A _N	A _Z	Bemerkungen
April 15		e M	^{h m s} 12 3,0 12 24,8	^s — 20	^μ 12	^μ 17	^μ 13	
" 17		L	5 1/2—6 1/4	27	6	5	—	
" 18	IIr	iP PR ₁ iS eSP? M F	18 22 1 23 37 28 5 29 45 38,0 20	5 14 15 9 24	— 1 9 5 47	— — 8 7 52	2 9 15 —	Vertikal-Pendel. Herddistanz ca. 4300 km. 1200 kg-Pendel.
" 21		e	3 24 bis 4 1/4	24—26	2	4	—	Lange Wellen.
" 24	Iv	iP eS M F	17 19 30 20 25 20 36 20	0,6 0,6-0,7 1	— — —	0,1 0,1 0,2	— — —	17 000 kg-Pendel. Herddistanz ca. 500 km. (Gefühlt im Arlberg-Gebiet).
" 28	I	eP	10 4 6	—	—	—	—	Die Aufzeichnung des Bobens wurde durch Arbeiten im Instru- menten-Raume entstellt.
	Iv	e F	19 54 45 59,5	0,8	—	0,1	—	17 000 kg-Pendel.
" 29	Ir	iP PR ₁ eS? SR? eL M	5 36 21 5 37 49 5 42 32 5 44 58 5 51,0 5 55,5	6 12 9 11 24 20	2,8 0,9 — — 1,9 3,7	— — 1,1 0,9 2,6 4,2	2,6 3,0 — — — —	1200 kg-Pendel. Herd ca. 4200 km. entfernt.
	Iv	eP M F	6 6 56 6 8 6 11	1 2	— —	0,1 1	— —	17 000 kg-Pendel.
" 30	Iu	eL M	5 5,5 5 13,2	30 30	— 12	— 19	— —	Lange Wellen.
	I	iP PR ₁ eS SR ₁ F	20 46 51 49 7 50 26 58 58 21 6,5	3 4 7 8 —	— — 8,2 5,2 —	0,8 1,0 5,3 2,5 —	1,4 2,6 3,9 6,5 —	1200 kg-Pendel. Herd ca. 2100 km. Keine langen Wellen.
Mai 4	I	eP M F	13 45 59 14 33 15	4 18	— 4,8	— 3,9	— —	

Datum	Charakter	Phasen	Zeiten (Greenwich)	T	A _E	A _N	A _Z	Bemerkungen
Mai 4	III u	i P _I	^h 23 ^m 48 ^s 9	^s 8	^μ 6	^μ 12,5	^μ 32,0	2 superponierte Beben: Indices I, II. Herddistanz ca. 8000 km.
		i P _{II}	23 49 8	15	6,3	20,0	100	
		PR _I	23 51 15	14	8,0	15,8	27	
		PR _{II}	23 52 17	12	4,8	10,2	35,0	
		PR _{2I}	23 52 49	12	3,0	15,8	32,0	
		PR _{2II}	23 53 35	12	7,7	25,5	80,0	
		i S _I	23 57 28	15	85,0	16	31,0	
		i S _{II}	23 58 29	17	167	62	68	
" 5		e L	0 13	22	62	54	57,0	
		M	0 27	18	58	77	75	
		F	2 51					
" 9	I	e P	19 54 36	4	0,6	—	0,8	Herddistanz ca. 3800 km? Lange Wellen sehr schwach.
		e S	20 00 10	6	1,5	0,8	—	
		L	20 11 ¹ / ₂	22				
		F	20 36					
" 10			1 6—20	18—22	1,8	2,5	—	Wellengruppen mit Perioden v. 18—22 sec. der einzelnen Wellen.
" 11	I	e	5 4 ¹ / ₂	15	0,7	—	—	
		M	5 25	20	3,0	3,0	—	
		F	5 46					
" 13	I	e(P)?	3 45 1	4	0,5	0,8	—	
		M	4 13	18—20	2,0	2,0	—	
		F	4 31					
" 24		e	23 29 34	1—3	—	0,1	—	17 000 kg-Pendel schwaches Beben, unregelm. Wellenzüge, Perioden von 6—15 sec. treten hierbei auf, keine M.
		F	23 42,5					
" 26		e L	21 10,5	18	2	1	—	
		F	21 45					
" 30	I v	e P	19 27 3	0,5	—	0,1	—	(17 000 kg-Pendel). In Aachen gefühlt. 1200 kg ² -Pendel.
		e S	19 27 32	0,6	—	0,2	—	
	II v	F	19 29					
		e P	19 44 11	0,4	—	0,1	—	
		i S	44 42,5	0,5	—	0,3	—	
		M?	19 45 8	5,0	—	2,0	—	
		F	19 47					

Nummer	Charakter	Phasen	Zeiten (Greenwich)	T	A _E	A _N	A _Z	Bemerkungen
			h m s	s	μ	μ	μ	
31	Iv	eP	0 19 29	0,3	—	<0,1	—	17 000 kg-Pendel.
		eS?	0 19 57	0,6	—	0,2	—	
		F	0 21	—	—	—	—	
	Iv	eP	2 8 46	—	—	—	—	
		iS	2 9 17	0,6	—	0,3	—	
		F	2 11	—	—	—	—	
31	Iv	e	10 3,5-5,0	0,3	—	0,1	—	Gruppe schwacher Nahbeben, die v. 17 000 kg-P. noch gut aufgezeichnet wurden. Das Auftauchen d. P. geht ganz in mikroseism. Beweg. verloren.
	Iv	e—F	15 5½-6½	0,3—1	—	—0,5	—	
		e—F	21 6½-7½	0,3—1	—	—0,5	—	
		e—F	23 29-30	—	—	<0,1	—	
i 1	Iv	e—F	22 53-55	—	—	—	—	Sehr schwach.
	Iv	e—F	14 37-40	—	—	—	—	"
3	Iu	iP	20 40 37	5	—	—	1	Vertikal-Pendel.
		eL	21 32,5	30	—	10	—	
		M	21 42,0	24	2	10	—	
		F	22 30	—	—	—	—	
6	IIIu	iP	11 15 37	5	6	4,5	13,0	Herd ca. 9800 km.
				[6]				
		PR ₁	19 25	12	17,5	6,0	30	Erdbeben in Mexiko. 17 000 kg-Pendel.
		PR ₂ ?	21 45	12	—	—	—	
		eS	11 26 28	12	32	14	6	Bemerkenswert ist die große Periode von M.
		PS	27 23	16	23	15	2	
		SR ₁	32 50	22	45	30	33	
		eL	46,0	—	—	—	—	
		M	48,6	36	440	260	560	
		F	14 0	—	—	—	—	
7	Iu	eP	19 47 8	—	—	—	—	Vom Vertikal-Pendel nicht aufgezeichnet.
		[eS]?	51 15	—	—	—	—	
		eL	19 55,0	18—20	—	—	—	Herd ca. 2400 km.
		M	19 58,5	13	2,0	2,5	—	
		F	20 20	—	—	—	—	
8	Iv	[iP]	0 4 55	5	2,7	—	1,0	Einsatz [nach dem Vertikal-Pendel]. ca. 3100 km Herddistanz. Keine L; auch M zweifelhaft, ihr T unterscheidet sich jedenfalls nicht von derjenigen der S.
		eS	9 43	8	3,5	4,0	—	
		PS?	10 23	10	2,2	1,5	—	
		SR ₂	11 28	10	2,3	1,6	—	
		F	1¼	—	—	—	—	

Datum	Charakter	Phasen	Zeiten (Greenwich)	T	A _E	A _N	A _Z	Bemerkungen
Juni 15	III u	[i P]	^h 14 ^m 38 ^s 8	^s [1,0] [3]	^μ —	^μ [^{1/4}] [30]	^μ —	[] 17 000 kg-Pendel.
		i P	14 38 13	12,0	90	50	850	Haupt-Einsatz.
		PR ₁	41 43	10?	20	25	100	Herd ca. 9000 km entfernt.
		PR ₂	14 43 15	14	15	20	20	
		PR ₃	44 18	13	12	18	20	
		S	48 21	13	330	240	200	
		PS	49 21	18	400	230	350	
		SR ₁	54 54	20	360	150	160	
		SR ₂	59 18	23	470	230	200	
		SR ₃	15 1 3	23	360	230	150	
		eL	15 12 1/2	30				
		M	15 14,6	24	1200	1000	600	
		F	19					
" 17	I u	i P	5 23 25	4	—	—	5	Vertikalpendel.
		eL	5 54					
		M	6 5	18	30	15	36	
		F	6 1/2					
" 25	I u	e P	9 10 49	45	—	—	5	Vertikalpendel.
		PR ₁	9 14 21	4	—	—	5	Herd ca. 10000 km entfernt
		iS	21 45	8	3,0	2,0	—	
		SR ₁	27 59	11	2,0	2,0	—	
		eL	9 41					Keine M.
		F	9 55					
Juli 1		e	22 22 41	6	—	—	—	1200 kg Horiz.-Pendel.
		eL	22 43	30				
		M	22 46 1/2	24	30	30	15	
		F	23 30					
" 4	II r	i P _I	13 41 26	[2,5] (4)	20	[5] 3	16	[] 17 000 kg-Pendel.
		i P _{II}	13 42 04	8	16	7	35	Herd dist. 5000 km.
		PR _I	42 35	9	30	10	51	Ein zweites Beben überlag
		[PR _{II}]	43 14	10	40	9	50	das erste.
		iS	47 59	10	52	35	40	
		PS?	48 40	12	16	14	45	
		SR _I	51 15	12	23	16	30	
		M	51,6	15	80	130	120	Keine lange Wellen.
		F	15 1/2	—				

Datum	Charakter	Phasen	Zeiten (Greenwich)	T	A _E	A _N	A _Z	Bemerkungen
uli 5	I	e M F e F	^h 2 ^m 20 ^s 34 2 39 3 1/4 18 57 31 20 1/4	^s 2,5 18 — ? ?	^μ 1 5 — —	^μ — 10 — —	^μ 2 7 — —	Die Identifizierung der Phasen ist unsicher. Kurze und lange Wellen in unregelmäßiger Aufeinanderfolge; Amplituden verschwindend klein.
7	II v	i P (e S)? M F	1 3 52 4 27 7 47 1 1/2	[2] [2] 5	? ? 17	[1,6] [9] 22,0	— ? 20	[17 000 kg-Pendel. In Kecskemet (Ungarn) gefühlt.
	I u	e L	5 15 35 53 27	12 20	— 2,0	< 1/2 2,5	— —	
11	I	e i L F	21 41,1 21 44 50 22 23 1/4	? 8	— —	— 3,0	— 2,0	
12	II u	e i P PR ₁ PR ₂ i S PS SR ₁ ? e L M ₁ M ₂ M ₃ M ₄ F	4 21 16 21 29 4 25 19 4 27 40 4 31 27 4 32 19 4 37 51 4 49 4 51—56 4 58 5 2 5 8—9 10	6? 6 (6) 6 9 8—9 10—11 50 60 42 30 27	— 2 1/2 6,0 6,0 18 9 5,0 450 280 210 360	— 2 1/2 6,0 6,0 5 14 4,0 450 280 380 440	— 10 5 4 8 3 5,0 350 230 200 300	Herd ca. 10 000 km entfernt. Die SR _{1,11} u. s. w. sind nicht mit Sicherheit zu erkennen. Bemerkenswert die außerordentlich große Periode in M ₁ und M ₂ .
13	I u	e e L M F	? 9 27,5 9 31,7 10	20 18	— 5	— 5	— 7	Beginn fällt in den Bogenwechsel.
14	I	e L F	2 38,4 3 20	24	7	4	—	Andauernde seismische Unruhe.

Datum	Charakter	Phasen	Zeiten (Greenwich)	T	A _E	A _N	A _Z	Bemerkungen
Juli 19	Ir	iP PR ₁ ? eS? L F	^h 10 ^m 20 ^s 29 21 03 24 37 50,5 1	^s 5—6 6 8 24	^μ — — — —	^μ — — — —	^μ 3 3 1 —	1300 kg Vertikal-Seismogr. A _E und A _N sind < 1/2 μ.
„ 19	I	e M F	20 43,8 21 14 22 1/2	— 22 —	— 2 —	— 3 1/2 —	— — —	Besteht nur aus einigen Wellen, und Phasen zu unterscheiden sind.
„ 23	I	e L M F L M F	16 46 58 17 14 1/2 17 34 18 20 18 43 18 52 19 1/4	— — 18 — 24 21 —	— — 5 — — 3 —	— — 4 — — 5 —	— — — — — — —	Anfangs fast unmerkliche Bewegung.
„ 24	Iv	e eS M ₁ M ₂ M ₃ F	2 3,5 4 47 4 57 4 7 5 18 3 8	— 1,0 1,0 2,0 1,8	— — — — —	— < 1 1 1 1	— — — — — —	17 000 kg-Pendel.
Aug. 6	I	e M ₁ M ₂ F e M F	15 9,0 15,8 18,0 30 16 56,7 17 4,1 17 12,0	— 15 12 — — 11 —	— 1 1 — — 1 —	— 2 2 — — 2 —	— — — — — — —	1200 kg-Pendel. Vertikal-Seismograph zeigt keine Bewegung.
„ 8	Iu	e eL M F	14 38 6 15 10,5 15 13,5 16 00	— 30 20 —	— — 8 —	— — 10 —	— — — —	Einsatz nach Vertikalpendel und dem 17 000 t-Pendel.
„ 12	I	e M F	22 12 2 14,5 20,0	5 12 —	— 2 —	— 2 —	— 1/2 —	

tum	Charakter	Phasen	Zeiten (Greenwich)	T	A _E	A _N	A _Z	Bemerkungen
5. 16	II u	e P ⁽¹⁾	^h 22 ^m 55 ^s 28	7 ^s	2 ^μ	2 ^μ	4 ^μ	Herddist. 9100 km.
		i P ^a	23 00 00	10	6	4	22	Zweites Beben wahrscheinlich am gleichen Ort wie das erste.
		i S ⁽¹⁾	5 42	10	4	2	—	
		PS ²⁽¹⁾	6 20	12	16	14	—	
		i S ⁽²⁾	10 14	9	8	3	10	
		PS ⁽³⁾	11 4	13	17	5	—	
		SR ₁ ²⁽¹⁾	11 36	13?	4	3	4	
		SR ₁ ⁽²⁾	15 8	24	135	120	—	Das nahezu gleichzeitige Ein- treffen zweier Wellen gibt zu einer bemerkenswert großen Bo- denbewegung Anlaß.
		SR ₂ ⁽¹⁾	15 10					
		SR ₃ ⁽²⁾	20 30	26	70	60	—	
		e L	32,5	30				
		M ₁ ⁽¹⁾	45,5	21	260	450	310	
		M ₁ ⁽²⁾	50	19	260	280	200	
		M ₂ ⁽¹⁾	55,5	18	170	110	170	
17		M ₂ ⁽²⁾	0 1	16	85	42	110	
		F	2					
20	I v	e	2 23 8	—	—	—	—	17 000 kg-Pendel. Nach Mit- teilung d. Station Jugenheim ist das Beben im nordöstl. Teile des Odenwaldes gespürt worden.
		M	2 23 13	—	—	—	—	
		F	2 23	—	—	—	—	
21	I u	i P	16 48 8	8	—	3	6	Epicentrum ca. 8500 km ent- fernt. Auf i S folgt langanhaltende unregelmäßige Bewegung, in der sich weder L noch M ab- heben.
		i S	58 1	12	3	7	—	
		M?	17 46,5	24	8	12	—	
		F	18 30					
23	I u	e P	16 12 9	—	—	—	—	Epicentr. Dist. ca. 6800 km.
		e S	20 25	12	1	2	—	Eintrittsphasen sind unscharf.
		SP	21 00	18	5	6	—	
		e L	27 00					
		M	36,5	20	13	15	15	
		F	17 50					
27	I u	e P	11 11 49	3—4	—	—	—	Epicentraldistanz ca. 9200 km.
		i S	22 6	8	1/2	1/2	—	
		PS	22 55	10	—	2	—	
		F	12 15					Keine M.
28	I r	e P	6 36 38	—	—	—	—	Ep. Dist. ca. 2000 km.
		e S?	39 52	7	3	1	—	
		e L	42,4	—	—	—	—	
		M	44,0	12	9	6	3	
		F	7 10					

Datum	Charakter	Phasen	Zeiten (Greenwich)	T	A _G	A _N	A _Z	Bemerkungen
Sept. 6	Iu	iP iS PS M?? F	^h ^m ^s 1 5 24 14 29 14 59 24 51 2 20	^s 4—5 9 7 18	^μ 1 20 5 12	^μ 1 3 7 14	^μ 3 5 6 20	Beginn der P. u. S. nach d. Aufzeichnungen des 17 000 kg Pendels. Ampl. u. Per. nach Z-Komponente.
" 6	Iv	e eS? M	4 22 18 22 59 23 4	— 0,7 0,5—1	— — —	— 1/3 1	— — —	17 000 kg-Pendel. Distanz ca. 370 km (in Höhe zollern gespürt)?
	Iv	e F	25 17 26 00	— —	— —	— —	— —	
	IIv	eP? eS M F	13 54 53 55 26 55 31 14	— 0,2 1 —	— — — —	— — > 1/4 5	— — — —	17 000 kg-Pendel. Beben im Aachener Bezirk fühlt. Distanz ca. 300 km.
" 8	Iu	e eS? eL M F	22 55 33 23 5 2 23 22 23 27 24 00	3 7 — 26 —	— — — ca. 25 ca. 25	— 1 — — —	1 — — 10 —	
" 9	Iv	e M F	13 20,9 22,4 32	— 6—8? —	— 3 —	— 3 —	— — —	
" 13	I	e M? F	22 34,0 34,6 42	— 14 —	— 6 —	— 3 —	— — —	
" 15	Iu	PR ₁ iS eL M F ₁	13 23 42 27 45 34 43 50 14 11,4 16 00	4 4 18 — 20 —	— — 20 40 —	— — 5 15 —	1 1 — 20 —	
" 17	I	e iP ₁ iP ₂ iP ₃	3 36,4 37 27 39 45 51 24	— 3—4 4 4	— — — —	— — — —	— 2 2 2	3 Beben mit scharfem Einsa in der Z-Komponente. Horizonta pendel außer Betrieb. Stark mikroseismische Bewegung ve deckt die Einsätze d. H-Komp von P. u. S.
" 22	Ir	iP eL M F	5 12 12 34,9 40,7 6 50	4 — 24 —	— — 10 —	— — 12 —	2 — 10 —	

Num.	Charakter	Phasen	Zeiten (Greenwich)	T	A _E	A _N	A _Z	Bemerkungen
			h m s	s	μ	μ	μ	
t. 26		e M F	14 46,5 49,4 15 20	20	6	7	—	
29		i F	12 17,6 30	6	—	—	3	
6	Iu	iP eS PS? eL M F	10 27 22 36 34 37 12 44,5 48 12 20	5 6 10 — 18	3 1 1 — 10	2 3 2 — 40	3 — — — 10	Herd etwa 8200 km entfernt.
	I	e e	15 13 16 27	15 15	2 2	2 2	— —	M in der EW-Komponente nicht ausgeprägt.
	Ir	e iS eL M ₁ M ₂ F	13 24 42 35 07 47 51 14 2 15	— 11 30 22 18	— — — 10 20 20	— 3 — 20 15 15	— — — — — 15	
13	IIu	iP i iS (e) eL M ₁ M ₂ F	2 45 7 45 22 54 12 3 3,5 3 9 3 15 22 4 15	4 3 8 20 36/40 24 18	1 — 3 7 — 60 45	2 — — 7 — 11 25	3 1 — — 15 40	Herd ca. 9600 km entfernt. (Ort: Südkalifornien bezw. Mexiko.) (Superponierte Wellen anderer Herkunft.)
14	Iu	eP e eL M F eP iS eL M F	12 38 4 58,2 13 5 14,5 14 50 16 47 48 57 46 17 7 17 18,7 18 1/4	4/5 18 32 20 4/5 8 23	— 4 25 25 — 2 9	1 4 25 25 — 1 2	2 — 30 30 1/2 — —	17 000 kg-Pendel. Herd ca. 8400 km. S nur in der NS-Komp. scharf ausgeprägt.

Datum	Charakter	Phasen	Zeiten (Greenwich)	T	A _E	A _N	A _Z	Bemerkungen
Okt. 14	I r	e P e S e L M F	^h ^m ^s 23 32 24 41 15 23 51 55 24 40	^s 4 6 46 30	^μ 1 3 48	^μ — — 60	^μ 1 — 25	Herddistanz ca. 6200 km.
" 15	I	i M F	12 1 57 32 13	5 24	— 12	— 10	2 14	Vertikal-Seismogr.
" 15	I u	e F	23 20 ? 40	18	1	1	—	
" 17	I u	i P e S M ₁ M ₂ F	12 4 44 14,7 35,4 39,0 13 20	4 8 22 18	— — 10 6	— 1 6 5	1,5 — — —	Beginn von eS sehr undeutlich
" 19	I u	i e M M F	10 26 37 34 23 10 47,5 50,4 11 25	— 10 15 12	— — 6 5	— 1 1/2 3 3	— — — 3	
" 20	I u	i P i i e? e L M M ₁ M ₂ F	18 3 6 5 49 6 44 23 29 40,5 43,5 59,7 19 10 20	4 5 10 12 30 26 18	1/2 3 3 3 12 12 9	— 3 3 2 15 6 9	2 5 2 — 20 17 10	Vielleicht S oder SR ₁ .
" 22	v	i P e M F	22 37 26 41 13 43,0 23	2 6 9	— 3 25	— 3 23	2 1 1/2 45	Ort des Bebens liegt laut Zeit Nachricht in Macedonien.
" 29	I u	e e e L M F	18 35 33 40 48 54 1/2 19 2 20	12 15 30	3 1/2 10 16	1 3 16	— — —	Infolge der starken anhaltenden mikroseismischen Bewegung ist die Bestimmung der Eintrittszeit von P und S nicht möglich.

tum	Charakter	Phasen	Zeiten (Greenwich)	T	A _E	A _N	A _Z	Bemerkungen
1	Iu	e L M F	^h 10 ^m 7,5 ^s 15,0 40	^s 18	^μ 25	^μ 10	^μ 20	
2	Iu	e M F	14 20 24 50	— 24	— 10	— 10	— —	
8	Iu	i P e (S?) e L M F	14 34 35 44 33 59 15 0-10 ^m 25	4 10 24-26 14	— — — 12	2 1 — 12	— — — 6	Herd ca. 8800 km entfernt (Süd-afrika?).
9		L	5 10-40 ^m	—	—	—	—	
13	Iu	i P e S PS? e L M F	16 24 43 34,9 35 42 51 17 3 18 20	4 6-8 — 26 20	— < 1 — 35	— < 1 — 40	1 — — 40	
14	I	e M F	14 6,2 13,0 26	12-15 18	3 4	1 5	4 —	
16	II v	(i P) (i) i S M F	21 26 42 27 1 27 37 28 6 50	0,5 1 3 4	— — 330 ?	0,5 20 120 ?	— — 40 110	17 000 kg-Pendel.
17	Iu	e M F	7 58,1 8 28 9 1/4	6 18	— 10	1 4	— 6	Schreibnadeln des HP werden abgeworfen, der Vert.-Seismograph bleibt intakt u. schreibt weiter. In der Berichtswoche herrscht zeitweise sehr starke mikrosei- smische Bodenunruhe.
20	IIu	e e L M F	14 2 37 12 48 33 40 15 20	6 10 24-28 20	3 2 25	— 1 7	— — 3	

Datum	Charakter	Phasen	Zeiten (Greenwich)	T	A _E	A _N	A _Z	Bemerkungen
Nov. 21	I	L	^h ^m ^s 21 10 bis 25	24 ^s	2 ^μ	2 ^μ	— ^μ	
„ 22	I	e e i L F	23 24 35 28 10 34 5 52 0 30	5 6 6	— 1 2 1/2	— 3 3	3 3 —	Die Phasen sind nicht zu stimmen. Anscheinend sind 2 superponierte Beben.
„ 23	Iv	(e) M F	2 0 8 0,3 1	— < 1	— —	— 1/2	— —	() 17 000 kg-Pendel.
„ 28	Iu	eL M F	16 45 53 17 30	— 24 —	— 14 —	— 20 —	— 25 —	Die Vorphasen des Be- gehen in der mikros. Beweg- unter.
„ 28	Id	e M F	18 39 52 39 54 40	— 0,3	— —	— 1/2	— —	17 000 kg-Pendel.
Dez. 4	Ir	e i L M F	14 44,7 49,6 54,1 57,2 15 1/4	4 7 — 17	— 3 — 10	— 2 — 5	1—2 — — 7	Mikroseism. Bodenunruhe einfließt die Aufzeichnung Bebens.
„ 6	Iu	eL M F	23 50,5 59,5 24 1/2	— 18	— 12	— 3	— —	Die Phasen-Eintritte la- sich nicht sicher feststellen, gleichzeitig starke mikros. denunruhe vorhanden.
„ 11	Iu	e M ₁ M ₂	23 41 55 25	— 18 12	— 6 3	— 4 2	— — —	Vorphasen sind undeutlich
„ 12		F	1 1/2	—	—	—	—	
„ 16	IIr	iP i eS i PS SR ₁ M ₁ M ₂ M ₃ F	19 27 20 30 52 38 00 38 36 38 44 44 6 20 3 1/2 7 9 22 25	5 6 12 6 19 20 28 50 16	9 14 7 30 45 40 85 200 80	6 6 5 20 25 20 80 500 45	3 11 7 12 45 — — — 30	Herddist. ca. 9500 km.

Num- tum	Charakter	Phasen	Zeiten (Greenwich)	T	Λ_E	Λ_N	Λ_Z	Bemerkungen
18	Id	e M F	^h 23 ^m 40 ^s 53 52 23 42	^s — ca. $\frac{1}{2}$	^{μ} —	^{μ} — 1	^{μ} —	17 000 kg-Pendel.
20	Iu	eP eS SR ₁ eL M F	6 2 12 12 23 17 38 28 43,6 7 $\frac{1}{4}$	12 12 24 30 18	— 1 3 — 6	2 3 20 — 22	10 — — —	
23	Iu	e e eL M F	21 28 24 34 21 45,1 48 22 40	12 13 27 20	3 4 — 10	— — — 6	— — — 10	
29	Iu	eL M ₁ M ₂ F	16 9,5 10,8 22 17 $\frac{1}{4}$	30 18	9 6	15 4	— —	
31	Iu	e L M ₁ M ₂ M ₃ F	6 26 55 1 10 3,7 13,0 23,0 8 $\frac{1}{4}$	6 42 36 20 18	$\frac{1}{2}$ — 20 15 15	$\frac{1}{2}$ — 20 15 15	— — — 10 4	

Mikroseismische Bewegung 1911, 7^h Greenwich.

Datum	Januar		Februar		März		April		Mai		Juni	
	T	A _E	T	A _E	T	A _E	T	A _E	T	A _E	T	A _E
	^s	^μ	^s	^μ	^s	^μ	^s	^μ	^s	^μ	^s	^μ
1			6	1,2	6	1,0	—	—	—	—	—	—
2	4	0,6	6	1,0	—	—	—	—	—	—	—	—
3	—	—	—	—	—	—	4-6	<0,5	—	—	—	—
4	—	—	6	0,6	—	—	—	—	—	—	—	—
5	6	0,6	—	—	6	1,0	—	—	—	—	—	—
6	6	1,2	—	—	—	—	—	—	—	—	—	—
7	8	2,6	6	<0,5	6	0,6	—	—	—	—	—	—
8	8	1,3	—	—	7-8	0,8	—	—	—	—	—	—
9	8	1,6	—	—	8	<0,5	—	—	—	—	—	—
10	6	1,4	—	—	6	<0,5	—	—	—	—	—	—
11	6	<0,5	ca. 6	0,6	8	<0,5	—	—	—	—	—	—
12	6	0,5	—	—	—	—	—	—	—	—	—	—
13	6	0,5	6	0,6	—	—	—	—	—	—	—	—
14	—	—	6	1,0	6-8	<0,5	—	—	—	—	—	—
15	—	—	6-7	<0,5	—	—	6-7	0,5	—	—	—	—
16	7	1,8	6	1,1	—	—	6	<0,5	—	—	—	—
17	6	3,4	4	1,2	—	—	—	—	—	—	—	—
18	6	2,8	6	1,8	4-6	<0,6	—	—	—	—	—	—
19	6	0,6	6	1,0	—	—	5	1,4	—	—	—	—
20	—	—	6	<0,5	—	—	7	0,5	—	—	—	—
21	7	1,1	7	0,5	—	—	—	—	—	—	—	—
22	6	1,1	6	<0,5	—	—	—	—	—	—	—	—
23	—	—	ca. 6	<0,5	—	—	—	—	—	—	—	—
24	—	—	8	1,6	—	—	—	—	6	<0,5	—	—
25	7	1,1	—	—	—	—	—	—	—	—	—	—
26	7	2,1	6	0,5	—	—	—	—	—	—	—	—
27	7	2,7	7	2,1	—	—	—	—	—	—	—	—
28	6	<0,5	6	0,5	ca. 6	<0,5	—	—	—	—	—	—
29	6	<0,5	—	—	—	—	—	—	—	—	—	—
30	—	—	—	—	—	—	—	—	—	—	—	—
31	6	<0,5	—	—	—	—	—	—	—	—	—	—

Mikroseismische Bewegung 1911, 7^h Greenwich.

Datum	Juli		August		September		Oktober		November		Dezember	
	T	A _E	T	A _E	T	A _E	T	A _E	T	A _E	T	A _E
1	— ^s	— ^μ	— ^s	— ^μ	— ^s	— ^μ	4	<0,5 ^μ	4—5	0,9 ^μ	7—8	1,6 ^μ
2	—	—	—	—	—	—	6	0,9	6	<0,5	9	2,6
3	—	—	—	—	—	—	—	—	7	1,3	9	2,6
4	—	—	—	—	—	—	—	—	7—8	2,6	8	1,4
5	—	—	—	—	—	—	—	—	9	2,5	8	1,3
6	—	—	—	—	—	—	—	—	6	1,1	8	0,9
7	—	—	—	—	—	—	—	—	6—8	1,6	8	1,3
8	—	—	—	—	—	—	—	—	6	<0,5	6—7	1,1
9	—	—	—	—	—	—	—	—	7	1,1	6	1,1
10	—	—	—	—	—	—	—	—	ca. 6	<0,5	6—7	1,6
11	—	—	—	—	—	—	—	—	—	—	ca. 6	<0,5
12	—	—	—	—	—	—	—	—	—	—	—	—
13	—	—	—	—	—	—	—	—	6—7	0,6	ca. 6	<0,5
14	—	—	—	—	—	—	—	—	—	—	—	—
15	—	—	—	—	—	—	—	—	6	1,1	—	—
16	—	—	—	—	—	—	—	—	7	1,6	—	—
17	—	—	—	—	—	—	—	—	7	1,1	—	—
18	—	—	—	—	—	—	—	—	7	0,5	—	—
19	—	—	—	—	—	—	—	—	—	—	—	—
20	—	—	—	—	—	—	—	—	—	—	—	—
21	—	—	—	—	—	—	—	—	—	—	—	—
22	—	—	—	—	—	—	6	<0,5	—	—	—	—
23	—	—	—	—	—	—	6—8	1,0	—	—	—	—
24	—	—	—	—	—	—	—	—	5—6	<0,5	—	—
25	—	—	—	—	—	—	4	<0,5	—	—	—	—
26	—	—	—	—	—	—	7	1,1	6	0,5	6—8	0,5
27	—	—	—	—	—	—	8	1,1	6	0,5	—	—
28	—	—	—	—	—	—	8	2,6	ca. 4—6	<0,5	—	—
29	—	—	—	—	—	—	—	—	6	<0,5	6	<0,5
30	—	—	—	—	—	—	ca. 6	0,9	6	0,9	—	—
31	—	—	—	—	—	—	6	1,1	—	—	—	—

STANFORD UNIVERSITY LIBRARY

To avoid fine, this book should be returned on
or before the date last stamped below.

JUN 21 1972

MAR 21 2004 *mu*

551.223 .G59

C.1

Seismische registrierungen in

Stanford University Libraries



3 6105 032 213 758

551.223

G59

284812

